±0,000 (ČISTÁ PODLAHA 1.NP) = +284,40m.n.m. (VÝŠKOVÁ SOUST. BALT PV)

PROJEKT: NOVOSTAVBA TĚLOCVIČNY VELKÉ PŘÍLEPY OBEC / OKR.: VELKÉ PŘÍLEPY / PRAHA – ZÁPAD STAV. ÚŘAD: VELKÉ PŘÍLEPY KAT. ÚZEMÍ: KAMÝK U VELKÝCH PŘÍLEP KAT. ČÍSLO: 53/1	PROJEKTANT: PLANS ARCHITEKTI S.R.O. STŘEŠOVICKÁ 429/20, 162 00 PRAHA 6 TEL. +420 605714883 EMAIL: LIBOR@PRECEK.EU PROVOZOVNA: SEIFERTOVA 671, 252 64 VELKÉ PŘÍLEPY HIP: ING. LIBOR PŘEČEK, Ph.D.	VÝKRES: STATICKÉ POSOUZENÍ 1.2 STUPEŇ: PROJEKT PRO PROVEDENÍ STAVBY Č.ZAKÁZKY: 019–004 / FORMÁT: / DATUM: 01/2020 / MĚŘÍTKO	
INVESTOR: OBEC VELKÉ PŘÍLEPY PRAŽSKÁ 162, 252 64 VELKÉ PŘÍLEPY	PROFESE: KONSTRUKČNÍ ČÁST PROJEKTANT: ING. TOMÁŠ PENK VYPRACOVAL: ING. JIŘÍ KONČÁK		

Obsah

Identifikační údaje stavby ..... - 3 -
D.1.2.1.a Navržené materiály ..... - 4 -
Stálá zatížení ..... - 5 -
Užitná zatížení ..... - 5 -
Zatížení sněhem ..... - 5 -
Zatížení větrem ..... - 6 -
Zatížení seizmicitou ..... - 6 -
Dynamické zatížení ..... - 6 -
Zatížení požárem ..... - 6 -
D.1.2.1.b Přílohy statického výpočtu ..... - 6 -
D.1.2.1.d Seznam použitých podkladů……...
D.1.2.1.e Návrh a posouzení konstrukcí……...
D.1.2.1.f Závěr……

Identifikační údaje stavby

Název stavby :	**TĚLOCVIČNA VELKÉ PŘÍLEPY**
Místo stavby :	Obec: Velké Přílepy Parc.č. 53/1
Objednatel:	Obec Velké Přílepy, Pražská 162, 252 64 Velké Přílepy
Hlavní inženýr projektu:	PLANS Architekti s.r.o. Střešovická 429/20, Střešovice 162 00 Praha
HIP:	Ing. Arch. Libor Přeček Autorizovaný architekt ČKA 3653 Seifertova 671, 254 64 Velké Přílepy
Zodpovědný projektant části:	STA-CON s.r.o. statické projekční práce Neklanova 120/18 128 00 Praha 28 - Vyšehrad tel. +420 245 005 361 zodpovědný projektant Ing. Tomáš Penk autorizovaný inženýr v oboru statika a dynamika staveb ČKAIT 0010990
Vypracoval:	Ing. Jiří Končák
Stupeň dokumentace:	**DOKUMENTACE PRO PROVEDENÍ STAVBY**
Datum zpracování:	10/2019

D.1.2.1.a Navržené materiály

PODKLADNÍ BETON

· Prostý beton	C16/20 - X0

ZÁKLADOVÁ DESKA

· základová deska, odskoky náběh pevnosti)	C30/37 - XC3, XA1 (90 denní +přísady H-Krystal MR 3kg/m^3 krytí vnější 40mm krytí vnitřní 20mm
Stupeň vyztužení betonářskou výztuží	Základová deska tl. 250mm 140 kg/m^3

1.PP

· Obvodové stěny, sloupy, stropní deska	C30/37 - XA1 (90ti denní náběh pevnosti) +přísady H-Krystal MR 3kg/m3 krytí vnější 20mm krytí vnitřní 20mm
· Stupeň vyztužení betonářskou výztuží	Stěny tl. 300 mm 135 kg/m^3 Stropní deska tl.250 mm 140 kg/m^3 Stropní deska tl.220 mm 160 kg/m^3 Deska tl.150 mm 150 kg/m^3 Sloupy 240 kg/m^3
· Vnitřní stěny	C30/37– XC1 krytí 20mm
· Stupeň vyztužení betonářskou výztuží	Stěny tl. 200 mm 140 kg/m^3

1.NP-2.NP

· Stropní desky	C25/30– XC1 krytí 20mm
· ŽB Stěny	C25/30 – XC1 krytí 20mm

PREFABRIKOVANÁ RAMENA SCHODIŠTĚ min. C30/37 – XC1

PREFABRIKOVANÉ PŘEDPJATÉ STROPNÍ PANELY dle výrobce
PREFABRIKOVANÉ PŘEDPJATÉ STŘEŠNÍ VAZNÍKY dle výrobce

SCHODIŠTĚ

Výztuž vázaná:	ocel BSt 500
Akustická izolace schodišť	např. Schöck
Přerušení akustických mostů	např. Isover EPS RigiFloor

Distanční a ostatní prvky pro výztuž do bednění: např. hady FRANK (zajišťuje dodavatel)
Izolace pracovních spár – např. FRANK
Krytky po distančních tyčích bednění budou vodotěsné.

Veškeré uvedené materiály v dokumentaci jsou předepsány jako referenční a je možné po odsouhlasení projektantem použít stejné nebo lepší kvality od jiného výrobce.

Zakázané materiály
Konstrukce budou navrženy z materiálů zdravotně nezávadných. Jejich nezávadnost bude prokázána atestem Státní zkušebny.

D.1.2.1.a Hodnoty užitných, klimatických a stálých zatížení

Stálá zatížení

Do zatížení jsou započítány vlastní tíhy konstrukce a skladeb stálých konstrukcí. Toto zatížení je uvažováno součet všech stále působících zatížení. Hodnoty zatížení nad vlastní tíhu nosné konstrukce (započítáno automaticky) jsou uvedeny ve statické výpočtu. Součinitel pro stálá zatížení je γ_G=1,35.

Užitná zatížení

Zatížení bude uvažováno podle příslušných norem, nebo dle zadání investora.
Užitné zatížení stropů bude uvažováno normovými hodnotami takto:

kat.C1	Plochy se stoly	3,00kN/m^2
kat.C3	Plochy bez překážek pro pohyb osob	5,00kN/m^2
kat.C5	Plochy určené k pohybovým aktivitám	5,00kN/m^2
kat.H	Nepřístupné střechy	0,75kN/m^2

Součinitel zatížení pro užitná zatížení je γ_Q=1,5 pro kombinaci více užitných zatížení nebo 1,35 pro jedno zatížení. Uvažuje se vždy větší z těchto hodnot.

Zatížení sněhem

Zájmové území se nachází podle klasifikace ČSN EN 1991-1-3 - Eurokód 1: Zatížení konstrukcí - Část 1-3: Obecná zatížení - Zatížení sněhem a dle ČSN EN 1991-1-3:2005/Z1:2006 " Mapa sněhových oblastí na území ČR" v I. sněhové oblasti, pro kterou platí normová hodnota s_k=0,70 kN/m^2.

Součinitel zatížení pro zatížení sněhem je γ_Q=1,5.

Zatížení větrem

Je uvažováno podle ČSN EN 1991-1-4 - Eurokód 1: Zatížení konstrukcí - Část 1-4: Obecná zatížení - Zatížení větrem a dle ČSN EN 1991-1-4:2007 "Mapa větrných oblastí na území ČR". Dotčené staveniště se nachází podle klasifikace výše uvedené normy ve I. větrové oblasti, ve které se uvažuje výchozí základní rychlost větru $v_{b,0}$ = 22,5 m/s, kategorie terénu IV.

Součinitel zatížení pro zatížení větrem je g_q=1,5.

Pro kombinaci více užitných zatížení:
g_q *(hlavní nahodilé zatížení)+ g_q *ψ_i*(ostatní nahodilé zatížení)
g_q =1,5
ψ_i = dle normy 0 až 0,9

Zatížení seizmicitou

Zájmová oblast je dle mapy seizmických oblastí České republiky dle ČSN EN 1998-1 zařazena do oblasti s referenčním špičkovým zrychlením podloží a_{gR}≤0,02g. Dle příslušné normy není nutné nosnou konstrukci dimenzovat na seizmické zatížení.

Dynamické zatížení

V domě ani v nejbližší oblasti se nevyskytují žádné technologie, které by vyvozovaly dynamické účinky. Ve výpočtu tedy není s tímto zatížením uvažováno.

Zatížení požárem

Požární odolnost nosných konstrukcí byla stanovena technickou zprávou PBŘ. Potřebná odolnost železobetonových prvků bude zajištěna splnění minimální dimenzí a krytí výztuže nebo bude ověřena únosnost výpočtem.

D.1.2.1.b Přílohy statického výpočtu

MODEL - ZÁKLADNÍ ÚDAJE

Obecné	Název modelu	:	Tělocvična_200116
	Název projektu	:	pokus
	Typ modelu	:	3D
	Kladný směr globální osy Z	:	Nahoru
	Klasifikace zatěžovacích stavů a kombinací	:	Podle normy: EN 1990 Národní příloha: ČSN - Česká Republika

Možnosti	☐	RF-FORM-FINDING - Hledání počátečních rovnovážných tvarů membránových a lanových konstrukcí
	☐	RF-CUTTING-PATTERN
	☐	Analýza potrubí
	☐	Použít pravidlo CQC
	☐	Umožnit CAD/BIM model

Tíhové zrychlení
g : 10.00 m/s²

NASTAVENÍ SÍTĚ PRVKŮ

Obecné	Požadovaná délka konečných prvků	l_{FE}	:	500 mm
	Maximální vzdálenost mezi uzlem a linií pro integrování do linie	e	:	1 mm
	Maximální počet uzlů sítě KP v tisících		:	500
Pruty	Počet dělení lanových prutů, prutů s pružným podložím, s náběhy nebo plastickými vlastnostmi:		:	10
	☒ Aktivovat dělení prutů pro analýzu velkých deformací resp. postkritickou analýzu			
	☒ Dělit pruty na nich ležícím uzlem			
Plochy	Maximální poměr diagonál obdélníku KP	D_D	:	2
	Maximální přípustný odklon 2 prvků sítě od roviny	a	:	0.50 °
	Tvar konečných prvků:		:	Trojúhelníky a čtyřúhelníky ☒ Generovat stejné čtverce, kde je to možné

1.3 MATERIÁLY

Mat. č.	Modul E [MPa]	Modul G [MPa]	Poissonův souč. n [-]	Objem. tíha g [kN/m³]	Souč. tepl. rozt. a [1/K]	Souč. spolehlivosti g_M [-]	Materiálový model
1	Beton C30/37 | EN 1992-1-1:2004/A1:2014						
	33000.000	13750.000	0.200	25.00	1.00E-05	1.00	Izotropní lineárně elastický
	Beton C30/37						
2	Ocel S 235 | EN 1993-1-1:2005-05						
	210000.000	80769.200	0.300	78.50	1.20E-05	1.00	Izotropní lineárně elastický
	Baustahl S 235						
3	Zdivo						
	10000.000	3571.000	0.400	10.00	6.00E-06	2.20	Izotropní lineárně elastický
4	Beton C25/30 | EN 1992-1-1:2004/A1:2014						
	31000.000	12916.700	0.200	25.00	1.00E-05	1.00	Izotropní lineárně elastický
5	Ocel S 235 | DIN EN 1993-1-1:2010-12						
	210000.000	80769.200	0.300	78.50	1.20E-05	1.00	Izotropní lineárně elastický
	Baustahl S 235						
6	Ocel S 235 | DIN EN 1993-1-1:2010-12						
	210000.000	80769.200	0.300	78.50	1.20E-05	1.00	Izotropní lineárně elastický
	Baustahl S 235						
7	Beton C30/37 | EN 1992-1-1:2004/A1:2014						
	33000.000	13750.000	0.200	25.00	1.00E-05	1.00	Izotropní lineárně elastický
8	Beton C25/30 | EN 1992-1-1:2004/A1:2014						
	31000.000	12916.700	0.200	25.00	1.00E-05	1.00	Izotropní lineárně elastický

1.4 PLOCHY

Plocha č.	Typ plochy Geometrie	Typ plochy Tuhost	Hraniční linie č.	Mat. č.	Tloušťka Typ	Tloušťka d [mm]	Plocha A [mm²]	Hmotnost G [kg]
7	Rovinná	Standard	33,123,27,86	1	Konstantní	300.0	8415000	6311.3
8	Rovinná	Standard	122,32,67,63,123,589, 591,176,511,453,174, 450,449,576,1	1	Konstantní	300.0	59400000	44550.0
9	Rovinná	Standard	7,61,30,56,15,95,16, 455	1	Konstantní	300.0	29534900	22151.1
10	Rovinná	Standard	74,38,126,128,251,468, 107	8	Konstantní	200.0	24090000	12045.0
19	Rovinná	Standard	29,121,171,122	1	Konstantní	300.0	19800000	14850.0
20	Rovinná	Standard	167,142,41,214,201,121	1	Konstantní	300.0	22571800	16928.8
22	Rovinná	Standard	120,166,141,327,215, 510,508	1	Konstantní	300.0	22571700	16928.8
23	Rovinná	Standard	89,42,123,433,76,106	8	Konstantní	200.0	19800000	9900.0
27	Rovinná	Standard	64,653,657,65,109,192, 103	8	Konstantní	200.0	15990400	7995.2
33	Rovinná	Standard	117,114,662,665,661,6	1	Konstantní	300.0	30594400	22945.8

1.4 PLOCHY

Plocha č.	Typ plochy Geometrie	Tuhost	Hraniční linie č.	Mat. č.	Tloušťka Typ	d [mm]	Plocha A [mm²]	Hmotnost G [kg]
			649,57,118,170,334,202, 211,212,297,318,210, 293					
35	Rovinná	Standard	476,108,90,43,475,107	8	Konstantní	200.0	20129700	10064.9
36	Rovinná	Standard	17,470,288,474,31,7	1	Konstantní	300.0	19799900	14849.9
37	Rovinná	Standard	516,166,168,167	1	Konstantní	300.0	47876100	35907.1
38	Rovinná	Standard	289,287,86,506,37,22	1	Konstantní	300.0	19800000	14850.0
39	Rovinná	Standard	506,37,22-18,470,17, 455,16,95,15,538,535, 541,542,9,550,551,553, 118,170,334,202,211, 212,297,318,210,293, 522,276,281,271,523, 524,712,713,525-530, 213,521,513,520,171,1, 576,449,450,174,453, 511,176,591,589,27	8	Konstantní	250.0	8.46905E+08	529316.0
40	Rovinná	Standard	513,520,201,214,146, 145,215,510,508	8	Konstantní	220.0	47541200	26147.7
65	Rovinná	Standard	8,375,369,109,192,103, 370,321,10	4	Konstantní	180.0	17671200	7952.1
67	Rovinná	Standard	278,14,12,284,34,607, 326	1	Konstantní	180.0	8159000	3671.6
68	Rovinná	Standard	325,278,169,279	1	Konstantní	180.0	2050000	922.5
69	Rovinná	Standard	279,151,282,324	1	Konstantní	180.0	8200000	3690.0
70	Rovinná	Standard	239,198,314,283,322	1	Konstantní	180.0	8200000	3690.0
79	Rovinná	Standard	246,406,149,218	1	Konstantní	180.0	24805000	11162.3
83	Rovinná	Standard	263,209,264,308	1	Konstantní	180.0	2664630	1199.1
85	Rovinná	Standard	311,267,201,264	1	Konstantní	180.0	8876500	3994.4
144	Rovinná	Standard	300,22,37,506,299,361, 563	4	Konstantní	180.0	24600000	11070.0
146	Rovinná	Standard	298,565,379,374,106,76, 433	4	Konstantní	180.0	24600000	11070.0
147	Rovinná	Standard	21,300,362,650	4	Konstantní	180.0	24600400	11070.2
148	Rovinná	Standard	20,650,363,654	4	Konstantní	180.0	24600000	11070.0
149	Rovinná	Standard	19,654,364,656	4	Konstantní	180.0	24600000	11070.0
150	Rovinná	Standard	18,656,365,304	4	Konstantní	180.0	24600000	11070.0
151	Rovinná	Standard	305,17,470,304,571,532	4	Konstantní	180.0	24600000	11070.0
152	Rovinná	Standard	16,455,305,367,306	4	Konstantní	180.0	19023600	8560.6
153	Rovinná	Standard	15,95,306,368,292	4	Konstantní	180.0	17671000	7951.9
156	Rovinná	Standard	557,519,170,118,285, 577	4	Konstantní	180.0	17671000	7951.9
157	Rovinná	Standard	284,202,334,519,558, 559	4	Konstantní	180.0	10208600	4593.9
158	Rovinná	Standard	376,687,372,676-678, 683,371	4	Konstantní	180.0	24601100	11070.5
159	Rovinná	Standard	373,108,476,377,378	4	Konstantní	180.0	24804800	11162.2
162	Rovinná	Standard	171,267,312,268	4	Konstantní	180.0	24600000	11070.0
164	Rovinná	Standard	288,18,659,435	1	Konstantní	300.0	19800000	14850.0
165	Rovinná	Standard	303,19,659,660	1	Konstantní	300.0	19800000	14850.0
166	Rovinná	Standard	301,20,303,658	1	Konstantní	300.0	19800000	14850.0
167	Rovinná	Standard	289,21,301,302	1	Konstantní	300.0	19800300	14850.2
168	Rovinná	Standard	90,394,185,53	8	Konstantní	200.0	19470000	9735.0
169	Rovinná	Standard	185,395,186,54	8	Konstantní	200.0	19800000	9900.0
170	Rovinná	Standard	186,396,187,55	8	Konstantní	200.0	19800000	9900.0
171	Rovinná	Standard	187,88,301,79,87	8	Konstantní	200.0	8415000	4207.5
172	Rovinná	Standard	218,156,240,216,172, 146,145	1	Konstantní	180.0	27060000	12177.0
173	Rovinná	Standard	172,36,41	7	Konstantní	300.0	241380	181.0
174	Rovinná	Standard	209,58,59	7	Konstantní	300.0	241380	181.0
175	Rovinná	Standard	158,131,130,132,316, 239	1	Konstantní	180.0	21217500	9547.9
176	Rovinná	Standard	133,136,160,269,130, 162,135	1	Konstantní	180.0	21217500	9547.9
177	Rovinná	Standard	137,143,165,133,175, 138	1	Konstantní	180.0	21115000	9501.8
178	Rovinná	Standard	406,24,137,13	1	Konstantní	180.0	21115000	9501.8
180	Rovinná	Standard	164,173,199,339	1	Konstantní	180.0	32759000	14741.6
186	Rovinná	Standard	51,89,50,71,289	8	Konstantní	200.0	8415000	4207.5
187	Rovinná	Standard	189,112,190,188	4	Konstantní	450.0	4000000	4500.0
188	Rovinná	Standard	248,250,247,249	4	Konstantní	450.0	4000000	4500.0
189	Rovinná	Standard	243,245,242,244	4	Konstantní	450.0	4000000	4500.0
190	Rovinná	Standard	195,203,196,197	4	Konstantní	450.0	4000000	4500.0
191	Rovinná	Standard	237,241,236,238	4	Konstantní	450.0	4000000	4500.0
192	Rovinná	Standard	204,219,207,217	4	Konstantní	450.0	4000000	4500.0
193	Rovinná	Standard	233,235,232,234	4	Konstantní	450.0	4000000	4500.0
194	Rovinná	Standard	220,223,221,222	4	Konstantní	450.0	4000000	4500.0
195	Rovinná	Standard	229,231,228,230	4	Konstantní	450.0	4000000	4500.0
196	Rovinná	Standard	224,227,225,226	4	Konstantní	450.0	4000000	4500.0
198	Rovinná	Standard	419,253,420,379,565	4	Konstantní	180.0	15600000	7020.0
199	Rovinná	Standard	255,421,378,447	4	Konstantní	180.0	15600000	7020.0
200	Rovinná	Standard	448,254,447,388,49	4	Konstantní	180.0	16016000	7207.2
201	Rovinná	Standard	451,256,452,375,8,10	4	Konstantní	180.0	11206000	5042.7
203	Rovinná	Standard	14,12,265,92,273	1	Konstantní	250.0	7382900	4614.3
204	Rovinná	Standard	169,273,670,261	1	Konstantní	250.0	1855000	1159.4
205	Rovinná	Standard	198,314,35,151,261,69, 163	1	Konstantní	250.0	22260000	13912.5
206	Rovinná	Standard	163,668,266,328,269, 132,316	1	Konstantní	250.0	28344400	17715.3
207	Rovinná	Standard	270,328,266,669,272,73	1	Konstantní	250.0	29642900	18526.8
208	Rovinná	Standard	198,314,35,151,169,14, 12,211,212,297,318,210, 293,522,276,281,270, 269,132,316	8	Konstantní	220.0	55240600	30382.3
209	Rovinná	Standard	271,523,524,712,713, 525,164,165,136,160, 270	8	Konstantní	220.0	56010800	30805.9

1.4 PLOCHY

Plocha č.	Typ plochy Geometrie	Typ plochy Tuhost	Hraniční linie č.	Mat. č.	Tloušťka Typ	Tloušťka d [mm]	Plocha A [mm²]	Hmotnost G [kg]
210	Rovinná	Standard	164,143,24,149,215,510, 508,521,213,530-526	8	Konstantní	220.0	96279500	52953.7
213	Rovinná	Standard	172,214,209,200	8	Konstantní	220.0	3785730	2082.1
214	Rovinná	Standard	149,327,320,323	1	Konstantní	300.0	7260000	5445.0
215	Rovinná	Standard	24,323,359,398	1	Konstantní	300.0	6180000	4635.0
216	Rovinná	Standard	165,143,398,404,410	1	Konstantní	300.0	6180000	4635.0
217	Rovinná	Standard	328,160,136,410,411	1	Konstantní	300.0	3252000	2439.0
218	Rovinná	Standard	466,454,467,462	8	Konstantní	200.0	8415000	4207.5
219	Rovinná	Standard	503,512,502,507,509, 514,533,505	1	Konstantní	500.0	1960000	2450.0
220	Rovinná	Standard	536,566,534,546,554, 568,569,540	1	Konstantní	500.0	1960000	2450.0
221	Rovinná	Standard	581,587,573,585,586, 592,593,583	1	Konstantní	500.0	1960000	2450.0
222	Rovinná	Standard	595,600,594,598,599, 601,602,597	1	Konstantní	500.0	1960000	2450.0
223	Rovinná	Standard	501,496,495,499,494, 497,498,500	1	Konstantní	500.0	1960000	2450.0
224	Rovinná	Standard	477,483,484,492,493, 482,481,486	1	Konstantní	500.0	1960000	2450.0
225	Rovinná	Standard	611,605,604,609,603, 606,608,610	1	Konstantní	500.0	1960000	2450.0
226	Rovinná	Standard	630,625,624,628,623, 626,627,629	1	Konstantní	500.0	1960000	2450.0
227	Rovinná	Standard	622,614,613,620,612, 618,619,621	1	Konstantní	500.0	1960000	2450.0
228	Rovinná	Standard	637,638,633,632,636, 631,634,635	1	Konstantní	500.0	1960000	2450.0
229	Rovinná	Standard	535,541,542,68,47,667, 28,56,538	1	Konstantní	300.0	29596300	22197.2
230	Rovinná	Standard	642,68,9,81	1	Konstantní	300.0	12799500	9599.6
231	Rovinná	Standard	81,646,57,553,551,550	1	Konstantní	300.0	32184200	24138.2
233	Rovinná	Standard	639,667,666,39	1	Konstantní	300.0	3669500	2752.1
234	Rovinná	Standard	640,39,671,110	1	Konstantní	300.0	1885900	1414.4
235	Rovinná	Standard	672,110,641,111	1	Konstantní	300.0	2460110	1845.1
236	Rovinná	Standard	52,111,91,114	1	Konstantní	300.0	2419000	1814.3
237	Rovinná	Standard	671,4,107,113,590,588, 596,40	8	Konstantní	200.0	20129200	10064.6
238	Rovinná	Standard	40,676-678,683,44,672	8	Konstantní	200.0	19800800	9900.4
239	Rovinná	Standard	44,115,578,579,117,91	8	Konstantní	200.0	19470000	9735.0
240	Rovinná	Standard	280,669,668,69,670,92, 661,665,662,116,275	1	Konstantní	250.0	60048600	37530.4
241	Rovinná	Standard	640,666,47,642,646,649, 661,665,662,52,641	1	Konstantní	250.0	1.47675E+08	92296.9
242	Rovinná	Standard	98,85,61,30,28,639,4, 124	1	Konstantní	250.0	36247500	22654.7
243	Rovinná	Standard	309,272,280,275,116, 114,193,295	1	Konstantní	300.0	2045870	1534.4
244	Rovinná	Standard	73,281,276,522,117,193, 100,290,83,309	1	Konstantní	300.0	12576200	9432.1
245	Rovinná	Standard	73,271,105,75	1	Konstantní	300.0	3332990	2499.7
246	Rovinná	Standard	97,525,713,712,524,523, 105,127	1	Konstantní	300.0	19800000	14850.0
247	Rovinná	Standard	527,526,97,104,93,528	1	Konstantní	300.0	19800000	14850.0
248	Rovinná	Standard	120,521,213,530,529,93, 94	1	Konstantní	300.0	19965000	14973.8
249	Rovinná	Standard	671,4,124,98,85,31,474, 435,660,658,302,287,33, 63,67,32,29,516,94,104, 127,75,309,295,193,91, 672	1	Konstantní	300.0	7.20200E+08	540150.0
250	Rovinná	Standard	388,377,468,251,464,49	1	Konstantní	180.0	25256000	11365.2
251	Rovinná	Standard	376,687,465,274,471	1	Konstantní	180.0	15600700	7020.3
252	Rovinná	Standard	545,472,134,370,321, 491,294	4	Konstantní	180.0	7553750	3399.2
253	Rovinná	Standard	303,80,82,186,543	8	Konstantní	200.0	8415000	4207.5
254	Rovinná	Standard	185,549,659,77,78	8	Konstantní	200.0	8415000	4207.5
255	Rovinná	Standard	90,552,288,84,70	8	Konstantní	200.0	8421470	4210.7
256	Rovinná	Standard	449,576,1,268,355,391	1	Konstantní	180.0	24600000	11070.0
257	Rovinná	Standard	391,357,690,390,453, 174,450	1	Konstantní	180.0	24599900	11070.0
258	Rovinná	Standard	589,591,176,511,390, 698,298	1	Konstantní	180.0	24600000	11070.0
259	Rovinná	Standard	27,299,360,298	1	Konstantní	180.0	10455000	4704.8
260	Rovinná	Standard	513,520,267,515,337, 521	1	Konstantní	180.0	24600400	11070.2
261	Rovinná	Standard	337,517,347,338,529, 530,213	1	Konstantní	180.0	24600000	11070.0
262	Rovinná	Standard	528,338,348,349,153, 350,339,526,527	1	Konstantní	180.0	24600000	11070.0
263	Rovinná	Standard	523,524,712,713,525, 339,351,352,150,342	1	Konstantní	180.0	24600000	11070.0
264	Rovinná	Standard	342,353,147,343,522, 276,281,271	1	Konstantní	180.0	24600000	11070.0
265	Rovinná	Standard	491,451,648,431	1	Konstantní	180.0	7123880	3205.7
266	Rovinná	Standard	675,465,389,447	1	Konstantní	180.0	15859400	7136.7
267	Rovinná	Standard	504,471,674,428	1	Konstantní	180.0	15340000	6903.0

1.4.2 PLOCHY - INTEGROVANÉ OBJEKTY

Plocha č.	Integrované objekty č. Uzly	Linie	Otvory	Komentář
8		62,66		
9	667	60		
20		59		
33		265	14	
35		462		
36		454		
37	12			
39	488,489,491	23,51,88,96,106,108,109,113,115,139,140, 394-397,467,468,476,543,549,552,578,579, 588,590,596,676-678,683	1-12,17-19	
40		208		
176		161		
177		173		
187	365			
188	366			
189	298			
190	295			
191	254			
192	252			
193	235			
194	213			
195	194			
196	192			
208			15,16	
209		159		
210		409		
219	191			
220	193			
221	195			
222	197			
223	189			
224		478,479		
225	199			
226	187			
227	354			
228	352			
230	668			
241	668	643-645,647,653,657		
242	667	38,72,74,99		
249		42,43,50,53-55,70,71,77-80,82,84,87,466, 475	20-29	
261		345		
262		340,346		
263		341		

1.6 OTVORY

Otvor č.	Hraniční linie č.	V ploše č.	Plocha A [mm²]	Komentář
1	189,112,190,188	39	3999996	
2	248,250,247,249	39	3999998	
3	243,245,242,244	39	4000006	
4	195,203,196,197	39	4000000	
5	237,241,236,238	39	4000000	
6	204,219,207,217	39	3999998	
7	233,235,232,234	39	4000002	
8	220,223,221,222	39	4000000	
9	229,231,228,230	39	4000002	
10	224,227,225,226	39	4000000	
11	26,76,433,27,506,37	39	10391479	
12	101,102,192,103,134,544,553, 118,170,334	39	11340406	
14	277,310,296,665	33	2610000	
15	198,317,315,316	208	2720002	
16	12,211,212,297,313,319	208	2088003	
17	329,403,399,400	39	275000	
18	332,354,358,356	39	275000	
19	16,95,539,537,128,251,125,205	39	14534641	
20	502,512,503,505,533,514,509, 507	249	1960000	
21	534,566,536,540,569,568,554, 546	249	1959999	
22	573,587,581,583,593,592,586, 585	249	1960000	
23	494,499,495,496,501,500,498, 497	249	1960001	
24	477,486,481,482,493,492,484, 483	249	1960000	
25	594,600,595,597,602,601,599, 598	249	1959999	
26	623,628,624,625,630,629,627, 626	249	1960000	
27	631,636,632,633,638,637,635, 634	249	1960000	
28	603,609,604,605,611,610,608, 606	249	1959999	
29	612,620,613,614,622,621,619, 618	249	1959999	

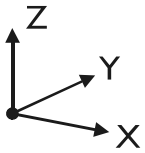

1.7 UZLOVÉ PODPORY

Podpora č.	Uzly č.	Osový systém	Sloup v Z	Podepření resp. vetknutí u_X	u_Y	u_Z	j_X	j_Y	j_Z
2	37,39,40,42,88,114-117, 126,127,129,136,137,145, 150,152,185,187,189,191, 193,195,197,199,215,217, 352,354,379,382,478,481, 484,485,515-519,522,667	Globální X,Y,Z	☐	☒	☒	☒	☐	☐	☒

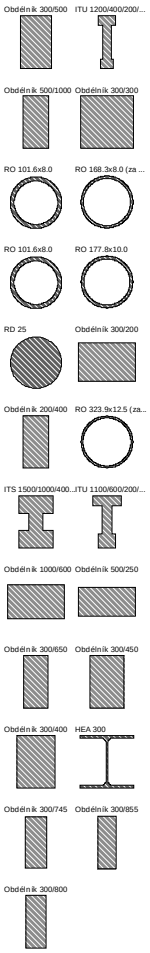

1.13 PRŮŘEZY

Průřez č.	Mater. č.	I_T [mm^4] / A [mm^2]	I_y [mm^4] / A_y [mm^2]	I_z [mm^4] / A_z [mm^2]	Hlavní osy a [°]	Natočení a' [°]	Celkové rozměry [mm] Šířka b	Výška h
1	Obdélník 300/500							
	4	2817195776.0 / 150000.0	3124999936.0 / 125000.0	1125000064.0 / 125000.0	0.00	0.00	300.0	500.0
2	ITU 1200/400/200/200/300/200							
	1	4062784512.0 / 300000.0	43666665472.0 / 195081.7	2050000000.0 / 210697.7	0.00	0.00	400.0	1200.0
3	Obdélník 500/1000							
	4	28609374208.0 / 500000.0	41666666496.0 / 416666.7	10416666624.0 / 416666.7	0.00	0.00	500.0	1000.0
4	Obdélník 300/300							
	4	1139399936.0 / 90000.0	675000000.0 / 75000.0	675000000.0 / 75000.0	0.00	0.00	300.0	300.0
5	RO 101.6x8.0 | EN 10210-2:2006							
	2	5190000.0 / 2350.0	2600000.0 / 1171.9	2600000.0 / 1171.9	0.00	0.00	101.6	101.6
6	RO 168.3x8.0 (warmgefertigt)							
	5	25950000.0 / 4030.0	12970000.0 / 2000.6	12970000.0 / 2000.6	0.00	0.00	168.3	168.3
7	RO 101.6x8.0 | EN 10210-2:2006							
	2	5190000.0 / 2350.0	2600000.0 / 1171.9	2600000.0 / 1171.9	0.00	0.00	101.6	101.6
8	RO 177.8x10.0 | EN 10210-2:2006							
	2	37240000.0 / 5270.0	18620000.0 / 2619.6	18620000.0 / 2619.6	0.00	0.00	177.8	177.8
9	RD 25							
	2	38349.5 / 491.0	19174.8 / 412.4	19174.8 / 412.4	0.00	0.00	25.0	25.0
10	Obdélník 300/200							
	4	469478176.0 / 60000.0	200000000.0 / 50000.0	450000000.0 / 50000.0	0.00	0.00	300.0	200.0
11	Obdélník 200/400							
	8	732400000.0 / 80000.0	1066666688.0 / 66666.7	266666672.0 / 66666.7	0.00	0.00	200.0	400.0
12	RO 323.9x12.5 (kaltgefertigt)							
	2	296900000.0 / 12200.0	148500000.0 / 6068.8	148500000.0 / 6068.8	0.00	0.00	323.9	323.9
13	ITS 1500/1000/400/500							
	1	87563591680.0 / 1200000.0	275000000512 / 946225.3	86000001024.0 / 569827.3	0.00	0.00	1000.0	1500.0
14	ITU 1100/600/200/200/350/300							
	7	5407412224.0 / 345000.0	45248376832.0 / 192776.5	5071875072.0 / 196312.8	0.00	0.00	600.0	1100.0
15	Obdélník 1000/600							
	1	45075132416.0 / 600000.0	18000001024.0 / 500000.0	49999998976.0 / 500000.0	0.00	0.00	1000.0	600.0
16	Obdélník 500/250							
	1	1788085888.0 / 125000.0	651041664.0 / 104166.7	2604166656.0 / 104166.7	0.00	0.00	500.0	250.0
17	Obdélník 300/650							
	4	4155370752.0 / 195000.0	6865625088.0 / 162500.0	1462499968.0 / 162500.0	0.00	0.00	300.0	450.0
18	Obdélník 300/450							
	1	2376733184.0 / 135000.0	2278125056.0 / 112500.0	1012499968.0 / 112500.0	0.00	0.00	300.0	450.0
19	Obdélník 300/400							
	1	1943423488.0 / 120000.0	1600000000.0 / 100000.0	900000000.0 / 100000.0	0.00	0.00	300.0	400.0
20	HEA 300							
	2	851700.0 / 11250.0	182600000.0 / 6988.5	63100000.0 / 2183.3	0.00	0.00	300.0	290.0
21	Obdélník 300/745							
	1	5007691776.0 / 223500.0	10337340416.0 / 186250.0	1676249984.0 / 186250.0	0.00	0.00	300.0	745.0
22	Obdélník 300/855							
	1	5996128256.0 / 256500.0	15625659392.0 / 213750.0	1923750016.0 / 213750.0	0.00	0.00	300.0	855.0
23	Obdélník 300/800							
	1	5501776384.0 / 240000.0	12800000000.0 / 200000.0	1800000000.0 / 200000.0	0.00	0.00	300.0	800.0

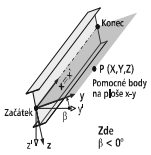

1.17 PRUTY

Prut č.	Linie č.	Typ prutu	Natočení prutu typ	b [°]	Průřez Počát.	Konec	Kloub č. Počát.	Konec	Exc. č.	Dělení č.	Délka L [mm]	
1	331	Nosník	Úhel	0.00	21	21	-	-	-	-	6300	Y
2	333	Nosník	Úhel	0.00	21	21	-	-	-	-	3450	Y
3	335	Nosník	Úhel	0.00	21	21	-	-	-	-	5775	Y
4	150	Nosník	Úhel	0.00	23	23	-	-	-	-	1700	X
5	25	Nosník	Úhel	0.00	10	10	-	-	-	-	2000	Y
6	153	Nosník	Úhel	0.00	23	23	-	-	-	-	750	X
7	5	Nosník	Úhel	0.00	1	1	6	6	-	-	5775	Y
8	194	Nosník	Úhel	0.00	1	1	6	6	-	-	6000	Y

1.17 PRUTY

Prut	Linie		Natočení prutu		Průřez		Kloub č.		Exc.	Dělení	Délka	
č.	č.	Typ prutu	typ	b [°]	Počát.	Konec	Počát.	Konec	č.	č.	L [mm]	
9	258	Nosník	Úhel	0.00	1	1	6	6	-	-	6000	Y
10	259	Nosník	Úhel	0.00	1	1	6	6	-	-	2650	Y
11	260	Nosník	Úhel	0.00	1	1	6	6	-	-	3450	Y
12	349	Nosník	Úhel	0.00	23	23	-	-	-	-	2150	X
13	350	Nosník	Úhel	0.00	23	23	-	6	-	-	100	X
14	351	Nosník	Úhel	0.00	23	23	6	-	-	-	100	X
15	352	Nosník	Úhel	0.00	23	23	-	-	-	-	4200	X
16	262	Nosník	Úhel	0.00	1	1	6	6	-	-	6300	Y
17	294	Nosník	Úhel	0.00	4	4	-	-	-	-	1800	Z
18	547	Nosník	Úhel	0.00	1	1	6	6	-	-	2550	Y
19	548	Nosník	Úhel	0.00	4	4	-	-	-	-	1450	Z
20	673	Nosník	Úhel	0.00	4	4	-	-	-	-	1450	Z
32	515	Nosník	Úhel	0.00	23	23	-	-	-	-	6000	X
33	517	Nosník	Úhel	0.00	23	23	-	-	-	-	3000	X
34	518	Nosník	Úhel	0.00	20	20	-	-	-	-	1750	X
60	443	Nosník	Úhel	0.00	1	1	-	-	-	-	2600	Z
61	444	Nosník	Úhel	0.00	1	1	-	-	-	-	2600	Z
62	445	Nosník	Úhel	0.00	1	1	-	-	-	-	2600	Z
63	390	Nosník	Úhel	0.00	4	4	-	-	-	-	4100	Z
64	391	Nosník	Úhel	0.00	4	4	-	-	-	-	4100	Z
68	337	Nosník	Úhel	0.00	1	1	-	-	-	-	4100	Z
70	339	Nosník	Úhel	0.00	1	1	-	-	-	-	4100	Z
75	424	Nosník	Úhel	0.00	1	1	-	-	-	-	2600	Z
76	425	Nosník	Úhel	0.00	1	1	-	-	-	-	2600	Z
77	426	Nosník	Úhel	0.00	1	1	-	-	-	-	2600	Z
83	392	Nosník	Úhel	0.00	4	4	-	-	-	-	4100	Z
84	393	Nosník	Úhel	0.00	4	4	-	-	-	-	4100	Z
117	487	Nosník	Úhel	0.00	4	4	6	6	-	-	6000	X
118	488	Nosník	Úhel	0.00	4	4	6	6	-	-	6000	X
119	489	Nosník	Úhel	0.00	4	4	6	6	-	-	6000	X
120	490	Nosník	Úhel	0.00	4	4	6	6	-	-	6000	X
131	381	Nosník	Úhel	0.00	22	22	-	-	-	-	6000	X
135	385	Nosník	Úhel	0.00	22	22	-	-	-	-	6000	X
136	386	Nosník	Úhel	0.00	22	22	-	-	-	-	6000	X
137	387	Nosník	Úhel	0.00	22	22	-	-	-	-	6000	X
144	389	Nosník	Úhel	0.00	21	21	-	-	-	-	6100	Y
145	504	Nosník	Úhel	0.00	21	21	-	1	-	-	5900	Y
198	177	Nosník	Úhel	90.00	1	1	-	-	-	-	3300	Z
199	178	Nosník	Úhel	90.00	1	1	-	-	-	-	3300	Z
200	179	Nosník	Úhel	90.00	1	1	-	-	-	-	3300	Z
201	180	Nosník	Úhel	90.00	1	1	-	-	-	-	3300	Z
202	181	Nosník	Úhel	90.00	1	1	-	-	-	-	3300	Z
203	182	Nosník	Úhel	90.00	1	1	-	-	-	-	3300	Z
204	183	Nosník	Úhel	90.00	1	1	-	-	-	-	3300	Z
205	184	Nosník	Úhel	90.00	1	1	-	-	-	-	3300	Z
206	567	Nosník	Úhel	90.00	1	1	-	-	-	-	3300	Z
207	575	Nosník	Úhel	90.00	1	1	-	-	-	-	3300	Z
208	615	Nosník	Úhel	0.00	16	16	-	-	-	-	3710	Z
209	616	Nosník	Úhel	0.00	16	16	-	-	-	-	3710	Z
210	617	Nosník	Úhel	0.00	16	16	-	-	-	-	3710	Z
268	718	Nosník	Úhel	0.00	1	1	-	1	-	-	1450	Z
269	719	Nosník	Úhel	0.00	1	1	-	1	-	-	1450	Z
270	720	Nosník	Úhel	0.00	1	1	-	1	-	-	1450	Z
835	307	Nosník	Úhel	0.00	10	10	-	-	-	-	5825	Y
860	434	Nosník	Úhel	0.00	4	4	-	-	-	-	4050	Z
861	436	Nosník	Úhel	0.00	4	4	-	-	-	-	4050	Z
896	725	Nosník	Úhel	0.00	1	1	-	-	-	-	1450	Z
897	726	Nosník	Úhel	0.00	1	1	-	-	-	-	1450	Z
898	727	Nosník	Úhel	0.00	1	1	-	-	-	-	1450	Z
901	717	Nosník	Úhel	0.00	1	1	-	1	-	-	1450	Z
902	721	Nosník	Úhel	0.00	1	1	-	1	-	-	1450	Z
905	267	Nosník	Úhel	0.00	1	1	-	-	-	-	4100	Z
906	342	Nosník	Úhel	0.00	1	1	-	-	-	-	4100	Z
907	373	Nosník	Úhel	0.00	1	1	-	-	-	-	4101	XZ
908	374	Nosník	Úhel	0.00	1	1	-	-	-	-	4100	Z
910	423	Nosník	Úhel	0.00	1	1	-	-	-	-	2600	Z
911	427	Nosník	Úhel	0.00	1	1	-	-	-	-	2600	Z
913	338	Nosník	Úhel	0.00	1	1	-	-	-	-	4100	Z
915	383	Nosník	Úhel	0.00	1	1	-	-	-	-	4100	Z
917	268	Nosník	Úhel	0.00	1	1	-	-	-	-	4100	Z
918	422	Nosník	Úhel	0.00	1	1	-	-	-	-	2600	Z
919	664	Nosník	Úhel	0.00	1	1	-	-	-	-	1450	Z
920	355	Nosník	Úhel	0.00	1	1	1	-	-	-	6000	Y
921	357	Nosník	Úhel	0.00	1	1	-	-	-	-	1338	Y
923	690	Nosník	Úhel	0.00	1	1	-	-	-	-	4662	Y
924	698	Nosník	Úhel	0.00	1	1	-	-	-	-	6000	Y
925	347	Nosník	Úhel	0.00	23	23	-	-	-	-	3000	X
926	348	Nosník	Úhel	0.00	23	23	-	-	-	-	3000	X
927	312	Nosník	Úhel	0.00	23	23	-	-	-	-	6000	X
928	299	Nosník	Úhel	0.00	1	1	-	-	-	-	4100	Z
929	417	Nosník	Úhel	0.00	1	1	-	-	-	-	2600	Z
930	663	Nosník	Úhel	0.00	1	1	-	-	-	-	1450	Z
931	360	Nosník	Úhel	0.00	1	1	-	1	-	-	2550	Y
932	300	Nosník	Úhel	0.00	1	1	-	-	-	-	4100	Z
933	418	Nosník	Úhel	0.00	1	1	-	-	-	-	2600	Z
934	650	Nosník	Úhel	0.00	1	1	-	-	-	-	4100	Z
935	584	Nosník	Úhel	0.00	1	1	-	-	-	-	1450	Z
936	446	Nosník	Úhel	0.00	4	4	6	6	-	-	6000	X
937	458	Nosník	Úhel	0.00	4	4	6	6	-	-	6000	X
938	459	Nosník	Úhel	0.00	4	4	6	6	-	-	6000	X
939	460	Nosník	Úhel	0.00	4	4	6	6	-	-	6000	X
940	461	Nosník	Úhel	0.00	4	4	6	6	-	-	6000	X
945	654	Nosník	Úhel	0.00	1	1	-	-	-	-	4100	Z
946	656	Nosník	Úhel	0.00	1	1	-	-	-	-	4100	Z
947	304	Nosník	Úhel	0.00	1	1	-	-	-	-	4100	Z
948	305	Nosník	Úhel	0.00	1	1	-	-	-	-	4100	Z
949	441	Nosník	Úhel	0.00	1	1	-	-	-	-	2600	Z

1.17 PRUTY

Prut č.	Linie č.	Typ prutu	Natočení prutu typ	Natočení prutu b [°]	Průřez Počát.	Průřez Konec	Kloub č. Počát.	Kloub č. Konec	Exc. č.	Dělení č.	Délka L [mm]	
950	442	Nosník	Úhel	0.00	1	1	-	-	-	-	2600	Z
951	561	Nosník	Úhel	0.00	1	1	-	-	-	-	1450	Z
952	562	Nosník	Úhel	0.00	1	1	-	-	-	-	1450	Z
953	432	Nosník	Úhel	0.00	1	1	6	6	-	-	6000	Y
954	437	Nosník	Úhel	0.00	1	1	6	6	-	-	2375	Y
955	292	Nosník	Úhel	0.00	1	1	-	-	-	-	4100	Z
956	306	Nosník	Úhel	0.00	1	1	-	-	-	-	4100	Z
957	439	Nosník	Úhel	0.00	1	1	-	-	-	-	2600	Z
958	440	Nosník	Úhel	0.00	1	1	-	-	-	-	2600	Z
959	723	Nosník	Úhel	0.00	1	1	-	-	-	-	1450	Z
960	724	Nosník	Úhel	0.00	1	1	-	-	-	-	1450	Z
962	456	Nosník	Úhel	0.00	4	4	6	6	-	-	6000	X
963	11	Nosník	Úhel	0.00	1	1	-	-	-	-	1450	Z
964	572	Nosník	Úhel	0.00	1	1	-	1	-	-	1450	Z
966	722	Nosník	Úhel	0.00	1	1	-	1	-	-	1450	Z
967	285	Nosník	Úhel	0.00	1	1	-	-	-	-	4100	Z
968	343	Nosník	Úhel	0.00	1	1	-	-	-	-	4100	Z
969	428	Nosník	Úhel	0.00	1	1	-	-	-	-	2600	Z
970	429	Nosník	Úhel	0.00	1	1	-	-	-	-	2600	Z
971	430	Nosník	Úhel	0.00	1	1	-	-	-	-	2600	Z
972	519	Nosník	Úhel	0.00	1	1	-	-	-	-	4100	Z
982	463	Nosník	Úhel	0.00	4	4	6	6	-	-	4310	X
983	681	Nosník	Úhel	0.00	4	4	6	6	-	-	4640	X
984	286	Nosník	Úhel	0.00	4	4	-	-	-	-	2300	Z
985	291	Nosník	Úhel	0.00	4	4	-	-	-	-	4100	Z
986	431	Nosník	Úhel	0.00	4	4	-	-	-	-	2600	Z
987	438	Nosník	Úhel	0.00	4	4	-	-	-	-	4050	Z
988	298	Nosník	Úhel	0.00	4	4	-	-	-	-	4100	Z
991	531	Nosník	Úhel	0.00	21	21	-	-	-	-	1350	Y
992	556	Nosník	Úhel	0.00	21	21	-	-	-	-	2375	Y
993	574	Nosník	Úhel	0.00	21	21	-	-	-	-	1200	Y
994	252	Nosník	Úhel	0.00	4	4	-	-	-	-	2790	X
996	414	Nosník	Úhel	0.00	4	4	-	-	-	-	1100	Y
997	415	Nosník	Úhel	0.00	4	4	-	-	-	-	1100	Y
998	580	Nosník	Úhel	0.00	4	4	-	-	-	-	75	Y
999	405	Nosník	Úhel	0.00	4	4	-	-	-	-	2375	Y
1000	473	Nosník	Úhel	0.00	4	4	6	6	-	-	4310	X
1001	485	Nosník	Úhel	0.00	4	4	6	6	-	-	4640	X
1002	560	Nosník	Úhel	0.00	4	4	6	6	-	-	6000	X
1003	582	Nosník	Úhel	0.00	4	4	6	6	-	-	6000	X
1004	147	Nosník	Úhel	0.00	23	23	-	-	-	-	2525	X
1005	353	Nosník	Úhel	0.00	23	23	-	-	-	-	3475	X
1006	366	Nosník	Úhel	0.00	20	20	1	-	-	-	400	X
1007	559	Nosník	Úhel	0.00	20	20	-	-	-	-	1660	X
1008	558	Nosník	Úhel	0.00	20	20	1	-	-	-	830	X
1009	557	Nosník	Úhel	0.00	1	1	-	-	-	-	1570	X
1010	577	Nosník	Úhel	0.00	1	1	-	-	-	-	2740	X
1011	469	Nosník	Úhel	0.00	1	1	-	-	-	-	2550	Y
1012	570	Nosník	Úhel	0.00	1	1	-	-	-	-	2550	Y
1015	119	Nosník	Úhel	0.00	4	4	-	-	-	-	4050	Z
1016	257	Nosník	Úhel	0.00	4	4	-	-	-	-	4050	Z
1017	371	Nosník	Úhel	0.00	4	4	-	-	-	-	4100	Z
1018	372	Nosník	Úhel	0.00	4	4	-	-	-	-	4100	Z
1019	465	Nosník	Úhel	0.00	4	4	-	-	-	-	2600	Z
1020	471	Nosník	Úhel	0.00	4	4	-	-	-	-	2600	Z
1022	420	Nosník	Úhel	0.00	4	4	-	-	-	-	2600	Z
1023	421	Nosník	Úhel	0.00	4	4	-	-	-	-	2600	Z
1024	377	Nosník	Úhel	0.00	4	4	-	-	-	-	4100	Z
1025	447	Nosník	Úhel	0.00	4	4	-	-	-	-	2600	Z
1026	369	Nosník	Úhel	0.00	4	4	-	-	-	-	4100	Z
1027	452	Nosník	Úhel	0.00	4	4	-	-	-	-	2600	Z
1028	419	Nosník	Úhel	0.00	4	4	-	-	-	-	2600	Z
1029	376	Nosník	Úhel	0.00	21	21	-	-	-	-	1438	Y
1030	687	Nosník	Úhel	0.00	21	21	-	-	-	-	4562	Y

1.23 ZAHUŠTĚNÍ SÍTĚ PRVKŮ

Zahušť. č.	Zahuštění sítě prvků použít na	Uzly č.	Počet dělení	Poloměr koule [mm]	Požad. délka prvku sítě[mm] Vnitřní	Vnější	Komentář
1	Plochy	219-228		100			
2	Plochy	249		200			

2.1 ZATĚŽOVACÍ STAVY

Zatěž. stav	Označení zatěž. stavu	EN 1990 | ČSN Kategorie účinků	Vlastní tíha - Součinitel ve směru Aktivní	X	Y	Z
ZS1	Vlastní tíha	Stálé	☒	0.000	0.000	-1.000
ZS2	Ostatní stálé	Stálé/užitné	☐			
ZS3	Sníh	Sníh (H £ 1000 m n.m.)	☐			
ZS5	Užitné zatížení	Užitná zatížení - kategorie C: shromažďovací plochy	☐			
ZS7	Předpětí	Předpětí	☐			

2.1.1 ZATĚŽOVACÍ STAVY - PARAMETRY VÝPOČTU

Zatěž. stav	Označení zatěž. stavu	Parametry výpočtu		
ZS1	Vlastní tíha	Způsob výpočtu	: ☒	Teorie I. řádu (geometricky lineární výpočet)
		Metoda pro řešení systému nelineárních algebraických rovnic	: ☒	Newton-Raphson
		Aktivovat součinitele tuhosti:	: ☒	Průřezy (součinitel pro J, I_y, I_z, A, A_y, A_z)

2.1.1 ZATĚŽOVACÍ STAVY - PARAMETRY VÝPOČTU

Zatěž. stav	Označení zatěž. stavu	Parametry výpočtu		
			: ☒	Pruty (faktor pro GJ, EI_y, EI_z, EA, GA_y, GA_z)
ZS2	Ostatní stálé	Způsob výpočtu	: ☒	Teorie I. řádu (geometricky lineární výpočet)
		Metoda pro řešení systému nelineárních algebraických rovnic	: ☒	Newton-Raphson
		Aktivovat součinitele tuhosti:	: ☒	Průřezy (součinitel pro J, I_y, I_z, A, A_y, A_z)
			: ☒	Pruty (faktor pro GJ, EI_y, EI_z, EA, GA_y, GA_z)
ZS3	Sníh	Způsob výpočtu	: ☒	Teorie I. řádu (geometricky lineární výpočet)
		Metoda pro řešení systému nelineárních algebraických rovnic	: ☒	Newton-Raphson
		Aktivovat součinitele tuhosti:	: ☒	Průřezy (součinitel pro J, I_y, I_z, A, A_y, A_z)
			: ☒	Pruty (faktor pro GJ, EI_y, EI_z, EA, GA_y, GA_z)
ZS5	Užitné zatížení	Způsob výpočtu	: ☒	Teorie I. řádu (geometricky lineární výpočet)
		Metoda pro řešení systému nelineárních algebraických rovnic	: ☒	Newton-Raphson
		Aktivovat součinitele tuhosti:	: ☒	Průřezy (součinitel pro J, I_y, I_z, A, A_y, A_z)
			: ☒	Pruty (faktor pro GJ, EI_y, EI_z, EA, GA_y, GA_z)
ZS7	Předpětí	Způsob výpočtu	: ☒	Teorie I. řádu (geometricky lineární výpočet)
		Metoda pro řešení systému nelineárních algebraických rovnic	: ☒	Newton-Raphson
		Aktivovat součinitele tuhosti:	: ☒	Průřezy (součinitel pro J, I_y, I_z, A, A_y, A_z)
			: ☒	Pruty (faktor pro GJ, EI_y, EI_z, EA, GA_y, GA_z)

2.5 KOMBINACE ZATÍŽENÍ

Kombin. zatížení	Kombinace zatížení NS	Označení	č.	Součinitel	Zatěžovací stav	
KZ1		Napětí	1	1.35	ZS1	Vlastní tíha
			2	1.35	ZS2	Ostatní stálé
			3	1.50	ZS3	Sníh
			4	1.50	ZS5	Užitné zatížení
			5	1.00	ZS7	Předpětí
KZ2		DEFORMACE	1	1.00	ZS1	Vlastní tíha
			2	1.00	ZS2	Ostatní stálé
			3	1.00	ZS3	Sníh
			4	1.00	ZS5	Užitné zatížení
			5	1.00	ZS7	Předpětí

2.5.2 KOMBINACE ZATÍŽENÍ - PARAMETRY VÝPOČTU

Kombin. zatížení	Označení	Parametry výpočtu		
KZ1	Napětí	Způsob výpočtu	: ☒	Analýza podle II. řádu (P-Delta)
		Metoda pro řešení systému nelineárních algebraických rovnic	: ☒	Picard
		Možnosti	: ☒	Zohlednit příznivé tahové účinky
			: ☒	Vztáhnout vnitřní síly na přetvořený systém pro:
				☒ Normálové síly N
				☒ Smykové síly V_y a V_z
				☒ Momenty M_y, M_z a M_T
		Aktivovat součinitele tuhosti:	: ☒	Materiály (dílčí souč. spolehlivosti γ_M)
			: ☒	Průřezy (součinitel pro J, I_y, I_z, A, A_y, A_z)
			: ☒	Pruty (faktor pro GJ, EI_y, EI_z, EA, GA_y, GA_z)
KZ2	DEFORMACE	Způsob výpočtu	: ☒	Analýza podle II. řádu (P-Delta)
		Metoda pro řešení systému nelineárních algebraických rovnic	: ☒	Picard
		Možnosti	: ☒	Zohlednit příznivé tahové účinky
			: ☒	Vztáhnout vnitřní síly na přetvořený systém pro:
				☒ Normálové síly N
				☒ Smykové síly V_y a V_z
				☒ Momenty M_y, M_z a M_T
		Aktivovat součinitele tuhosti:	: ☒	Materiály (dílčí souč. spolehlivosti γ_M)
			: ☒	Průřezy (součinitel pro J, I_y, I_z, A, A_y, A_z)
			: ☒	Pruty (faktor pro GJ, EI_y, EI_z, EA, GA_y, GA_z)

3.1 ZATÍŽENÍ NA UZEL - PO KOMPONENTECH - SOUŘADNÝ SYSTÉM

ZS1
Vlastní tíha

ZS1: Vlastní tíha

č.	Na uzlech č.	Souřadný systém	Síla [kN] P_X / P_U	P_Y / P_V	P_Z / P_W	Moment [kNm] M_X / M_U	M_Y / M_V	M_Z / M_W
1	390,396-400,403, 414-419,460	0 | Globální XYZ	0.0	0.0	-90.0	0.0	0.0	0.0

ZS1: VLASTNÍ TÍHA

Izometrie

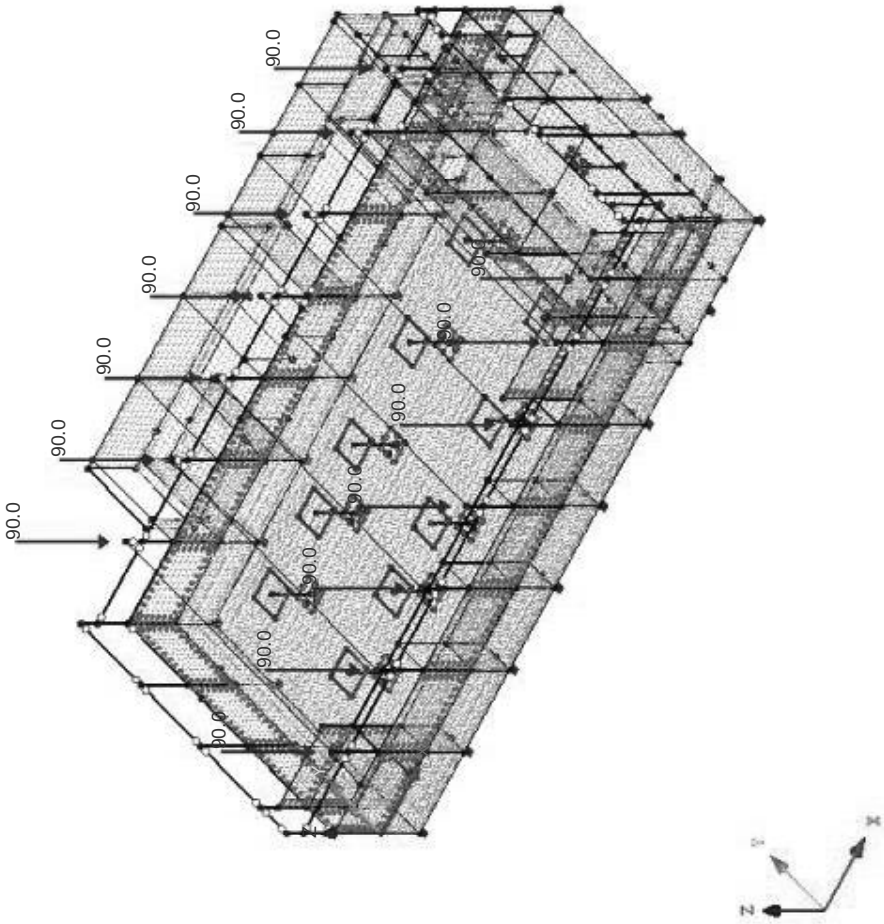
90.0
90.0
90.0

ZS2
Ostatní stálé

3.1 ZATÍŽENÍ NA UZEL - PO KOMPONENTECH - SOUŘADNÝ SYSTÉM

ZS2: Ostatní stálé

č.	Na uzlech č.	Souřadný systém	Síla [kN] P_X / P_U	P_Y / P_V	P_Z / P_W	Moment [kNm] M_X / M_U	M_Y / M_V	M_Z / M_W
1	390,414-419	0 | Globální XYZ	0.0	0.0	-224.0	0.0	0.0	0.0
2	396-400,403,460	0 | Globální XYZ	0.0	0.0	-219.0	0.0	0.0	0.0

3.2 ZATÍŽENÍ NA PRUT

ZS2: Ostatní stálé

č.	Vztaženo na	Na prutech č.	Zatížení typ	Zatížení průběh	Zatížení směr	Vztažná délka	Parametry zatížení Symbol	Hodnota	Jednotka
1	Pruty	6,15,34, 1004-1006	Síla	Konstant.	ZL	Skutečná d.	p	-16.0	kN/m
20	Pruty	4,12,32,33, 925,926	Síla	Konstant.	ZL	Skutečná d.	p	-16.0	kN/m
21	Pruty	144,145	Síla	Konstant.	ZL	Skutečná d.	p	-21.0	kN/m
22	Pruty	1-3	Síla	Konstant.	ZL	Skutečná d.	p	-23.6	kN/m
23	Pruty	8,9,18,953	Síla	Konstant.	ZL	Skutečná d.	p	-10.8	kN/m
24	Pruty	7,10,11,16, 954	Síla	Konstant.	ZL	Skutečná d.	p	-7.7	kN/m
27	Pruty	921	Síla	Konstant.	ZL	Skutečná d.	p	-1.0	kN/m
28	Pruty	131,135-137	Síla	Konstant.	ZL	Skutečná d.	p	-4.6	kN/m
29	Pruty	991-993, 1007-1010	Síla	Konstant.	ZL	Skutečná d.	p	-11.7	kN/m
30	Pruty	940	Síla	Konstant.	ZL	Skutečná d.	p	-3.0	kN/m
31	Pruty		Síla	Konstant.	ZL	Skutečná d.	p	-3.0	kN/m
	117-120,936-939,962,982,983,1000-1003								
32	Pruty	920,923,924	Síla	Konstant.	ZL	Skutečná d.	p	-1.0	kN/m
33	Pruty	931	Síla	Konstant.	ZL	Skutečná d.	p	-13.5	kN/m

3.2/1 ZATÍŽENÍ NA PRUTY - EXCENTRICITA ZATÍŽENÍ

ZS2: Ostatní stálé

č.	Vztaženo na	Na prutech č.	Absolutní odsazení Zač. prutu e_Y [mm]	Zač. prutu e_Z [mm]	Absolutní odsazení Kon. prutu e_Y [mm]	Kon. prutu e_Z [mm]	Relativní odsazení Zač. prutu Osa y	Zač. prutu Osa z	Relativní odsazení Kon. prutu Osa y	Kon. prutu Osa z
1	Pruty	6,15,34, 1004-1006	0.0	0.0	0.0	0.0	Střed	Střed	Střed	Střed
20	Pruty	4,12,32,33, 925,926	0.0	0.0	0.0	0.0	Střed	Střed	Střed	Střed
21	Pruty	144,145	0.0	0.0	0.0	0.0	Střed	Střed	Střed	Střed
22	Pruty	1-3	0.0	0.0	0.0	0.0	Střed	Střed	Střed	Střed
23	Pruty	8,9,18,953	0.0	0.0	0.0	0.0	Střed	Střed	Střed	Střed
24	Pruty	7,10,11,16, 954	0.0	0.0	0.0	0.0	Střed	Střed	Střed	Střed
27	Pruty	921	0.0	0.0	0.0	0.0	Střed	Střed	Střed	Střed
28	Pruty	131,135-137	0.0	0.0	0.0	0.0	Střed	Střed	Střed	Střed
29	Pruty	991-993, 1007-1010	0.0	0.0	0.0	0.0	Střed	Střed	Střed	Střed
30	Pruty	940	0.0	0.0	0.0	0.0	Střed	Střed	Střed	Střed
31	Pruty	117-120, 936-939, 962,982, 983, 1000-1003	0.0	0.0	0.0	0.0	Střed	Střed	Střed	Střed
32	Pruty	920,923,924	0.0	0.0	0.0	0.0	Střed	Střed	Střed	Střed
33	Pruty	931	0.0	0.0	0.0	0.0	Střed	Střed	Střed	Střed

3.3 ZATÍŽENÍ NA LINII

ZS2: Ostatní stálé

č.	Vztaženo na	Na liniích č.	Zatížení typ	Zatížení průběh	Zatížení směr	Parametry zatížení Symbol	Hodnota	Jednotka
1	Linie	76,106,108,171,433,476	Síla	Konstant.	ZL	p	-9.4	kN/m
2	Linie	379,388	Síla	Konstant.	ZL	p	-4.6	kN/m
3	Linie	364,365	Síla	Konstant.	ZL	p	-4.6	kN/m
4	Linie	308,325	Síla	Konstant.	ZL	p	-16.0	kN/m
5	Linie	376,687	Síla	Konstant.	ZL	p	-21.0	kN/m
6	Linie	364,365,378	Síla	Konstant.	ZL	p	-4.6	kN/m
7	Linie	271,276,281,368,522, 527-530	Síla	Konstant.	ZL	p	-16.6	kN/m
8	Linie	367	Síla	Konstant.	ZL	p	-25.8	kN/m
9	Linie	361,563	Síla	Konstant.	ZL	p	-25.8	kN/m
10	Linie	362,363	Síla	Konstant.	ZL	p	-4.6	kN/m
11	Linie	532,571	Síla	Konstant.	ZL	p	-25.8	kN/m
12	Linie	13,131,135,138,156,158,162, 175,246	Síla	Konstant.	ZL	p	-16.0	kN/m

3.4 ZATÍŽENÍ NA PLOCHU

ZS2: Ostatní stálé

č.	Na plochách č.	Zatížení typ	Zatížení průběh	Zatížení směr	Parametry zatížení Symbol	Hodnota	Jednotka	Na uzlu č.
4	39,40,208-210	Síla	Konstantní	ZL	p	-1.50	kN/m²	
6	7,8,20,207	Síla	Lineární v Z	XL	p_1	0.00	kN/m²	27
					p_2	18.00	kN/m²	42
7	22,203,205,230,231	Síla	Lineární v Z	XL	p_1	0.00	kN/m²	27
					p_2	-18.00	kN/m²	42
8	9,36,38,164-167	Síla	Lineární v Z	YL	p_1	0.00	kN/m²	27
					p_2	18.00	kN/m²	42
9	19,33,206,246-248	Síla	Lineární v Z	YL	p_1	0.00	kN/m²	27
					p_2	-18.00	kN/m²	42
10	229	Síla	Lineární v Z	XL	p_1	0.00	kN/m²	27

3.4 ZATÍŽENÍ NA PLOCHU

ZS2: Ostatní stálé

č.	Na plochách č.	Zatížení typ	Zatížení průběh	Zatížení směr	Parametry zatížení Symbol	Hodnota	Jednotka	Na uzlu č.
					p_2	-18.00	kN/m²	42
12	37,187-196,219-228,240-242, 249	Síla	Konstantní	z	p	1.50	kN/m²	

ZS2: OSTATNÍ STÁLÉ

Izometrie

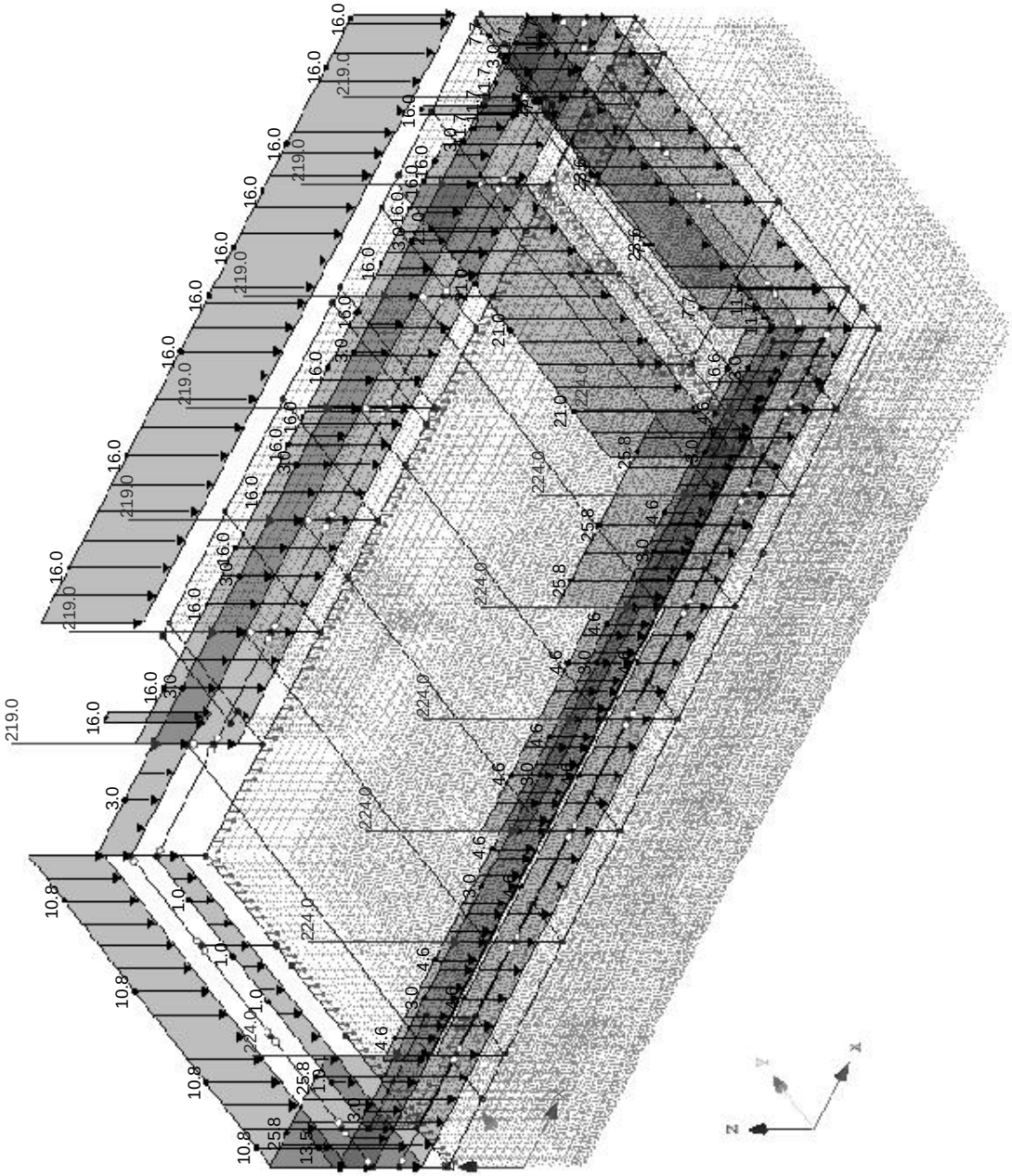

ZS 2: Ostatní stálé
Zatížení [kN/m], [kN]

ZS2: OSTATNÍ STÁLÉ

Izometrie

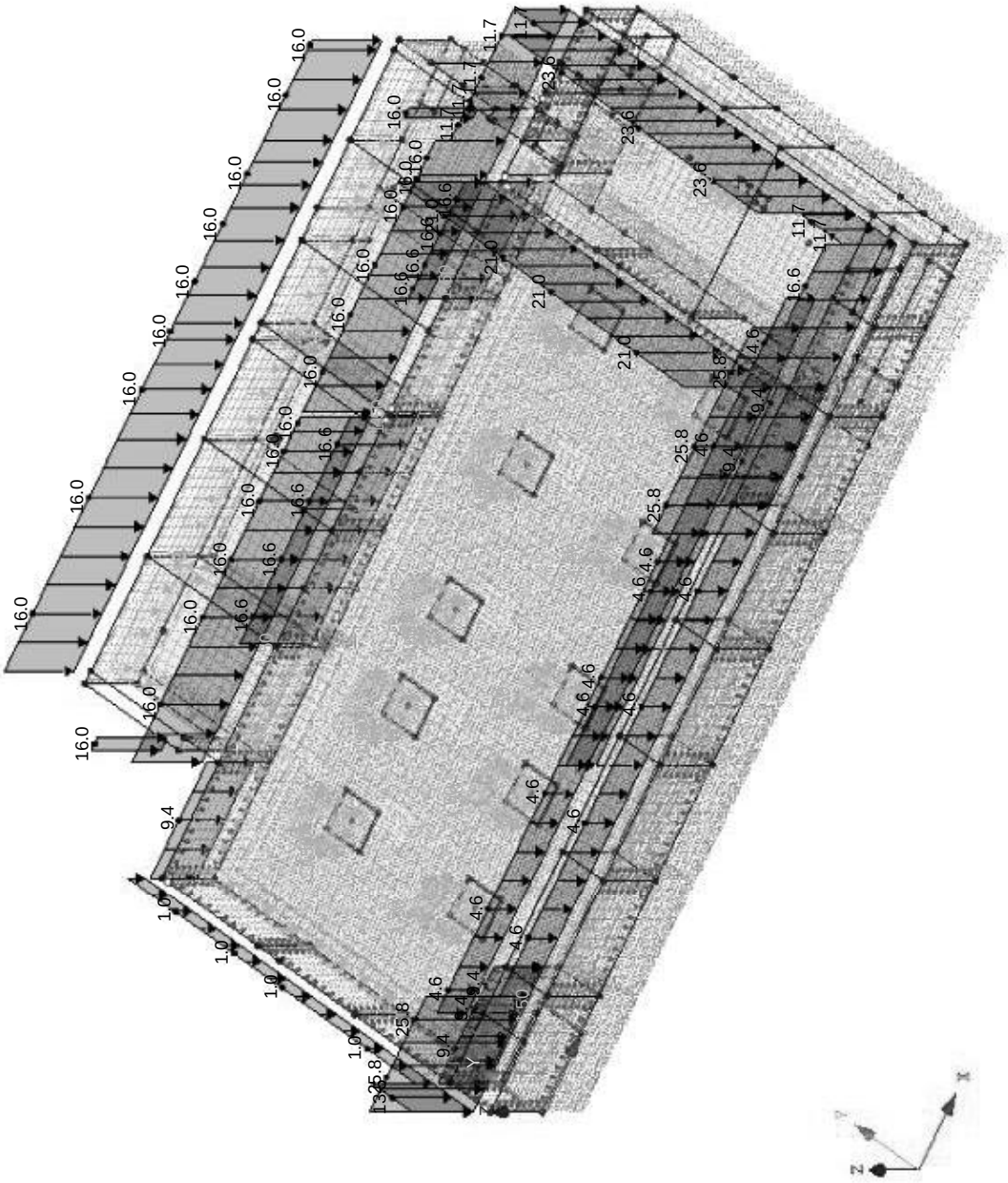

ZS 2: Ostatní stálé
Zatížení [kN/m], [kN/m^2]

ZS2: OSTATNÍ STÁLÉ

Izometrie

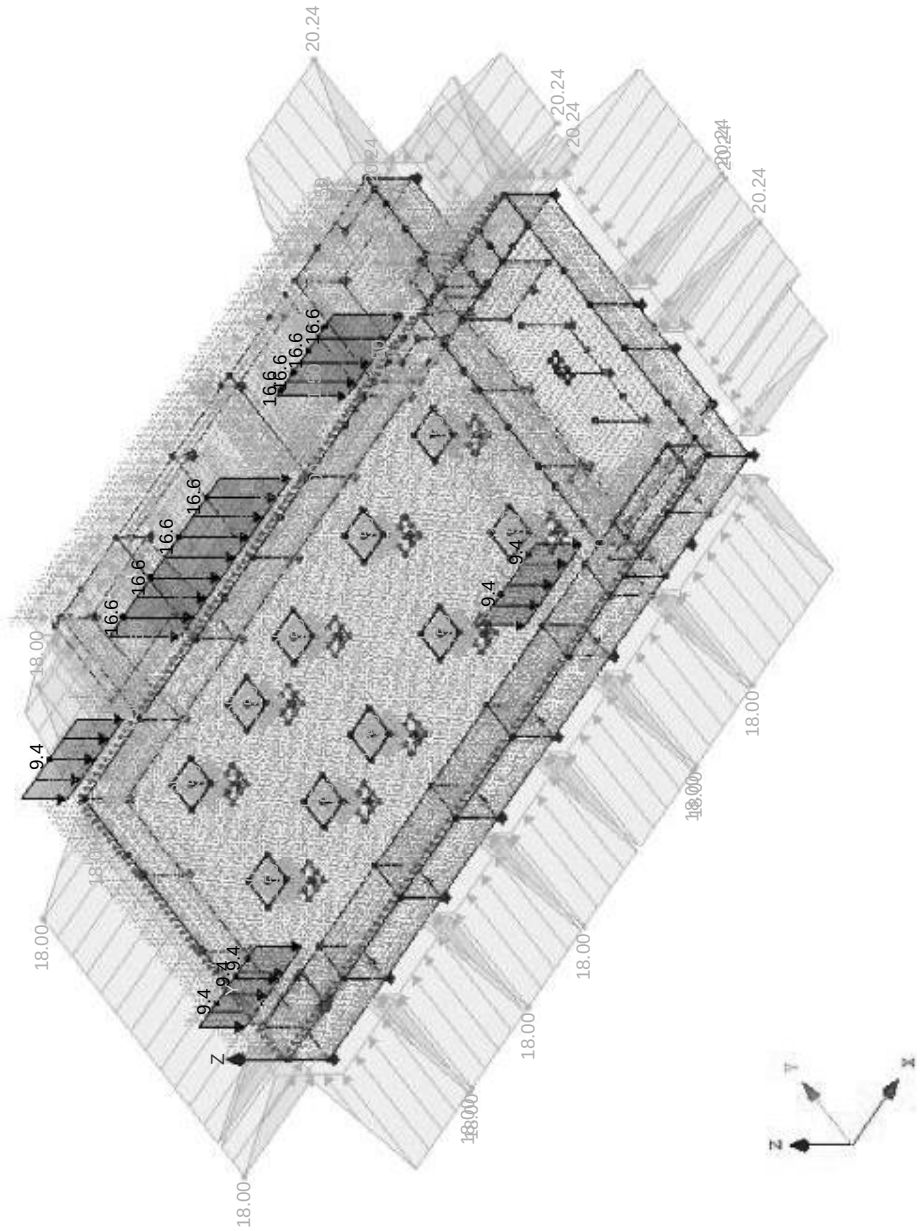

ZS 2: Ostatní stálé
Zatížení [kN/m], [kN/m^2]

ZS3
Sníh

3.1 ZATÍŽENÍ NA UZEL - PO KOMPONENTECH - SOUŘADNÝ SYSTÉM

ZS3: Sníh

č.	Na uzlech č.	Souřadný systém	Síla [kN] P_X / P_U	P_Y / P_V	P_Z / P_W	Moment [kNm] M_X / M_U	M_Y / M_V	M_Z / M_W
1	390,396-400,403, 414-419,460	0 | Globální XYZ	0.0	0.0	-47.0	0.0	0.0	0.0

3.2 ZATÍŽENÍ NA PRUT

ZS3: Sníh

č.	Vztaženo na	Na prutech č.	Zatížení typ	Zatížení průběh	Zatížení směr	Vztažná délka	Parametry zatížení Symbol	Hodnota	Jednotka
3	Pruty		Síla	Konstant.	ZL	Skutečná d.	p	-4.0	kN/m
	4,6,12-15,32-34,925,926,1004-1006								
4	Pruty	8,9,18,953	Síla	Konstant.	ZL	Skutečná d.	p	-2.3	kN/m
7	Pruty	7,10,11,16, 954	Síla	Konstant.	ZL	Skutečná d.	p	-1.6	kN/m

3.2/1 ZATÍŽENÍ NA PRUTY - EXCENTRICITA ZATÍŽENÍ

ZS3: Sníh

č.	Vztaženo na	Na prutech č.	Absolutní odsazení Zač. prutu e_Y [mm]	Zač. prutu e_Z [mm]	Absolutní odsazení Kon. prutu e_Y [mm]	Kon. prutu e_Z [mm]	Relativní odsazení Zač. prutu Osa y	Zač. prutu Osa z	Relativní odsazení Kon. prutu Osa y	Kon. prutu Osa z
3	Pruty	4,6,12-15, 32-34,925, 926, 1004-1006	0.0	0.0	0.0	0.0	Střed	Střed	Střed	Střed
4	Pruty	8,9,18,953	0.0	0.0	0.0	0.0	Střed	Střed	Střed	Střed
7	Pruty	7,10,11,16, 954	0.0	0.0	0.0	0.0	Střed	Střed	Střed	Střed

3.3 ZATÍŽENÍ NA LINII

ZS3: Sníh

č.	Vztaženo na	Na liniích č.	Zatížení typ	Zatížení průběh	Zatížení směr	Parametry zatížení Symbol	Hodnota	Jednotka
1	Linie	308,325	Síla	Konstant.	ZL	p	-3.0	kN/m
2	Linie	13,131,135,138,156,158,162, 175,240,246	Síla	Konstant.	ZL	p	-4.0	kN/m

ZS3: SNÍH

Izometrie

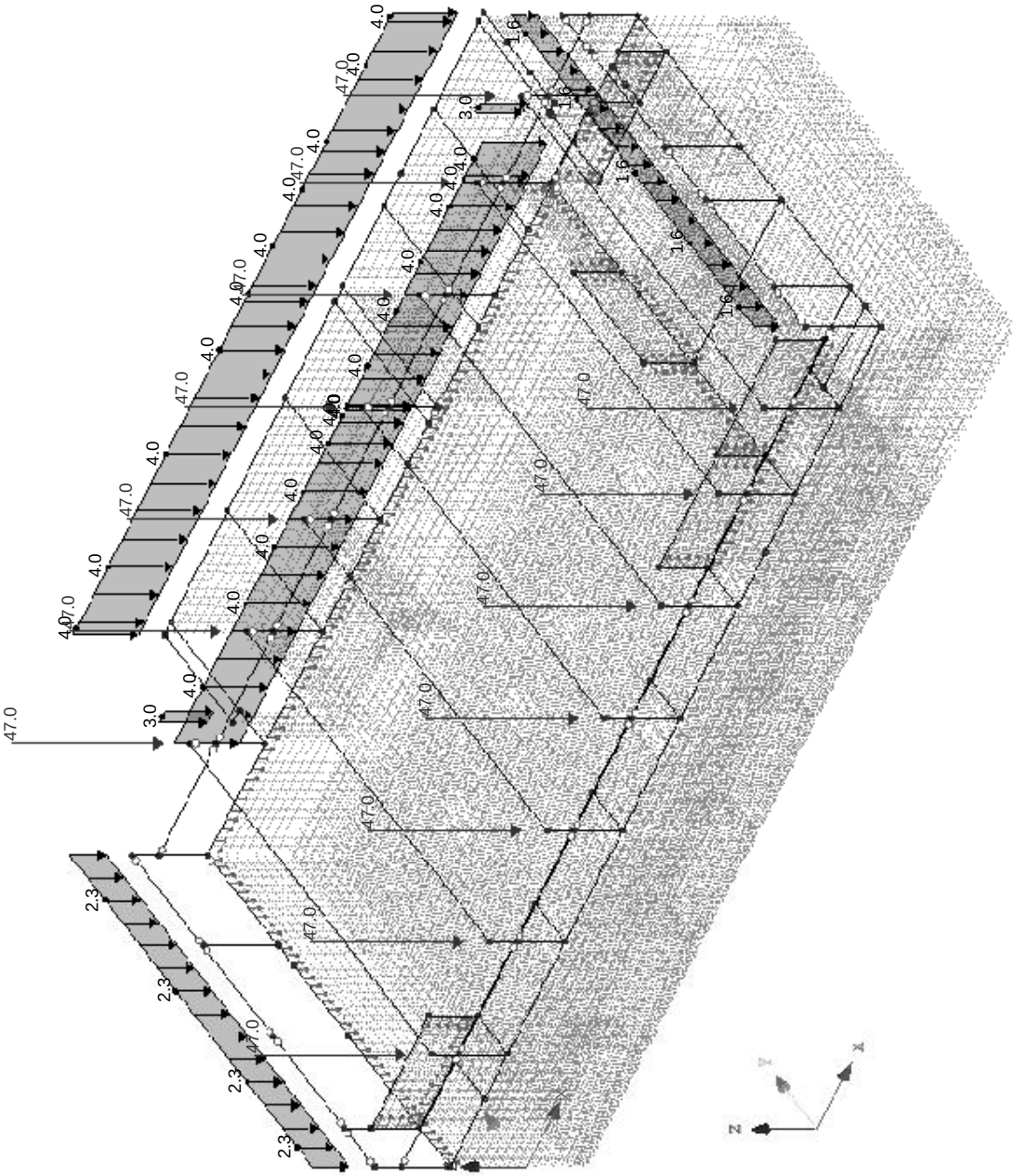

ZS 3: Sníh
Zatížení [kN/m], [kN]

ZS3: SNÍH

Izometrie

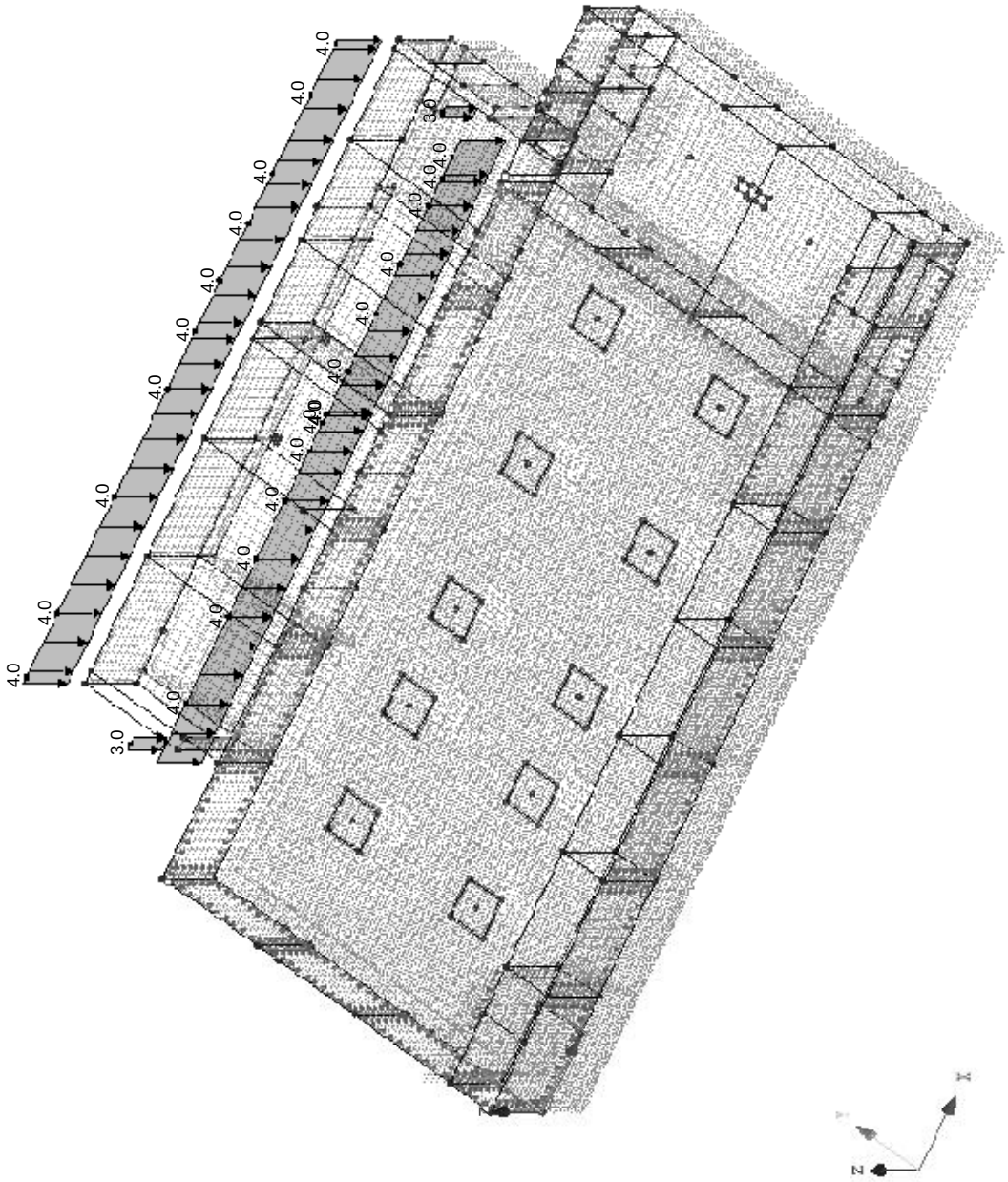

ZS 3: Sníh
Zatížení [kN/m]

ZS5
Užitné zatížení

3.2 ZATÍŽENÍ NA PRUT

ZS5: Užitné zatížení

č.	Vztaženo na	Na prutech č.	Zatížení typ	Zatížení průběh	Zatížení směr	Vztažná délka	Parametry zatížení Symbol	Hodnota	Jednotka
1	Pruty	1-3,144,145	Síla	Konstant.	ZL	Skutečná d.	p	-13.5	kN/m
2	Pruty	131,135-137	Síla	Konstant.	ZL	Skutečná d.	p	-6.5	kN/m

3.2/1 ZATÍŽENÍ NA PRUTY - EXCENTRICITA ZATÍŽENÍ

ZS5: Užitné zatížení

č.	Vztaženo na	Na prutech č.	Absolutní odsazení Zač. prutu	Absolutní odsazení Zač. prutu	Absolutní odsazení Kon. prutu	Absolutní odsazení Kon. prutu	Relativní odsazení Zač. prutu	Relativní odsazení Zač. prutu	Relativní odsazení Kon. prutu	Relativní odsazení Kon. prutu
			e_Y [mm]	e_Z [mm]	e_Y [mm]	e_Z [mm]	Osa y	Osa z	Osa y	Osa z
1	Pruty	1-3,144,145	0.0	0.0	0.0	0.0	Střed	Střed	Střed	Střed
2	Pruty	131,135-137	0.0	0.0	0.0	0.0	Střed	Střed	Střed	Střed

3.3 ZATÍŽENÍ NA LINII

ZS5: Užitné zatížení

č.	Vztaženo na	Na liniích č.	Zatížení typ	Zatížení průběh	Zatížení směr	Parametry zatížení Symbol	Hodnota	Jednotka
1	Linie	376,687	Síla	Konstant.	ZL	p	-13.5	kN/m
2	Linie	362-365,367,378,379,388, 532,563,571	Síla	Konstant.	ZL	p	-6.5	kN/m

3.4 ZATÍŽENÍ NA PLOCHU

ZS5: Užitné zatížení

č.	Na plochách č.	Zatížení typ	Zatížení průběh	Zatížení směr	Parametry zatížení Symbol	Hodnota	Jednotka
1	37,39,40,187-196,210,219-228,249	Síla	Konstantní	ZL	p	-5.00	kN/m²
3	208,240-242	Síla	Konstantní	ZL	p	-3.00	kN/m²
4	209	Síla	Konstantní	ZL	p	-3.00	kN/m²

ZS5: UŽITNÉ ZATÍŽENÍ

Izometrie

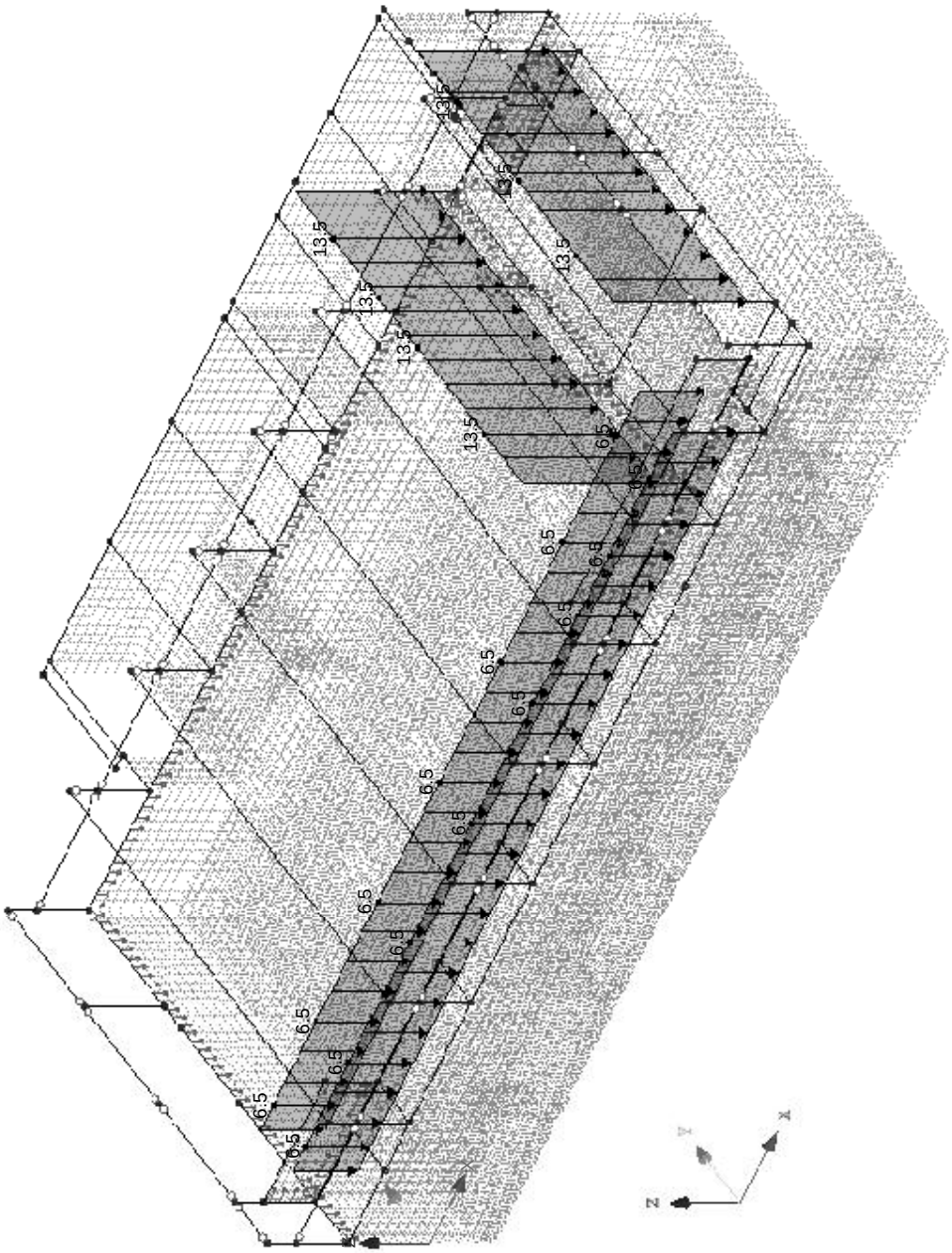
13.5
13.5
13.5
13.5
13.5
13.5
13.5
13.5
6.5
6.5
6

ZS5: UŽITNÉ ZATÍŽENÍ

Izometrie

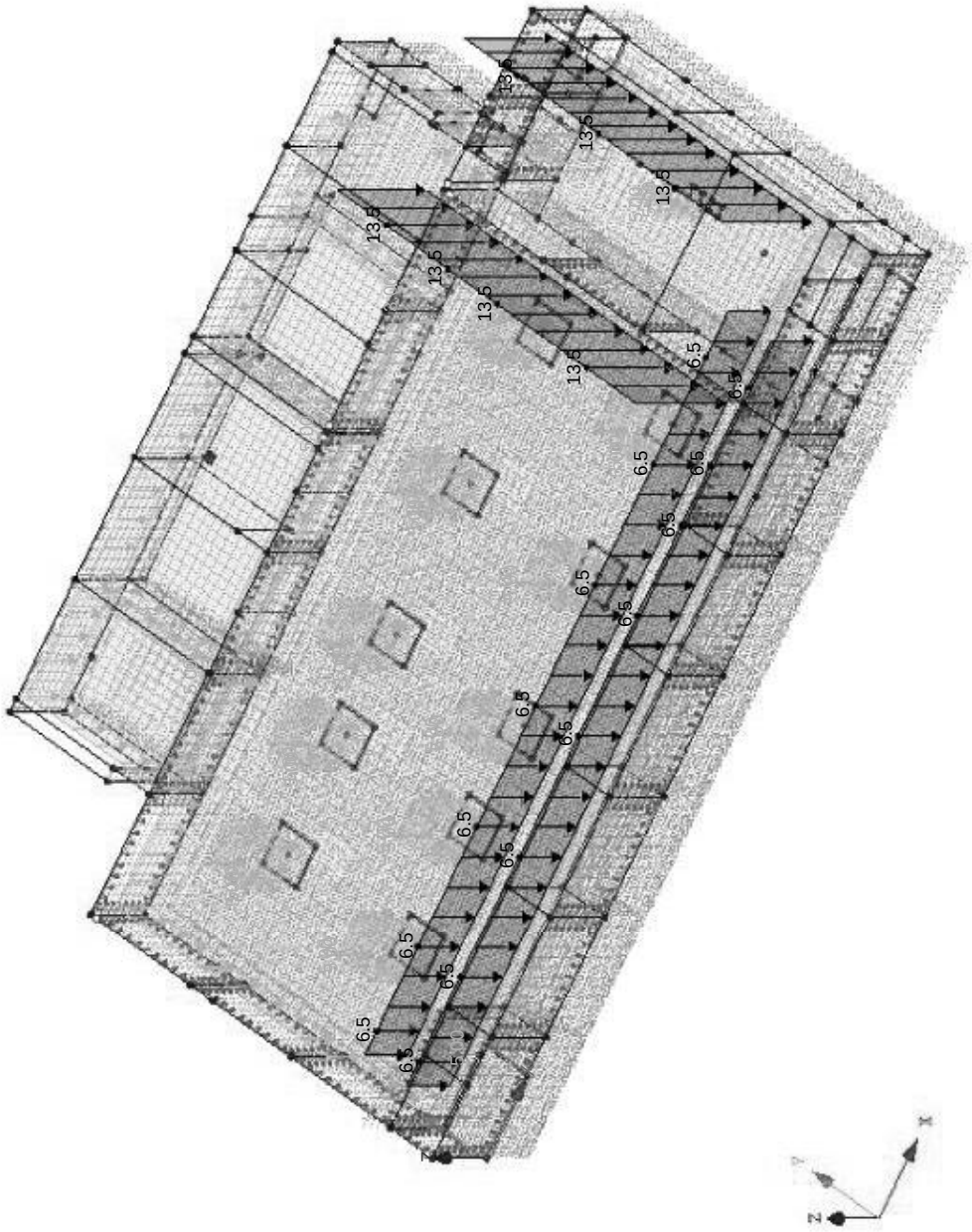
13.5
13.5
13.5
13.5
13.5
13.5
13.5
13.5
6.5
6.5
6

ZS5: UŽITNÉ ZATÍŽENÍ

Izometrie

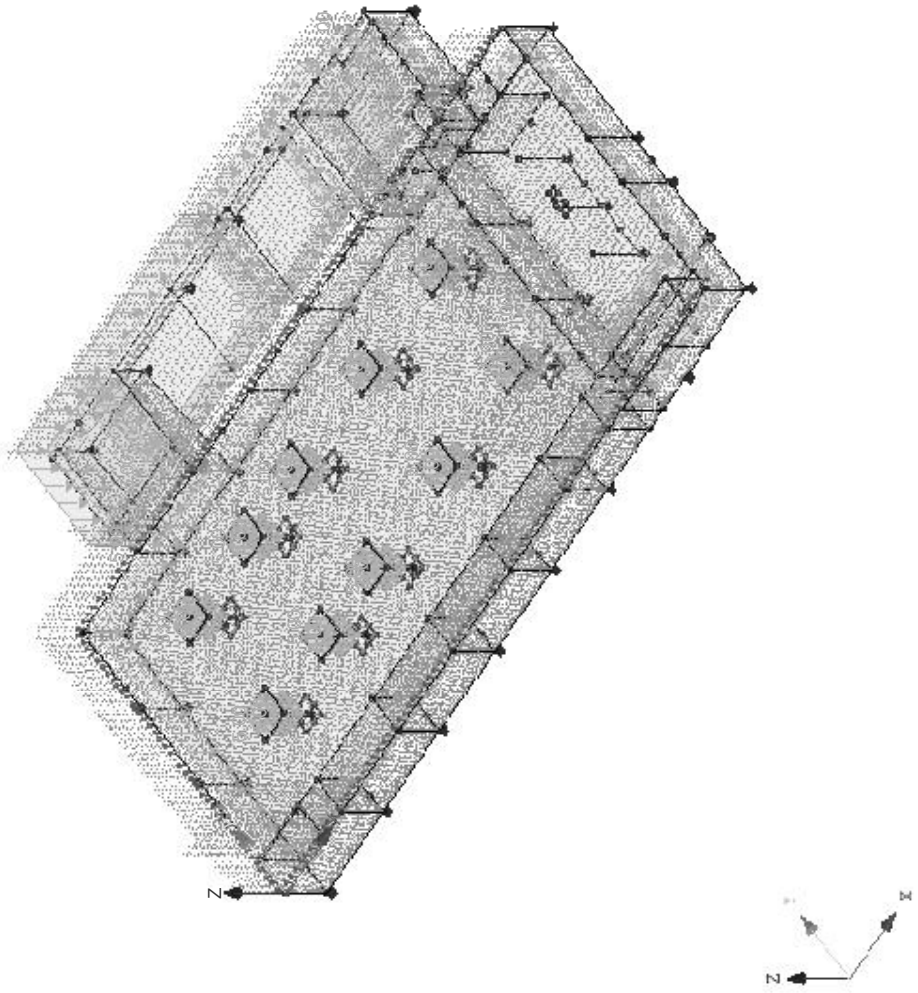

ZS 5: Užitné zatížení
Zatížení [kN/m^2]

4.0 VÝSLEDKY - SOUHRN

	Označení	Hodnota	Jednot	Komentář
Zatěžovací stav ZS1 - Vlastní tíha				
	Součet zatížení ve směru X	0.0	kN	
	Součet reakcí v X	0.0	kN	
	Součet zatížení ve směru Y	0.0	kN	
	Součet reakcí v Y	0.0	kN	
	Součet zatížení ve směru Z	-27531.8	kN	
	Součet reakcí v Z	-27531.8	kN	Odchylka 0.00%
	Výslednice reakcí okolo X	2640.3	kNm	V těžišti modelu (X:22774.7, Y:12370.5, Z:-614.5 mm)
	Výslednice reakcí okolo Y	1299.2	kNm	V těžišti modelu
	Výslednice reakcí okolo Z	0.0	kNm	V těžišti modelu
	Max. posun ve směru X	0.5	mm	Uzel č. 965 sítě KP (X: 0, Y: 8050, Z: 8150 mm)
	Max. posun ve směru Y	0.7	mm	Uzel č. 416 sítě KP (X: 30000, Y: 0, Z: 8150 mm)
	Max. posun ve směru Z	-2.6	mm	Uzel č. 5330 sítě KP (X: 20500, Y: 11528, Z: 0 mm)
	Max. posun vektorový	2.6	mm	Uzel č. 5330 sítě KP (X: 20500, Y: 11528, Z: 0 mm)
	Max. pootočení okolo X	0.0008	rad	Uzel č. 11301 sítě KP (X: 17975, Y: 27042, Z: 0 mm)
	Max. pootočení okolo Y	0.0010	rad	Uzel č. 853 sítě KP (X: 0, Y: 20550, Z: 6700 mm)
	Max. pootočení okolo Z	-0.0002	rad	Uzel č. 11496 sítě KP (X: 17496, Y: 28540, Z: -1200 mm)
	Způsob výpočtu	I. řád		Teorie I. řádu (geometricky lineární výpočet)
	Redukce tuhosti			Průřezy, Pruty, Plochy
	Počet přírůstků zatížení	1		
	Počet iterací	1		
	Maximální hodnota prvku matice tuhosti na diagonále	3.593E+14		
	Minimální hodnota prvku matice tuhosti na diagonále	1.0E+04		
	Determinant matice tuhosti	8.765E+2128029		
	Nekonečná norma	7.186E+14		
Zatěžovací stav ZS2 - Ostatní stálé				
	Součet zatížení ve směru X	-129.3	kN	
	Součet reakcí v X	-129.3	kN	Odchylka 0.00%
	Součet zatížení ve směru Y	40.7	kN	
	Součet reakcí v Y	40.7	kN	Odchylka 0.00%
	Součet zatížení ve směru Z	-10296.8	kN	
	Součet reakcí v Z	-10296.8	kN	Odchylka 0.00%
	Výslednice reakcí okolo X	3241.8	kNm	V těžišti modelu (X:22774.7, Y:12370.5, Z:-614.5 mm)
	Výslednice reakcí okolo Y	14221.7	kNm	V těžišti modelu
	Výslednice reakcí okolo Z	-4959.6	kNm	V těžišti modelu
	Max. posun ve směru X	0.4	mm	Uzel č. 1008 sítě KP (X: 44950, Y: 11530, Z: 8150 mm)
	Max. posun ve směru Y	0.8	mm	Uzel č. 1894 sítě KP (X: 44950, Y: 0, Z: 6180 mm)
	Max. posun ve směru Z	-2.8	mm	Uzel č. 2219 sítě KP (X: 33000, Y: 0, Z: 6700 mm)
	Max. posun vektorový	2.8	mm	Uzel č. 2219 sítě KP (X: 33000, Y: 0, Z: 6700 mm)
	Max. pootočení okolo X	0.0010	rad	Uzel č. 847 sítě KP (X: 0, Y: 20550, Z: 8150 mm)
	Max. pootočení okolo Y	0.0013	rad	Uzel č. 853 sítě KP (X: 0, Y: 20550, Z: 6700 mm)
	Max. pootočení okolo Z	0.0002	rad	Uzel č. 36254 sítě KP (X: 38613, Y: 0, Z: 0 mm)
	Způsob výpočtu	I. řád		Teorie I. řádu (geometricky lineární výpočet)
	Redukce tuhosti			Průřezy, Pruty, Plochy
	Počet přírůstků zatížení	1		
	Počet iterací	1		
	Maximální hodnota prvku matice tuhosti na diagonále	3.593E+14		
	Minimální hodnota prvku matice tuhosti na diagonále	1.0E+04		
	Determinant matice tuhosti	8.765E+2128029		
	Nekonečná norma	7.186E+14		
Zatěžovací stav ZS3 - Sníh				
	Součet zatížení ve směru X	0.0	kN	
	Součet reakcí v X	0.0	kN	
	Součet zatížení ve směru Y	0.0	kN	
	Součet reakcí v Y	0.0	kN	
	Součet zatížení ve směru Z	-1001.5	kN	
	Součet reakcí v Z	-1001.5	kN	Odchylka 0.00%
	Výslednice reakcí okolo X	-1698.2	kNm	V těžišti modelu (X:22774.7, Y:12370.5, Z:-614.5 mm)
	Výslednice reakcí okolo Y	133.3	kNm	V těžišti modelu
	Výslednice reakcí okolo Z	0.0	kNm	V těžišti modelu
	Max. posun ve směru X	0.0	mm	Uzel č. 1030 sítě KP (X: 44950, Y: 13813, Z: 8150 mm)
	Max. posun ve směru Y	-0.1	mm	Uzel č. 396 sítě KP (X: 6000, Y: 20550, Z: 8150 mm)
	Max. posun ve směru Z	-0.4	mm	Uzel č. 986 sítě KP (X: 0, Y: 11550, Z: 8150 mm)
	Max. posun vektorový	0.4	mm	Uzel č. 986 sítě KP (X: 0, Y: 11550, Z: 8150 mm)
	Max. pootočení okolo X	0.0002	rad	Uzel č. 847 sítě KP (X: 0, Y: 20550, Z: 8150 mm)
	Max. pootočení okolo Y	0.0000	rad	Uzel č. 846 sítě KP (X: 36000, Y: 20550, Z: 4100 mm)
	Max. pootočení okolo Z	-0.0000	rad	Uzel č. 846 sítě KP (X: 36000, Y: 20550, Z: 4100 mm)
	Způsob výpočtu	I. řád		Teorie I. řádu (geometricky lineární výpočet)
	Redukce tuhosti			Průřezy, Pruty, Plochy
	Počet přírůstků zatížení	1		
	Počet iterací	1		
	Maximální hodnota prvku matice tuhosti na diagonále	3.593E+14		
	Minimální hodnota prvku matice tuhosti na diagonále	1.0E+04		
	Determinant matice tuhosti	8.765E+2128029		
	Nekonečná norma	7.186E+14		
Zatěžovací stav ZS5 - Užitné zatížení				
	Součet zatížení ve směru X	0.0	kN	
	Součet reakcí v X	0.0	kN	
	Součet zatížení ve směru Y	0.0	kN	
	Součet reakcí v Y	0.0	kN	
	Součet zatížení ve směru Z	-11091.8	kN	
	Součet reakcí v Z	-11091.8	kN	Odchylka 0.00%
	Výslednice reakcí okolo X	5613.9	kNm	V těžišti modelu (X:22774.7, Y:12370.5, Z:-614.5 mm)
	Výslednice reakcí okolo Y	-7098.2	kNm	V těžišti modelu
	Výslednice reakcí okolo Z	0.0	kNm	V těžišti modelu
	Max. posun ve směru X	0.3	mm	Uzel č. 992 sítě KP (X: 0, Y: 9050, Z: 8150 mm)

4.0 VÝSLEDKY - SOUHRN

	Označení	Hodnota	Jednot	Komentář
	Max. posun ve směru Y	-0.7	mm	Uzel č. 6784 sítě KP (X: 15983, Y: 28540, Z: 4100 mm)
	Max. posun ve směru Z	-2.1	mm	Uzel č. 5330 sítě KP (X: 20500, Y: 11528, Z: 0 mm)
	Max. posun vektorový	2.1	mm	Uzel č. 5330 sítě KP (X: 20500, Y: 11528, Z: 0 mm)
	Max. pootočení okolo X	0.0007	rad	Uzel č. 11301 sítě KP (X: 17975, Y: 27042, Z: 0 mm)
	Max. pootočení okolo Y	0.0005	rad	Uzel č. 11297 sítě KP (X: 13456, Y: 24568, Z: 0 mm)
	Max. pootočení okolo Z	-0.0001	rad	Uzel č. 11496 sítě KP (X: 17496, Y: 28540, Z: -1200 mm)
	Způsob výpočtu	I. řád		Teorie I. řádu (geometricky lineární výpočet)
	Redukce tuhosti			Průřezy, Pruty, Plochy
	Počet přírůstků zatížení	1		
	Počet iterací	1		
	Maximální hodnota prvku matice tuhosti na diagonále	3.593E+14		
	Minimální hodnota prvku matice tuhosti na diagonále	1.0E+04		
	Determinant matice tuhosti	8.765E+2128029		
	Nekonečná norma	7.186E+14		
Kombinace zatížení KZ1 - Napětí				
	Součet zatížení ve směru X	-174.6	kN	
	Součet reakcí v X	-174.6	kN	Odchylka 0.00%
	Součet zatížení ve směru Y	54.9	kN	
	Součet reakcí v Y	54.9	kN	Odchylka 0.00%
	Součet zatížení ve směru Z	-69208.7	kN	
	Součet reakcí v Z	-69208.7	kN	Odchylka 0.00%
	Výslednice reakcí okolo X	1.380E+04	kNm	V těžišti modelu (X:2.277E+04, Y:1.237E+04, Z:-614.4670 mm)
	Výslednice reakcí okolo Y	1.051E+04	kNm	V těžišti modelu
	Výslednice reakcí okolo Z	-6.70E+03	kNm	V těžišti modelu
	Max. posun ve směru X	1.1	mm	Uzel č. 967 sítě KP (X: 0, Y: 7550, Z: 8150 mm)
	Max. posun ve směru Y	2.3	mm	Uzel č. 1894 sítě KP (X: 44950, Y: 0, Z: 6180 mm)
	Max. posun ve směru Z	-7.5	mm	Uzel č. 5330 sítě KP (X: 20500, Y: 11528, Z: 0 mm)
	Max. posun vektorový	7.5	mm	Uzel č. 5330 sítě KP (X: 20500, Y: 11528, Z: 0 mm)
	Max. pootočení okolo X	0.0025	rad	Uzel č. 11301 sítě KP (X: 17975, Y: 27042, Z: 0 mm)
	Max. pootočení okolo Y	0.0031	rad	Uzel č. 853 sítě KP (X: 0, Y: 20550, Z: 6700 mm)
	Max. pootočení okolo Z	-0.0005	rad	Uzel č. 11496 sítě KP (X: 17496, Y: 28540, Z: -1200 mm)
	Způsob výpočtu	II. řád		Teorie II. řádu (nelineární výpočet podle Timoshenka)
	Vnitřní síly vztažené na deformovaný systém pro...	☒		N, V_y, V_z, M_y, M_z, M_T
	Redukce tuhosti			Materiály, Průřezy, Pruty, Plochy
	Zohlednit příznivé působení tahových sil	☒		
	Zpětné dělení výsledků součinitelem KZ	☐		
	Počet přírůstků zatížení	1		
	Počet iterací	3		
	Maximální hodnota prvku matice tuhosti na diagonále	3.593E+14		
	Minimální hodnota prvku matice tuhosti na diagonále	1.0E+04		
	Determinant matice tuhosti	3.658E+2128027		
	Nekonečná norma	7.186E+14		
Kombinace zatížení KZ2 - DEFORMACE				
	Součet zatížení ve směru X	-129.3	kN	
	Součet reakcí v X	-129.3	kN	Odchylka 0.00%
	Součet zatížení ve směru Y	40.7	kN	
	Součet reakcí v Y	40.7	kN	Odchylka -0.00%
	Součet zatížení ve směru Z	-49922.0	kN	
	Součet reakcí v Z	-49922.0	kN	Odchylka 0.00%
	Výslednice reakcí okolo X	9791.0900	kNm	V těžišti modelu (X:2.277E+04, Y:1.237E+04, Z:-614.4670 mm)
	Výslednice reakcí okolo Y	8556.9800	kNm	V těžišti modelu
	Výslednice reakcí okolo Z	-4.96E+03	kNm	V těžišti modelu
	Max. posun ve směru X	0.7	mm	Prut č. 8, x: 1000 mm
	Max. posun ve směru Y	1.7	mm	Uzel č. 1894 sítě KP (X: 44950, Y: 0, Z: 6180 mm)
	Max. posun ve směru Z	-5.3	mm	Uzel č. 5330 sítě KP (X: 20500, Y: 11528, Z: 0 mm)
	Max. posun vektorový	5.3	mm	Uzel č. 5330 sítě KP (X: 20500, Y: 11528, Z: 0 mm)
	Max. pootočení okolo X	0.0018	rad	Uzel č. 11301 sítě KP (X: 17975, Y: 27042, Z: 0 mm)
	Max. pootočení okolo Y	0.0023	rad	Uzel č. 853 sítě KP (X: 0, Y: 20550, Z: 6700 mm)
	Max. pootočení okolo Z	-0.0003	rad	Uzel č. 11496 sítě KP (X: 17496, Y: 28540, Z: -1200 mm)
	Způsob výpočtu	II. řád		Teorie II. řádu (nelineární výpočet podle Timoshenka)
	Vnitřní síly vztažené na deformovaný systém pro...	☒		N, V_y, V_z, M_y, M_z, M_T
	Redukce tuhosti			Materiály, Průřezy, Pruty, Plochy
	Zohlednit příznivé působení tahových sil	☒		
	Zpětné dělení výsledků součinitelem KZ	☐		
	Počet přírůstků zatížení	1		
	Počet iterací	3		
	Maximální hodnota prvku matice tuhosti na diagonále	3.593E+14		
	Minimální hodnota prvku matice tuhosti na diagonále	1.0E+04		
	Determinant matice tuhosti	1.659E+2128028		
	Nekonečná norma	7.186E+14		
Celkem				
	Max. posun ve směru X	1.1	mm	KZ1, Uzel č. 967 sítě KP (X: 0, Y: 7550, Z: 8150 mm)
	Max. posun ve směru Y	2.3	mm	KZ1, Uzel č. 1894 sítě KP (X: 44950, Y: 0, Z: 6180 mm)
	Max. posun ve směru Z	-7.5	mm	KZ1, Uzel č. 5330 sítě KP (X: 20500, Y: 11528, Z: 0 mm)
	Max. posun vektorový	7.5	mm	KZ1, Uzel č. 5330 sítě KP (X: 20500, Y: 11528, Z: 0 mm)
	Max. pootočení okolo X	0.0025	rad	KZ1, Uzel č. 11301 sítě KP (X: 17975, Y: 27042, Z: 0 mm)
	Max. pootočení okolo Y	0.0031	rad	KZ1, Uzel č. 853 sítě KP (X: 0, Y: 20550, Z: 6700 mm)
	Max. pootočení okolo Z	-0.0005	rad	KZ1, Uzel č. 11496 sítě KP (X: 17496, Y: 28540, Z: -1200 mm)
	Ostatní nastavení:			
	Počet konečných prvků 1D	2022		
	Počet konečných prvků 2D	37622		
	Počet konečných prvků 3D	0		

4.0 VÝSLEDKY - SOUHRN

Počet uzlů sítě KP	38727		
Počet rovnic	232362		
Vnitřní síly vztažené na deformovaný systém pro...:			
Maximální počet iterací	100		
Počet dělení prutu pro průběhy výsledků	10		
Dělení prutů typu lano, prutů s náběhem a na podloží	10		
Počet dělení prutů pro hledání maximálních hodnot	10		
Rozdělení sítě KP pro grafické výsledky	0		
Procentuální počet iterací Picardovy metody v kombinaci s metodou Newton-Raphsonovou	5	%	
Možnosti:			
Aktivovat smykovou tuhost prutů (Ay, Az)	☒		
Aktivovat dělení prutů pro analýzu velkých deformací nebo poskritickou analýzu	☒		
Aktivovat zadané změny tuhosti	☒		
Ignorovat rotační stupně volnosti	☐		
Kontrola kritických sil prutů	☒		
Nesymetrický přímý řešič, pokud vyžadováno nelineárním modelem	☐		
Metoda pro systém rovnic	Přímá		
Ohybová teorie desek	Mindlinova		
Verze řešiče	64-bit		
Přesnost a tolerance:			
Změnit standardní nastavení	☐		

VNITŘNÍ SÍLY N, PODPOROVÉ REAKCE

Izometrie

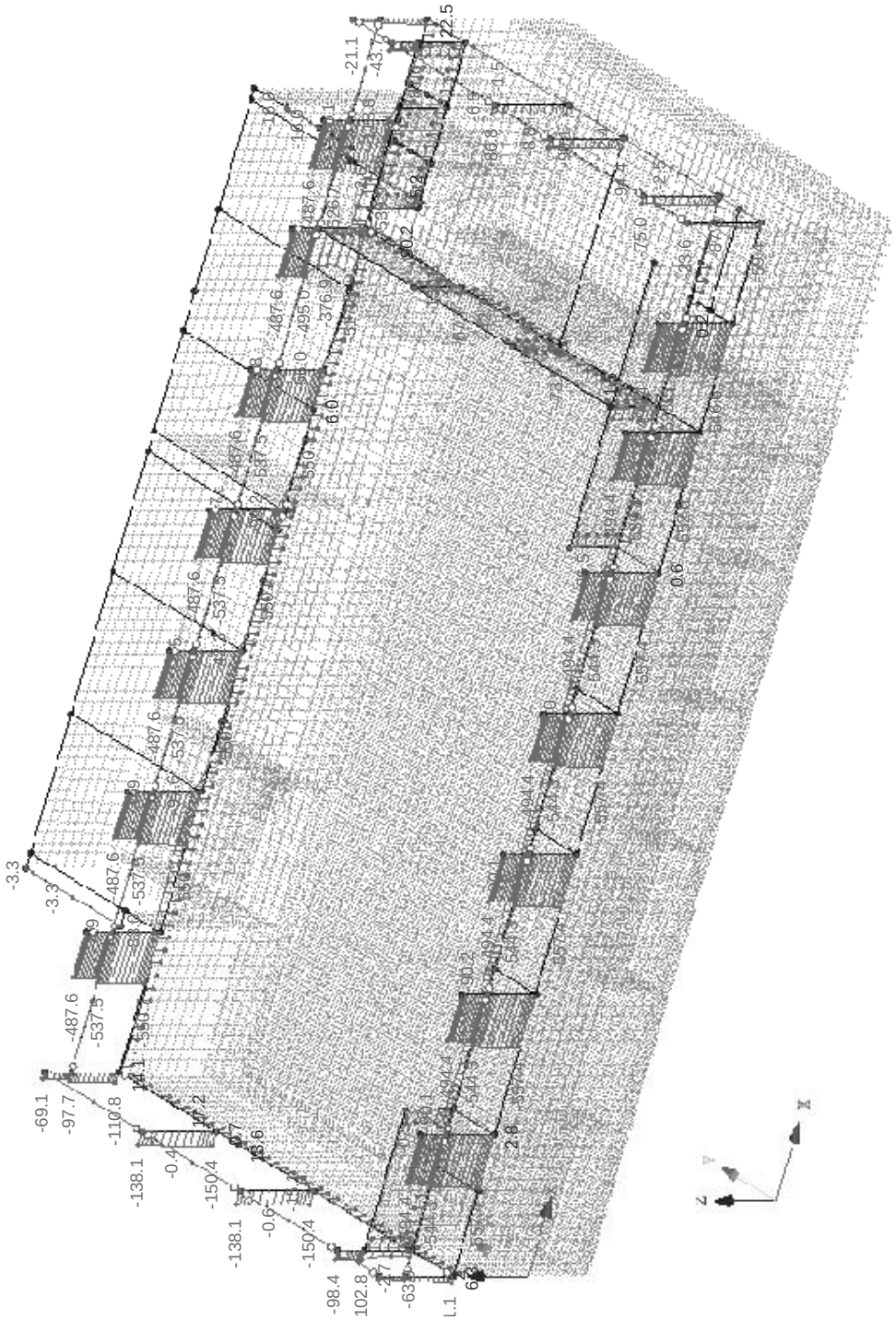

KZ 1: NAPĚTÍ
Pruty Vnitřní síly N
Podporové reakce[kN]

Pruty Max N: 90.2, Min N: -557.4 [kN]

■ VNITŘNÍ SÍLY V_z, PODPOROVÉ REAKCE

Izometrie

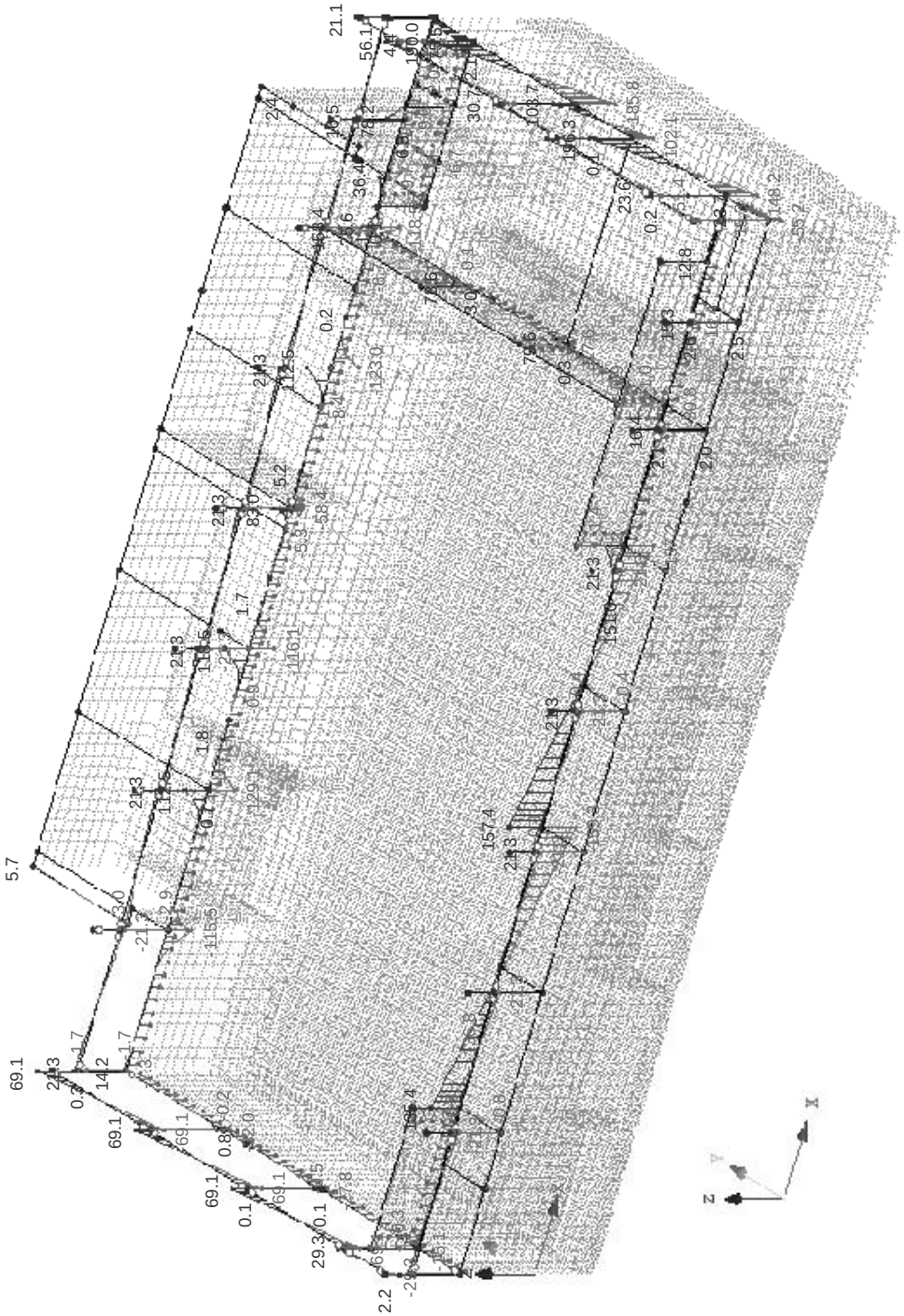

KZ 1: NAPĚTÍ
Pruty Vnitřní síly V-z
Podporové reakce[kN]

Pruty Max V-z: 196.3, Min V-z: -185.8 [kN]

VNITŘNÍ SÍLY M_y, PODPOROVÉ REAKCE

Izometrie

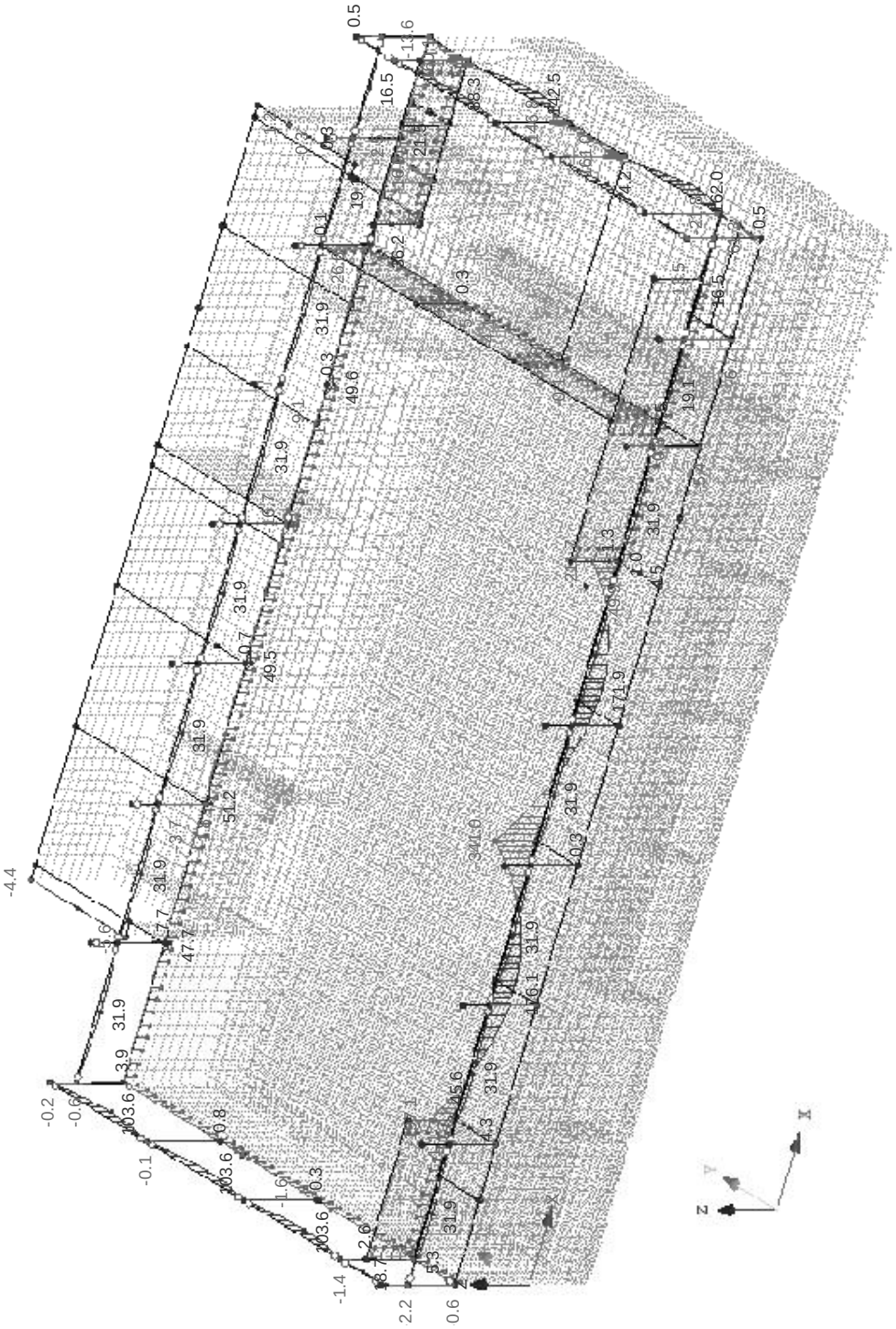

KZ 1: NAPĚTÍ
Pruty Vnitřní síly M-y
Podporové reakce[kN]

Pruty Max M-y: 176.1, Min M-y: -341.0 [kNm]

VNITŘNÍ SÍLY N, PODPOROVÉ REAKCE

Izometrie

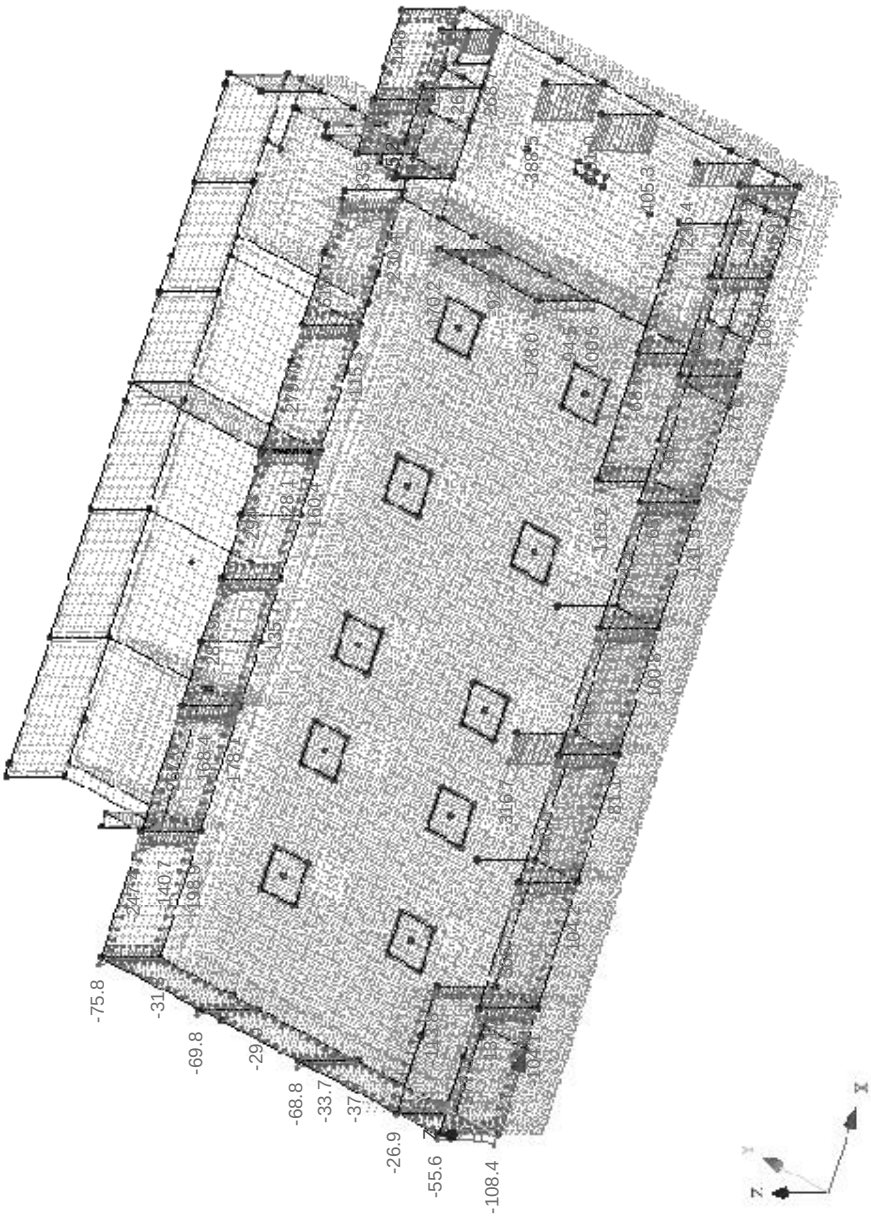

KZ 1: NAPĚTÍ
Pruty Vnitřní síly N
Podporové reakce[kN]

Pruty Max N: 61.3, Min N: -518.7 [kN]

■ VNITŘNÍ SÍLY V_z, PODPOROVÉ REAKCE

Izometrie

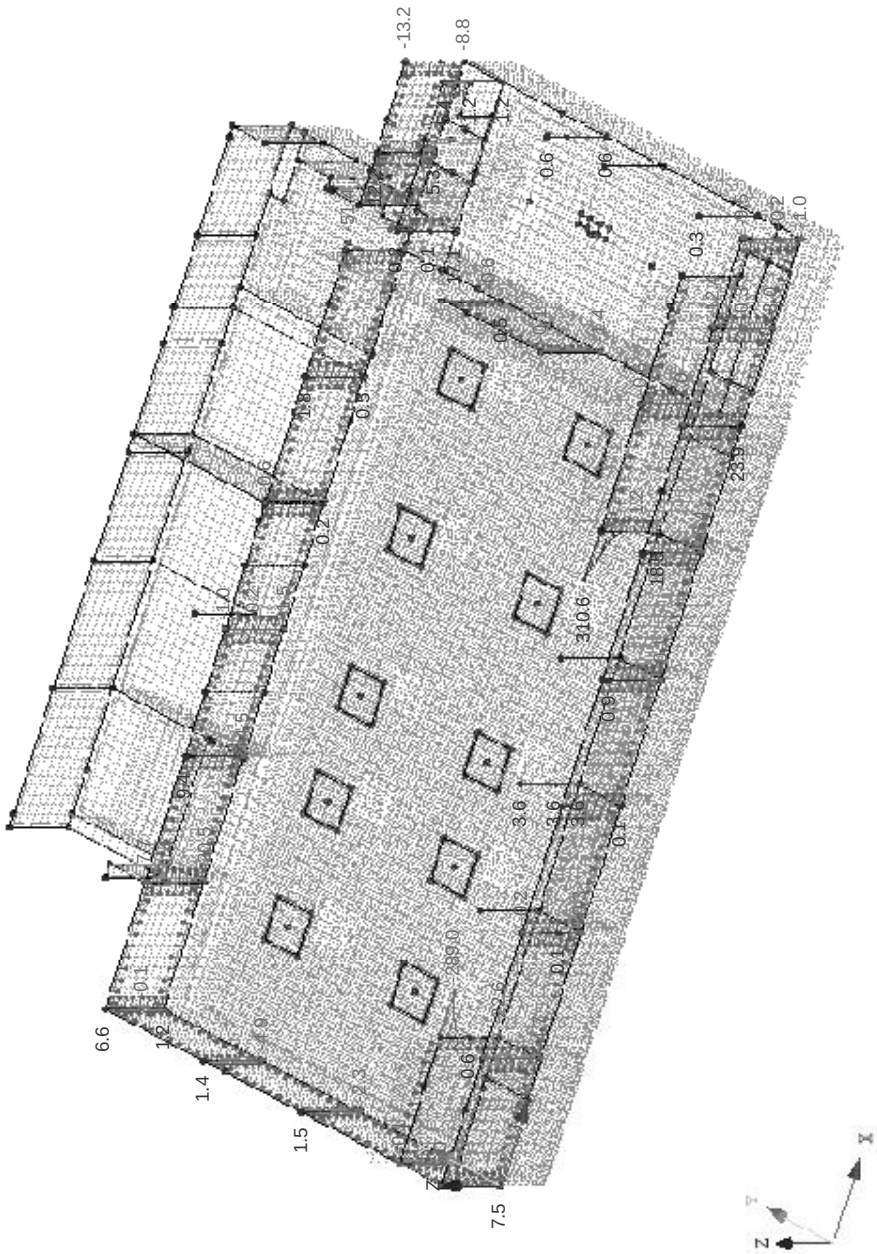

KZ 1: NAPĚTÍ
Pruty Vnitřní síly V-z
Podporové reakce[kN]

Pruty Max V-z: 310.6, Min V-z: -289.0 [kN]

VNITŘNÍ SÍLY M_y, PODPOROVÉ REAKCE

Izometrie

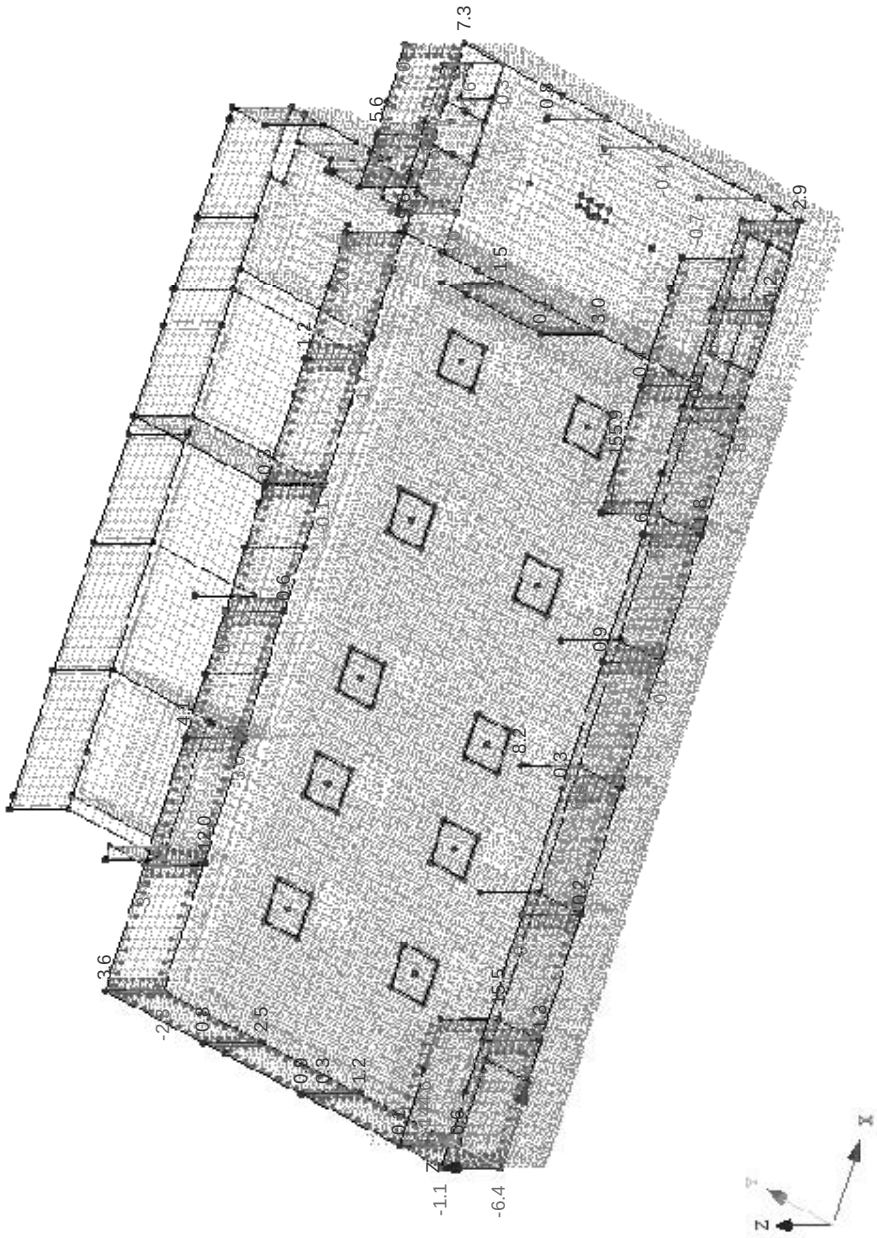

KZ 1: NAPĚTÍ
Pruty Vnitřní síly M-y
Podporové reakce[kN]

Pruty Max M-y: 155.9, Min M-y: -144.6 [kNm]

■ ZÁKLADNÍ HODNOTY m_x, PODPOROVÉ REAKCE

Izometrie

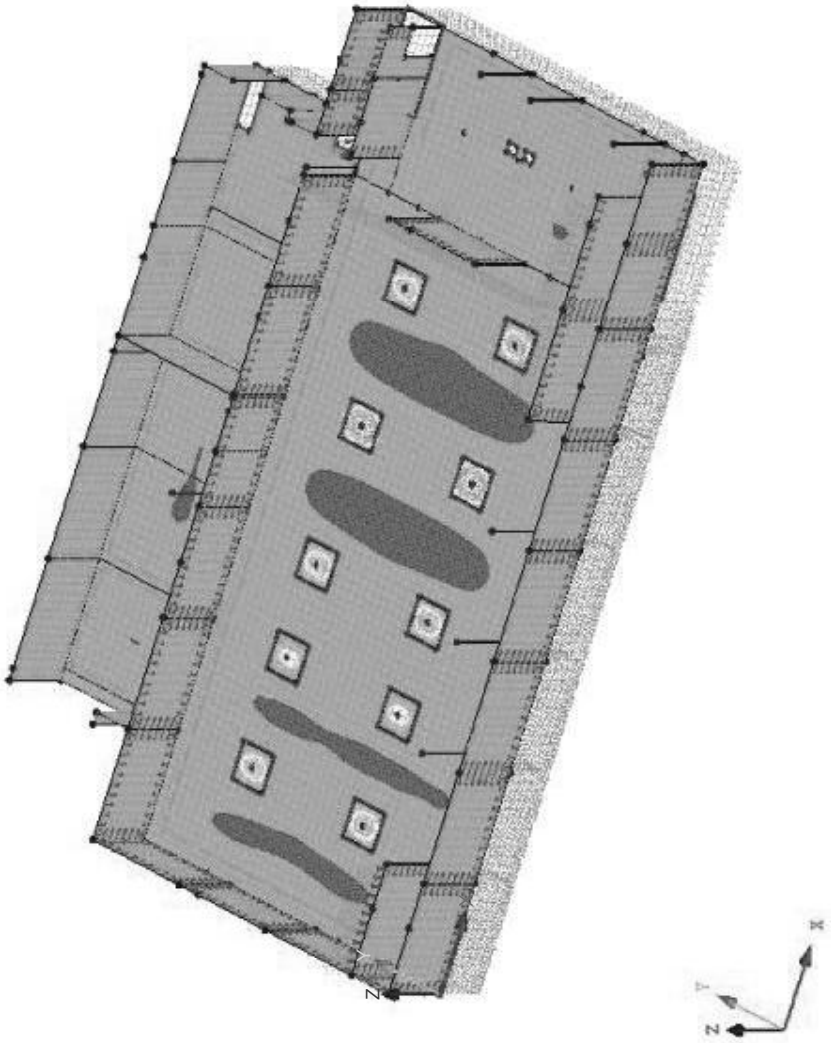

KZ 1: NAPĚTÍ
Plochy Základní vnitřní síly m-x
Podporové reakce[kN]

Základní hodnoty
mx [kNm/m]

47.2
43.0
20.0
-58.2
-93.3
-128.4
-163.6
-198.7

Max : 40.3
Min : -291.8

Plochy Max m-x: 40.3, Min m-x: -291.8 [kNm/m]

■ ZÁKLADNÍ HODNOTY m_y, PODPOROVÉ REAKCE

Izometrie

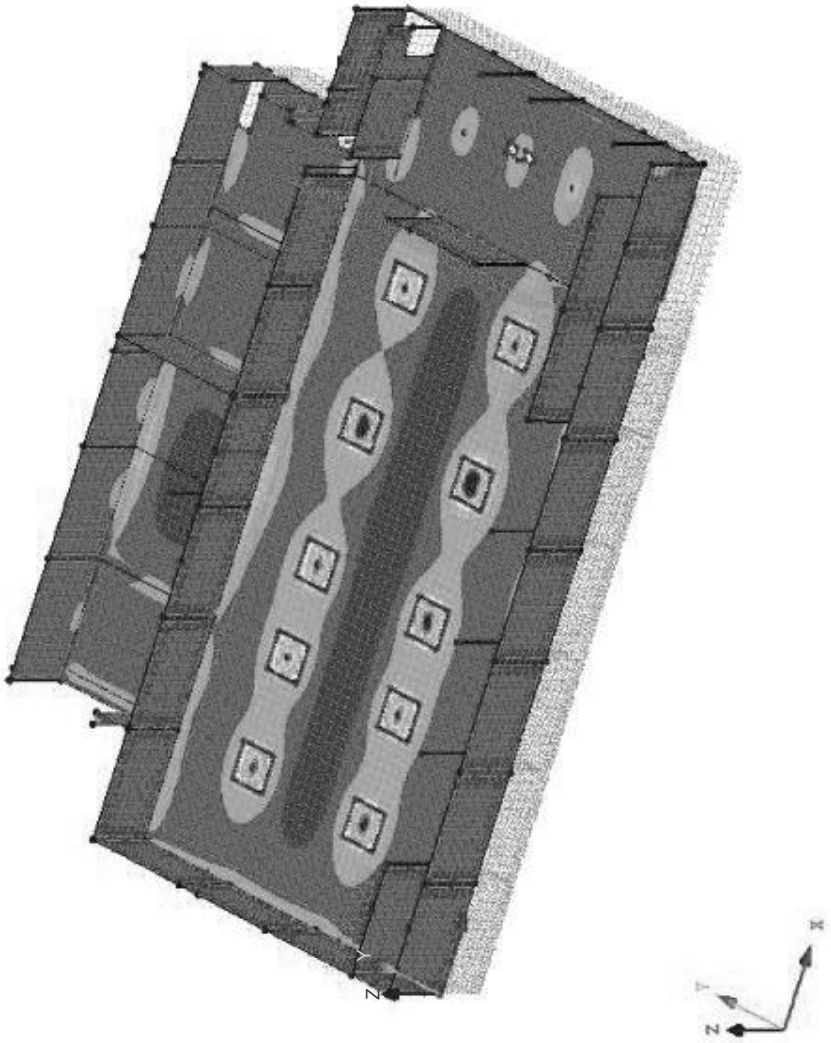

KZ 1: NAPĚTÍ
Plochy Základní vnitřní síly m-y
Podporové reakce[kN]

Plochy Max m-y: 50.2, Min m-y: -249.6 [kNm/m]

Základní hodnoty
m_y [kNm/m]

	50.2
	23.0
	-4.3
	-31.5
	-58.8
	-86.0
	-113.3
	-140.5
	-167.8
	-195.0
	-222.3
	-249.6
Max :	50.2
Min :	-249.6

VNITŘNÍ SÍLY N, PODPOROVÉ REAKCE

Izometrie

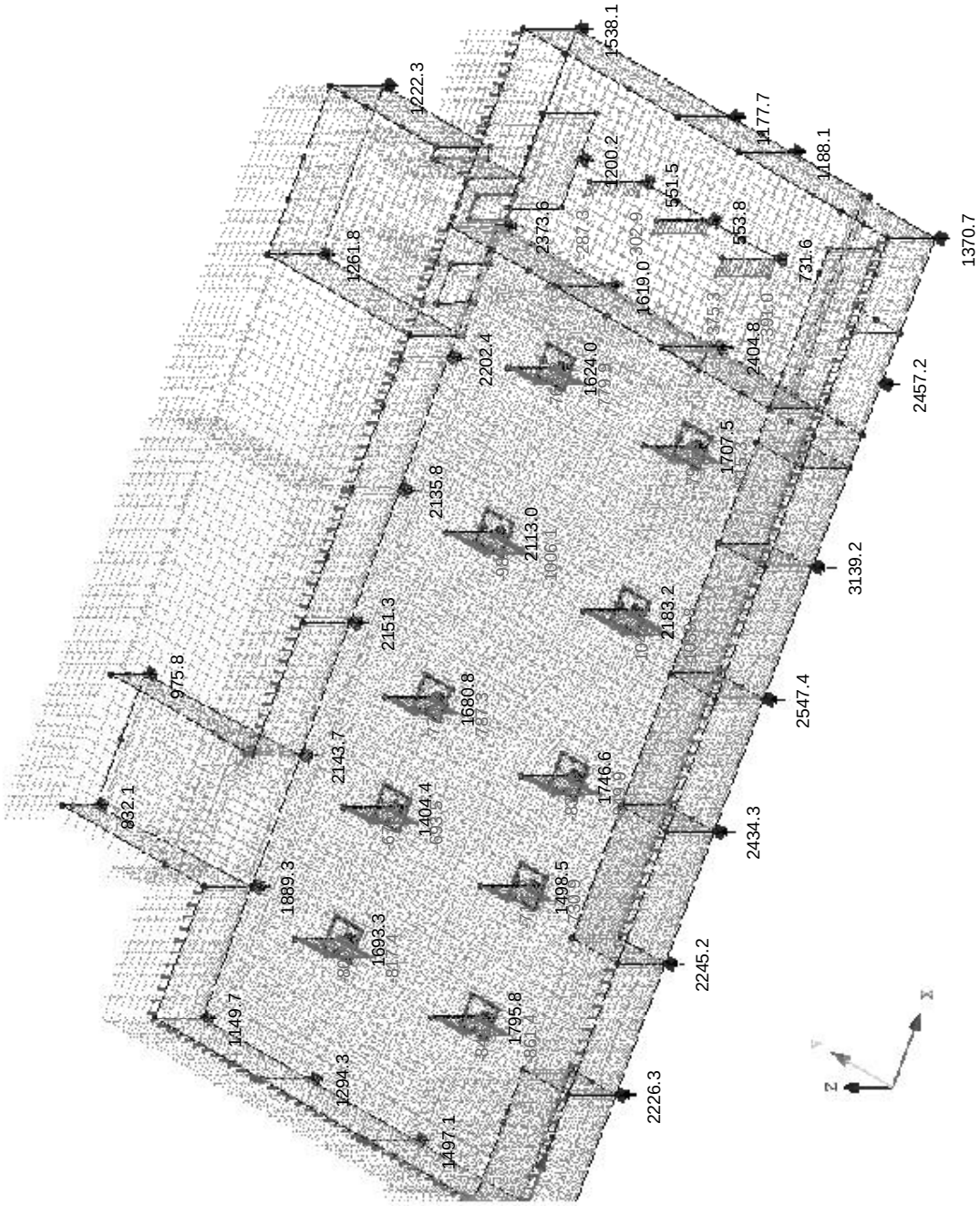

KZ 1: NAPĚTÍ
Pruty Vnitřní síly N
Podporové reakce[kN]

Tloušťka plochy [mm]
200.0
250.0
300.0
500.0

Pruty Max N: -274.6, Min N: -1059.8 [kN]
Max P-Z': -551.5, Min P-Z': -3139.2 kN

ZÁKLADNÍ HODNOTY m_x, PODPOROVÉ REAKCE

Izometrie

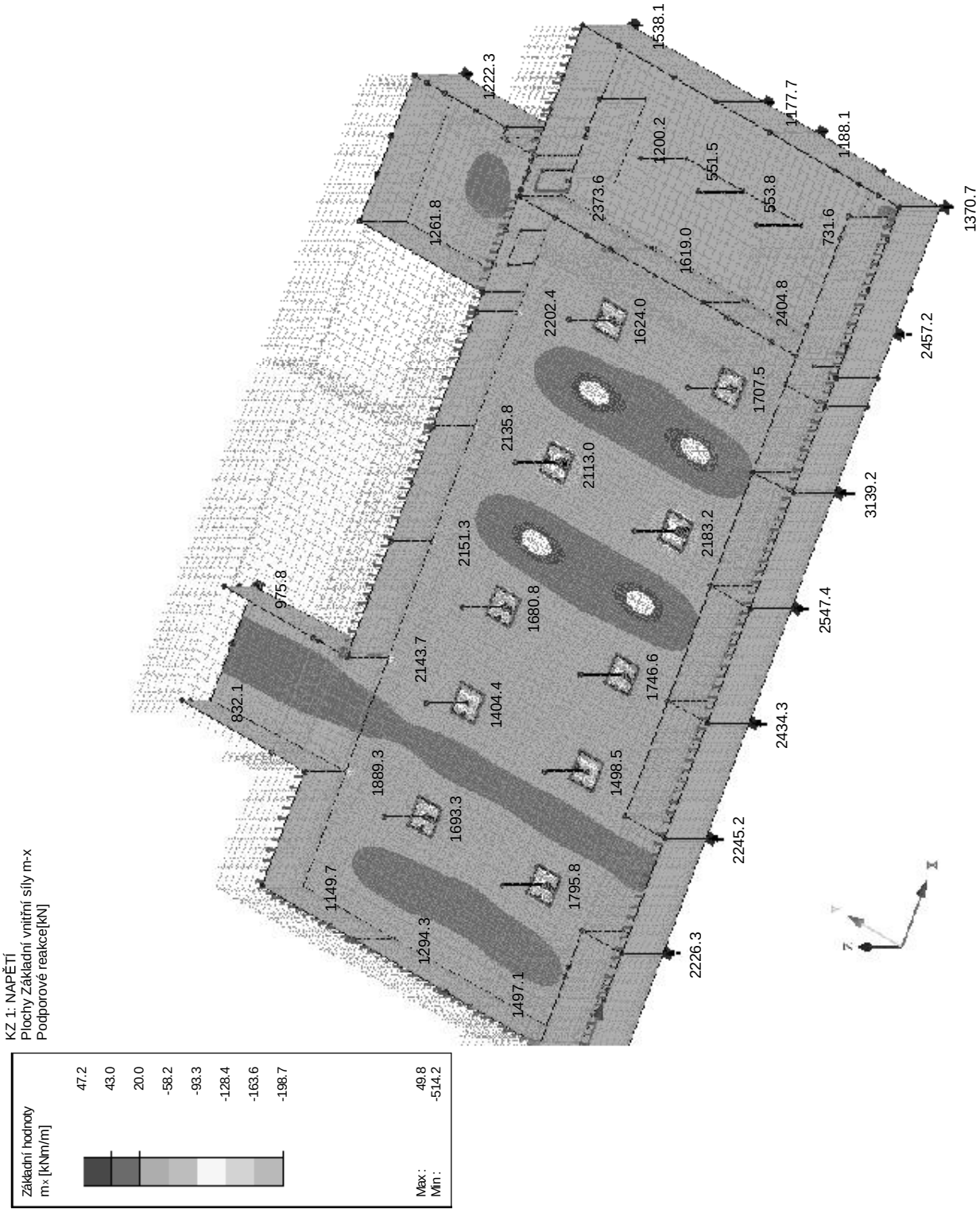

ZÁKLADNÍ HODNOTY m_y, PODPOROVÉ REAKCE

Izometrie

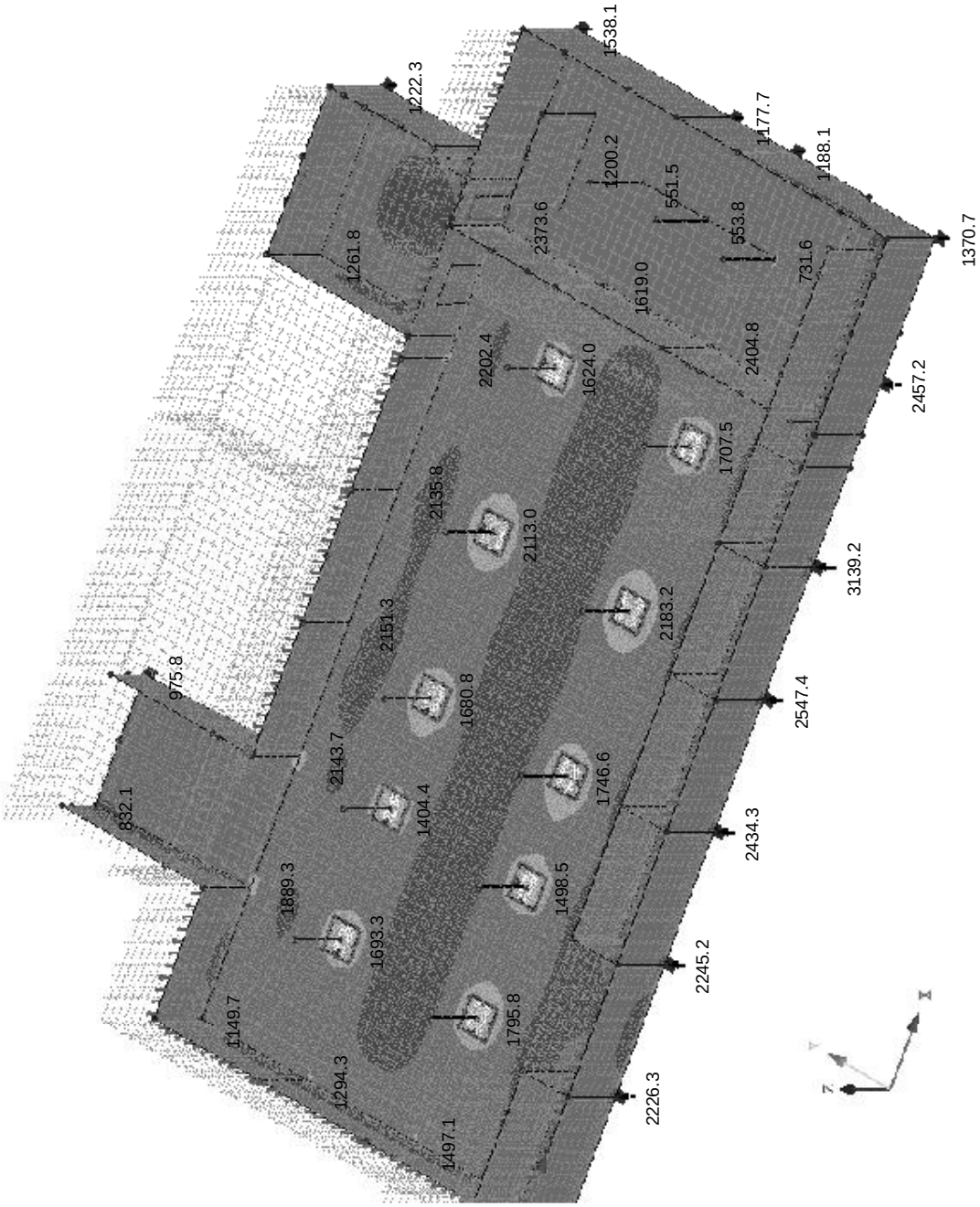

KZ 1: NAPĚTÍ
Plochy Základní vnitřní síly m-y
Podporové reakce[kN]

Plochy Max m-y: 78.6, Min m-y: -600.4 [kNm/m]
Max P-Z': -551.5, Min P-Z': -3139.2 kN

Základní hodnoty
m_y [kNm/m]

	78.6
	16.9
	-44.8
	-106.5
	-168.3
	-230.0
	-291.7
	-353.5
	-415.2
	-476.9
	-538.6
	-600.4
Max :	78.6
Min :	-600.4

1.1 ZÁKLADNÍ ÚDAJE

Posouzení podle normy:	CSN EN 1992-1-1/NA:2016-05	
MEZNÍ STAV ÚNOSNOSTI		
Posuzované kombinace zatížení:	KZ1	NAPĚTÍ Trvalá a dočasná
MEZNÍ STAV POUŽITELNOSTI		
Posuzované kombinace zatížení:	KZ2	DEFORMACE Kvazistálá, k_t 0.600
Definice navržené přídavné výztuže	Automatické uspořádání podle specifikací v tabulce 1.4	
Metoda pro posouzení MSP:	Metoda nelineární Podle EN 1992-1-1, 5.7 (4): 'Nelineární analýza'	
Zohlednit dotvarování	☒	
Uvažovat smršťování	☐	
Posouzení		
Posouzení přetvoření	☒	
Posouzení šířky trhlin	☒	
Posouzení napětí betonu	☐	
Posouzení napětí oceli	☒	
Pracovní diagram betonu v tlaku:	Parabolická	
Pracovní diagram betonu v tahu:	Tension stiffening s vlivem tahové pevnosti betonu (metoda Quast)	
Součinitel přizpůsobení pevnosti v tahu f-ct,R:	0.60	
Parametry výpočtu materiálu betonu:		
Beton C30/37	Faktor v = f-c / f-ct,R:	21.84
	Exponent n-PR:	2.01
	Exponent n-VMB:	1.00
Beton C25/30	Faktor v = f-c / f-ct,R:	21.15
	Exponent n-PR:	2.07
	Exponent n-VMB:	1.00
Beton C30/37	Faktor v = f-c / f-ct,R:	21.84
	Exponent n-PR:	2.01
	Exponent n-VMB:	1.00
Beton C25/30	Faktor v = f-c / f-ct,R:	21.15
	Exponent n-PR:	2.07
	Exponent n-VMB:	1.00
Použít pevnost oceli až do mezní pevnosti v tahu	☒	
Nastavení pro iterační postup		
Maximální počet iterací na přírustek zatížení:	200	
Počet přírůstků zatížení:	1	
Počet vrstev v prvku sítě:	10	
DETAILY		
Způsob výpočtu pro obálku výztuže	Smíšený	
Použít vnitřní síly bez vlivu žeber	☐	
Nastavení návrhové situace pro posouzení mezního stavu použitelnosti		
Kombinace zatížení:		
Charakteristická s přímým zatížením	Posouzení: k_1*f_{ck}, k_3*f_{yk}	
Charakteristická s vneseným přetvořením	Posouzení: k_1*f_{ck}, k_4*f_{yk}	
Častá	Posouzení: w_k	
Kvazistálá	Posouzení: k_2*f_{ck}, w_k, u_l	

1.2 MATERIÁLY

Materiál č.	Označení materiálu: Třída pevnosti betonu	Označení materiálu: Označení oceli	Komentář
1	Beton C30/37	B 500 S (A)	
4	Beton C25/30	B 500 S (A)	
7	Beton C30/37	B 500 S (A)	
8	Beton C25/30	B 500 S (A)	

1.2.1 PARAMETRY MATERIÁLU

Materiál č.	Označení	Název	Velikost	Jednotka
1	**Třída pevnosti betonu: Beton C30/37**			
	Charakteristická válcová pevnost v tlaku	f_{ck}	30.000	MPa
	5%-ní kvantil osové pevnosti v tahu	$f_{ctk,0,05}$	2.000	MPa
	Charakteristické pro nelineární výpočet			
	Střední sečný modul pružnosti	E_{cm}	33000.000	MPa
	Střední válcová pevnost v tlaku	f_{cm}	38.000	MPa
	Střední normálová pevnost v tahu	f_{ctm}	2.900	MPa
	Mezní přetvoření pro prostý tlak	e_{c1}	-2.200	‰
	Mezní přetvoření při porušení	e_{c1u}	-3.500	‰
	Smykový modul	G	13750.000	MPa
	Poissonův součinitel	n	0.200	-

1.2.1 PARAMETRY MATERIÁLU

Materiál č.	Označení	Název	Velikost	Jednotka
	Charakteristické protažení pro parabolicko-rektangulární pracovní diagram			
	Mezní přetvoření pro prostý tlak	e_{c2}	-2.000	‰
	Mezní přetvoření při porušení	e_{cu2}	-3.500	‰
	Exponent paraboly	n	2.000	-
	Objemová tíha	g	25.00	kN/m^3
	Výztužná ocel: B 500 S (A)			
	Modul pružnosti	E_s	200000.000	MPa
	Střední hodnota meze kluzu	f_{ym}	550.000	MPa
	Charakteristická hodnota meze kluzu	f_{yk}	500.000	MPa
	Střední hodnota pevnosti v tahu	f_{tm}	551.250	MPa
	Charakteristická hodnota pevnosti v tahu	f_{tk}	525.000	MPa
	Mezní přetvoření	e_{uk}	25.000	‰
4	**Třída pevnosti betonu: Beton C25/30**			
	Charakteristická válcová pevnost v tlaku	f_{ck}	25.000	MPa
	5%-ní kvantil osové pevnosti v tahu	$f_{ctk,0,05}$	1.800	MPa
	Charakteristické pro nelineární výpočet			
	Střední sečný modul pružnosti	E_{cm}	31000.000	MPa
	Střední válcová pevnost v tlaku	f_{cm}	33.000	MPa
	Střední normálová pevnost v tahu	f_{ctm}	2.600	MPa
	Mezní přetvoření pro prostý tlak	e_{c1}	-2.100	‰
	Mezní přetvoření při porušení	e_{c1u}	-3.500	‰
	Smykový modul	G	12916.700	MPa
	Poissonův součinitel	n	0.200	-
	Charakteristické protažení pro parabolicko-rektangulární pracovní diagram			
	Mezní přetvoření pro prostý tlak	e_{c2}	-2.000	‰
	Mezní přetvoření při porušení	e_{cu2}	-3.500	‰
	Exponent paraboly	n	2.000	-
	Objemová tíha	g	25.00	kN/m^3
	Výztužná ocel: B 500 S (A)			
	Modul pružnosti	E_s	200000.000	MPa
	Střední hodnota meze kluzu	f_{ym}	550.000	MPa
	Charakteristická hodnota meze kluzu	f_{yk}	500.000	MPa
	Střední hodnota pevnosti v tahu	f_{tm}	551.250	MPa
	Charakteristická hodnota pevnosti v tahu	f_{tk}	525.000	MPa
	Mezní přetvoření	e_{uk}	25.000	‰
7	**Třída pevnosti betonu: Beton C30/37**			
	Charakteristická válcová pevnost v tlaku	f_{ck}	30.000	MPa
	5%-ní kvantil osové pevnosti v tahu	$f_{ctk,0,05}$	2.000	MPa
	Charakteristické pro nelineární výpočet			
	Střední sečný modul pružnosti	E_{cm}	33000.000	MPa
	Střední válcová pevnost v tlaku	f_{cm}	38.000	MPa
	Střední normálová pevnost v tahu	f_{ctm}	2.900	MPa
	Mezní přetvoření pro prostý tlak	e_{c1}	-2.200	‰
	Mezní přetvoření při porušení	e_{c1u}	-3.500	‰
	Smykový modul	G	13750.000	MPa
	Poissonův součinitel	n	0.200	-
	Charakteristické protažení pro parabolicko-rektangulární pracovní diagram			
	Mezní přetvoření pro prostý tlak	e_{c2}	-2.000	‰
	Mezní přetvoření při porušení	e_{cu2}	-3.500	‰
	Exponent paraboly	n	2.000	-
	Objemová tíha	g	25.00	kN/m^3
	Výztužná ocel: B 500 S (A)			
	Modul pružnosti	E_s	200000.000	MPa
	Střední hodnota meze kluzu	f_{ym}	550.000	MPa
	Charakteristická hodnota meze kluzu	f_{yk}	500.000	MPa
	Střední hodnota pevnosti v tahu	f_{tm}	551.250	MPa
	Charakteristická hodnota pevnosti v tahu	f_{tk}	525.000	MPa
	Mezní přetvoření	e_{uk}	25.000	‰
8	**Třída pevnosti betonu: Beton C25/30**			
	Charakteristická válcová pevnost v tlaku	f_{ck}	25.000	MPa
	5%-ní kvantil osové pevnosti v tahu	$f_{ctk,0,05}$	1.800	MPa
	Charakteristické pro nelineární výpočet			
	Střední sečný modul pružnosti	E_{cm}	31000.000	MPa
	Střední válcová pevnost v tlaku	f_{cm}	33.000	MPa
	Střední normálová pevnost v tahu	f_{ctm}	2.600	MPa
	Mezní přetvoření pro prostý tlak	e_{c1}	-2.100	‰
	Mezní přetvoření při porušení	e_{c1u}	-3.500	‰
	Smykový modul	G	12916.700	MPa
	Poissonův součinitel	n	0.200	-
	Charakteristické protažení pro parabolicko-rektangulární pracovní diagram			
	Mezní přetvoření pro prostý tlak	e_{c2}	-2.000	‰
	Mezní přetvoření při porušení	e_{cu2}	-3.500	‰
	Exponent paraboly	n	2.000	-
	Objemová tíha	g	25.00	kN/m^3
	Výztužná ocel: B 500 S (A)			
	Modul pružnosti	E_s	200000.000	MPa
	Střední hodnota meze kluzu	f_{ym}	550.000	MPa
	Charakteristická hodnota meze kluzu	f_{yk}	500.000	MPa
	Střední hodnota pevnosti v tahu	f_{tm}	551.250	MPa
	Charakteristická hodnota pevnosti v tahu	f_{tk}	525.000	MPa
	Mezní přetvoření	e_{uk}	25.000	‰

1.3 PLOCHY

Plocha č.	Mat. č.	Souč. dotvar. j [-]	$u_{z,max}$ [mm]	$w_{k,+z\ (horní)}$ [mm]	$w_{k,-z\ (dolní)}$ [mm]	Upozornění
37	Tloušťka Typ: Konstantní, Tloušťka: 0.300 m					
	1	2.21496	23.800	0.300	0.300	
	Deformace vztažená na nedeformovaný systém					
39	Tloušťka Typ: Konstantní, Tloušťka: 0.250 m					

1.3 PLOCHY

Plocha č.	Mat. č.	Souč. dotvar. j [-]	$u_{z,max}$ [mm]	$w_{k,+z\ (horní)}$ [mm]	$w_{k,-z\ (dolní)}$ [mm]	Upozornění
	8	2.54369	0.120	0.300	0.300	
	Deformace vztažená na nedeformovaný systém					
40	Tloušťka Typ: Konstantní, Tloušťka: 0.220 m					
	8	2.59403	0.200	0.300	0.300	
	Deformace vztažená na nedeformovaný systém					
187	Tloušťka Typ: Konstantní, Tloušťka: 0.450 m					
	4	2.33539	8.000	0.300	0.300	
	Deformace vztažená na nedeformovaný systém					
188	Tloušťka Typ: Konstantní, Tloušťka: 0.450 m					
	4	2.33539	8.000	0.300	0.300	
	Deformace vztažená na nedeformovaný systém					
189	Tloušťka Typ: Konstantní, Tloušťka: 0.450 m					
	4	2.33539	8.000	0.300	0.300	
	Deformace vztažená na nedeformovaný systém					
190	Tloušťka Typ: Konstantní, Tloušťka: 0.450 m					
	4	2.33539	8.000	0.300	0.300	
	Deformace vztažená na nedeformovaný systém					
191	Tloušťka Typ: Konstantní, Tloušťka: 0.450 m					
	4	2.33539	8.000	0.300	0.300	
	Deformace vztažená na nedeformovaný systém					
192	Tloušťka Typ: Konstantní, Tloušťka: 0.450 m					
	4	2.33539	8.000	0.300	0.300	
	Deformace vztažená na nedeformovaný systém					
193	Tloušťka Typ: Konstantní, Tloušťka: 0.450 m					
	4	2.33539	8.000	0.300	0.300	
	Deformace vztažená na nedeformovaný systém					
194	Tloušťka Typ: Konstantní, Tloušťka: 0.450 m					
	4	2.33539	8.000	0.300	0.300	
	Deformace vztažená na nedeformovaný systém					
195	Tloušťka Typ: Konstantní, Tloušťka: 0.450 m					
	4	2.33539	8.000	0.300	0.300	
	Deformace vztažená na nedeformovaný systém					
196	Tloušťka Typ: Konstantní, Tloušťka: 0.450 m					
	4	2.33539	8.000	0.300	0.300	
	Deformace vztažená na nedeformovaný systém					
208	Tloušťka Typ: Konstantní, Tloušťka: 0.220 m					
	8	2.59403	0.200	0.300	0.300	
	Deformace vztažená na nedeformovaný systém					
219	Tloušťka Typ: Konstantní, Tloušťka: 0.500 m					
	1	2.06448	2.800	0.300	0.300	
	Deformace vztažená na nedeformovaný systém					
220	Tloušťka Typ: Konstantní, Tloušťka: 0.500 m					
	1	2.06448	2.800	0.300	0.300	
	Deformace vztažená na nedeformovaný systém					
221	Tloušťka Typ: Konstantní, Tloušťka: 0.500 m					
	1	2.06448	2.800	0.300	0.300	
	Deformace vztažená na nedeformovaný systém					
222	Tloušťka Typ: Konstantní, Tloušťka: 0.500 m					
	1	2.06448	2.800	0.300	0.300	
	Deformace vztažená na nedeformovaný systém					
223	Tloušťka Typ: Konstantní, Tloušťka: 0.500 m					
	1	2.06448	2.800	0.300	0.300	
	Deformace vztažená na nedeformovaný systém					
224	Tloušťka Typ: Konstantní, Tloušťka: 0.500 m					
	1	2.06448	2.800	0.300	0.300	
	Deformace vztažená na nedeformovaný systém					
225	Tloušťka Typ: Konstantní, Tloušťka: 0.500 m					
	1	2.06448	2.800	0.300	0.300	
	Deformace vztažená na nedeformovaný systém					
226	Tloušťka Typ: Konstantní, Tloušťka: 0.500 m					
	1	2.06448	2.800	0.300	0.300	
	Deformace vztažená na nedeformovaný systém					
227	Tloušťka Typ: Konstantní, Tloušťka: 0.500 m					
	1	2.06448	2.800	0.300	0.300	
	Deformace vztažená na nedeformovaný systém					
228	Tloušťka Typ: Konstantní, Tloušťka: 0.500 m					
	1	2.06448	2.800	0.300	0.300	
	Deformace vztažená na nedeformovaný systém					
240	Tloušťka Typ: Konstantní, Tloušťka: 0.250 m					
	1	2.27431	1.400	0.300	0.300	
	Deformace vztažená na nedeformovaný systém					
241	Tloušťka Typ: Konstantní, Tloušťka: 0.250 m					
	1	2.27431	1.400	0.300	0.300	
	Deformace vztažená na nedeformovaný systém					
242	Tloušťka Typ: Konstantní, Tloušťka: 0.250 m					
	1	2.27431	0.301	0.300	0.300	
	Deformace vztažená na nedeformovaný systém					
249	Tloušťka Typ: Konstantní, Tloušťka: 0.300 m					
	1	2.21496	0.301	0.300	0.300	
	Deformace vztažená na nedeformovaný systém					

1.4 SADA VÝZTUŽE Č. 1

Použít na plochy:	37,39,40,187-196,208,219-228,240-242,249
STUPEŇ VYZTUŽENÍ	
Minimální příčná výztuž	20.0 %
Minimální výztuž obecně	0.0 %
Minimální tlaková výztuž	0.0 %
Minimální tahová výztuž	0.0 %
Maximální procento vyztužení	4.0 %
Minimální procento smykové výztuže	0.0 %
PLOCHA VÝZTUŽE PRO POSOUZENÍ MSP	
Použít návrhovou základní výztuž a požadovanou přídavnou výztuž z tabulek 2.1, 2.2, 2.3	

1.4 SADA VÝZTUŽE Č. 1

Krytí výztuže podle normy	☐
USPOŘÁDÁNÍ ZÁKLADNÍ VÝZTUŽE - NAHOŘE (-z)	
Počet vrstev	2
Osová vzdálenost krytí	d-1: 0.025, d-2: 0.035 m
Průměr výztuže	ds-1: 10.00, ds-2: 10.00 mm
Směry výztuže	Phi-1: 0.000°, Phi-2: 90.000°
Plocha výztuže	As-1,-z (horní): 393.000, As-2,-z (horní): 393.000 mm²/m
USPOŘÁDÁNÍ ZÁKLADNÍ VÝZTUŽE - DOLE (+z)	
Počet vrstev	2
Osová vzdálenost krytí	d-1: 0.025, d-2: 0.035 m
Průměr výztuže	ds-1: 10.00, ds-2: 10.00 mm
Směry výztuže	Phi-1: 0.000°, Phi-2: 90.000°
Plocha výztuže	As-1,+z (dolní): 393.000, As-2,+z (dolní): 393.000 mm²/m
USPOŘÁDÁNÍ PŘÍDAVNÉ VÝZTUŽE - NAHOŘE (-z)	
Počet vrstev	2
Osová vzdálenost krytí	d-1: 0.035, d-2: 0.045 m
Průměr výztuže	ds-1: 10.00, ds-2: 10.00 mm
Směry výztuže	Phi-1: 0.000°, Phi-2: 90.000°
Plocha výztuže	Použít nutnou přídavnou výztuž podle tabulek 2.1, 2.2, 2.3
USPOŘÁDÁNÍ PŘÍDAVNÉ VÝZTUŽE - DOLE (+z)	
Počet vrstev	2
Osová vzdálenost krytí	d-1: 0.035, d-2: 0.045 m
Průměr výztuže	ds-1: 10.00, ds-2: 10.00 mm
Směry výztuže	Phi-1: 0.000°, Phi-2: 90.000°
Plocha výztuže	Použít nutnou přídavnou výztuž podle tabulek 2.1, 2.2, 2.3
PODÉLNÁ VÝZTUŽ PRO POSOUZENÍ POSOUVAJÍCÍCH SIL	
Použít nutnou podélnou výztuž	
NASTAVENÍ CSN EN 1992-1-1/NA:2016-05	
Minimální podélná výztuž pro desky podle 9.3.1	☒
Směr minimální výztuže	
Směr výztuže s hlavní tahovou silou od horní (-z) a dolní (+z) strany dohromady:	☒
Minimální podélná výztuž pro stěny podle 9.6	☐
Minimální smyková výztuž	☒
Vymezení tlakové zóny	☒
Proměnný sklon tlakových diagonál - min	45.000 °
Proměnný sklon tlakových diagonál - max	45.000 °
Proměnný sklon tlakových diagonál - min	21.800 °
Proměnný sklon tlakových diagonál - max	45.000 °
Proměnný sklon tlakových diagonál - min	30.000 °
Proměnný sklon tlakových diagonál - max	45.000 °
Dílčí součinitel spolehlivosti g_s	TD 1.15, MM 1.00, MSP 1.00
Dílčí součinitel spolehlivostii g_c	TD 1.50, MM 1.30, MSP 1.00
Zohlednění dlouhodobých účinků Alfa-cc	TD 1.00, MM 1.00, MSP 1.00
Zohlednění dlouhodobých účinků Alfa-ct	MSP 1.00

2.2 NUTNÁ VÝZTUŽ PO PLOCHÁCH

Plocha	Bod	Souřadnice bodu [m]				Nutná výztuž	Základní	Přídavná výztuž			Upozor-
č.	č.	X	Y	Z	Symbol	MSÚ	Výzt.	Nutná	Navržená	Jednotky	nění
37	S126	11.950	20.550	-3.300	$a_{s,1,-z\ (horní)}$	2494.637	393.000	2101.637	2101.637	mm²/m	
	S37627	11.752	20.550	-3.300	$a_{s,2,-z\ (horní)}$	1304.958	393.000	911.958	911.958	mm²/m	
	S37613	8.975	20.550	-3.300	$a_{s,1,+z\ (dolní)}$	421.147	393.000	28.147	28.147	mm²/m	
	S2349	10.958	22.043	-3.122	$a_{s,2,+z\ (dolní)}$	407.152	393.000	14.152	14.152	mm²/m	
	S40	6.000	20.550	-3.300	a_{sw}	nelze posoudit	-	-	-	mm²/m²	7)
39	S491 - E5924	40.640	7.315	0.000	$a_{s,1,-z\ (horní)}$	1758.846	393.000	1365.846	1365.846	mm²/m	
	S491 - E5924	40.640	7.315	0.000	$a_{s,2,-z\ (horní)}$	1455.187	393.000	1062.187	1062.187	mm²/m	
	S4779	28.500	14.535	0.000	$a_{s,1,+z\ (dolní)}$	475.870	393.000	82.870	82.870	mm²/m	
	S5062	24.500	11.528	0.000	$a_{s,2,+z\ (dolní)}$	442.453	393.000	49.453	49.453	mm²/m	
	S491 - E5924	40.640	7.315	0.000	a_{sw}	3905.495	-	-	-	mm²/m²	
40	S36692	11.950	25.628	0.000	$a_{s,1,-z\ (horní)}$	738.987	393.000	345.987	345.987	mm²/m	
	S2700	8.458	20.550	0.000	$a_{s,2,-z\ (horní)}$	321.662	393.000	0.000	0.000	mm²/m	
	S2689	11.654	20.550	0.000	$a_{s,1,+z\ (dolní)}$	256.873	393.000	0.000	0.000	mm²/m	
	S128	11.950	20.550	0.000	$a_{s,2,+z\ (dolní)}$	256.873	393.000	0.000	0.000	mm²/m	
	S128	11.950	20.550	0.000	a_{sw}	2882.184	-	-	-	mm²/m²	
187	S365 - E10227	31.950	7.715	0.000	$a_{s,1,-z\ (horní)}$	2585.625	393.000	2192.625	2192.625	mm²/m	
	S365 - E10227	31.950	7.715	0.000	$a_{s,2,-z\ (horní)}$	2751.708	393.000	2358.708	2358.708	mm²/m	
	S219	30.950	8.715	0.000	$a_{s,1,+z\ (dolní)}$	0.000	393.000	0.000	0.000	mm²/m	
	S219	30.950	8.715	0.000	$a_{s,2,+z\ (dolní)}$	0.000	393.000	0.000	0.000	mm²/m	
	S365 - E10227	31.950	7.715	0.000	a_{sw}	4376.544	-	-	-	mm²/m²	
188	S366 - E10242	31.950	15.415	0.000	$a_{s,1,-z\ (horní)}$	2316.130	393.000	1923.130	1923.130	mm²/m	
	S366 - E10242	31.950	15.415	0.000	$a_{s,2,-z\ (horní)}$	2563.384	393.000	2170.384	2170.384	mm²/m	
	S294	30.950	14.415	0.000	$a_{s,1,+z\ (dolní)}$	0.395	393.000	0.000	0.000	mm²/m	
	S294	30.950	14.415	0.000	$a_{s,2,+z\ (dolní)}$	0.079	393.000	0.000	0.000	mm²/m	
	S366 - E10243	31.950	15.415	0.000	a_{sw}	3386.342	-	-	-	mm²/m²	
189	S298 - E10259	24.450	15.415	0.000	$a_{s,1,-z\ (horní)}$	2999.602	393.000	2606.602	2606.602	mm²/m	
	S298 - E10259	24.450	15.415	0.000	$a_{s,2,-z\ (horní)}$	3538.655	393.000	3145.655	3145.655	mm²/m	
	S48	23.450	16.415	0.000	$a_{s,1,+z\ (dolní)}$	0.000	393.000	0.000	0.000	mm²/m	
	S48	23.450	16.415	0.000	$a_{s,2,+z\ (dolní)}$	0.000	393.000	0.000	0.000	mm²/m	
	S298 - E10259	24.450	15.415	0.000	a_{sw}	6939.068	-	-	-	mm²/m²	

2.2 NUTNÁ VÝZTUŽ PO PLOCHÁCH

Plocha	Bod	Souřadnice bodu [m]				Nutná výztuž	Základní	Přídavná výztuž			Upozor-
č.	č.	X	Y	Z	Symbol	MSÚ	Výzt.	Nutná	Navržená	Jednotky	nění
190	S295 - E10274	24.450	7.715	0.000	$a_{s,1,-z\ (horní)}$	3019.448	393.000	2626.448	2626.448	mm²/m	
	S295 - E10274	24.450	7.715	0.000	$a_{s,2,-z\ (horní)}$	3470.583	393.000	3077.583	3077.583	mm²/m	
	S242	23.450	8.715	0.000	$a_{s,1,+z\ (dolní)}$	0.000	393.000	0.000	0.000	mm²/m	
	S242	23.450	8.715	0.000	$a_{s,2,+z\ (dolní)}$	0.000	393.000	0.000	0.000	mm²/m	
	S295 - E10274	24.450	7.715	0.000	a_{sw}	6607.050	-	-	-	mm²/m²	
191	S254 - E10291	16.950	15.415	0.000	$a_{s,1,-z\ (horní)}$	2318.272	393.000	1925.272	1925.272	mm²/m	
	S254 - E10291	16.950	15.415	0.000	$a_{s,2,-z\ (horní)}$	2879.751	393.000	2486.751	2486.751	mm²/m	
	S254 - E10290	16.950	15.415	0.000	$a_{s,1,+z\ (dolní)}$	0.000	393.000	0.000	0.000	mm²/m	
	S254 - E10290	16.950	15.415	0.000	$a_{s,2,+z\ (dolní)}$	0.000	393.000	0.000	0.000	mm²/m	
	S254 - E10291	16.950	15.415	0.000	a_{sw}	4786.126	-	-	-	mm²/m²	
192	S252 - E10307	16.950	7.715	0.000	$a_{s,1,-z\ (horní)}$	2237.536	393.000	1844.536	1844.536	mm²/m	
	S252 - E10307	16.950	7.715	0.000	$a_{s,2,-z\ (horní)}$	2765.216	393.000	2372.216	2372.216	mm²/m	
	S246	15.950	8.715	0.000	$a_{s,1,+z\ (dolní)}$	0.000	393.000	0.000	0.000	mm²/m	
	S246	15.950	8.715	0.000	$a_{s,2,+z\ (dolní)}$	0.000	393.000	0.000	0.000	mm²/m	
	S252 - E10307	16.950	7.715	0.000	a_{sw}	3948.866	-	-	-	mm²/m²	
193	S235 - E10322	11.950	15.415	0.000	$a_{s,1,-z\ (horní)}$	1590.404	393.000	1197.404	1197.404	mm²/m	
	S235 - E10322	11.950	15.415	0.000	$a_{s,2,-z\ (horní)}$	2030.396	393.000	1637.396	1637.396	mm²/m	
	S235 - E10322	11.950	15.415	0.000	$a_{s,1,+z\ (dolní)}$	0.000	393.000	0.000	0.000	mm²/m	
	S235 - E10322	11.950	15.415	0.000	$a_{s,2,+z\ (dolní)}$	0.000	393.000	0.000	0.000	mm²/m	
	S235 - E10322	11.950	15.415	0.000	a_{sw}	2672.184	-	-	-	mm²/m²	
194	S213 - E10338	11.950	7.715	0.000	$a_{s,1,-z\ (horní)}$	1541.110	393.000	1148.110	1148.110	mm²/m	
	S213 - E10338	11.950	7.715	0.000	$a_{s,2,-z\ (horní)}$	1840.396	393.000	1447.396	1447.396	mm²/m	
	S213 - E10338	11.950	7.715	0.000	$a_{s,1,+z\ (dolní)}$	0.000	393.000	0.000	0.000	mm²/m	
	S213 - E10338	11.950	7.715	0.000	$a_{s,2,+z\ (dolní)}$	0.000	393.000	0.000	0.000	mm²/m	
	S213 - E10338	11.950	7.715	0.000	a_{sw}	3685.043	-	-	-	mm²/m²	
195	S194 - E10354	6.000	15.415	0.000	$a_{s,1,-z\ (horní)}$	1972.084	393.000	1579.084	1579.084	mm²/m	
	S194 - E10355	6.000	15.415	0.000	$a_{s,2,-z\ (horní)}$	2327.094	393.000	1934.093	1934.093	mm²/m	
	S194 - E10354	6.000	15.415	0.000	$a_{s,1,+z\ (dolní)}$	0.000	393.000	0.000	0.000	mm²/m	
	S194 - E10354	6.000	15.415	0.000	$a_{s,2,+z\ (dolní)}$	0.000	393.000	0.000	0.000	mm²/m	
	S194 - E10355	6.000	15.415	0.000	a_{sw}	4191.259	-	-	-	mm²/m²	
196	S192 - E10373	6.000	7.715	0.000	$a_{s,1,-z\ (horní)}$	1949.711	393.000	1556.711	1556.711	mm²/m	
	S192 - E10371	6.000	7.715	0.000	$a_{s,2,-z\ (horní)}$	2120.062	393.000	1727.062	1727.062	mm²/m	
	S192 - E10370	6.000	7.715	0.000	$a_{s,1,+z\ (dolní)}$	0.000	393.000	0.000	0.000	mm²/m	
	S192 - E10370	6.000	7.715	0.000	$a_{s,2,+z\ (dolní)}$	0.000	393.000	0.000	0.000	mm²/m	
	S192 - E10371	6.000	7.715	0.000	a_{sw}	4075.284	-	-	-	mm²/m²	
208	S10589	31.010	25.044	0.000	$a_{s,1,-z\ (horní)}$	663.567	393.000	270.567	270.567	mm²/m	
	S9487	34.956	28.540	0.000	$a_{s,2,-z\ (horní)}$	783.065	393.000	390.065	390.065	mm²/m	
	S10717	35.983	27.690	0.000	$a_{s,1,+z\ (dolní)}$	360.305	393.000	0.000	0.000	mm²/m	
	S10775	37.615	26.586	0.000	$a_{s,2,+z\ (dolní)}$	256.873	393.000	0.000	0.000	mm²/m	
	S240	36.950	20.550	0.000	a_{sw}	1051.898	-	-	-	mm²/m²	
219	S191 - E12172	6.000	7.715	-3.300	$a_{s,1,-z\ (horní)}$	3313.878	393.000	2920.878	2920.878	mm²/m	
	S191 - E12172	6.000	7.715	-3.300	$a_{s,2,-z\ (horní)}$	4191.045	393.000	3798.046	3798.046	mm²/m	
	S77	6.000	7.015	-3.300	$a_{s,1,+z\ (dolní)}$	0.000	393.000	0.000	0.000	mm²/m	
	S77	6.000	7.015	-3.300	$a_{s,2,+z\ (dolní)}$	0.000	393.000	0.000	0.000	mm²/m	
	S191 - E12170	6.000	7.715	-3.300	a_{sw}	nelze posoudit	-	-	-	mm²/m²	7)
220	S193 - E12367	6.000	15.415	-3.300	$a_{s,1,-z\ (horní)}$	3208.229	393.000	2815.229	2815.229	mm²/m	
	S193 - E12367	6.000	15.415	-3.300	$a_{s,2,-z\ (horní)}$	3677.668	393.000	3284.668	3284.668	mm²/m	
	S193 - E12368	6.000	15.415	-3.300	$a_{s,1,+z\ (dolní)}$	36.858	393.000	0.000	0.000	mm²/m	
	S193 - E12368	6.000	15.415	-3.300	$a_{s,2,+z\ (dolní)}$	184.289	393.000	0.000	0.000	mm²/m	
	S193 - E12366	6.000	15.415	-3.300	a_{sw}	nelze posoudit	-	-	-	mm²/m²	7)
221	S195 - E12562	11.950	15.415	-3.300	$a_{s,1,-z\ (horní)}$	3290.048	393.000	2897.048	2897.048	mm²/m	
	S195 - E12562	11.950	15.415	-3.300	$a_{s,2,-z\ (horní)}$	3816.471	393.000	3423.471	3423.471	mm²/m	
	S195 - E12565	11.950	15.415	-3.300	$a_{s,1,+z\ (dolní)}$	18.483	393.000	0.000	0.000	mm²/m	
	S195 - E	11.950	15.415	-3.300	$a_{s,2,+z\ (dolní)}$	92.413	393.000	0.000	0.000	mm²/m	

2.2 NUTNÁ VÝZTUŽ PO PLOCHÁCH

Plocha č.	Bod č.	Souřadnice bodu [m] X	Y	Z	Symbol	Nutná výztuž MSÚ	Základní Výzt.	Přídavná výztuž Nutná	Navržená	Jednotky	Upozornění
	E12565										
	S195 - E12562	11.950	15.415	-3.300	a_{sw}	nelze posoudit	-	-	-	mm²/m²	7)
222	S197 - E12759	16.950	15.415	-3.300	$a_{s,1,-z\ (horní)}$	4974.716	393.000	4581.716	4581.716	mm²/m	
	S197 - E12759	16.950	15.415	-3.300	$a_{s,2,-z\ (horní)}$	5939.062	393.000	5546.062	5546.062	mm²/m	
	S96	16.950	14.715	-3.300	$a_{s,1,+z\ (dolní)}$	0.000	393.000	0.000	0.000	mm²/m	
	S96	16.950	14.715	-3.300	$a_{s,2,+z\ (dolní)}$	0.000	393.000	0.000	0.000	mm²/m	
	S197 - E12758	16.950	15.415	-3.300	a_{sw}	nelze posoudit	-	-	-	mm²/m²	7)
223	S189 - E12954	11.950	7.715	-3.300	$a_{s,1,-z\ (horní)}$	2992.812	393.000	2599.812	2599.812	mm²/m	
	S189 - E12954	11.950	7.715	-3.300	$a_{s,2,-z\ (horní)}$	3189.907	393.000	2796.907	2796.907	mm²/m	
	S67	11.950	7.015	-3.300	$a_{s,1,+z\ (dolní)}$	0.000	393.000	0.000	0.000	mm²/m	
	S67	11.950	7.015	-3.300	$a_{s,2,+z\ (dolní)}$	0.000	393.000	0.000	0.000	mm²/m	
	S189 - E12954	11.950	7.715	-3.300	a_{sw}	nelze posoudit	-	-	-	mm²/m²	7)
224	S185 - E13151	16.950	7.715	-3.300	$a_{s,1,-z\ (horní)}$	3631.501	393.000	3238.501	3238.501	mm²/m	
	S185 - E13151	16.950	7.715	-3.300	$a_{s,2,-z\ (horní)}$	3636.185	393.000	3243.185	3243.185	mm²/m	
	S7	16.950	7.015	-3.300	$a_{s,1,+z\ (dolní)}$	0.000	393.000	0.000	0.000	mm²/m	
	S7	16.950	7.015	-3.300	$a_{s,2,+z\ (dolní)}$	0.000	393.000	0.000	0.000	mm²/m	
	S185 - E13150	16.950	7.715	-3.300	a_{sw}	nelze posoudit	-	-	-	mm²/m²	7)
225	S199 - E13347	24.450	15.415	-3.300	$a_{s,1,-z\ (horní)}$	5312.178	393.000	4919.178	4919.178	mm²/m	
	S199 - E13347	24.450	15.415	-3.300	$a_{s,2,-z\ (horní)}$	7006.253	393.000	6613.253	6613.253	mm²/m	
	S99	24.450	14.715	-3.300	$a_{s,1,+z\ (dolní)}$	0.000	393.000	0.000	0.000	mm²/m	
	S99	24.450	14.715	-3.300	$a_{s,2,+z\ (dolní)}$	0.000	393.000	0.000	0.000	mm²/m	
	S199 - E13346	24.450	15.415	-3.300	a_{sw}	nelze posoudit	-	-	-	mm²/m²	7)
226	S187 - E13542	24.450	7.715	-3.300	$a_{s,1,-z\ (horní)}$	4371.670	393.000	3978.670	3978.670	mm²/m	
	S187 - E13542	24.450	7.715	-3.300	$a_{s,2,-z\ (horní)}$	4815.700	393.000	4422.700	4422.700	mm²/m	
	S105	24.450	7.015	-3.300	$a_{s,1,+z\ (dolní)}$	0.000	393.000	0.000	0.000	mm²/m	
	S105	24.450	7.015	-3.300	$a_{s,2,+z\ (dolní)}$	0.000	393.000	0.000	0.000	mm²/m	
	S187 - E13542	24.450	7.715	-3.300	a_{sw}	nelze posoudit	-	-	-	mm²/m²	7)
227	S354 - E13739	31.950	15.415	-3.300	$a_{s,1,-z\ (horní)}$	5193.165	393.000	4800.165	4800.165	mm²/m	
	S354 - E13739	31.950	15.415	-3.300	$a_{s,2,-z\ (horní)}$	5430.580	393.000	5037.580	5037.580	mm²/m	
	S102	31.950	14.715	-3.300	$a_{s,1,+z\ (dolní)}$	0.000	393.000	0.000	0.000	mm²/m	
	S102	31.950	14.715	-3.300	$a_{s,2,+z\ (dolní)}$	0.000	393.000	0.000	0.000	mm²/m	
	S354 - E13738	31.950	15.415	-3.300	a_{sw}	nelze posoudit	-	-	-	mm²/m²	7)
228	S352 - E13935	31.950	7.715	-3.300	$a_{s,1,-z\ (horní)}$	4862.190	393.000	4469.190	4469.190	mm²/m	
	S352 - E13935	31.950	7.715	-3.300	$a_{s,2,-z\ (horní)}$	4155.070	393.000	3762.071	3762.071	mm²/m	
	S108	31.950	7.015	-3.300	$a_{s,1,+z\ (dolní)}$	0.000	393.000	0.000	0.000	mm²/m	
	S108	31.950	7.015	-3.300	$a_{s,2,+z\ (dolní)}$	0.000	393.000	0.000	0.000	mm²/m	
	S352 - E13934	31.950	7.715	-3.300	a_{sw}	nelze posoudit	-	-	-	mm²/m²	7)
240	S522	31.010	28.540	-3.710	$a_{s,1,-z\ (horní)}$	1082.382	393.000	689.382	689.382	mm²/m	
	S136	36.000	20.550	-3.710	$a_{s,2,-z\ (horní)}$	1288.803	393.000	895.803	895.803	mm²/m	
	S10566	31.519	28.540	-3.710	$a_{s,1,+z\ (dolní)}$	683.492	393.000	290.492	290.492	mm²/m	
	S10596	31.010	28.070	-3.710	$a_{s,2,+z\ (dolní)}$	447.071	393.000	54.071	54.071	mm²/m	
	S522	31.010	28.540	-3.710	a_{sw}	6932.407	-	-	-	mm²/m²	
241	S136	36.000	20.550	-3.710	$a_{s,1,-z\ (horní)}$	2270.296	393.000	1877.296	1877.296	mm²/m	
	S136	36.000	20.550	-3.710	$a_{s,2,-z\ (horní)}$	2710.107	393.000	2317.107	2317.107	mm²/m	
	S14192	42.961	4.050	-3.710	$a_{s,1,+z\ (dolní)}$	558.383	393.000	165.383	165.383	mm²/m	
	S14299	36.000	9.150	-3.710	$a_{s,2,+z\ (dolní)}$	733.032	393.000	340.032	340.032	mm²/m	
	S136	36.000	20.550	-3.710	a_{sw}	nelze posoudit	-	-	-	mm²/m²	7)
242	S667 - E15931	38.320	0.000	-3.300	$a_{s,1,-z\ (horní)}$	1412.365	393.000	1019.365	1019.365	mm²/m	
	S667 - E15931	38.320	0.000	-3.300	$a_{s,2,-z\ (horní)}$	2574.662	393.000	2181.662	2181.662	mm²/m	
	S649	44.471	0.000	-3.300	$a_{s,1,+z\ (dolní)}$	539.166	393.000	146.166	146.166	mm²/m	
	S13971	44.950	0.506	-3.300	$a_{s,2,+z\ (dolní)}$	495.836	393.000	102.836	102.836	mm²/m	
	S667 - E15931	38.320	0.000	-3.300	a_{sw}	nelze posoudit	-	-	-	mm²/m²	
249	S127 - E18487	30.000	0.000	-3.300	$a_{s,1,-z\ (horní)}$	2287.533	393.000	1894.533	1894.533	mm²/m	
	S126	11.950	20.550	-3.300	$a_{s,2,-z\ (horní)}$	2141.955	393.000	1748.955	1748.955	mm²/m	
	S127 - E18482	30.000	0.000	-3.300	$a_{s,1,+z\ (dolní)}$	2327.332	393.000	1934.332	1934.332	mm²/m	
	S16109	18.200	20.550	-3.300	$a_{s,2,+z\ (dolní)}$	665.402	393.000	272.402	272.402	mm²/m	
	S39	0.000	20.550	-3.300	a_{sw}	nelze posoudit	-	-	-	mm²/m²	7)

POZNÁMKA

č.	Popis
7)	Únosnost betonu ve smyku překročena

■ NUTNÁ VÝZTUŽ $a_{s,1,-z}$ (horní)

Izometrie

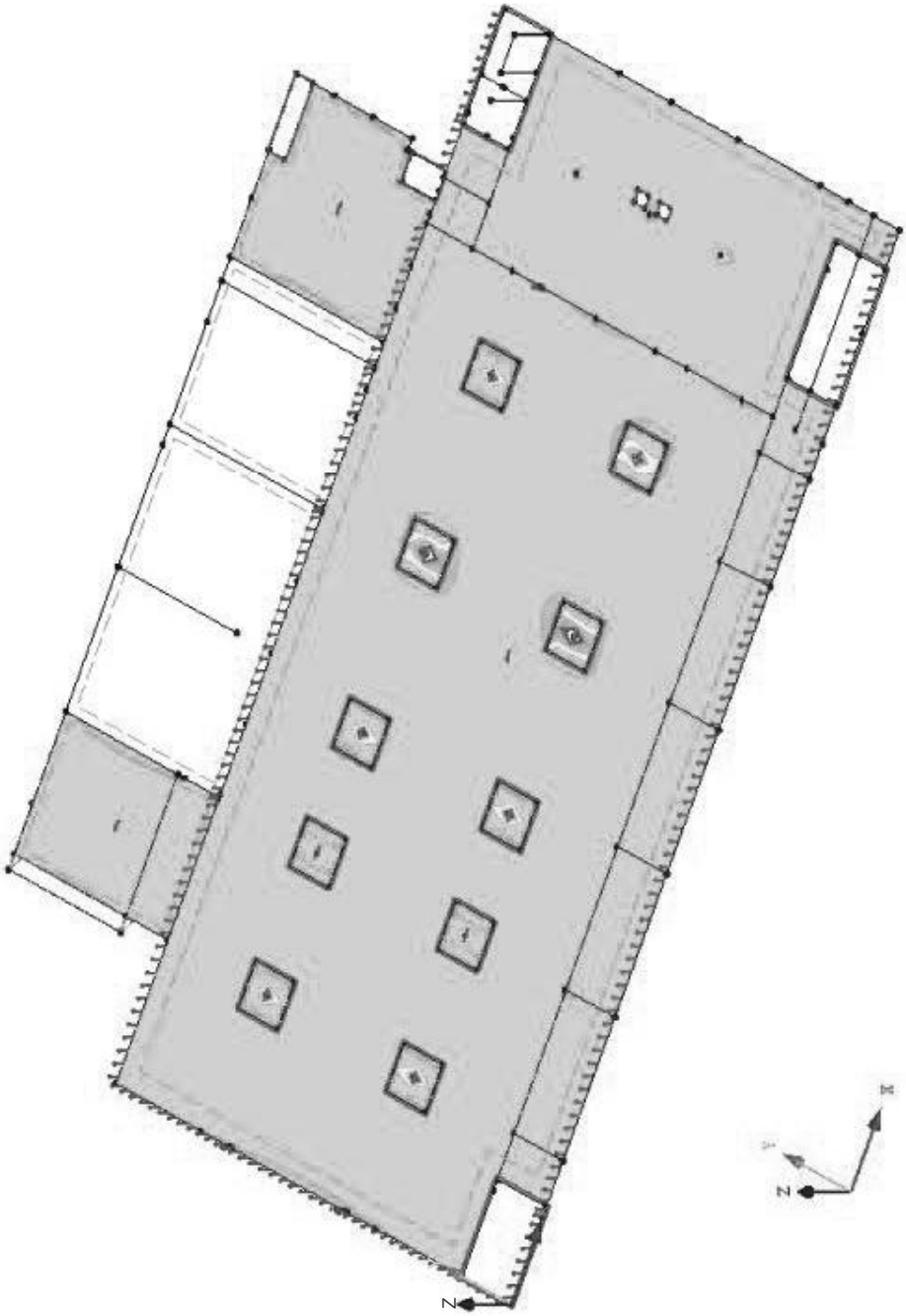

RF-CONCRETE Surfaces PŘ1
Návrh výztuže

Nutná výztuž
a-s,1,-z (horní)
[mm²/m]

	1736.588
	1568.639
	1400.691
	1232.742
	1064.794
	896.845
	524.000
	393.000
	0.000
Max :	3019.448
Min :	0.000

■ NUTNÁ VÝZTUŽ $a_{s,2,-z}$ (horní)

Izometrie

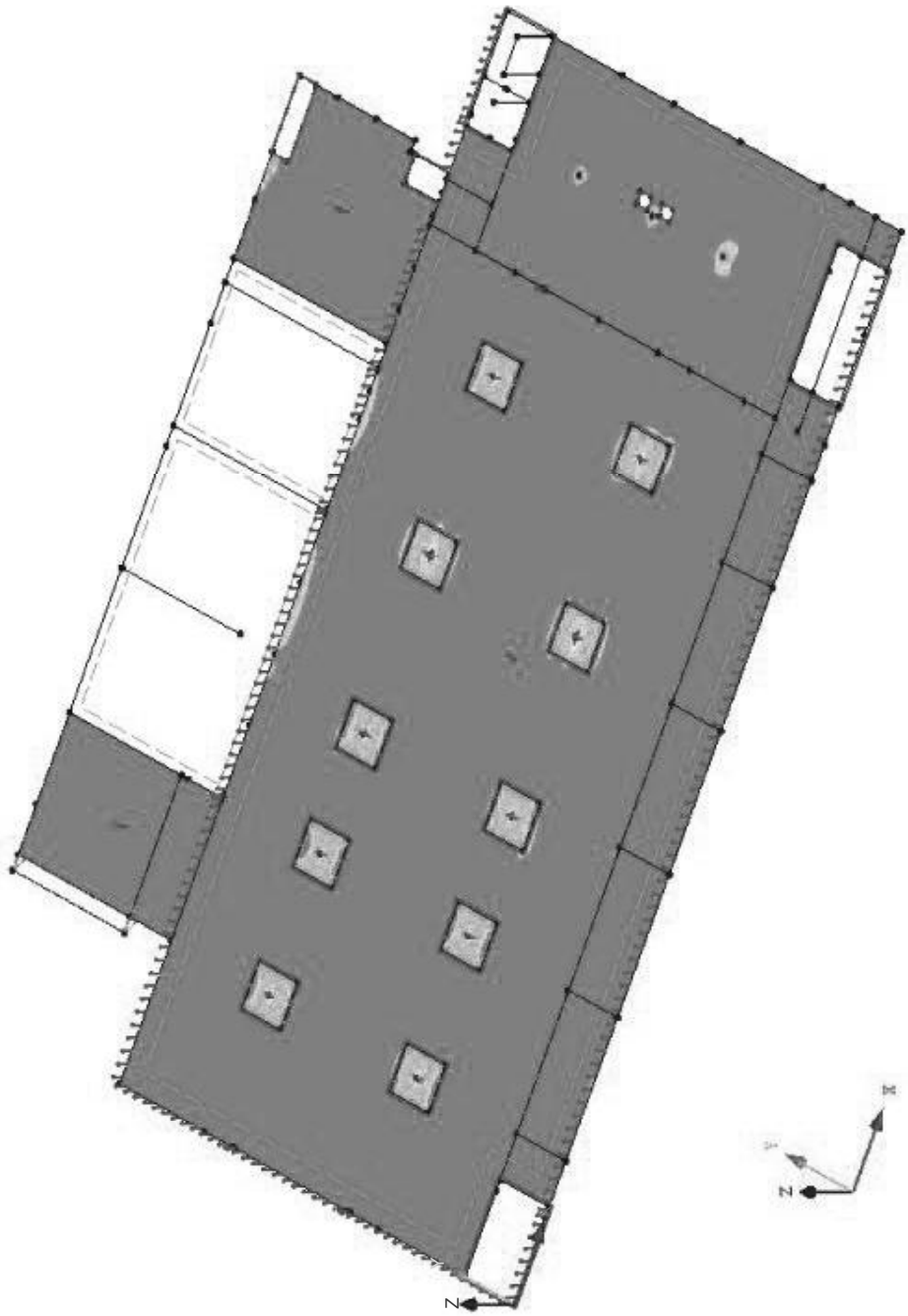

RF-CONCRETE Surfaces PŘ1
Návrh výztuže

Nutná výztuž
a-s,2,-z (horní)
[mm²/m]

2548.470	
2293.623	
2038.776	
1783.929	
1529.082	
1274.235	
1019.388	
524.000	
393.000	
0.000	
Max :	3538.655
Min :	0.000

NUTNÁ VÝZTUŽ $a_{s,1,+z}$ (dolní)

Izometrie

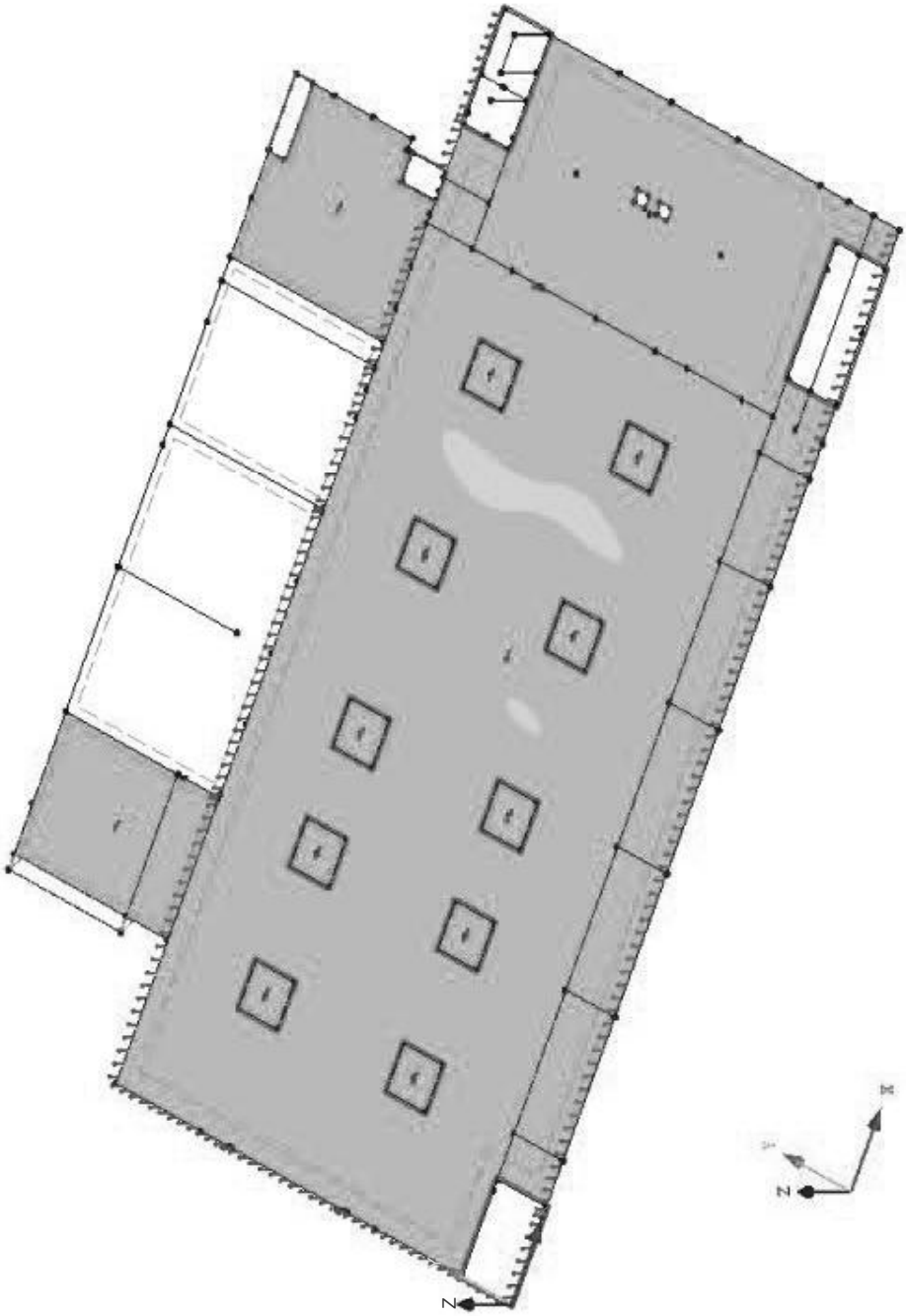

RF-CONCRETE Surfaces PŘ1
Návrh výztuže

Nutná výztuž
a-s,1,+z (dolní)
[mm²/m]

860.067	
781.879	
703.691	
625.503	
547.315	
524.000	
393.000	
0.000	

Max : 475.870
Min : 0.000

■ NUTNÁ VÝZTUŽ $a_{s,2,+z}$ (dolní)

Izometrie

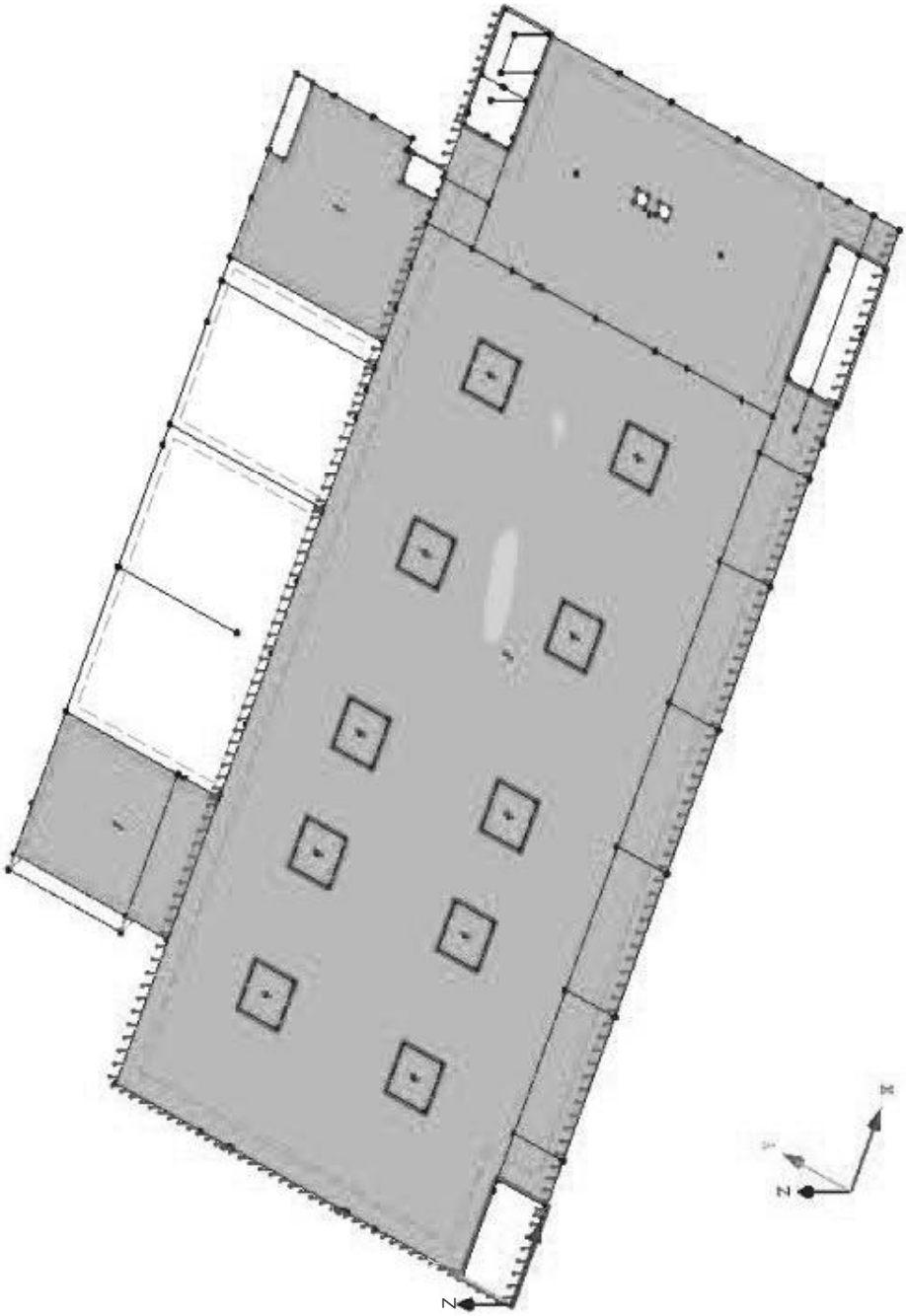

RF-CONCRETE Surfaces PŘ1
Návrh výztuže

Nutná výztuž
a-s,2,+z (dolní)
[mm²/m]

1430.262	
1275.939	
1121.616	
967.292	
812.969	
644.000	
393.000	
0.000	

Max : 442.453
Min : 0.000

NUTNÁ VÝZTUŽ $a_{s,1,-z}$ (horní)

Izometrie

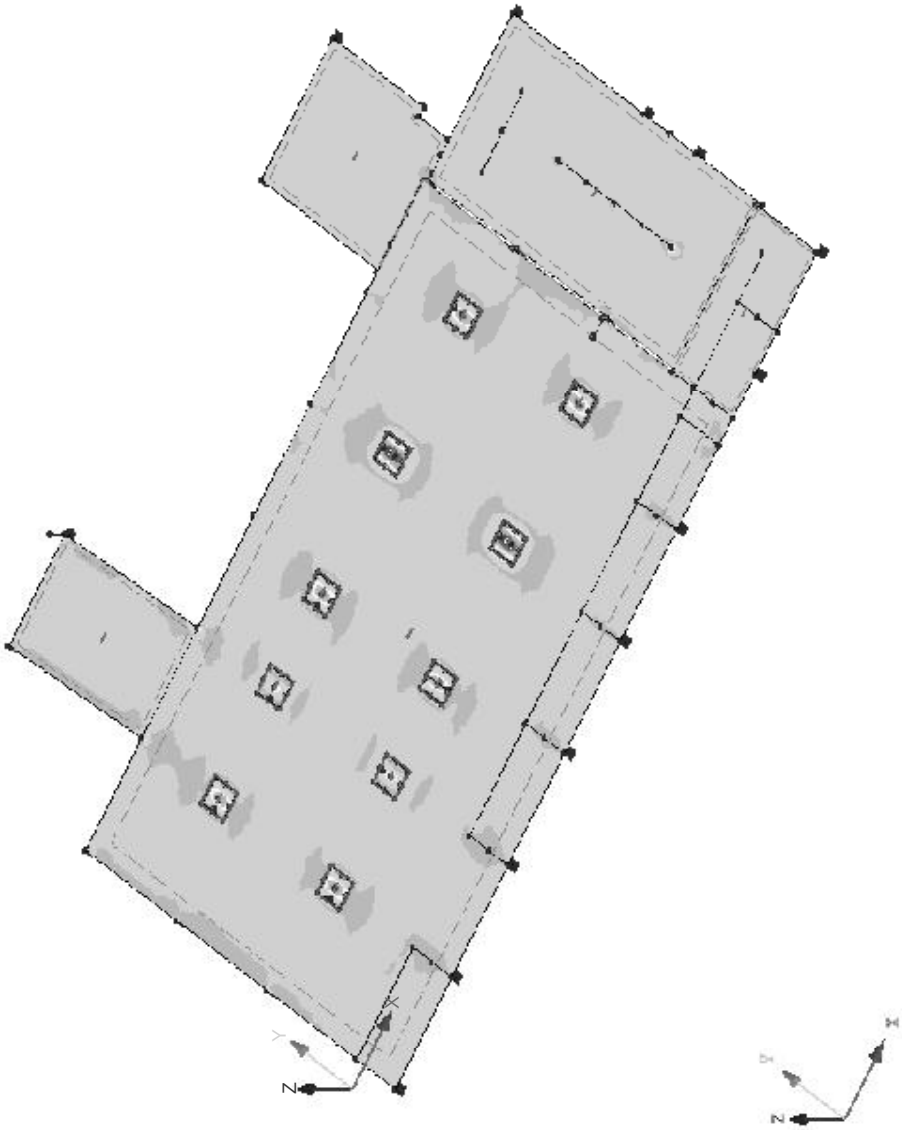

RF-CONCRETE Surfaces PŘ1
Návrh výztuže

Nutná výztuž
a-s,1,-z (horní)
[mm²/m]

1736.588	
1568.639	
1400.691	
1232.742	
1064.794	
896.845	
524.000	
393.000	
0.000	

Max : 5312.178
Min : 0.000

NUTNÁ VÝZTUŽ $a_{s,2,-z}$ (horní)

Izometrie

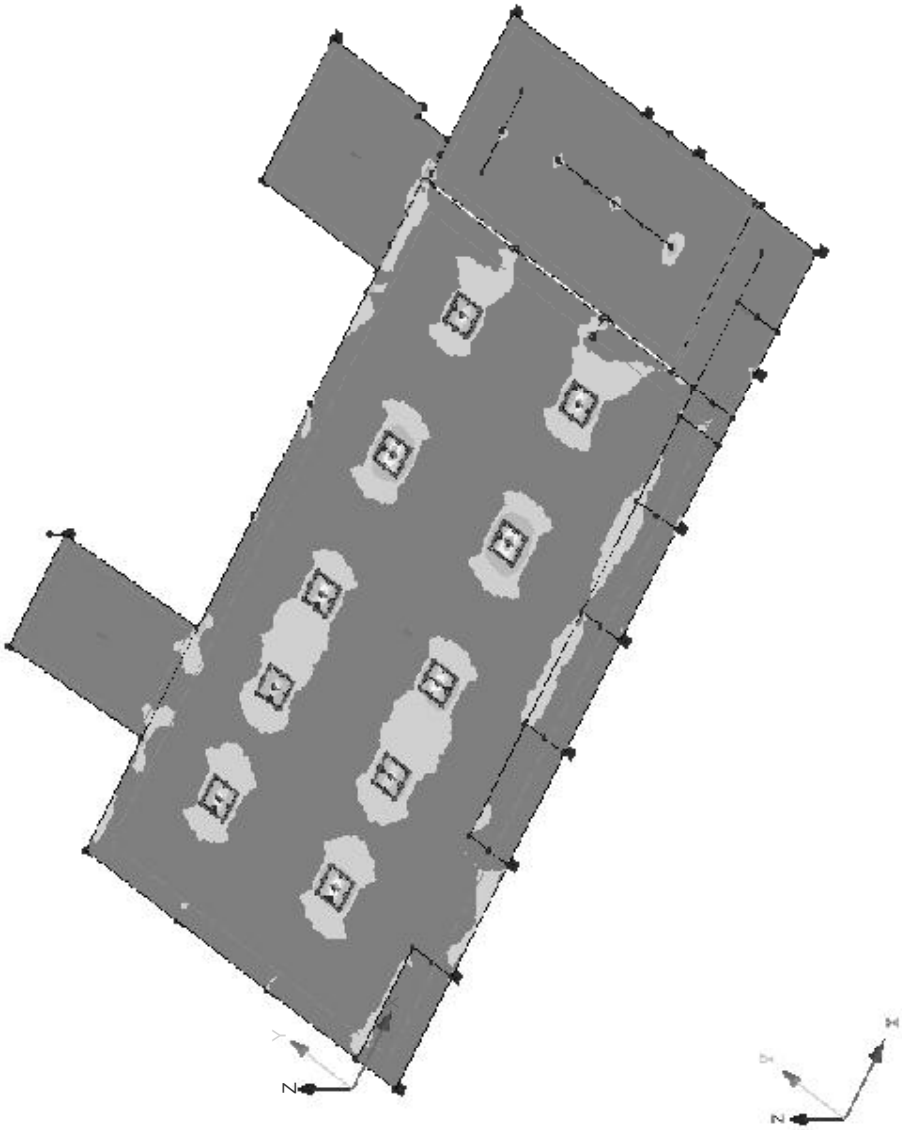

RF-CONCRETE Surfaces PŘ1
Návrh výztuže

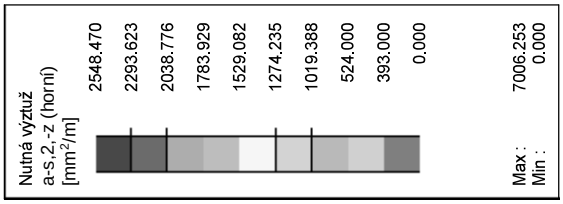

NUTNÁ VÝZTUŽ $a_{s,1,+z}$ (dolní)

Izometrie

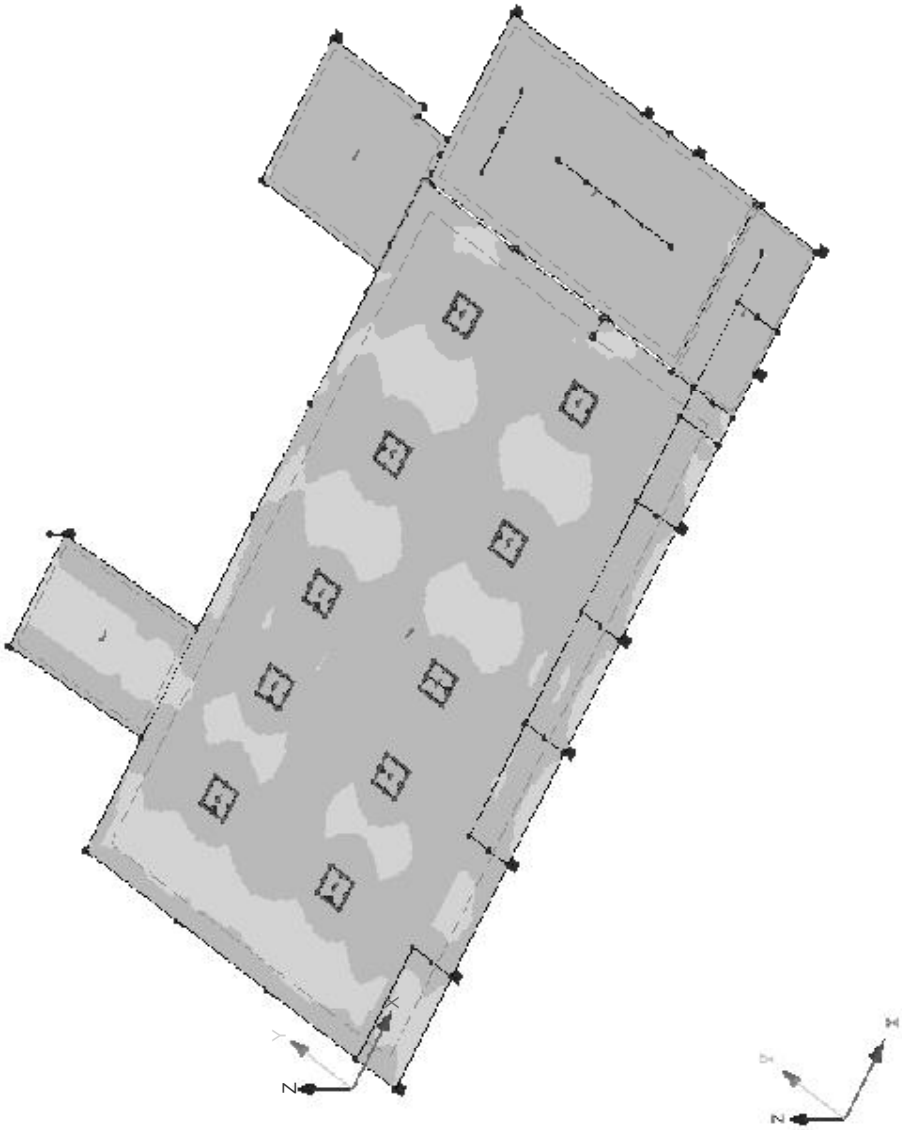

RF-CONCRETE Surfaces PŘ1
Návrh výztuže

Nutná výztuž
a-s,1,+z (dolní)
[mm²/m]

860.067
781.879
703.691
625.503
547.315
524.000
393.000
0.000

Max : 2327.332
Min : 0.000

NUTNÁ VÝZTUŽ $a_{s,2,+z}$ (dolní)

Izometrie

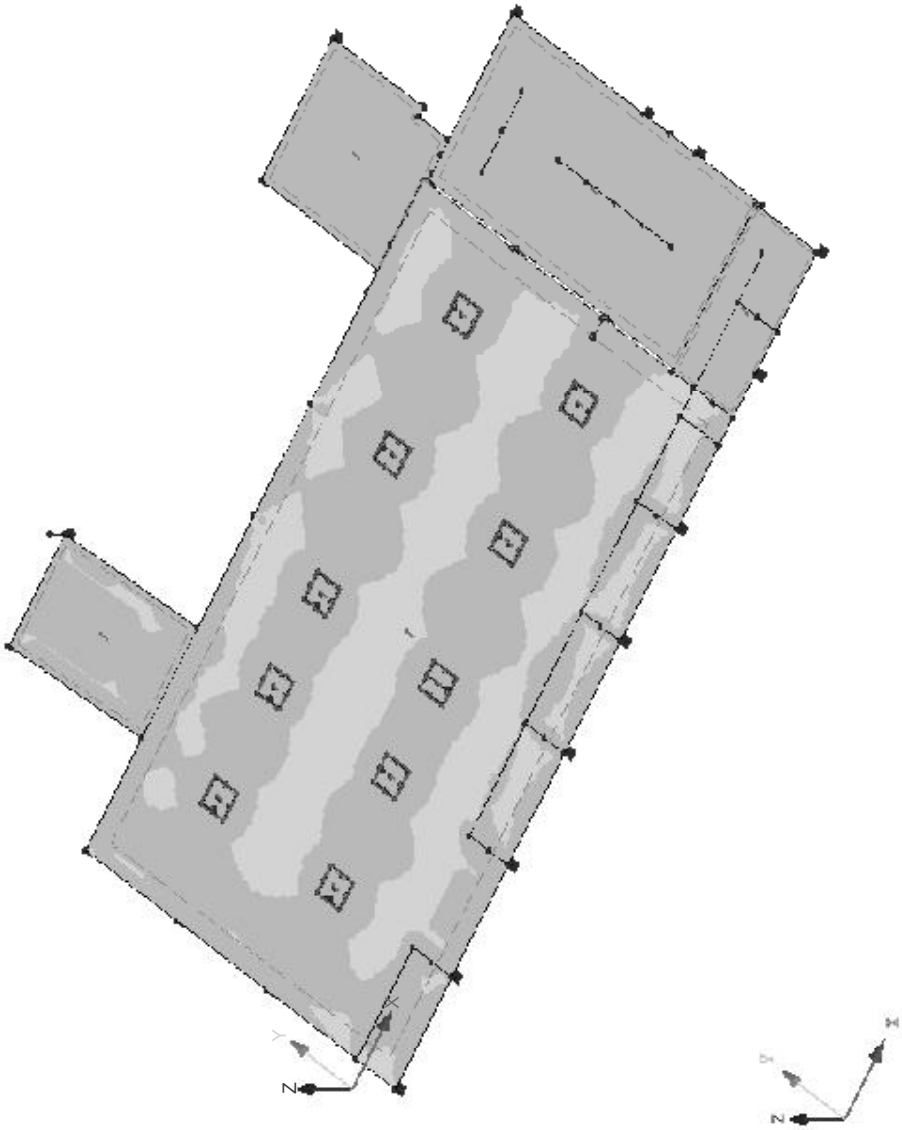

RF-CONCRETE Surfaces PŘ1
Návrh výztuže

Nutná výztuž
a-s,2,+z (dolní)
[mm²/m]

1430.262	
1275.939	
1121.616	
967.292	
812.969	
644.000	
393.000	
0.000	

Max : 733.032
Min : 0.000

DEFORMACE u_Z

Izometrie

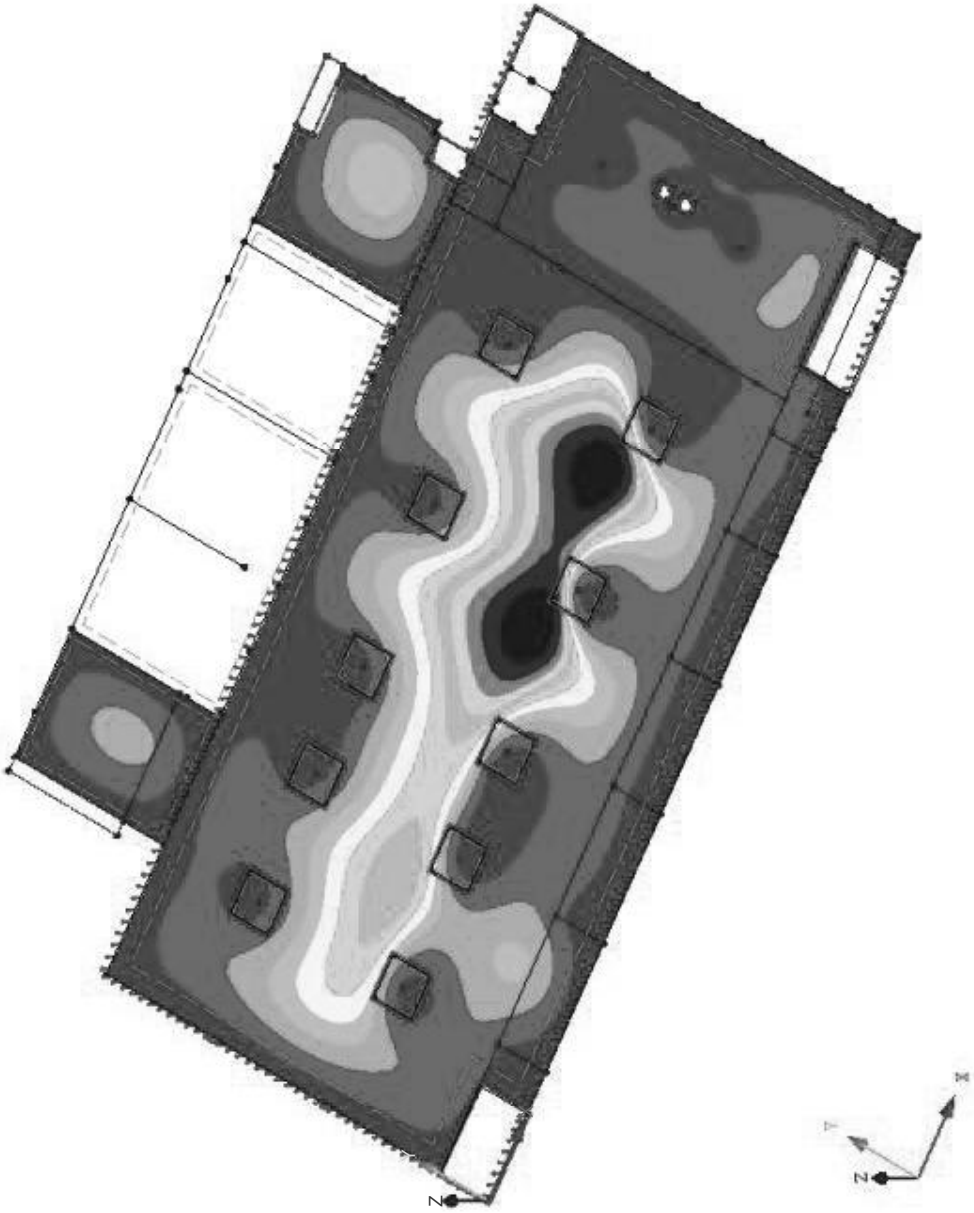

RF-CONCRETE Surfaces PŘ1
Návrh výztuže

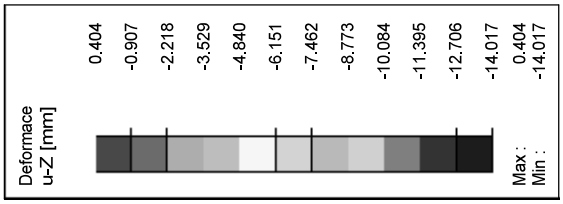

DEFORMACE u_Z

Izometrie

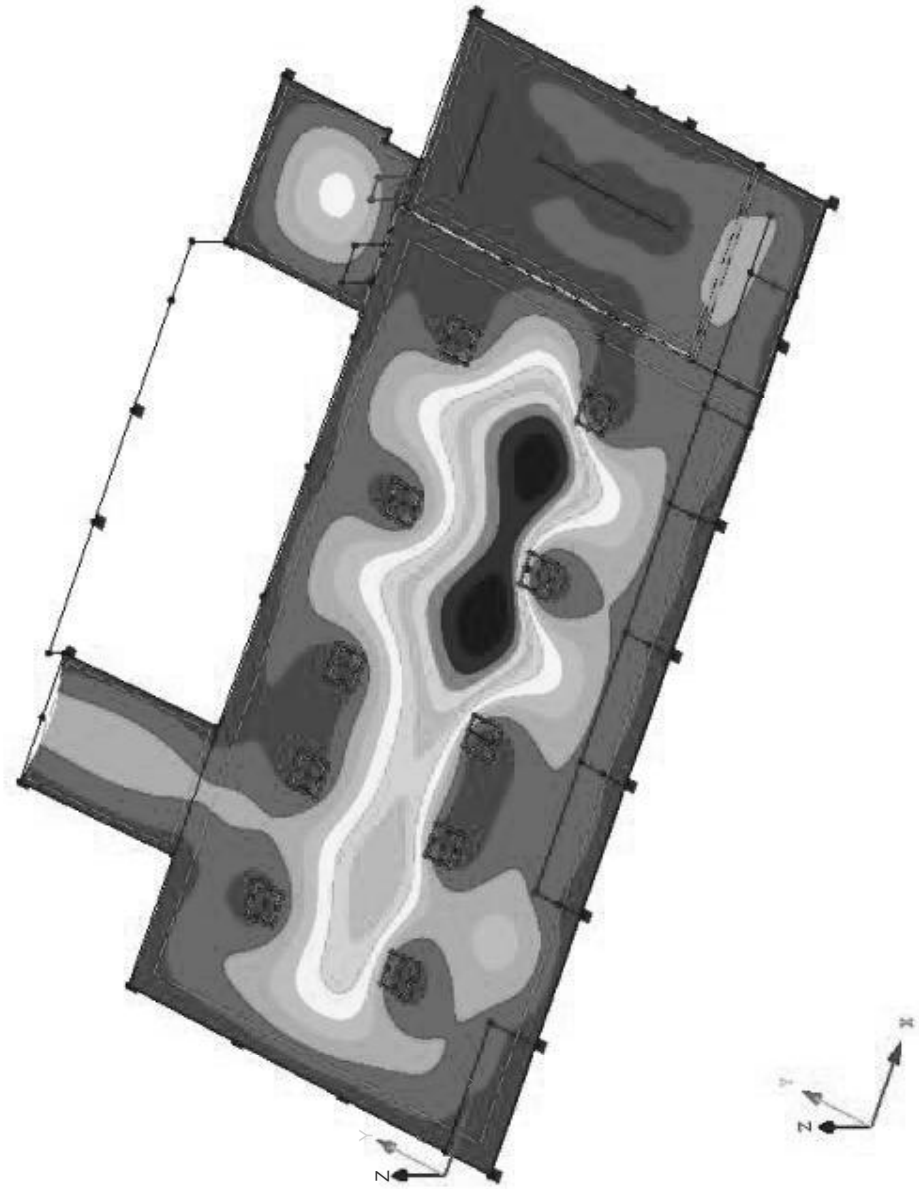

RF-CONCRETE Surfaces PŘ1
Návrh výztuže

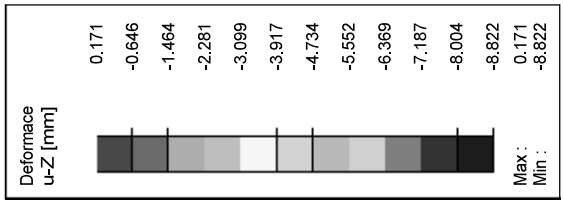

1.1 ZÁKLADNÍ ÚDAJE

Posouzení betonu podle	CSN EN 1992-1-1/NA:2016-05	
MEZNÍ STAV ÚNOSNOSTI		
Kombinace zatížení k posouzení:	KZ1	NAPĚTÍ
		Trvalá a dočasná
MEZNÍ STAV POUŽITELNOSTI		
Kombinace zatížení k posouzení:	KZ2	DEFORMACE
		Kvazistálá, k-t: 0.600, b: 0.500
Nastavení návrhové situace pro posouzení mezního stavu použitelnosti		
Kombinace zatížení:		
Charakteristická s přímým zatížením	Posouzení: k_1*f_{ck}, k_3*f_{yk}	
Charakteristická s vneseným přetvořením	Posouzení: k_1*f_{ck}, k_4*f_{yk}	
Častá	Posouzení: w_k	
Kvazistálá	Posouzení: k_2*f_{ck}, w_k, u_l	
Deformaci vztáhnout na:	Nedeformovaný systém	

1.1 NASTAVENÍ - NELINEÁRNÍ VÝPOČET (STAV II)

Použít nelineární výpočet u mezního stavu únosnosti:	☐
Použít nelineární výpočet u mezního stavu použitelnosti:	☒
Zohlednit dotvarování a smršťování:	☐
TENSION STIFFENING	
Použití prostř. (zbytkové) pevnosti betonu v tahu (postup Quast)	
Uvažovaná pevnost v tahu f-ct:	f-ctm
Nastavovací faktor pevnosti v tahu f-ct,R:	0.60
Betonový materiál - parametry výpočtu:	
Materiál č. 1 - Beton C25/30 - Sada výztuže 1	
Faktor v = f-c / f-ct,R :	21.15
Exponent n:	2.07
Modul pružnosti E-ctm:	31000.00
Materiál č. 2 - Beton C30/37 - Sada výztuže 1	
Faktor v = f-c / f-ct,R :	21.84
Exponent n:	2.01
Modul pružnosti E-ctm:	33000.00
Materiál č. 3 - Ocel S 235 - Sada výztuže 1	
Faktor v = f-c / f-ct,R :	0.00
Exponent n:	0.00
Modul pružnosti E-ctm:	210000.00
Zapnout nelineární výpočet pro požární odolnost	☐
METODA VÝPOČTU - smyková tuhost a tuhost v kroucení	
Smyková tuhost:	Použití lineárně elastické smykové tuhosti
Tuhost v kroucení:	Výpočet podle Leonhardtovy formulace
NASTAVENÍ KONVERGENCE	
Zatěžovací stupně:	
Počet zatěžovacích stupňů:	3
Aplikace zatížení:	Lineární
1 krok řešení 1	
Zatěžovací stupeň č. 1, Aplikovaný podíl zatížení	50.0 %
1 krok řešení 2	
Zatěžovací stupeň č. 2, Aplikovaný podíl zatížení	80.0 %
Parametry iterace:	
Maximální počet iterací na zatěžovací stupeň:	50
Tlumení změny tuhosti v iteračním cyklu:	
Faktor tlumení	0.500
Meze pro přerušení	
$e_1 = \lvert (1/g)_i - (1/g)_{i-1} \rvert$:	0.0010
$e_2 = \lvert (EI_i - EI_{i-1})^2 / (EI_i)^2 \rvert$:	0.0010
$e_3 = \lvert u_{max,i} - u_{max,i-1} \rvert$:	1.0000

1.2 MATERIÁLY

Mat. č.	Označení materiálu: Třída pevnosti betonu	Označení materiálu: Výztužná ocel	Komentář
1	Beton C30/37	B 500 S (A)	
4	Beton C25/30	B 500 S (A)	

1.2.1 PARAMETRY MATERIÁLU

Mat. č.	Označení	Název	Velikost	Jednotka
1	**Třída pevnosti betonu: Beton C30/37**			
	Charakteristická válcová pevnost v tlaku	f_{ck}	30.00	MPa
	Střední válcová pevnost v tlaku	f_{cm}	38.00	MPa
	Střední osová pevnost v tahu	f_{ctm}	2.90	MPa
	5%-ní kvantil char. osové pevnosti v tahu	$f_{ctk,0.05}$	2.00	MPa
	95%-ní kvantil char. osové pevnosti v tahu	$f_{ctk,0.95}$	3.80	MPa
	Střední sečný modul pružnosti	E_{cm}	33000.00	MPa
	Charakteristické protažení pro nelineární výpočet			
	Mezní přetvoření pro prostý tlak	e_{c1}	-2.200	‰
	Mezní přetvoření při porušení	e_{cu1}	-3.500	‰
	Charakteristické protažení pro parabolicko-rektangulární pracovní diagram			
	Mezní přetvoření pro prostý tlak	e_{c2}	-2.000	‰
	Mezní přetvoření při porušení	e_{cu2}	-3.500	‰
	Exponent paraboly	n	2	

1.2.1 PARAMETRY MATERIÁLU

Mat. č.	Označení	Název	Velikost	Jednotka
	Objemová tíha	g	25.00	kN/m^3
	Výztužná ocel: B 500 S (A)			
	Modul pružnosti	E_s	200000	MPa
	Charakteristická hodnota meze kluzu	f_{yk}	500	MPa
	Charakteristická hodnota pevnosti v tahu	f_{tk}	525	MPa
	Mezní přetvoření	e_{uk}	25.000	‰
4	**Třída pevnosti betonu: Beton C25/30**			
	Charakteristická válcová pevnost v tlaku	f_{ck}	25.00	MPa
	Střední válcová pevnost v tlaku	f_{cm}	33.00	MPa
	Střední osová pevnost v tahu	f_{ctm}	2.60	MPa
	5%-ní kvantil char. osové pevnosti v tahu	$f_{ctk,0.05}$	1.80	MPa
	95%-ní kvantil char. osové pevnosti v tahu	$f_{ctk,0.95}$	3.30	MPa
	Střední sečný modul pružnosti	E_{cm}	31000.00	MPa
	Charakteristické protažení pro nelineární výpočet			
	Mezní přetvoření pro prostý tlak	e_{c1}	-2.100	‰
	Mezní přetvoření při porušení	e_{cu1}	-3.500	‰
	Charakteristické protažení pro parabolicko-rektangulární pracovní diagram			
	Mezní přetvoření pro prostý tlak	e_{c2}	-2.000	‰
	Mezní přetvoření při porušení	e_{cu2}	-3.500	‰
	Exponent paraboly	n	2	
	Objemová tíha	g	25.00	kN/m^3
	Výztužná ocel: B 500 S (A)			
	Modul pružnosti	E_s	200000	MPa
	Charakteristická hodnota meze kluzu	f_{yk}	500	MPa
	Charakteristická hodnota pevnosti v tahu	f_{tk}	525	MPa
	Mezní přetvoření	e_{uk}	25.000	‰

1.3 PRŮŘEZY

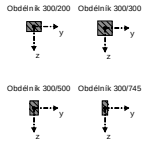

Průřez č.	Mat. č.	Označení průřezu	Upozornění	Komentář
1	4	Obdélník 300/500		
4	4	Obdélník 300/300		
10	4	Obdélník 300/200		
16	1	Obdélník 500/250		
21	1	Obdélník 300/745		
22	1	Obdélník 300/855		
23	1	Obdélník 300/800		

RF-CONCRETE Members
PŘ1
Posouzení betonových prutů

1.5 PODPORY

Podpora č.	Uzel č.	Šířka podpory b [mm]	Přímé Podpora	Monolitické spojení	Koncová Podpora	Komentář
1	88	0.0	☒	☐	☒	
2	115	0.0	☒	☐	☒	
3	116	0.0	☒	☐	☒	
4	117	0.0	☒	☐	☒	
5	124	0.0	☒	☐	☐	
6	125	0.0	☒	☐	☐	
7	127	0.0	☒	☐	☒	

NASTAVENÍ
☐ Zohlednění limitované redistribuce podporových momentů
☐ Redukce momentů resp. dimenzování pro momenty v líci monolitické podpory
☒ Redukce posouvajících sil v oblasti podpory podle 6.2.2
☒ Zmenšení posouvajících sil s osamělým zatížením podle 6.2.2(6) a 6.2.3(8)

1.6 SADA VÝZTUŽE Č. 1

Použito na prutech:	1-19,32,33,60-64,68,70,75-77,83,84,117-120,131, 135-137,144,145,198-210,268-270,835,860,861,896-898, 901,902,905-908,910,911,913,915,917-921,923-940, 945-960,962-964,966-972,982-988,991-994,996-1005, 1009-1012,1015-1020,1022-1030
PODÉLNÁ VÝZTUŽ	
Možné průměry:	16.0 mm
Max. počet vrstev	1
Min. vzdál. pro 1. vrstvu:	20.0 mm
Typ kotvení:	Přímý prut
Povrch výztuže:	Žebrovaný
Odstupňování výztuže:	Žádné
TŘMÍNKOVÁ VÝZTUŽ	
Možné průměry:	10.0 mm
Počet střihů:	2
Sklon:	90°
Typ kotvení:	Hák
Uspořádání třmínků:	Stejné vzdálenosti ve všech částech
USPOŘÁDÁNÍ VÝZTUŽE	
Krytí výztuže podle normy	☐
Krytí výztuže c-horní:	30.0 mm
Krytí výztuže c-dolní:	30.0 mm
Krytí výztuže c-po stranách:	30.0 mm
Uspořádání výztuže:	-z (horní) - +z (dolní) (optimaliz. rozdělení)

1.6 SADA VÝZTUŽE Č. 1

Torzní výztuž rozmístěná po obvodu:	☒
Zohledněné vnitřní síly:	N, V-y, V-z, M-T, M-y, M-z
MINIMÁLNÍ VÝZTUŽ	
Min. plocha výztuže (min A-s,horní):	0.00 mm²
Min. plocha výztuže (min A-s,dolní):	0.00 mm²
Minimální podélná výztuž podle normy:	☒
Minimální smyková výztuž podle normy:	☒
Podélná výztuž pro posouzení posouvající síly:	Použít nutnou podélnou výztuž
SMYK VE STYČNÉ PLOŠE	
Smyk ve styčné ploše možný:	☐
Posouzení spojů pásnice na členěných průřezech	☐
NASTAVENÍ PRO EN 1992-1-1:2004/A1:2014	
Max. stupeň vyztužení:	8.00 %
Omezení tlakové zóny	☒
Souč. spolehlivosti Gamma-c	TD 1.50, MM 1.20, MSP 1.00
Souč. spolehlivosti Gamma-s	TD 1.15, MM 1.00, MSP 1.00
Redukční součinitel Alpha-cc	TD 1.00, MM 1.00, MSP 1.00
Redukční součinitel Alpha-ct	TD 1.00, MM 1.00, MSP 1.00
Min. proměnný sklon tlakových diagonál	45.00 °
Max. proměnný sklon tlakových diagonál	45.00 °
SERVICEABILITY	
Posouzení trhlin	
Mezní hodnota přípustné šířky trhlin $w_{k,max,-z\ (horní)}$:	0.3 mm
Mezní hodnota přípustné šířky trhlin $w_{k,max,+z\ (dolní)}$:	0.3 mm
Posouzení bez přímého výpočtu šířky trhlin:	☒
Výpočet mezního průměru lim d_s:	☒
Výpočet maximální rozteče prutů lim s_l:	☒
Posouzení s přímým výpočtem šířky trhlin:	☒
Pro $s_{r,\ max}$ zohlednit vztah (7.14) :	☐
Účinná pevnost betonu v tahu při vzniku trhlin:	1.000 * f_{ctm}
$A_{s,min}$ pro účinky od přetvoření:	☐
Analýza napětí	
Omezení napětí betonu v tlaku s_c:	☒
Podle návrhové situace s k_1*f_{ck} a k_2*f_{ck} podle EN 1992-1-1:2004/A1:2014 (7.2)	
Součinitel k_1 pro omezení tlakového napětí v betonu k_1:	0.600
Součinitel k_2 pro omezení tlakového napětí v betonu k_2:	0.450
Omezení napětí v oceli s_s:	☒
Podle návrhové situace s k_3*f_{yk} a k_4*f_{yk} podle EN 1992-1-1:2004/A1:2014 (7.2)	
Součinitel k_3 pro omezení napětí v oceli k_3:	0.800
Součinitel k_4 pro omezení napětí v oceli k_4:	1.000
Posouzení deformací	
Průhyb $u_{l,z}$:	☒
Stanovení podélné výztuže	
Automaticky navýšit požadovanou podélnou výztuž pro posouzení mezního stavu použitelnosti:	☒

1.7 ÚDAJE O DEFORMACI

č.	Vztaženo na	Prvek č.	Vztažná délka prvku	L [m]	Nadvýšení w_0 [mm]	Mezní hodnota L / [-]	$u_{z,max}$ [mm]	Komentář
1	Prut	1	Rozteč podpor	6.300	0.0	250	25.2	
2	Prut	2	Rozteč podpor	3.450	0.0	250	13.8	
3	Prut	3	Rozteč podpor	5.775	0.0	250	23.1	
4	Prut	4	Rozteč podpor	1.700	0.0	250	6.8	
5	Prut	5	Rozteč podpor	2.000	0.0	250	8.0	
6	Prut	6	Rozteč podpor	0.750	0.0	250	3.0	
7	Prut	7	Rozteč podpor	5.775	0.0	250	23.1	
8	Prut	8	Rozteč podpor	6.000	0.0	250	24.0	
9	Prut	9	Rozteč podpor	6.000	0.0	250	24.0	
10	Prut	10	Rozteč podpor	2.650	0.0	250	10.6	
11	Prut	11	Rozteč podpor	3.450	0.0	250	13.8	
12	Prut	12	Rozteč podpor	2.150	0.0	250	8.6	
13	Prut	13	Rozteč podpor	0.100	0.0	250	0.4	
14	Prut	14	Rozteč podpor	0.100	0.0	250	0.4	
15	Prut	15	Rozteč podpor	4.200	0.0	250	16.8	
16	Prut	16	Rozteč podpor	6.300	0.0	250	25.2	
17	Prut		Rozteč podpor		0.0	250		
18	Prut		Rozteč podpor		0.0	250		
19	Prut	32	Rozteč podpor	6.000	0.0	250	24.0	
20	Prut	33	Rozteč podpor	3.000	0.0	250	12.0	
21	Prut	34	Rozteč podpor	1.750	0.0	250	7.0	
22	Prut	60	Rozteč podpor	2.600	0.0	250	10.4	
23	Prut	61	Rozteč podpor	2.600	0.0	250	10.4	
24	Prut	62	Rozteč podpor	2.600	0.0	250	10.4	
25	Prut	63	Rozteč podpor	4.100	0.0	250	16.4	
26	Prut	64	Rozteč podpor	4.100	0.0	250	16.4	
27	Prut	68	Rozteč podpor	4.100	0.0	250	16.4	
28	Prut	70	Rozteč podpor	4.100	0.0	250	16.4	
29	Prut	75	Rozteč podpor	2.600	0.0	250	10.4	
30	Prut	76	Rozteč podpor	2.600	0.0	250	10.4	
31	Prut	77	Rozteč podpor	2.600	0.0	250	10.4	
32	Prut	83	Rozteč podpor	4.100	0.0	250	16.4	
33	Prut	84	Rozteč podpor	4.100	0.0	250	16.4	
34	Prut	117	Rozteč podpor	6.000	0.0	250	24.0	
35	Prut	118	Rozteč podpor	6.000	0.0	250	24.0	
36	Prut	119	Rozteč podpor	6.000	0.0	250	24.0	
37	Prut	120	Rozteč podpor	6.000	0.0	250	24.0	
38	Prut	131	Rozteč podpor	6.000	0.0	250	24.0	
39	Prut	135	Rozteč podpor	6.000	0.0	250	24.0	
40	Prut	136	Rozteč podpor	6.000	0.0	250	24.0	
41	Prut	137	Rozteč podpor	6.000	0.0	250	24.0	
42	Prut	144	Rozteč podpor	6.100	0.0	250	24.4	

1.7 ÚDAJE O DEFORMACI

č.	Vztaženo na	Prvek č.	Vztažná délka prvku	L [m]	Nadvýšení w_0 [mm]	Mezní hodnota L / [-]	$u_{z,max}$ [mm]	Komentář
43	Prut	145	Rozteč podpor	5.900	0.0	250	23.6	
44	Prut	198	Rozteč podpor	3.300	0.0	250	13.2	
45	Prut	199	Rozteč podpor	3.300	0.0	250	13.2	
46	Prut	200	Rozteč podpor	3.300	0.0	250	13.2	
47	Prut	201	Rozteč podpor	3.300	0.0	250	13.2	
48	Prut	202	Rozteč podpor	3.300	0.0	250	13.2	
49	Prut	203	Rozteč podpor	3.300	0.0	250	13.2	
50	Prut	204	Rozteč podpor	3.300	0.0	250	13.2	
51	Prut	205	Rozteč podpor	3.300	0.0	250	13.2	
52	Prut	206	Rozteč podpor	3.300	0.0	250	13.2	
53	Prut	207	Rozteč podpor	3.300	0.0	250	13.2	
54	Prut	208	Rozteč podpor	3.710	0.0	250	14.8	
55	Prut	209	Rozteč podpor	3.710	0.0	250	14.8	
56	Prut	210	Rozteč podpor	3.710	0.0	250	14.8	
57	Prut	268	Rozteč podpor	1.450	0.0	250	5.8	
58	Prut	269	Rozteč podpor	1.450	0.0	250	5.8	
59	Prut	270	Rozteč podpor	1.450	0.0	250	5.8	
60	Prut	835	Rozteč podpor	5.825	0.0	250	23.3	
61	Prut	860	Rozteč podpor	4.050	0.0	250	16.2	
62	Prut	861	Rozteč podpor	4.050	0.0	250	16.2	
63	Prut	896	Rozteč podpor	1.450	0.0	250	5.8	
64	Prut	897	Rozteč podpor	1.450	0.0	250	5.8	
65	Prut	898	Rozteč podpor	1.450	0.0	250	5.8	
66	Prut	901	Rozteč podpor	1.450	0.0	250	5.8	
67	Prut	902	Rozteč podpor	1.450	0.0	250	5.8	
68	Prut	905	Rozteč podpor	4.100	0.0	250	16.4	
69	Prut	906	Rozteč podpor	4.100	0.0	250	16.4	
70	Prut	907	Rozteč podpor	4.101	0.0	250	16.4	
71	Prut	908	Rozteč podpor	4.100	0.0	250	16.4	
72	Prut	910	Rozteč podpor	2.600	0.0	250	10.4	
73	Prut	911	Rozteč podpor	2.600	0.0	250	10.4	
74	Prut	913	Rozteč podpor	4.100	0.0	250	16.4	
75	Prut		Rozteč podpor		0.0	250		
76	Prut	915	Rozteč podpor	4.100	0.0	250	16.4	
77	Prut		Rozteč podpor		0.0	250		
78	Prut	917	Rozteč podpor	4.100	0.0	250	16.4	
79	Prut	918	Rozteč podpor	2.600	0.0	250	10.4	
80	Prut	919	Rozteč podpor	1.450	0.0	250	5.8	
81	Prut	920	Rozteč podpor	6.000	0.0	250	24.0	
82	Prut	921	Rozteč podpor	1.338	0.0	250	5.4	
83	Prut	923	Rozteč podpor	4.662	0.0	250	18.6	
84	Prut	924	Rozteč podpor	6.000	0.0	250	24.0	
85	Prut	925	Rozteč podpor	3.000	0.0	250	12.0	
86	Prut	926	Rozteč podpor	3.000	0.0	250	12.0	
87	Prut	927	Rozteč podpor	6.000	0.0	250	24.0	
88	Prut	928	Rozteč podpor	4.100	0.0	250	16.4	
89	Prut	929	Rozteč podpor	2.600	0.0	250	10.4	
90	Prut	930	Rozteč podpor	1.450	0.0	250	5.8	
91	Prut	931	Rozteč podpor	2.550	0.0	250	10.2	
92	Prut	932	Rozteč podpor	4.100	0.0	250	16.4	
93	Prut	933	Rozteč podpor	2.600	0.0	250	10.4	
94	Prut	934	Rozteč podpor	4.100	0.0	250	16.4	
95	Prut	935	Rozteč podpor	1.450	0.0	250	5.8	
96	Prut	936	Rozteč podpor	6.000	0.0	250	24.0	
97	Prut	937	Rozteč podpor	6.000	0.0	250	24.0	
98	Prut	938	Rozteč podpor	6.000	0.0	250	24.0	
99	Prut	939	Rozteč podpor	6.000	0.0	250	24.0	
100	Prut	940	Rozteč podpor	6.000	0.0	250	24.0	
101	Prut	945	Rozteč podpor	4.100	0.0	250	16.4	
102	Prut	946	Rozteč podpor	4.100	0.0	250	16.4	
103	Prut	947	Rozteč podpor	4.100	0.0	250	16.4	
104	Prut	948	Rozteč podpor	4.100	0.0	250	16.4	
105	Prut	949	Rozteč podpor	2.600	0.0	250	10.4	
106	Prut	950	Rozteč podpor	2.600	0.0	250	10.4	
107	Prut	951	Rozteč podpor	1.450	0.0	250	5.8	
108	Prut	952	Rozteč podpor	1.450	0.0	250	5.8	
109	Prut	953	Rozteč podpor	6.000	0.0	250	24.0	
110	Prut	954	Rozteč podpor	2.375	0.0	250	9.5	
111	Prut	955	Rozteč podpor	4.100	0.0	250	16.4	
112	Prut	956	Rozteč podpor	4.100	0.0	250	16.4	
113	Prut	957	Rozteč podpor	2.600	0.0	250	10.4	
114	Prut	958	Rozteč podpor	2.600	0.0	250	10.4	
115	Prut	959	Rozteč podpor	1.450	0.0	250	5.8	
116	Prut	960	Rozteč podpor	1.450	0.0	250	5.8	
117	Prut	962	Rozteč podpor	6.000	0.0	250	24.0	
118	Prut	963	Rozteč podpor	1.450	0.0	250	5.8	
119	Prut	964	Rozteč podpor	1.450	0.0	250	5.8	
120	Prut	966	Rozteč podpor	1.450	0.0	250	5.8	
121	Prut	967	Rozteč podpor	4.100	0.0	250	16.4	
122	Prut	968	Rozteč podpor	4.100	0.0	250	16.4	
123	Prut	969	Rozteč podpor	2.600	0.0	250	10.4	
124	Prut	970	Rozteč podpor	2.600	0.0	250	10.4	
125	Prut	971	Rozteč podpor	2.600	0.0	250	10.4	
126	Prut	972	Rozteč podpor	4.100	0.0	250	16.4	
127	Prut	982	Rozteč podpor	4.310	0.0	250	17.2	
128	Prut	983	Rozteč podpor	4.640	0.0	250	18.6	
129	Prut	984	Rozteč podpor	2.300	0.0	250	9.2	
130	Prut	985	Rozteč podpor	4.100	0.0	250	16.4	
131	Prut	986	Rozteč podpor	2.600	0.0	250	10.4	
132	Prut	987	Rozteč podpor	4.050	0.0	250	16.2	
133	Prut	988	Rozteč podpor	4.100	0.0	250	16.4	
134	Prut	991	Rozteč podpor	1.350	0.0	250	5.4	
135	Prut	992	Rozteč podpor	2.375	0.0	250	9.5	
136	Prut	993	Rozteč podpor	1.200	0.0	250	4.8	
137	Prut	994	Rozteč podpor	2.790	0.0	250	11.2	
138	Prut	996	Rozteč podpor	1.100	0.0	250	4.4	
139	Prut	997	Rozteč podpor	1.100	0.0	250	4.4	

1.7 ÚDAJE O DEFORMACI

č.	Vztaženo na	Prvek č.	Vztažná délka prvku	L [m]	Nadvýšení w_0 [mm]	Mezní hodnota L / [-]	$u_{z,max}$ [mm]	Komentář
140	Prut	998	Rozteč podpor	0.075	0.0	250	0.3	
141	Prut	999	Rozteč podpor	2.375	0.0	250	9.5	
142	Prut	1000	Rozteč podpor	4.310	0.0	250	17.2	
143	Prut	1001	Rozteč podpor	4.640	0.0	250	18.6	
144	Prut	1002	Rozteč podpor	6.000	0.0	250	24.0	
145	Prut	1003	Rozteč podpor	6.000	0.0	250	24.0	
146	Prut	1004	Rozteč podpor	2.525	0.0	250	10.1	
147	Prut	1005	Rozteč podpor	3.475	0.0	250	13.9	
148	Prut	1006	Rozteč podpor	0.400	0.0	250	1.6	
149	Prut	1007	Rozteč podpor	1.660	0.0	250	6.6	
150	Prut	1008	Rozteč podpor	0.830	0.0	250	3.3	
151	Prut	1009	Rozteč podpor	1.570	0.0	250	6.3	
152	Prut	1010	Rozteč podpor	2.740	0.0	250	11.0	
153	Prut	1011	Rozteč podpor	2.550	0.0	250	10.2	
154	Prut	1012	Rozteč podpor	2.550	0.0	250	10.2	
155	Prut		Rozteč podpor		0.0	250		
156	Prut		Rozteč podpor		0.0	250		
157	Prut	1015	Rozteč podpor	4.050	0.0	250	16.2	
158	Prut	1016	Rozteč podpor	4.050	0.0	250	16.2	
159	Prut	17	Rozteč podpor	1.800	0.0	250	7.2	
160	Prut	18	Rozteč podpor	2.550	0.0	250	10.2	
161	Prut	19	Rozteč podpor	1.450	0.0	250	5.8	
162	Prut	1017	Rozteč podpor	4.100	0.0	250	16.4	
163	Prut	1018	Rozteč podpor	4.100	0.0	250	16.4	
164	Prut	1019	Rozteč podpor	2.600	0.0	250	10.4	
165	Prut	1020	Rozteč podpor	2.600	0.0	250	10.4	
166	Prut	1022	Rozteč podpor	2.600	0.0	250	10.4	
167	Prut	1023	Rozteč podpor	2.600	0.0	250	10.4	
168	Prut	1024	Rozteč podpor	4.100	0.0	250	16.4	
169	Prut	1025	Rozteč podpor	2.600	0.0	250	10.4	
170	Prut	1026	Rozteč podpor	4.100	0.0	250	16.4	
171	Prut	1027	Rozteč podpor	2.600	0.0	250	10.4	
172	Prut	1028	Rozteč podpor	2.600	0.0	250	10.4	
173	Prut	1029	Rozteč podpor	1.438	0.0	250	5.8	
174	Prut	1030	Rozteč podpor	4.562	0.0	250	18.2	
175	Prut		Rozteč podpor		0.0	250		
176	Prut		Rozteč podpor		0.0	250		
177	Prut		Rozteč podpor		0.0	250		
178	Prut		Rozteč podpor		0.0	250		

2.3 NUTNÁ VÝZTUŽ PO PRUTECH

Výztuž	Prut č.	Místo x [m]	Zatížení	Plocha výztuže	Jednotky	Chybové hlášení Upozornění
Prut č. 1 - Obdélník 300/745						
$A_{s,-z\ (horní)}$	1	0.000	KZ1	513.11	mm²	
$A_{s,+z\ (dolní)}$	1	3.392	KZ1	451.03	mm²	
$A_{s,T}$	1	6.300	KZ1	11.84	mm²	
$a_{sw,V,třmínky}$	1	0.000	KZ1	396.57	mm²/m	58)
$a_{sw,T,třmínky}$	1	6.300	KZ1	2.37	mm²/m	
Prut č. 2 - Obdélník 300/745						
$A_{s,-z\ (horní)}$	2	0.000	KZ1	450.39	mm²	
$A_{s,+z\ (dolní)}$	2	0.000	KZ1	0.00	mm²	
$A_{s,T}$	2	1.725	KZ1	9.33	mm²	
$a_{sw,V,třmínky}$	2	0.000	KZ1	262.91	mm²/m	58) 69)
$a_{sw,T,třmínky}$	2	1.725	KZ1	1.87	mm²/m	
Prut č. 3 - Obdélník 300/745						
$A_{s,-z\ (horní)}$	3	0.000	KZ1	514.76	mm²	
$A_{s,+z\ (dolní)}$	3	3.369	KZ1	518.01	mm²	
$A_{s,T}$	3	3.369	KZ1	6.38	mm²	
$a_{sw,V,třmínky}$	3	0.000	KZ1	409.75	mm²/m	58)
$a_{sw,T,třmínky}$	3	3.369	KZ1	1.28	mm²/m	
Prut č. 4 - Obdélník 300/800						
$A_{s,-z\ (horní)}$	4	0.000	KZ1	344.73	mm²	26)
$A_{s,+z\ (dolní)}$	4	0.567	KZ1	240.00	mm²	25)
$A_{s,T}$	4	0.000	KZ1	5.96	mm²	
$a_{sw,V,třmínky}$	4	0.000	KZ1	262.91	mm²/m	58) 69)
$a_{sw,T,třmínky}$	4	0.000	KZ1	1.13	mm²/m	
Prut č. 5 - Obdélník 300/200						
$A_{s,-z\ (horní)}$	5	0.000	KZ1	60.00	mm²	13) 25)
$A_{s,+z\ (dolní)}$	5	0.000	KZ1	60.00	mm²	13) 25)
$A_{s,T}$	5	0.600	KZ1	0.67	mm²	
$a_{sw,V,třmínky}$	5	0.000	KZ1	240.00	mm²/m	58) 69)
$a_{sw,T,třmínky}$	5	2.000	KZ1	0.22	mm²/m	
Prut č. 6 - Obdélník 300/800						
$A_{s,-z\ (horní)}$	6	0.000	KZ1	240.00	mm²	25)
$A_{s,+z\ (dolní)}$	6	0.000	KZ1	240.00	mm²	25)
$A_{s,T}$	6	0.750	KZ1	9.97	mm²	
$a_{sw,V,třmínky}$	6	0.000	KZ1	262.91	mm²/m	58) 69)
$a_{sw,T,třmínky}$	6	0.750	KZ1	1.88	mm²/m	
Prut č. 7 - Obdélník 300/500						
$A_{s,-z\ (horní)}$	7	2.888	KZ1	441.27	mm²	28)
$A_{s,+z\ (dolní)}$	7	2.888	KZ1	882.54	mm²	29)
$A_{s,T}$	7	0.000	KZ1	4.67	mm²	
$a_{sw,V,třmínky}$	7	0.000	KZ1	240.00	mm²/m	58) 69)
$a_{sw,T,třmínky}$	7	2.888	KZ1	1.60	mm²/m	
Prut č. 8 - Obdélník 300/500						
$A_{s,-z\ (horní)}$	8	6.000	KZ1	12.17	mm²	
$A_{s,+z\ (dolní)}$	8	3.000	KZ1	520.64	mm²	
$A_{s,T}$	8	4.000	KZ1	10.61	mm²	
$a_{sw,V,třmínky}$	8	0.000	KZ1	240.00	mm²/m	58) 69)

2.3 NUTNÁ VÝZTUŽ PO PRUTECH

Výztuž	Prut č.	Místo x [m]	Zatížení	Plocha výztuže	Jednotky	Chybové hlášení Upozornění
$a_{sw,T,třmínky}$	8	3.000	KZ1	4.98	mm²/m	
Prut č. 9 - Obdélník 300/500						
$A_{s,-z\ (horní)}$	9	0.000	KZ1	150.00	mm²	25)
$A_{s,+z\ (dolní)}$	9	3.000	KZ1	520.79	mm²	
$A_{s,T}$	9	2.500	KZ1	6.72	mm²	
$a_{sw,V,třmínky}$	9	0.000	KZ1	240.00	mm²/m	58) 69)
$a_{sw,T,třmínky}$	9	3.000	KZ1	3.16	mm²/m	
Prut č. 10 - Obdélník 300/500						
$A_{s,-z\ (horní)}$	10	0.000	KZ1	150.00	mm²	13) 25)
$A_{s,+z\ (dolní)}$	10	1.325	KZ1	187.39	mm²	27)
$A_{s,T}$	10	2.650	KZ1	17.67	mm²	
$a_{sw,V,třmínky}$	10	0.000	KZ1	240.00	mm²/m	58) 69)
$a_{sw,T,třmínky}$	10	1.325	KZ1	5.78	mm²/m	
Prut č. 11 - Obdélník 300/500						
$A_{s,-z\ (horní)}$	11	0.000	KZ1	150.00	mm²	13) 25)
$A_{s,+z\ (dolní)}$	11	1.725	KZ1	187.40	mm²	27)
$A_{s,T}$	11	3.450	KZ1	2.17	mm²	
$a_{sw,V,třmínky}$	11	0.000	KZ1	240.00	mm²/m	58) 69)
$a_{sw,T,třmínky}$	11	1.725	KZ1	0.73	mm²/m	
Prut č. 12 - Obdélník 300/800						
$A_{s,-z\ (horní)}$	12	0.000	KZ1	344.73	mm²	26)
$A_{s,+z\ (dolní)}$	12	1.613	KZ1	240.00	mm²	25)
$A_{s,T}$	12	0.000	KZ1	9.97	mm²	
$a_{sw,V,třmínky}$	12	0.000	KZ1	262.91	mm²/m	58) 69)
$a_{sw,T,třmínky}$	12	0.000	KZ1	1.88	mm²/m	
Prut č. 13 - Obdélník 300/800						
$A_{s,-z\ (horní)}$	13	0.000	KZ1	1005.31	mm²	13) 25) 28)
$A_{s,+z\ (dolní)}$	13	0.000	KZ1	1005.31	mm²	13) 25) 29)
$A_{s,T}$	13	0.100	KZ1	9.98	mm²	
$a_{sw,V,třmínky}$	13	0.000	KZ1	262.91	mm²/m	58) 69)
$a_{sw,T,třmínky}$	13	0.100	KZ1	1.89	mm²/m	
Prut č. 14 - Obdélník 300/800						
$A_{s,-z\ (horní)}$	14	0.000	KZ1	1005.31	mm²	13) 25) 28)
$A_{s,+z\ (dolní)}$	14	0.000	KZ1	1005.31	mm²	13) 25) 29)
$A_{s,T}$	14	0.050	KZ1	8.61	mm²	
$a_{sw,V,třmínky}$	14	0.000	KZ1	262.91	mm²/m	58) 69)
$a_{sw,T,třmínky}$	14	0.100	KZ1	1.13	mm²/m	
Prut č. 15 - Obdélník 300/800						
$A_{s,-z\ (horní)}$	15	2.800	KZ1	344.73	mm²	26)
$A_{s,+z\ (dolní)}$	15	0.000	KZ1	240.00	mm²	13) 25)
$A_{s,T}$	15	0.467	KZ1	5.98	mm²	
$a_{sw,V,třmínky}$	15	0.000	KZ1	262.91	mm²/m	58) 69)
$a_{sw,T,třmínky}$	15	0.467	KZ1	1.13	mm²/m	
Prut č. 16 - Obdélník 300/500						
$A_{s,-z\ (horní)}$	16	0.000	KZ1	150.00	mm²	25)
$A_{s,+z\ (dolní)}$	16	2.908	KZ1	431.06	mm²	
$A_{s,T}$	16	0.000	KZ1	1.44	mm²	
$a_{sw,V,třmínky}$	16	0.000	KZ1	240.00	mm²/m	58) 69)
$a_{sw,T,třmínky}$	16	0.000	KZ1	0.39	mm²/m	
Prut č. 17 - Obdélník 300/300						
$A_{s,-z\ (horní)}$	17	0.000	KZ1	90.00	mm²	13) 25)
$A_{s,+z\ (dolní)}$	17	0.000	KZ1	90.00	mm²	13) 25)
$A_{s,T}$	17	1.800	KZ1	21.87	mm²	
$a_{sw,V,třmínky}$	17	0.000	KZ1	0.00	mm²/m	58) 933)
$a_{sw,T,třmínky}$	17	1.800	KZ1	8.14	mm²/m	
Prut č. 18 - Obdélník 300/500						
$A_{s,-z\ (horní)}$	18	2.550	KZ1	26.99	mm²	
$A_{s,+z\ (dolní)}$	18	1.275	KZ1	187.40	mm²	27)
$A_{s,T}$	18	0.000	KZ1	29.02	mm²	
$a_{sw,V,třmínky}$	18	0.000	KZ1	240.00	mm²/m	58) 69)
$a_{sw,T,třmínky}$	18	1.275	KZ1	13.62	mm²/m	
Prut č. 19 - Obdélník 300/300						
$A_{s,-z\ (horní)}$	19	0.000	KZ1	90.00	mm²	25)
$A_{s,+z\ (dolní)}$	19	0.000	KZ1	90.00	mm²	25)
$A_{s,T}$	19	0.000	KZ1	11.67	mm²	
$a_{sw,V,třmínky}$	19	0.000	KZ1	0.00	mm²/m	58) 933)
$a_{sw,T,třmínky}$	19	0.000	KZ1	2.08	mm²/m	
Prut č. 32 - Obdélník 300/800						
$A_{s,-z\ (horní)}$	32	0.000	KZ1	240.00	mm²	25)
$A_{s,+z\ (dolní)}$	32	0.000	KZ1	240.00	mm²	25)
$A_{s,T}$	32	3.000	KZ1	49.21	mm²	
$a_{sw,V,třmínky}$	32	0.000	KZ1	262.91	mm²/m	58) 69)
$a_{sw,T,třmínky}$	32	6.000	KZ1	6.46	mm²/m	
Prut č. 33 - Obdélník 300/800						
$A_{s,-z\ (horní)}$	33	3.000	KZ1	344.74	mm²	26)
$A_{s,+z\ (dolní)}$	33	0.000	KZ1	240.00	mm²	25)
$A_{s,T}$	33	1.714	KZ1	10.70	mm²	
$a_{sw,V,třmínky}$	33	0.000	KZ1	262.91	mm²/m	58) 69)
$a_{sw,T,třmínky}$	33	1.714	KZ1	2.02	mm²/m	
Prut č. 60 - Obdélník 300/500						
$A_{s,-z\ (horní)}$	60	0.000	KZ1	150.00	mm²	13) 25)
$A_{s,+z\ (dolní)}$	60	0.000	KZ1	150.00	mm²	13) 25)
$A_{s,T}$	60	2.600	KZ1	2.88	mm²	
$a_{sw,V,třmínky}$	60	0.000	KZ1	0.00	mm²/m	58) 933)
$a_{sw,T,třmínky}$	60	2.600	KZ1	0.38	mm²/m	
Prut č. 61 - Obdélník 300/500						
$A_{s,-z\ (horní)}$	61	0.000	KZ1	150.00	mm²	13) 25)
$A_{s,+z\ (dolní)}$	61	0.000	KZ1	150.00	mm²	13) 25)
$A_{s,T}$	61	2.600	KZ1	0.85	mm²	
$a_{sw,V,třmínky}$	61	0.000	KZ1	0.00	mm²/m	58) 933)

2.3 NUTNÁ VÝZTUŽ PO PRUTECH

Výztuž	Prut č.	Místo x [m]	Zatížení	Plocha výztuže	Jednotky	Chybové hlášení Upozornění
$a_{sw,T,třmínky}$	61	2.600	KZ1	0.11	mm²/m	
Prut č. 62 - Obdélník 300/500						
$A_{s,-z\ (horní)}$	62	0.000	KZ1	150.00	mm²	13) 25)
$A_{s,+z\ (dolní)}$	62	0.000	KZ1	150.00	mm²	13) 25)
$A_{s,T}$	62	2.600	KZ1	1.91	mm²	
$a_{sw,V,třmínky}$	62	0.000	KZ1	0.00	mm²/m	58) 933)
$a_{sw,T,třmínky}$	62	2.600	KZ1	0.25	mm²/m	
Prut č. 63 - Obdélník 300/300						
$A_{s,-z\ (horní)}$	63	0.000	KZ1	90.00	mm²	13) 25)
$A_{s,+z\ (dolní)}$	63	0.000	KZ1	90.00	mm²	13) 25)
$A_{s,T}$	63	4.100	KZ1	0.57	mm²	
$a_{sw,V,třmínky}$	63	0.000	KZ1	0.00	mm²/m	58) 933)
$a_{sw,T,třmínky}$	63	2.050	KZ1	0.25	mm²/m	
Prut č. 64 - Obdélník 300/300						
$A_{s,-z\ (horní)}$	64	0.000	KZ1	90.00	mm²	13) 25)
$A_{s,+z\ (dolní)}$	64	0.000	KZ1	90.00	mm²	13) 25)
$A_{s,T}$	64	1.025	KZ1	9.57	mm²	
$a_{sw,V,třmínky}$	64	0.000	KZ1	0.00	mm²/m	58) 933)
$a_{sw,T,třmínky}$	64	0.513	KZ1	2.47	mm²/m	
Prut č. 68 - Obdélník 300/500						
$A_{s,-z\ (horní)}$	68	0.000	KZ1	150.00	mm²	13) 25)
$A_{s,+z\ (dolní)}$	68	0.000	KZ1	150.00	mm²	13) 25)
$A_{s,T}$	68	1.538	KZ1	25.76	mm²	
$a_{sw,V,třmínky}$	68	0.000	KZ1	0.00	mm²/m	58) 933)
$a_{sw,T,třmínky}$	68	0.000	KZ1	4.86	mm²/m	
Prut č. 70 - Obdélník 300/500						
$A_{s,-z\ (horní)}$	70	0.000	KZ1	150.00	mm²	13) 25)
$A_{s,+z\ (dolní)}$	70	0.000	KZ1	150.00	mm²	13) 25)
$A_{s,T}$	70	4.100	KZ1	131.11	mm²	
$a_{sw,V,třmínky}$	70	0.000	KZ1	0.00	mm²/m	58) 933)
$a_{sw,T,třmínky}$	70	4.100	KZ1	17.12	mm²/m	
Prut č. 75 - Obdélník 300/500						
$A_{s,-z\ (horní)}$	75	0.000	KZ1	150.00	mm²	13) 25)
$A_{s,+z\ (dolní)}$	75	0.000	KZ1	150.00	mm²	13) 25)
$A_{s,T}$	75	2.600	KZ1	7.60	mm²	
$a_{sw,V,třmínky}$	75	0.000	KZ1	0.00	mm²/m	58) 933)
$a_{sw,T,třmínky}$	75	2.600	KZ1	0.99	mm²/m	
Prut č. 76 - Obdélník 300/500						
$A_{s,-z\ (horní)}$	76	0.000	KZ1	150.00	mm²	13) 25)
$A_{s,+z\ (dolní)}$	76	0.000	KZ1	150.00	mm²	13) 25)
$A_{s,T}$	76	2.600	KZ1	5.01	mm²	
$a_{sw,V,třmínky}$	76	0.000	KZ1	0.00	mm²/m	58) 933)
$a_{sw,T,třmínky}$	76	2.600	KZ1	0.65	mm²/m	
Prut č. 77 - Obdélník 300/500						
$A_{s,-z\ (horní)}$	77	0.000	KZ1	150.00	mm²	13) 25)
$A_{s,+z\ (dolní)}$	77	0.000	KZ1	150.00	mm²	13) 25)
$A_{s,T}$	77	2.600	KZ1	11.57	mm²	
$a_{sw,V,třmínky}$	77	0.000	KZ1	0.00	mm²/m	58) 933)
$a_{sw,T,třmínky}$	77	2.600	KZ1	1.51	mm²/m	
Prut č. 83 - Obdélník 300/300						
$A_{s,-z\ (horní)}$	83	0.000	KZ1	90.00	mm²	13) 25)
$A_{s,+z\ (dolní)}$	83	0.000	KZ1	90.00	mm²	13) 25)
$A_{s,T}$	83	0.000	KZ1	11.31	mm²	
$a_{sw,V,třmínky}$	83	0.000	KZ1	0.00	mm²/m	58) 933)
$a_{sw,T,třmínky}$	83	3.895	KZ1	2.90	mm²/m	
Prut č. 84 - Obdélník 300/300						
$A_{s,-z\ (horní)}$	84	0.000	KZ1	90.00	mm²	13) 25)
$A_{s,+z\ (dolní)}$	84	0.000	KZ1	90.00	mm²	13) 25)
$A_{s,T}$	84	4.100	KZ1	9.28	mm²	
$a_{sw,V,třmínky}$	84	0.000	KZ1	0.00	mm²/m	58) 933)
$a_{sw,T,třmínky}$	84	4.100	KZ1	1.66	mm²/m	
Prut č. 117 - Obdélník 300/300						
$A_{s,-z\ (horní)}$	117	3.000	KZ1	426.47	mm²	28)
$A_{s,+z\ (dolní)}$	117	3.000	KZ1	426.47	mm²	29)
$A_{s,T}$	117	0.000	KZ1	1.63	mm²	
$a_{sw,V,třmínky}$	117	0.000	KZ1	240.00	mm²/m	58) 69)
$a_{sw,T,třmínky}$	117	3.000	KZ1	0.72	mm²/m	
Prut č. 118 - Obdélník 300/300						
$A_{s,-z\ (horní)}$	118	3.000	KZ1	426.23	mm²	28)
$A_{s,+z\ (dolní)}$	118	3.000	KZ1	426.23	mm²	29)
$A_{s,T}$	118	0.000	KZ1	3.12	mm²	
$a_{sw,V,třmínky}$	118	0.000	KZ1	240.00	mm²/m	58) 69)
$a_{sw,T,třmínky}$	118	3.000	KZ1	1.98	mm²/m	
Prut č. 119 - Obdélník 300/300						
$A_{s,-z\ (horní)}$	119	3.000	KZ1	427.61	mm²	28)
$A_{s,+z\ (dolní)}$	119	3.000	KZ1	427.61	mm²	29)
$A_{s,T}$	119	6.000	KZ1	6.84	mm²	
$a_{sw,V,třmínky}$	119	0.000	KZ1	240.00	mm²/m	58) 69)
$a_{sw,T,třmínky}$	119	3.000	KZ1	3.00	mm²/m	
Prut č. 120 - Obdélník 300/300						
$A_{s,-z\ (horní)}$	120	3.000	KZ1	426.56	mm²	28)
$A_{s,+z\ (dolní)}$	120	3.000	KZ1	426.56	mm²	29)
$A_{s,T}$	120	0.000	KZ1	2.79	mm²	
$a_{sw,V,třmínky}$	120	0.000	KZ1	240.00	mm²/m	58) 69)
$a_{sw,T,třmínky}$	120	3.000	KZ1	1.30	mm²/m	
Prut č. 131 - Obdélník 300/855						
$A_{s,-z\ (horní)}$	131	5.250	KZ1	1058.22	mm²	28)
$A_{s,+z\ (dolní)}$	131	5.250	KZ1	846.58	mm²	29)
$A_{s,T}$	131	0.000	KZ1	4.43	mm²	
$a_{sw,V,třmínky}$	131	0.000	KZ1	262.91	mm²/m	58) 69)

2.3 NUTNÁ VÝZTUŽ PO PRUTECH

Výztuž	Prut č.	Místo x [m]	Zatížení	Plocha výztuže	Jednotky	Chybové hlášení Upozornění
$a_{sw,T,třmínky}$	131	0.000	KZ1	0.79	mm²/m	
Prut č. 135 - Obdélník 300/855						
$A_{s,-z\ (horní)}$	135	6.000	KZ1	869.79	mm²	
$A_{s,+z\ (dolní)}$	135	0.000	KZ1	380.34	mm²	
$A_{s,T}$	135	0.750	KZ1	3.96	mm²	
$a_{sw,V,třmínky}$	135	6.000	KZ1	287.66	mm²/m	58)
$a_{sw,T,třmínky}$	135	0.750	KZ1	0.71	mm²/m	
Prut č. 136 - Obdélník 300/855						
$A_{s,-z\ (horní)}$	136	0.000	KZ1	849.15	mm²	
$A_{s,+z\ (dolní)}$	136	6.000	KZ1	375.02	mm²	
$A_{s,T}$	136	0.000	KZ1	7.93	mm²	
$a_{sw,V,třmínky}$	136	0.000	KZ1	284.23	mm²/m	58)
$a_{sw,T,třmínky}$	136	0.000	KZ1	1.42	mm²/m	
Prut č. 137 - Obdélník 300/855						
$A_{s,-z\ (horní)}$	137	6.000	KZ1	494.71	mm²	
$A_{s,+z\ (dolní)}$	137	0.500	KZ1	380.64	mm²	
$A_{s,T}$	137	1.500	KZ1	7.78	mm²	
$a_{sw,V,třmínky}$	137	0.000	KZ1	262.91	mm²/m	58) 69)
$a_{sw,T,třmínky}$	137	1.500	KZ1	1.39	mm²/m	
Prut č. 144 - Obdélník 300/745						
$A_{s,-z\ (horní)}$	144	4.067	KZ1	319.85	mm²	26)
$A_{s,+z\ (dolní)}$	144	4.067	KZ1	319.86	mm²	27)
$A_{s,T}$	144	0.000	KZ1	0.49	mm²	
$a_{sw,V,třmínky}$	144	0.000	KZ1	262.91	mm²/m	58) 69)
$a_{sw,T,třmínky}$	144	5.083	KZ1	0.17	mm²/m	
Prut č. 145 - Obdélník 300/745						
$A_{s,-z\ (horní)}$	145	5.900	KZ1	319.85	mm²	26)
$A_{s,+z\ (dolní)}$	145	5.408	KZ1	319.87	mm²	27)
$A_{s,T}$	145	0.000	KZ1	15.90	mm²	
$a_{sw,V,třmínky}$	145	5.900	KZ1	428.19	mm²/m	58)
$a_{sw,T,třmínky}$	145	5.900	KZ1	5.52	mm²/m	
Prut č. 198 - Obdélník 300/500						
$A_{s,-z\ (horní)}$	198	0.000	KZ1	150.00	mm²	13) 25)
$A_{s,+z\ (dolní)}$	198	0.000	KZ1	150.00	mm²	13) 25)
$A_{s,T}$	198	0.000	KZ1	0.59	mm²	
$a_{sw,V,třmínky}$	198	0.000	KZ1	0.00	mm²/m	58) 933)
$a_{sw,T,třmínky}$	198	0.000	KZ1	0.16	mm²/m	
Prut č. 199 - Obdélník 300/500						
$A_{s,-z\ (horní)}$	199	0.000	KZ1	150.00	mm²	25)
$A_{s,+z\ (dolní)}$	199	0.000	KZ1	150.00	mm²	25)
$A_{s,T}$	199	2.310	KZ1	1.57	mm²	
$a_{sw,V,třmínky}$	199	0.000	KZ1	0.00	mm²/m	58) 933)
$a_{sw,T,třmínky}$	199	3.300	KZ1	0.30	mm²/m	
Prut č. 200 - Obdélník 300/500						
$A_{s,-z\ (horní)}$	200	0.000	KZ1	150.00	mm²	13) 25)
$A_{s,+z\ (dolní)}$	200	0.000	KZ1	150.00	mm²	13) 25)
$A_{s,T}$	200	0.990	KZ1	1.11	mm²	
$a_{sw,V,třmínky}$	200	0.000	KZ1	0.00	mm²/m	58) 933)
$a_{sw,T,třmínky}$	200	3.300	KZ1	0.26	mm²/m	
Prut č. 201 - Obdélník 300/500						
$A_{s,-z\ (horní)}$	201	0.000	KZ1	150.00	mm²	25)
$A_{s,+z\ (dolní)}$	201	0.000	KZ1	150.00	mm²	25)
$A_{s,T}$	201	0.000	KZ1	3.83	mm²	
$a_{sw,V,třmínky}$	201	0.000	KZ1	0.00	mm²/m	58) 933)
$a_{sw,T,třmínky}$	201	2.970	KZ1	0.71	mm²/m	
Prut č. 202 - Obdélník 300/500						
$A_{s,-z\ (horní)}$	202	0.000	KZ1	150.00	mm²	25)
$A_{s,+z\ (dolní)}$	202	0.000	KZ1	150.00	mm²	25)
$A_{s,T}$	202	2.310	KZ1	1.22	mm²	
$a_{sw,V,třmínky}$	202	0.000	KZ1	0.00	mm²/m	58) 933)
$a_{sw,T,třmínky}$	202	3.300	KZ1	0.25	mm²/m	
Prut č. 203 - Obdélník 300/500						
$A_{s,-z\ (horní)}$	203	0.000	KZ1	150.00	mm²	13) 25)
$A_{s,+z\ (dolní)}$	203	0.000	KZ1	150.00	mm²	13) 25)
$A_{s,T}$	203	0.000	KZ1	0.63	mm²	
$a_{sw,V,třmínky}$	203	0.000	KZ1	0.00	mm²/m	58) 933)
$a_{sw,T,třmínky}$	203	0.000	KZ1	0.17	mm²/m	
Prut č. 204 - Obdélník 300/500						
$A_{s,-z\ (horní)}$	204	3.135	KZ1	1234.59	mm²	13) 25) 28)
$A_{s,+z\ (dolní)}$	204	3.135	KZ1	3703.76	mm²	13) 25) 29)
$A_{s,T}$	204	3.300	KZ1	0.92	mm²	
$a_{sw,V,třmínky}$	204	0.000	KZ1	0.00	mm²/m	58) 933)
$a_{sw,T,třmínky}$	204	3.300	KZ1	0.25	mm²/m	
Prut č. 205 - Obdélník 300/500						
$A_{s,-z\ (horní)}$	205	0.000	KZ1	150.00	mm²	25)
$A_{s,+z\ (dolní)}$	205	0.000	KZ1	150.00	mm²	25)
$A_{s,T}$	205	0.990	KZ1	1.03	mm²	
$a_{sw,V,třmínky}$	205	0.000	KZ1	0.00	mm²/m	58) 933)
$a_{sw,T,třmínky}$	205	0.495	KZ1	0.19	mm²/m	
Prut č. 206 - Obdélník 300/500						
$A_{s,-z\ (horní)}$	206	0.000	KZ1	150.00	mm²	13) 25)
$A_{s,+z\ (dolní)}$	206	0.000	KZ1	150.00	mm²	13) 25)
$A_{s,T}$	206	1.980	KZ1	1.78	mm²	
$a_{sw,V,třmínky}$	206	0.000	KZ1	0.00	mm²/m	58) 933)
$a_{sw,T,třmínky}$	206	0.000	KZ1	0.37	mm²/m	
Prut č. 207 - Obdélník 300/500						
$A_{s,-z\ (horní)}$	207	3.300	KZ1	974.04	mm²	13) 25) 28)
$A_{s,+z\ (dolní)}$	207	3.300	KZ1	2435.10	mm²	13) 25) 29)
$A_{s,T}$	207	3.300	KZ1	1.77	mm²	
$a_{sw,V,třmínky}$	207	0.000	KZ1	0.00	mm²/m	58) 933)

2.3 NUTNÁ VÝZTUŽ PO PRUTECH

Výztuž	Prut č.	Místo x [m]	Zatížení	Plocha výztuže	Jednotky	Chybové hlášení Upozornění
$a_{sw,T,třmínky}$	207	3.300	KZ1	0.48	mm²/m	
Prut č. 208 - Obdélník 500/250						
$A_{s,-z\ (horní)}$	208	0.000	KZ1	125.00	mm²	13) 25)
$A_{s,+z\ (dolní)}$	208	0.000	KZ1	125.00	mm²	13) 25)
$A_{s,T}$	208	2.226	KZ1	1.86	mm²	
$a_{sw,V,třmínky}$	208	0.000	KZ1	0.00	mm²/m	58) 933)
$a_{sw,T,třmínky}$	208	2.226	KZ1	0.26	mm²/m	
Prut č. 209 - Obdélník 500/250						
$A_{s,-z\ (horní)}$	209	0.000	KZ1	125.00	mm²	13) 25)
$A_{s,+z\ (dolní)}$	209	0.000	KZ1	125.00	mm²	13) 25)
$A_{s,T}$	209	3.525	KZ1	1.28	mm²	
$a_{sw,V,třmínky}$	209	0.000	KZ1	0.00	mm²/m	58) 933)
$a_{sw,T,třmínky}$	209	3.710	KZ1	0.25	mm²/m	
Prut č. 210 - Obdélník 500/250						
$A_{s,-z\ (horní)}$	210	0.000	KZ1	125.00	mm²	13) 25)
$A_{s,+z\ (dolní)}$	210	0.000	KZ1	125.00	mm²	13) 25)
$A_{s,T}$	210	2.226	KZ1	0.86	mm²	
$a_{sw,V,třmínky}$	210	0.000	KZ1	0.00	mm²/m	58) 933)
$a_{sw,T,třmínky}$	210	0.000	KZ1	0.17	mm²/m	
Prut č. 268 - Obdélník 300/500						
$A_{s,-z\ (horní)}$	268	0.000	KZ1	150.00	mm²	13) 25)
$A_{s,+z\ (dolní)}$	268	0.000	KZ1	150.00	mm²	13) 25)
$A_{s,T}$	268	0.000	KZ1	0.00	mm²	
$a_{sw,V,třmínky}$	268	0.000	KZ1	0.00	mm²/m	58) 933)
$a_{sw,T,třmínky}$	268	0.000	KZ1	0.00	mm²/m	
Prut č. 269 - Obdélník 300/500						
$A_{s,-z\ (horní)}$	269	0.000	KZ1	150.00	mm²	13) 25)
$A_{s,+z\ (dolní)}$	269	0.000	KZ1	150.00	mm²	13) 25)
$A_{s,T}$	269	0.000	KZ1	0.00	mm²	
$a_{sw,V,třmínky}$	269	0.000	KZ1	0.00	mm²/m	58) 933)
$a_{sw,T,třmínky}$	269	0.000	KZ1	0.00	mm²/m	
Prut č. 270 - Obdélník 300/500						
$A_{s,-z\ (horní)}$	270	0.000	KZ1	150.00	mm²	13) 25)
$A_{s,+z\ (dolní)}$	270	0.000	KZ1	150.00	mm²	13) 25)
$A_{s,T}$	270	0.000	KZ1	0.00	mm²	
$a_{sw,V,třmínky}$	270	0.000	KZ1	0.00	mm²/m	58) 933)
$a_{sw,T,třmínky}$	270	0.000	KZ1	0.00	mm²/m	
Prut č. 835 - Obdélník 300/200						
$A_{s,-z\ (horní)}$	835	5.825	KZ1	74.08	mm²	
$A_{s,+z\ (dolní)}$	835	2.913	KZ1	65.71	mm²	27)
$A_{s,T}$	835	5.825	KZ1	6.38	mm²	
$a_{sw,V,třmínky}$	835	0.000	KZ1	240.00	mm²/m	58) 69)
$a_{sw,T,třmínky}$	835	5.825	KZ1	3.05	mm²/m	
Prut č. 860 - Obdélník 300/300						
$A_{s,-z\ (horní)}$	860	0.000	KZ1	90.00	mm²	13) 25)
$A_{s,+z\ (dolní)}$	860	0.000	KZ1	90.00	mm²	13) 25)
$A_{s,T}$	860	0.000	KZ1	1.00	mm²	
$a_{sw,V,třmínky}$	860	0.000	KZ1	0.00	mm²/m	58) 933)
$a_{sw,T,třmínky}$	860	0.000	KZ1	0.18	mm²/m	
Prut č. 861 - Obdélník 300/300						
$A_{s,-z\ (horní)}$	861	0.000	KZ1	90.00	mm²	13) 25)
$A_{s,+z\ (dolní)}$	861	0.000	KZ1	90.00	mm²	13) 25)
$A_{s,T}$	861	3.443	KZ1	2.90	mm²	
$a_{sw,V,třmínky}$	861	0.000	KZ1	0.00	mm²/m	58) 933)
$a_{sw,T,třmínky}$	861	0.000	KZ1	0.76	mm²/m	
Prut č. 896 - Obdélník 300/500						
$A_{s,-z\ (horní)}$	896	0.000	KZ1	150.00	mm²	13) 25)
$A_{s,+z\ (dolní)}$	896	0.000	KZ1	150.00	mm²	13) 25)
$A_{s,T}$	896	0.000	KZ1	0.00	mm²	
$a_{sw,V,třmínky}$	896	0.000	KZ1	0.00	mm²/m	58) 933)
$a_{sw,T,třmínky}$	896	0.000	KZ1	0.00	mm²/m	
Prut č. 897 - Obdélník 300/500						
$A_{s,-z\ (horní)}$	897	0.000	KZ1	150.00	mm²	13) 25)
$A_{s,+z\ (dolní)}$	897	0.000	KZ1	150.00	mm²	13) 25)
$A_{s,T}$	897	0.000	KZ1	0.00	mm²	
$a_{sw,V,třmínky}$	897	0.000	KZ1	0.00	mm²/m	58) 933)
$a_{sw,T,třmínky}$	897	0.000	KZ1	0.00	mm²/m	
Prut č. 898 - Obdélník 300/500						
$A_{s,-z\ (horní)}$	898	0.000	KZ1	150.00	mm²	13) 25)
$A_{s,+z\ (dolní)}$	898	0.000	KZ1	150.00	mm²	13) 25)
$A_{s,T}$	898	0.000	KZ1	0.00	mm²	
$a_{sw,V,třmínky}$	898	0.000	KZ1	0.00	mm²/m	58) 933)
$a_{sw,T,třmínky}$	898	0.000	KZ1	0.00	mm²/m	
Prut č. 901 - Obdélník 300/500						
$A_{s,-z\ (horní)}$	901	0.000	KZ1	150.00	mm²	13) 25)
$A_{s,+z\ (dolní)}$	901	0.000	KZ1	150.00	mm²	13) 25)
$A_{s,T}$	901	0.000	KZ1	0.00	mm²	
$a_{sw,V,třmínky}$	901	0.000	KZ1	0.00	mm²/m	58) 933)
$a_{sw,T,třmínky}$	901	0.000	KZ1	0.00	mm²/m	
Prut č. 902 - Obdélník 300/500						
$A_{s,-z\ (horní)}$	902	0.000	KZ1	150.00	mm²	13) 25)
$A_{s,+z\ (dolní)}$	902	0.000	KZ1	150.00	mm²	13) 25)
$A_{s,T}$	902	0.000	KZ1	0.00	mm²	
$a_{sw,V,třmínky}$	902	0.000	KZ1	0.00	mm²/m	58) 933)
$a_{sw,T,třmínky}$	902	0.000	KZ1	0.00	mm²/m	
Prut č. 905 - Obdélník 300/500						
$A_{s,-z\ (horní)}$	905	0.000	KZ1	150.00	mm²	13) 25)
$A_{s,+z\ (dolní)}$	905	0.000	KZ1	150.00	mm²	13) 25)
$A_{s,T}$	905	4.100	KZ1	90.82	mm²	
$a_{sw,V,třmínky}$	905	0.000	KZ1	0.00	mm²/m	58) 933)

2.3 NUTNÁ VÝZTUŽ PO PRUTECH

Výztuž	Prut č.	Místo x [m]	Zatížení	Plocha výztuže	Jednotky	Chybové hlášení Upozornění
$a_{sw,T,třmínky}$	905	4.100	KZ1	11.86	mm²/m	
Prut č. 906 - Obdélník 300/500						
$A_{s,-z\ (horní)}$	906	0.000	KZ1	150.00	mm²	13) 25)
$A_{s,+z\ (dolní)}$	906	0.000	KZ1	150.00	mm²	13) 25)
$A_{s,T}$	906	4.100	KZ1	0.72	mm²	
$a_{sw,V,třmínky}$	906	0.000	KZ1	0.00	mm²/m	58) 933)
$a_{sw,T,třmínky}$	906	4.100	KZ1	0.09	mm²/m	
Prut č. 907 - Obdélník 300/500						
$A_{s,-z\ (horní)}$	907	4.101	KZ1	436.22	mm²	28)
$A_{s,+z\ (dolní)}$	907	4.101	KZ1	1308.67	mm²	29)
$A_{s,T}$	907	3.076	KZ1	16.91	mm²	
$a_{sw,V,třmínky}$	907	4.101	KZ1	991.91	mm²/m	58)
$a_{sw,T,třmínky}$	907	4.101	KZ1	3.32	mm²/m	
Prut č. 908 - Obdélník 300/500						
$A_{s,-z\ (horní)}$	908	4.100	KZ1	858.15	mm²	28)
$A_{s,+z\ (dolní)}$	908	4.100	KZ1	858.15	mm²	29)
$A_{s,T}$	908	2.563	KZ1	44.40	mm²	
$a_{sw,V,třmínky}$	908	4.100	KZ1	927.38	mm²/m	58)
$a_{sw,T,třmínky}$	908	0.000	KZ1	8.40	mm²/m	
Prut č. 910 - Obdélník 300/500						
$A_{s,-z\ (horní)}$	910	0.000	KZ1	150.00	mm²	13) 25)
$A_{s,+z\ (dolní)}$	910	0.000	KZ1	150.00	mm²	13) 25)
$A_{s,T}$	910	2.600	KZ1	16.66	mm²	
$a_{sw,V,třmínky}$	910	0.000	KZ1	0.00	mm²/m	58) 933)
$a_{sw,T,třmínky}$	910	2.600	KZ1	2.18	mm²/m	
Prut č. 911 - Obdélník 300/500						
$A_{s,-z\ (horní)}$	911	0.000	KZ1	150.00	mm²	13) 25)
$A_{s,+z\ (dolní)}$	911	0.000	KZ1	150.00	mm²	13) 25)
$A_{s,T}$	911	0.000	KZ1	7.42	mm²	
$a_{sw,V,třmínky}$	911	0.000	KZ1	0.00	mm²/m	58) 933)
$a_{sw,T,třmínky}$	911	0.000	KZ1	0.97	mm²/m	
Prut č. 913 - Obdélník 300/500						
$A_{s,-z\ (horní)}$	913	0.000	KZ1	150.00	mm²	13) 25)
$A_{s,+z\ (dolní)}$	913	0.000	KZ1	150.00	mm²	13) 25)
$A_{s,T}$	913	4.100	KZ1	8.19	mm²	
$a_{sw,V,třmínky}$	913	0.000	KZ1	0.00	mm²/m	58) 933)
$a_{sw,T,třmínky}$	913	0.000	KZ1	1.55	mm²/m	
Prut č. 915 - Obdélník 300/500						
$A_{s,-z\ (horní)}$	915	0.000	KZ1	150.00	mm²	13) 25)
$A_{s,+z\ (dolní)}$	915	0.000	KZ1	150.00	mm²	13) 25)
$A_{s,T}$	915	0.000	KZ1	13.02	mm²	
$a_{sw,V,třmínky}$	915	0.000	KZ1	0.00	mm²/m	58) 933)
$a_{sw,T,třmínky}$	915	0.000	KZ1	1.70	mm²/m	
Prut č. 917 - Obdélník 300/500						
$A_{s,-z\ (horní)}$	917	0.000	KZ1	150.00	mm²	13) 25)
$A_{s,+z\ (dolní)}$	917	0.000	KZ1	150.00	mm²	13) 25)
$A_{s,T}$	917	3.588	KZ1	19.48	mm²	
$a_{sw,V,třmínky}$	917	0.000	KZ1	0.00	mm²/m	58) 933)
$a_{sw,T,třmínky}$	917	4.100	KZ1	3.67	mm²/m	
Prut č. 918 - Obdélník 300/500						
$A_{s,-z\ (horní)}$	918	0.000	KZ1	150.00	mm²	13) 25)
$A_{s,+z\ (dolní)}$	918	0.000	KZ1	150.00	mm²	13) 25)
$A_{s,T}$	918	2.600	KZ1	13.26	mm²	
$a_{sw,V,třmínky}$	918	0.000	KZ1	0.00	mm²/m	58) 933)
$a_{sw,T,třmínky}$	918	2.600	KZ1	1.73	mm²/m	
Prut č. 919 - Obdélník 300/500						
$A_{s,-z\ (horní)}$	919	0.000	KZ1	150.00	mm²	13) 25)
$A_{s,+z\ (dolní)}$	919	0.000	KZ1	150.00	mm²	13) 25)
$A_{s,T}$	919	0.000	KZ1	59.30	mm²	
$a_{sw,V,třmínky}$	919	0.000	KZ1	0.00	mm²/m	58) 933)
$a_{sw,T,třmínky}$	919	0.000	KZ1	7.74	mm²/m	
Prut č. 920 - Obdélník 300/500						
$A_{s,-z\ (horní)}$	920	4.154	KZ1	187.39	mm²	26)
$A_{s,+z\ (dolní)}$	920	6.000	KZ1	187.39	mm²	27)
$A_{s,T}$	920	6.000	KZ1	10.71	mm²	
$a_{sw,V,třmínky}$	920	0.462	KZ1	240.00	mm²/m	58) 69)
$a_{sw,T,třmínky}$	920	0.000	KZ1	5.04	mm²/m	
Prut č. 921 - Obdélník 300/500						
$A_{s,-z\ (horní)}$	921	1.338	KZ1	187.39	mm²	26)
$A_{s,+z\ (dolní)}$	921	0.000	KZ1	187.39	mm²	27)
$A_{s,T}$	921	0.000	KZ1	9.18	mm²	
$a_{sw,V,třmínky}$	921	0.000	KZ1	240.00	mm²/m	58) 69)
$a_{sw,T,třmínky}$	921	0.000	KZ1	2.50	mm²/m	
Prut č. 923 - Obdélník 300/500						
$A_{s,-z\ (horní)}$	923	0.000	KZ1	187.39	mm²	26)
$A_{s,+z\ (dolní)}$	923	4.196	KZ1	150.00	mm²	13) 25)
$A_{s,T}$	923	4.662	KZ1	9.17	mm²	
$a_{sw,V,třmínky}$	923	0.000	KZ1	240.00	mm²/m	58) 69)
$a_{sw,T,třmínky}$	923	4.662	KZ1	2.50	mm²/m	
Prut č. 924 - Obdélník 300/500						
$A_{s,-z\ (horní)}$	924	0.000	KZ1	150.00	mm²	25)
$A_{s,+z\ (dolní)}$	924	0.000	KZ1	150.00	mm²	25)
$A_{s,T}$	924	6.000	KZ1	6.99	mm²	
$a_{sw,V,třmínky}$	924	0.000	KZ1	240.00	mm²/m	58) 69)
$a_{sw,T,třmínky}$	924	6.000	KZ1	1.90	mm²/m	
Prut č. 925 - Obdélník 300/800						
$A_{s,-z\ (horní)}$	925	0.000	KZ1	344.74	mm²	26)
$A_{s,+z\ (dolní)}$	925	2.000	KZ1	240.00	mm²	25)
$A_{s,T}$	925	3.000	KZ1	10.69	mm²	
$a_{sw,V,třmínky}$	925	0.000	KZ1	262.91	mm²/m	58) 69)

2.3 NUTNÁ VÝZTUŽ PO PRUTECH

Výztuž	Prut č.	Místo x [m]	Zatížení	Plocha výztuže	Jednotky	Chybové hlášení Upozornění
$a_{sw,T,třmínky}$	925	3.000	KZ1	2.02	mm²/m	
Prut č. 926 - Obdélník 300/800						
$A_{s,-z\ (horní)}$	926	2.000	KZ1	344.73	mm²	26)
$A_{s,+z\ (dolní)}$	926	0.000	KZ1	240.00	mm²	25)
$A_{s,T}$	926	0.000	KZ1	10.02	mm²	
$a_{sw,V,třmínky}$	926	0.000	KZ1	262.91	mm²/m	58) 69)
$a_{sw,T,třmínky}$	926	0.000	KZ1	1.89	mm²/m	
Prut č. 927 - Obdélník 300/800						
$A_{s,-z\ (horní)}$	927	3.000	KZ1	344.73	mm²	26)
$A_{s,+z\ (dolní)}$	927	6.000	KZ1	344.73	mm²	27)
$A_{s,T}$	927	6.000	KZ1	35.59	mm²	
$a_{sw,V,třmínky}$	927	0.000	KZ1	262.91	mm²/m	58) 69)
$a_{sw,T,třmínky}$	927	4.000	KZ1	11.65	mm²/m	
Prut č. 928 - Obdélník 300/500						
$A_{s,-z\ (horní)}$	928	0.000	KZ1	150.00	mm²	13) 25)
$A_{s,+z\ (dolní)}$	928	0.000	KZ1	150.00	mm²	13) 25)
$A_{s,T}$	928	0.513	KZ1	5.01	mm²	
$a_{sw,V,třmínky}$	928	0.000	KZ1	0.00	mm²/m	58) 933)
$a_{sw,T,třmínky}$	928	0.000	KZ1	0.95	mm²/m	
Prut č. 929 - Obdélník 300/500						
$A_{s,-z\ (horní)}$	929	0.000	KZ1	150.00	mm²	13) 25)
$A_{s,+z\ (dolní)}$	929	0.000	KZ1	150.00	mm²	13) 25)
$A_{s,T}$	929	0.000	KZ1	5.01	mm²	
$a_{sw,V,třmínky}$	929	0.000	KZ1	0.00	mm²/m	58) 933)
$a_{sw,T,třmínky}$	929	2.080	KZ1	0.94	mm²/m	
Prut č. 930 - Obdélník 300/500						
$A_{s,-z\ (horní)}$	930	0.000	KZ1	150.00	mm²	13) 25)
$A_{s,+z\ (dolní)}$	930	0.000	KZ1	150.00	mm²	13) 25)
$A_{s,T}$	930	1.450	KZ1	154.83	mm²	
$a_{sw,V,třmínky}$	930	0.000	KZ1	0.00	mm²/m	58) 933)
$a_{sw,T,třmínky}$	930	0.725	KZ1	29.19	mm²/m	
Prut č. 931 - Obdélník 300/500						
$A_{s,-z\ (horní)}$	931	2.550	KZ1	187.39	mm²	26)
$A_{s,+z\ (dolní)}$	931	2.550	KZ1	187.39	mm²	27)
$A_{s,T}$	931	0.000	KZ1	34.64	mm²	
$a_{sw,V,třmínky}$	931	0.000	KZ1	240.00	mm²/m	58) 69)
$a_{sw,T,třmínky}$	931	2.550	KZ1	16.32	mm²/m	
Prut č. 932 - Obdélník 300/500						
$A_{s,-z\ (horní)}$	932	0.000	KZ1	150.00	mm²	13) 25)
$A_{s,+z\ (dolní)}$	932	0.000	KZ1	150.00	mm²	13) 25)
$A_{s,T}$	932	0.513	KZ1	39.95	mm²	
$a_{sw,V,třmínky}$	932	0.000	KZ1	0.00	mm²/m	58) 933)
$a_{sw,T,třmínky}$	932	0.000	KZ1	7.53	mm²/m	
Prut č. 933 - Obdélník 300/500						
$A_{s,-z\ (horní)}$	933	0.000	KZ1	150.00	mm²	13) 25)
$A_{s,+z\ (dolní)}$	933	0.000	KZ1	150.00	mm²	13) 25)
$A_{s,T}$	933	2.600	KZ1	110.20	mm²	
$a_{sw,V,třmínky}$	933	0.000	KZ1	0.00	mm²/m	58) 933)
$a_{sw,T,třmínky}$	933	2.600	KZ1	14.39	mm²/m	
Prut č. 934 - Obdélník 300/500						
$A_{s,-z\ (horní)}$	934	0.000	KZ1	150.00	mm²	13) 25)
$A_{s,+z\ (dolní)}$	934	0.000	KZ1	150.00	mm²	13) 25)
$A_{s,T}$	934	0.000	KZ1	1.91	mm²	
$a_{sw,V,třmínky}$	934	0.000	KZ1	0.00	mm²/m	58) 933)
$a_{sw,T,třmínky}$	934	0.000	KZ1	0.25	mm²/m	
Prut č. 935 - Obdélník 300/500						
$A_{s,-z\ (horní)}$	935	0.000	KZ1	150.00	mm²	13) 25)
$A_{s,+z\ (dolní)}$	935	0.000	KZ1	150.00	mm²	13) 25)
$A_{s,T}$	935	0.000	KZ1	0.00	mm²	
$a_{sw,V,třmínky}$	935	0.000	KZ1	0.00	mm²/m	58) 933)
$a_{sw,T,třmínky}$	935	0.000	KZ1	0.00	mm²/m	
Prut č. 936 - Obdélník 300/300						
$A_{s,-z\ (horní)}$	936	3.000	KZ1	428.23	mm²	28)
$A_{s,+z\ (dolní)}$	936	3.000	KZ1	428.23	mm²	29)
$A_{s,T}$	936	0.000	KZ1	6.67	mm²	
$a_{sw,V,třmínky}$	936	0.000	KZ1	240.00	mm²/m	58) 69)
$a_{sw,T,třmínky}$	936	3.000	KZ1	4.25	mm²/m	
Prut č. 937 - Obdélník 300/300						
$A_{s,-z\ (horní)}$	937	3.000	KZ1	427.74	mm²	28)
$A_{s,+z\ (dolní)}$	937	3.000	KZ1	427.74	mm²	29)
$A_{s,T}$	937	3.500	KZ1	8.57	mm²	
$a_{sw,V,třmínky}$	937	0.000	KZ1	240.00	mm²/m	58) 69)
$a_{sw,T,třmínky}$	937	3.000	KZ1	5.52	mm²/m	
Prut č. 938 - Obdélník 300/300						
$A_{s,-z\ (horní)}$	938	3.000	KZ1	426.99	mm²	28)
$A_{s,+z\ (dolní)}$	938	3.000	KZ1	426.99	mm²	29)
$A_{s,T}$	938	6.000	KZ1	0.74	mm²	
$a_{sw,V,třmínky}$	938	0.000	KZ1	240.00	mm²/m	58) 69)
$a_{sw,T,třmínky}$	938	3.000	KZ1	0.33	mm²/m	
Prut č. 939 - Obdélník 300/300						
$A_{s,-z\ (horní)}$	939	3.000	KZ1	426.80	mm²	28)
$A_{s,+z\ (dolní)}$	939	3.000	KZ1	426.80	mm²	29)
$A_{s,T}$	939	0.000	KZ1	2.23	mm²	
$a_{sw,V,třmínky}$	939	0.000	KZ1	240.00	mm²/m	58) 69)
$a_{sw,T,třmínky}$	939	3.000	KZ1	1.00	mm²/m	
Prut č. 940 - Obdélník 300/300						
$A_{s,-z\ (horní)}$	940	3.000	KZ1	426.83	mm²	28)
$A_{s,+z\ (dolní)}$	940	3.000	KZ1	426.83	mm²	29)
$A_{s,T}$	940	0.000	KZ1	1.09	mm²	
$a_{sw,V,třmínky}$	940	0.000	KZ1	240.00	mm²/m	58) 69)

2.3 NUTNÁ VÝZTUŽ PO PRUTECH

Výztuž	Prut č.	Místo x [m]	Zatížení	Plocha výztuže	Jednotky	Chybové hlášení Upozornění
$a_{sw,T,třmínky}$	940	3.000	KZ1	0.48	mm²/m	
Prut č. 945 - Obdélník 300/500						
$A_{s,-z\ (horní)}$	945	0.000	KZ1	150.00	mm²	13) 25)
$A_{s,+z\ (dolní)}$	945	0.000	KZ1	150.00	mm²	13) 25)
$A_{s,T}$	945	0.513	KZ1	0.85	mm²	
$a_{sw,V,třmínky}$	945	0.000	KZ1	0.00	mm²/m	58) 933)
$a_{sw,T,třmínky}$	945	0.513	KZ1	0.11	mm²/m	
Prut č. 946 - Obdélník 300/500						
$A_{s,-z\ (horní)}$	946	0.000	KZ1	150.00	mm²	13) 25)
$A_{s,+z\ (dolní)}$	946	0.000	KZ1	150.00	mm²	13) 25)
$A_{s,T}$	946	1.538	KZ1	2.88	mm²	
$a_{sw,V,třmínky}$	946	0.000	KZ1	0.00	mm²/m	58) 933)
$a_{sw,T,třmínky}$	946	1.538	KZ1	0.38	mm²/m	
Prut č. 947 - Obdélník 300/500						
$A_{s,-z\ (horní)}$	947	0.000	KZ1	150.00	mm²	13) 25)
$A_{s,+z\ (dolní)}$	947	0.000	KZ1	150.00	mm²	13) 25)
$A_{s,T}$	947	4.100	KZ1	16.37	mm²	
$a_{sw,V,třmínky}$	947	0.000	KZ1	0.00	mm²/m	58) 933)
$a_{sw,T,třmínky}$	947	0.000	KZ1	3.08	mm²/m	
Prut č. 948 - Obdélník 300/500						
$A_{s,-z\ (horní)}$	948	0.000	KZ1	150.00	mm²	13) 25)
$A_{s,+z\ (dolní)}$	948	0.000	KZ1	150.00	mm²	13) 25)
$A_{s,T}$	948	4.100	KZ1	23.12	mm²	
$a_{sw,V,třmínky}$	948	0.000	KZ1	0.00	mm²/m	58) 933)
$a_{sw,T,třmínky}$	948	0.000	KZ1	4.36	mm²/m	
Prut č. 949 - Obdélník 300/500						
$A_{s,-z\ (horní)}$	949	0.000	KZ1	150.00	mm²	13) 25)
$A_{s,+z\ (dolní)}$	949	0.000	KZ1	150.00	mm²	13) 25)
$A_{s,T}$	949	0.000	KZ1	23.12	mm²	
$a_{sw,V,třmínky}$	949	0.000	KZ1	0.00	mm²/m	58) 933)
$a_{sw,T,třmínky}$	949	0.000	KZ1	3.02	mm²/m	
Prut č. 950 - Obdélník 300/500						
$A_{s,-z\ (horní)}$	950	0.000	KZ1	150.00	mm²	13) 25)
$A_{s,+z\ (dolní)}$	950	0.000	KZ1	150.00	mm²	13) 25)
$A_{s,T}$	950	2.600	KZ1	19.36	mm²	
$a_{sw,V,třmínky}$	950	0.000	KZ1	0.00	mm²/m	58) 933)
$a_{sw,T,třmínky}$	950	2.600	KZ1	2.53	mm²/m	
Prut č. 951 - Obdélník 300/500						
$A_{s,-z\ (horní)}$	951	0.000	KZ1	150.00	mm²	13) 25)
$A_{s,+z\ (dolní)}$	951	0.000	KZ1	150.00	mm²	13) 25)
$A_{s,T}$	951	0.000	KZ1	0.00	mm²	
$a_{sw,V,třmínky}$	951	0.000	KZ1	0.00	mm²/m	58) 933)
$a_{sw,T,třmínky}$	951	0.000	KZ1	0.00	mm²/m	
Prut č. 952 - Obdélník 300/500						
$A_{s,-z\ (horní)}$	952	0.000	KZ1	150.00	mm²	13) 25)
$A_{s,+z\ (dolní)}$	952	0.000	KZ1	150.00	mm²	13) 25)
$A_{s,T}$	952	0.000	KZ1	0.00	mm²	
$a_{sw,V,třmínky}$	952	0.000	KZ1	0.00	mm²/m	58) 933)
$a_{sw,T,třmínky}$	952	0.000	KZ1	0.00	mm²/m	
Prut č. 953 - Obdélník 300/500						
$A_{s,-z\ (horní)}$	953	0.000	KZ1	10.52	mm²	
$A_{s,+z\ (dolní)}$	953	3.000	KZ1	520.88	mm²	
$A_{s,T}$	953	3.500	KZ1	5.17	mm²	
$a_{sw,V,třmínky}$	953	0.000	KZ1	240.00	mm²/m	58) 69)
$a_{sw,T,třmínky}$	953	3.000	KZ1	2.44	mm²/m	
Prut č. 954 - Obdélník 300/500						
$A_{s,-z\ (horní)}$	954	0.000	KZ1	150.00	mm²	13) 25)
$A_{s,+z\ (dolní)}$	954	1.188	KZ1	187.39	mm²	27)
$A_{s,T}$	954	0.000	KZ1	21.44	mm²	
$a_{sw,V,třmínky}$	954	0.000	KZ1	240.00	mm²/m	58) 69)
$a_{sw,T,třmínky}$	954	1.188	KZ1	6.97	mm²/m	
Prut č. 955 - Obdélník 300/500						
$A_{s,-z\ (horní)}$	955	4.100	KZ1	731.13	mm²	25) 28)
$A_{s,+z\ (dolní)}$	955	4.100	KZ1	1462.27	mm²	25) 29)
$A_{s,T}$	955	1.025	KZ1	23.96	mm²	
$a_{sw,V,třmínky}$	955	0.000	KZ1	0.00	mm²/m	58) 933)
$a_{sw,T,třmínky}$	955	1.025	KZ1	6.52	mm²/m	
Prut č. 956 - Obdélník 300/500						
$A_{s,-z\ (horní)}$	956	0.000	KZ1	150.00	mm²	13) 25)
$A_{s,+z\ (dolní)}$	956	0.000	KZ1	150.00	mm²	13) 25)
$A_{s,T}$	956	4.100	KZ1	26.48	mm²	
$a_{sw,V,třmínky}$	956	0.000	KZ1	0.00	mm²/m	58) 933)
$a_{sw,T,třmínky}$	956	0.000	KZ1	4.98	mm²/m	
Prut č. 957 - Obdélník 300/500						
$A_{s,-z\ (horní)}$	957	0.000	KZ1	154.54	mm²	
$A_{s,+z\ (dolní)}$	957	0.000	KZ1	160.65	mm²	
$A_{s,T}$	957	0.520	KZ1	39.39	mm²	
$a_{sw,V,třmínky}$	957	0.000	KZ1	0.00	mm²/m	58) 933)
$a_{sw,T,třmínky}$	957	0.520	KZ1	10.72	mm²/m	
Prut č. 958 - Obdélník 300/500						
$A_{s,-z\ (horní)}$	958	0.000	KZ1	150.00	mm²	13) 25)
$A_{s,+z\ (dolní)}$	958	0.000	KZ1	150.00	mm²	13) 25)
$A_{s,T}$	958	0.000	KZ1	26.48	mm²	
$a_{sw,V,třmínky}$	958	0.000	KZ1	0.00	mm²/m	58) 933)
$a_{sw,T,třmínky}$	958	0.000	KZ1	3.46	mm²/m	
Prut č. 959 - Obdélník 300/500						
$A_{s,-z\ (horní)}$	959	0.000	KZ1	150.00	mm²	25)
$A_{s,+z\ (dolní)}$	959	0.000	KZ1	150.00	mm²	25)
$A_{s,T}$	959	1.450	KZ1	6.53	mm²	
$a_{sw,V,třmínky}$	959	0.000	KZ1	0.00	mm²/m	58) 933)

2.3 NUTNÁ VÝZTUŽ PO PRUTECH

Výztuž	Prut č.	Místo x [m]	Zatížení	Plocha výztuže	Jednotky	Chybové hlášení Upozornění
$a_{sw,T,třmínky}$	959	1.378	KZ1	1.23	mm²/m	
Prut č. 960 - Obdélník 300/500						
$A_{s,-z\ (horní)}$	960	0.000	KZ1	150.00	mm²	13) 25)
$A_{s,+z\ (dolní)}$	960	0.000	KZ1	150.00	mm²	13) 25)
$A_{s,T}$	960	0.000	KZ1	0.00	mm²	
$a_{sw,V,třmínky}$	960	0.000	KZ1	0.00	mm²/m	58) 933)
$a_{sw,T,třmínky}$	960	0.000	KZ1	0.00	mm²/m	
Prut č. 962 - Obdélník 300/300						
$A_{s,-z\ (horní)}$	962	3.000	KZ1	428.79	mm²	28)
$A_{s,+z\ (dolní)}$	962	3.000	KZ1	428.79	mm²	29)
$A_{s,T}$	962	6.000	KZ1	5.77	mm²	
$a_{sw,V,třmínky}$	962	0.000	KZ1	240.00	mm²/m	58) 69)
$a_{sw,T,třmínky}$	962	3.000	KZ1	3.70	mm²/m	
Prut č. 963 - Obdélník 300/500						
$A_{s,-z\ (horní)}$	963	0.000	KZ1	150.00	mm²	13) 25)
$A_{s,+z\ (dolní)}$	963	0.000	KZ1	150.00	mm²	13) 25)
$A_{s,T}$	963	1.450	KZ1	0.30	mm²	
$a_{sw,V,třmínky}$	963	0.000	KZ1	0.00	mm²/m	58) 933)
$a_{sw,T,třmínky}$	963	1.305	KZ1	0.06	mm²/m	
Prut č. 964 - Obdélník 300/500						
$A_{s,-z\ (horní)}$	964	0.000	KZ1	150.00	mm²	13) 25)
$A_{s,+z\ (dolní)}$	964	0.000	KZ1	150.00	mm²	13) 25)
$A_{s,T}$	964	0.000	KZ1	0.00	mm²	
$a_{sw,V,třmínky}$	964	0.000	KZ1	0.00	mm²/m	58) 933)
$a_{sw,T,třmínky}$	964	0.000	KZ1	0.00	mm²/m	
Prut č. 966 - Obdélník 300/500						
$A_{s,-z\ (horní)}$	966	0.000	KZ1	150.00	mm²	13) 25)
$A_{s,+z\ (dolní)}$	966	0.000	KZ1	150.00	mm²	13) 25)
$A_{s,T}$	966	0.000	KZ1	0.00	mm²	
$a_{sw,V,třmínky}$	966	0.000	KZ1	0.00	mm²/m	58) 933)
$a_{sw,T,třmínky}$	966	0.000	KZ1	0.00	mm²/m	
Prut č. 967 - Obdélník 300/500						
$A_{s,-z\ (horní)}$	967	0.000	KZ1	150.00	mm²	13) 25)
$A_{s,+z\ (dolní)}$	967	0.000	KZ1	150.00	mm²	13) 25)
$A_{s,T}$	967	1.025	KZ1	31.76	mm²	
$a_{sw,V,třmínky}$	967	0.000	KZ1	0.00	mm²/m	58) 933)
$a_{sw,T,třmínky}$	967	3.588	KZ1	5.99	mm²/m	
Prut č. 968 - Obdélník 300/500						
$A_{s,-z\ (horní)}$	968	0.000	KZ1	150.00	mm²	13) 25)
$A_{s,+z\ (dolní)}$	968	0.000	KZ1	150.00	mm²	13) 25)
$A_{s,T}$	968	1.538	KZ1	6.42	mm²	
$a_{sw,V,třmínky}$	968	0.000	KZ1	0.00	mm²/m	58) 933)
$a_{sw,T,třmínky}$	968	0.513	KZ1	1.21	mm²/m	
Prut č. 969 - Obdélník 300/500						
$A_{s,-z\ (horní)}$	969	0.000	KZ1	150.00	mm²	25)
$A_{s,+z\ (dolní)}$	969	0.000	KZ1	150.00	mm²	25)
$A_{s,T}$	969	0.000	KZ1	22.33	mm²	
$a_{sw,V,třmínky}$	969	0.000	KZ1	0.00	mm²/m	58) 933)
$a_{sw,T,třmínky}$	969	0.000	KZ1	2.92	mm²/m	
Prut č. 970 - Obdélník 300/500						
$A_{s,-z\ (horní)}$	970	0.000	KZ1	150.00	mm²	13) 25)
$A_{s,+z\ (dolní)}$	970	0.000	KZ1	150.00	mm²	13) 25)
$A_{s,T}$	970	0.390	KZ1	46.77	mm²	
$a_{sw,V,třmínky}$	970	0.000	KZ1	0.00	mm²/m	58) 933)
$a_{sw,T,třmínky}$	970	0.390	KZ1	6.11	mm²/m	
Prut č. 971 - Obdélník 300/500						
$A_{s,-z\ (horní)}$	971	0.000	KZ1	150.00	mm²	25)
$A_{s,+z\ (dolní)}$	971	0.000	KZ1	150.00	mm²	25)
$A_{s,T}$	971	1.040	KZ1	2.48	mm²	
$a_{sw,V,třmínky}$	971	0.000	KZ1	0.00	mm²/m	58) 933)
$a_{sw,T,třmínky}$	971	1.040	KZ1	0.67	mm²/m	
Prut č. 972 - Obdélník 300/500						
$A_{s,-z\ (horní)}$	972	0.000	KZ1	150.00	mm²	25)
$A_{s,+z\ (dolní)}$	972	0.000	KZ1	150.00	mm²	25)
$A_{s,T}$	972	2.563	KZ1	54.72	mm²	
$a_{sw,V,třmínky}$	972	0.000	KZ1	0.00	mm²/m	58) 933)
$a_{sw,T,třmínky}$	972	0.000	KZ1	10.32	mm²/m	
Prut č. 982 - Obdélník 300/300						
$A_{s,-z\ (horní)}$	982	4.310	KZ1	106.27	mm²	26)
$A_{s,+z\ (dolní)}$	982	2.155	KZ1	142.62	mm²	
$A_{s,T}$	982	0.000	KZ1	42.30	mm²	
$a_{sw,V,třmínky}$	982	0.000	KZ1	240.00	mm²/m	58) 69)
$a_{sw,T,třmínky}$	982	2.155	KZ1	27.23	mm²/m	
Prut č. 983 - Obdélník 300/300						
$A_{s,-z\ (horní)}$	983	0.000	KZ1	90.00	mm²	25)
$A_{s,+z\ (dolní)}$	983	2.320	KZ1	162.86	mm²	
$A_{s,T}$	983	4.640	KZ1	9.98	mm²	
$a_{sw,V,třmínky}$	983	0.000	KZ1	240.00	mm²/m	58) 69)
$a_{sw,T,třmínky}$	983	2.320	KZ1	6.40	mm²/m	
Prut č. 984 - Obdélník 300/300						
$A_{s,-z\ (horní)}$	984	0.000	KZ1	90.00	mm²	13) 25)
$A_{s,+z\ (dolní)}$	984	0.000	KZ1	90.00	mm²	13) 25)
$A_{s,T}$	984	1.150	KZ1	31.45	mm²	
$a_{sw,V,třmínky}$	984	0.000	KZ1	0.00	mm²/m	58) 933)
$a_{sw,T,třmínky}$	984	2.300	KZ1	8.10	mm²/m	
Prut č. 985 - Obdélník 300/300						
$A_{s,-z\ (horní)}$	985	0.000	KZ1	90.00	mm²	13) 25)
$A_{s,+z\ (dolní)}$	985	0.000	KZ1	90.00	mm²	13) 25)
$A_{s,T}$	985	0.410	KZ1	9.69	mm²	
$a_{sw,V,třmínky}$	985	0.000	KZ1	0.00	mm²/m	58) 933)

2.3 NUTNÁ VÝZTUŽ PO PRUTECH

Výztuž	Prut č.	Místo x [m]	Zatížení	Plocha výztuže	Jednotky	Chybové hlášení Upozornění
$a_{sw,T,třmínky}$	985	0.000	KZ1	2.50	mm²/m	
Prut č. 986 - Obdélník 300/300						
$A_{s,-z\ (horní)}$	986	0.000	KZ1	156.71	mm²	
$A_{s,+z\ (dolní)}$	986	0.000	KZ1	150.85	mm²	
$A_{s,T}$	986	0.000	KZ1	4.37	mm²	
$a_{sw,V,třmínky}$	986	0.000	KZ1	240.00	mm²/m	58) 69)
$a_{sw,T,třmínky}$	986	0.000	KZ1	1.63	mm²/m	
Prut č. 987 - Obdélník 300/300						
$A_{s,-z\ (horní)}$	987	0.000	KZ1	90.00	mm²	13) 25)
$A_{s,+z\ (dolní)}$	987	0.000	KZ1	90.00	mm²	13) 25)
$A_{s,T}$	987	3.240	KZ1	1.30	mm²	
$a_{sw,V,třmínky}$	987	0.000	KZ1	0.00	mm²/m	58) 933)
$a_{sw,T,třmínky}$	987	0.000	KZ1	0.35	mm²/m	
Prut č. 988 - Obdélník 300/300						
$A_{s,-z\ (horní)}$	988	0.513	KZ1	90.00	mm²	13) 25)
$A_{s,+z\ (dolní)}$	988	0.513	KZ1	90.00	mm²	13) 25)
$A_{s,T}$	988	4.100	KZ1	22.56	mm²	
$a_{sw,V,třmínky}$	988	0.000	KZ1	240.00	mm²/m	58) 69)
$a_{sw,T,třmínky}$	988	0.513	KZ1	5.81	mm²/m	
Prut č. 991 - Obdélník 300/745						
$A_{s,-z\ (horní)}$	991	1.350	KZ1	319.87	mm²	26)
$A_{s,+z\ (dolní)}$	991	0.000	KZ1	0.00	mm²	
$A_{s,T}$	991	0.000	KZ1	276.70	mm²	
$a_{sw,V,třmínky}$	991	0.000	KZ1	262.91	mm²/m	58) 69)
$a_{sw,T,třmínky}$	991	0.000	KZ1	55.49	mm²/m	
Prut č. 992 - Obdélník 300/745						
$A_{s,-z\ (horní)}$	992	0.000	KZ1	406.90	mm²	
$A_{s,+z\ (dolní)}$	992	1.900	KZ1	0.85	mm²	
$A_{s,T}$	992	2.375	KZ1	63.91	mm²	
$a_{sw,V,třmínky}$	992	0.000	KZ1	262.91	mm²/m	58) 69)
$a_{sw,T,třmínky}$	992	2.375	KZ1	12.82	mm²/m	
Prut č. 993 - Obdélník 300/745						
$A_{s,-z\ (horní)}$	993	0.000	KZ1	319.85	mm²	26)
$A_{s,+z\ (dolní)}$	993	1.080	KZ1	319.85	mm²	27)
$A_{s,T}$	993	0.360	KZ1	276.71	mm²	
$a_{sw,V,třmínky}$	993	0.000	KZ1	262.91	mm²/m	58) 69)
$a_{sw,T,třmínky}$	993	0.360	KZ1	55.49	mm²/m	
Prut č. 994 - Obdélník 300/300						
$A_{s,-z\ (horní)}$	994	0.000	KZ1	113.97	mm²	
$A_{s,+z\ (dolní)}$	994	2.790	KZ1	106.28	mm²	27)
$A_{s,T}$	994	1.116	KZ1	130.63	mm²	
$a_{sw,V,třmínky}$	994	0.000	KZ1	240.00	mm²/m	58) 69)
$a_{sw,T,třmínky}$	994	1.116	KZ1	48.60	mm²/m	
Prut č. 996 - Obdélník 300/300						
$A_{s,-z\ (horní)}$	996	1.100	KZ1	106.27	mm²	26)
$A_{s,+z\ (dolní)}$	996	0.000	KZ1	0.00	mm²	
$A_{s,T}$	996	0.000	KZ1	0.00	mm²	
$a_{sw,V,třmínky}$	996	0.055	KZ1	240.00	mm²/m	58) 69)
$a_{sw,T,třmínky}$	996	0.000	KZ1	0.00	mm²/m	
Prut č. 997 - Obdélník 300/300						
$A_{s,-z\ (horní)}$	997	1.100	KZ1	106.27	mm²	26)
$A_{s,+z\ (dolní)}$	997	0.000	KZ1	0.00	mm²	
$A_{s,T}$	997	0.000	KZ1	0.00	mm²	
$a_{sw,V,třmínky}$	997	0.000	KZ1	240.00	mm²/m	58) 69)
$a_{sw,T,třmínky}$	997	0.000	KZ1	0.00	mm²/m	
Prut č. 998 - Obdélník 300/300						
$A_{s,-z\ (horní)}$	998	0.000	KZ1	106.27	mm²	26)
$A_{s,+z\ (dolní)}$	998	0.000	KZ1	0.00	mm²	
$A_{s,T}$	998	0.000	KZ1	0.00	mm²	
$a_{sw,V,třmínky}$	998	0.000	KZ1	240.00	mm²/m	58) 69)
$a_{sw,T,třmínky}$	998	0.000	KZ1	0.00	mm²/m	
Prut č. 999 - Obdélník 300/300						
$A_{s,-z\ (horní)}$	999	0.000	KZ1	106.27	mm²	26)
$A_{s,+z\ (dolní)}$	999	2.375	KZ1	106.27	mm²	27)
$A_{s,T}$	999	1.425	KZ1	24.18	mm²	
$a_{sw,V,třmínky}$	999	0.000	KZ1	240.00	mm²/m	58) 69)
$a_{sw,T,třmínky}$	999	1.425	KZ1	9.00	mm²/m	
Prut č. 1000 - Obdélník 300/300						
$A_{s,-z\ (horní)}$	1000	0.000	KZ1	90.00	mm²	13) 25)
$A_{s,+z\ (dolní)}$	1000	2.155	KZ1	137.74	mm²	
$A_{s,T}$	1000	0.000	KZ1	45.87	mm²	
$a_{sw,V,třmínky}$	1000	0.000	KZ1	240.00	mm²/m	58) 69)
$a_{sw,T,třmínky}$	1000	2.155	KZ1	20.54	mm²/m	
Prut č. 1001 - Obdélník 300/300						
$A_{s,-z\ (horní)}$	1001	0.000	KZ1	90.00	mm²	13) 25)
$A_{s,+z\ (dolní)}$	1001	2.320	KZ1	153.58	mm²	
$A_{s,T}$	1001	0.000	KZ1	5.35	mm²	
$a_{sw,V,třmínky}$	1001	0.000	KZ1	240.00	mm²/m	58) 69)
$a_{sw,T,třmínky}$	1001	2.320	KZ1	2.35	mm²/m	
Prut č. 1002 - Obdélník 300/300						
$A_{s,-z\ (horní)}$	1002	3.000	KZ1	427.07	mm²	28)
$A_{s,+z\ (dolní)}$	1002	3.000	KZ1	427.07	mm²	29)
$A_{s,T}$	1002	0.000	KZ1	6.99	mm²	
$a_{sw,V,třmínky}$	1002	0.000	KZ1	240.00	mm²/m	58) 69)
$a_{sw,T,třmínky}$	1002	3.000	KZ1	3.11	mm²/m	
Prut č. 1003 - Obdélník 300/300						
$A_{s,-z\ (horní)}$	1003	3.000	KZ1	425.85	mm²	28)
$A_{s,+z\ (dolní)}$	1003	3.000	KZ1	425.85	mm²	29)
$A_{s,T}$	1003	0.000	KZ1	23.85	mm²	
$a_{sw,V,třmínky}$	1003	0.000	KZ1	240.00	mm²/m	58) 69)

2.3 NUTNÁ VÝZTUŽ PO PRUTECH

Výztuž	Prut č.	Místo x [m]	Zatížení	Plocha výztuže	Jednotky	Chybové hlášení Upozornění
$a_{sw,T,třmínky}$	1003	3.000	KZ1	10.68	mm²/m	
Prut č. 1004 - Obdélník 300/800						
$A_{s,-z\ (horní)}$	1004	1.010	KZ1	344.74	mm²	26)
$A_{s,+z\ (dolní)}$	1004	0.000	KZ1	344.73	mm²	27)
$A_{s,T}$	1004	1.515	KZ1	1.63	mm²	
$a_{sw,V,třmínky}$	1004	2.525	KZ1	306.79	mm²/m	58)
$a_{sw,T,třmínky}$	1004	0.000	KZ1	0.53	mm²/m	
Prut č. 1005 - Obdélník 300/800						
$A_{s,-z\ (horní)}$	1005	3.475	KZ1	344.74	mm²	26)
$A_{s,+z\ (dolní)}$	1005	3.041	KZ1	344.73	mm²	27)
$A_{s,T}$	1005	0.000	KZ1	1.63	mm²	
$a_{sw,V,třmínky}$	1005	0.000	KZ1	262.91	mm²/m	58) 69)
$a_{sw,T,třmínky}$	1005	3.475	KZ1	0.53	mm²/m	
Prut č. 1009 - Obdélník 300/500						
$A_{s,-z\ (horní)}$	1009	0.000	KZ1	150.00	mm²	13) 25)
$A_{s,+z\ (dolní)}$	1009	0.000	KZ1	150.00	mm²	13) 25)
$A_{s,T}$	1009	0.523	KZ1	8.21	mm²	
$a_{sw,V,třmínky}$	1009	1.570	KZ1	249.69	mm²/m	58)
$a_{sw,T,třmínky}$	1009	0.523	KZ1	2.23	mm²/m	
Prut č. 1010 - Obdélník 300/500						
$A_{s,-z\ (horní)}$	1010	0.000	KZ1	187.40	mm²	26)
$A_{s,+z\ (dolní)}$	1010	2.192	KZ1	150.00	mm²	25)
$A_{s,T}$	1010	0.000	KZ1	8.24	mm²	
$a_{sw,V,třmínky}$	1010	0.000	KZ1	240.00	mm²/m	58) 69)
$a_{sw,T,třmínky}$	1010	0.000	KZ1	2.24	mm²/m	
Prut č. 1011 - Obdélník 300/500						
$A_{s,-z\ (horní)}$	1011	0.000	KZ1	187.39	mm²	26)
$A_{s,+z\ (dolní)}$	1011	2.550	KZ1	187.39	mm²	27)
$A_{s,T}$	1011	1.275	KZ1	243.37	mm²	
$a_{sw,V,třmínky}$	1011	0.000	KZ1	240.00	mm²/m	58) 69)
$a_{sw,T,třmínky}$	1011	1.275	KZ1	66.22	mm²/m	
Prut č. 1012 - Obdélník 300/500						
$A_{s,-z\ (horní)}$	1012	2.550	KZ1	187.39	mm²	26)
$A_{s,+z\ (dolní)}$	1012	1.275	KZ1	187.39	mm²	27)
$A_{s,T}$	1012	0.000	KZ1	214.17	mm²	
$a_{sw,V,třmínky}$	1012	0.000	KZ1	240.00	mm²/m	58) 69)
$a_{sw,T,třmínky}$	1012	0.000	KZ1	58.28	mm²/m	
Prut č. 1015 - Obdélník 300/300						
$A_{s,-z\ (horní)}$	1015	0.000	KZ1	90.00	mm²	13) 25)
$A_{s,+z\ (dolní)}$	1015	0.000	KZ1	90.00	mm²	13) 25)
$A_{s,T}$	1015	4.050	KZ1	2.24	mm²	
$a_{sw,V,třmínky}$	1015	0.000	KZ1	0.00	mm²/m	58) 933)
$a_{sw,T,třmínky}$	1015	4.050	KZ1	0.40	mm²/m	
Prut č. 1016 - Obdélník 300/300						
$A_{s,-z\ (horní)}$	1016	0.000	KZ1	90.00	mm²	13) 25)
$A_{s,+z\ (dolní)}$	1016	0.000	KZ1	90.00	mm²	13) 25)
$A_{s,T}$	1016	4.050	KZ1	10.97	mm²	
$a_{sw,V,třmínky}$	1016	0.000	KZ1	0.00	mm²/m	58) 933)
$a_{sw,T,třmínky}$	1016	4.050	KZ1	1.96	mm²/m	
Prut č. 1017 - Obdélník 300/300						
$A_{s,-z\ (horní)}$	1017	0.000	KZ1	90.00	mm²	13) 25)
$A_{s,+z\ (dolní)}$	1017	0.000	KZ1	90.00	mm²	13) 25)
$A_{s,T}$	1017	0.513	KZ1	2.30	mm²	
$a_{sw,V,třmínky}$	1017	0.000	KZ1	0.00	mm²/m	58) 933)
$a_{sw,T,třmínky}$	1017	0.128	KZ1	0.59	mm²/m	
Prut č. 1018 - Obdélník 300/300						
$A_{s,-z\ (horní)}$	1018	0.000	KZ1	90.00	mm²	13) 25)
$A_{s,+z\ (dolní)}$	1018	0.000	KZ1	90.00	mm²	13) 25)
$A_{s,T}$	1018	0.513	KZ1	1.44	mm²	
$a_{sw,V,třmínky}$	1018	0.000	KZ1	0.00	mm²/m	58) 933)
$a_{sw,T,třmínky}$	1018	4.100	KZ1	0.38	mm²/m	
Prut č. 1019 - Obdélník 300/300						
$A_{s,-z\ (horní)}$	1019	0.000	KZ1	90.00	mm²	13) 25)
$A_{s,+z\ (dolní)}$	1019	0.000	KZ1	90.00	mm²	13) 25)
$A_{s,T}$	1019	0.000	KZ1	0.00	mm²	
$a_{sw,V,třmínky}$	1019	0.000	KZ1	0.00	mm²/m	58) 933)
$a_{sw,T,třmínky}$	1019	0.000	KZ1	0.00	mm²/m	
Prut č. 1020 - Obdélník 300/300						
$A_{s,-z\ (horní)}$	1020	0.000	KZ1	90.00	mm²	13) 25)
$A_{s,+z\ (dolní)}$	1020	0.000	KZ1	90.00	mm²	13) 25)
$A_{s,T}$	1020	0.000	KZ1	0.00	mm²	
$a_{sw,V,třmínky}$	1020	0.000	KZ1	0.00	mm²/m	58) 933)
$a_{sw,T,třmínky}$	1020	0.000	KZ1	0.00	mm²/m	
Prut č. 1022 - Obdélník 300/300						
$A_{s,-z\ (horní)}$	1022	0.000	KZ1	423.29	mm²	28)
$A_{s,+z\ (dolní)}$	1022	0.000	KZ1	634.93	mm²	29)
$A_{s,T}$	1022	0.000	KZ1	0.19	mm²	
$a_{sw,V,třmínky}$	1022	0.000	KZ1	770.60	mm²/m	58)
$a_{sw,T,třmínky}$	1022	0.000	KZ1	0.07	mm²/m	
Prut č. 1023 - Obdélník 300/300						
$A_{s,-z\ (horní)}$	1023	0.000	KZ1	634.93	mm²	28)
$A_{s,+z\ (dolní)}$	1023	0.000	KZ1	423.29	mm²	29)
$A_{s,T}$	1023	0.000	KZ1	0.17	mm²	
$a_{sw,V,třmínky}$	1023	0.000	KZ1	850.36	mm²/m	58)
$a_{sw,T,třmínky}$	1023	0.000	KZ1	0.06	mm²/m	
Prut č. 1024 - Obdélník 300/300						
$A_{s,-z\ (horní)}$	1024	0.000	KZ1	90.00	mm²	13) 25)
$A_{s,+z\ (dolní)}$	1024	0.000	KZ1	90.00	mm²	13) 25)
$A_{s,T}$	1024	3.588	KZ1	0.33	mm²	
$a_{sw,V,třmínky}$	1024	0.000	KZ1	0.00	mm²/m	58) 933)

2.3 NUTNÁ VÝZTUŽ PO PRUTECH

Výztuž	Prut č.	Místo x [m]	Zatížení	Plocha výztuže	Jednotky	Chybové hlášení Upozornění
$a_{sw,T,třmínky}$	1024	4.100	KZ1	0.08	mm²/m	
Prut č. 1025 - Obdélník 300/300						
$A_{s,-z\ (horní)}$	1025	2.600	KZ1	106.27	mm²	26)
$A_{s,+z\ (dolní)}$	1025	0.000	KZ1	90.00	mm²	13) 25)
$A_{s,T}$	1025	0.000	KZ1	0.00	mm²	
$a_{sw,V,třmínky}$	1025	2.600	KZ1	240.00	mm²/m	58) 69)
$a_{sw,T,třmínky}$	1025	0.000	KZ1	0.00	mm²/m	
Prut č. 1026 - Obdélník 300/300						
$A_{s,-z\ (horní)}$	1026	0.000	KZ1	128.25	mm²	
$A_{s,+z\ (dolní)}$	1026	0.456	KZ1	55.59	mm²	
$A_{s,T}$	1026	0.000	KZ1	0.00	mm²	
$a_{sw,V,třmínky}$	1026	0.000	KZ1	240.00	mm²/m	58) 69)
$a_{sw,T,třmínky}$	1026	0.000	KZ1	0.00	mm²/m	
Prut č. 1027 - Obdélník 300/300						
$A_{s,-z\ (horní)}$	1027	0.000	KZ1	106.27	mm²	26)
$A_{s,+z\ (dolní)}$	1027	0.520	KZ1	106.27	mm²	27)
$A_{s,T}$	1027	0.000	KZ1	0.00	mm²	
$a_{sw,V,třmínky}$	1027	0.000	KZ1	240.00	mm²/m	58) 69)
$a_{sw,T,třmínky}$	1027	0.000	KZ1	0.00	mm²/m	
Prut č. 1028 - Obdélník 300/300						
$A_{s,-z\ (horní)}$	1028	0.000	KZ1	90.00	mm²	13) 25)
$A_{s,+z\ (dolní)}$	1028	0.000	KZ1	90.00	mm²	13) 25)
$A_{s,T}$	1028	2.080	KZ1	11.67	mm²	
$a_{sw,V,třmínky}$	1028	0.000	KZ1	0.00	mm²/m	58) 933)
$a_{sw,T,třmínky}$	1028	0.000	KZ1	3.01	mm²/m	
Prut č. 1029 - Obdélník 300/745						
$A_{s,-z\ (horní)}$	1029	0.000	KZ1	223.50	mm²	25)
$A_{s,+z\ (dolní)}$	1029	0.000	KZ1	223.50	mm²	25)
$A_{s,T}$	1029	0.000	KZ1	8.56	mm²	
$a_{sw,V,třmínky}$	1029	0.000	KZ1	262.91	mm²/m	58) 69)
$a_{sw,T,třmínky}$	1029	0.000	KZ1	1.72	mm²/m	
Prut č. 1030 - Obdélník 300/745						
$A_{s,-z\ (horní)}$	1030	0.000	KZ1	223.50	mm²	25)
$A_{s,+z\ (dolní)}$	1030	0.000	KZ1	223.50	mm²	25)
$A_{s,T}$	1030	4.562	KZ1	4.22	mm²	
$a_{sw,V,třmínky}$	1030	0.000	KZ1	262.91	mm²/m	58) 69)
$a_{sw,T,třmínky}$	1030	4.562	KZ1	0.85	mm²/m	

3.2 NAVRŽENÁ TŘMÍNKOVÁ VÝZTUŽ

Položka č.	Počet třmínků	d_s [mm]	Délka [m]	Místo x [m] z	Místo x [m] do	Vzdálenost s_{li} [m]	Rozměry třmínků [mm]	Počet střihů	Hmotnost [kg]	Poznámka
Prut č. 1 - Obdélník 300/745										
1	26	10.0	6.300	0.000	6.300	0.252	705.0/260.0/108.9	2	34.43	115)
Prut č. 2 - Obdélník 300/745										
2	15	10.0	3.450	0.000	3.450	0.246	705.0/260.0/108.9	2	19.86	115)
Prut č. 3 - Obdélník 300/745										
3	24	10.0	5.775	0.000	5.775	0.251	705.0/260.0/108.9	2	31.78	115)
Prut č. 4 - Obdélník 300/800										
4	8	10.0	1.700	0.000	1.700	0.243	760.0/260.0/108.9	2	11.14	115)
Prut č. 5 - Obdélník 300/200										
5	11	10.0	2.000	0.000	2.000	0.200	160.0/260.0/108.9	2	7.17	113) 155)
Prut č. 6 - Obdélník 300/800										
6	5	10.0	0.750	0.000	0.750	0.188	760.0/260.0/108.9	2	6.96	113)
Prut č. 7 - Obdélník 300/500										
7	30	10.0	5.775	0.000	5.775	0.199	460.0/260.0/108.9	2	30.66	115)
Prut č. 8 - Obdélník 300/500										
8	31	10.0	6.000	0.000	6.000	0.200	460.0/260.0/108.9	2	31.69	115)
Prut č. 9 - Obdélník 300/500										
9	31	10.0	6.000	0.000	6.000	0.200	460.0/260.0/108.9	2	31.69	115)
Prut č. 10 - Obdélník 300/500										
10	15	10.0	2.650	0.000	2.650	0.189	460.0/260.0/108.9	2	15.33	115)
Prut č. 11 - Obdélník 300/500										
11	19	10.0	3.450	0.000	3.450	0.192	460.0/260.0/108.9	2	19.42	115)
Prut č. 12 - Obdélník 300/800										
12	9	10.0	2.150	0.000	2.150	0.269	760.0/260.0/108.9	2	12.53	115)
Prut č. 13 - Obdélník 300/800										
13	2	10.0	0.100	0.000	0.100	0.100	760.0/260.0/108.9	2	2.78	113)
Prut č. 14 - Obdélník 300/800										
14	2	10.0	0.100	0.000	0.100	0.100	760.0/260.0/108.9	2	2.78	113)
Prut č. 15 - Obdélník 300/800										
15	17	10.0	4.200	0.000	4.200	0.263	760.0/260.0/108.9	2	23.66	115)
Prut č. 16 - Obdélník 300/500										
16	33	10.0	6.300	0.000	6.300	0.197	460.0/260.0/108.9	2	33.73	115)
Prut č. 17 - Obdélník 300/300										
17	9	10.0	1.800	0.000	1.800	0.225	260.0/260.0/108.9	2	6.98	113) 155)
Prut č. 18 - Obdélník 300/500										
18	14	10.0	2.550	0.000	2.550	0.196	460.0/260.0/108.9	2	14.31	115)
Prut č. 19 - Obdélník 300/300										
19	8	10.0	1.450	0.000	1.450	0.207	260.0/260.0/108.9	2	6.20	113) 155)
Prut č. 32 - Obdélník 300/800										
20	26	10.0	6.000	0.000	6.000	0.240	760.0/260.0/108.9	2	36.19	113)
Prut č. 33 - Obdélník 300/800										
21	12	10.0	3.000	0.000	3.000	0.273	760.0/260.0/108.9	2	16.70	115)
Prut č. 60 - Obdélník 300/500										
22	12	10.0	2.600	0.000	2.600	0.236	460.0/260.0/108.9	2	12.27	113)
Prut č. 61 - Obdélník 300/500										
23	12	10.0	2.600	0.000	2.600	0.236	460.0/260.0/108.9	2	12.27	113)
Prut č. 62 - Obdélník 300/500										
24	12	10.0	2.600	0.000	2.600	0.236	460.0/260.0/108.9	2	12.27	113)
Prut č. 63 - Obdélník 300/300										
25	19	10.0	4.100	0.000	4.100	0.228	260.0/260.0/108.9	2	14.73	113) 155)

3.2 NAVRŽENÁ TŘMÍNKOVÁ VÝZTUŽ

Položka č.	Počet třmínků	d_s [mm]	Délka [m]	Místo x [m] z	Místo x [m] do	Vzdálenost s_{ll} [m]	Rozměry třmínků [mm]	Počet střihů	Hmotnost [kg]	Poznámka
Prut č. 64 - Obdélník 300/300										
26	19	10.0	4.100	0.000	4.100	0.228	260.0/260.0/108.9	2	14.73	113) 155)
Prut č. 68 - Obdélník 300/500										
27	19	10.0	4.100	0.000	4.100	0.228	460.0/260.0/108.9	2	19.42	113)
Prut č. 70 - Obdélník 300/500										
28	19	10.0	4.100	0.000	4.100	0.228	460.0/260.0/108.9	2	19.42	113)
Prut č. 75 - Obdélník 300/500										
29	12	10.0	2.600	0.000	2.600	0.236	460.0/260.0/108.9	2	12.27	113)
Prut č. 76 - Obdélník 300/500										
30	12	10.0	2.600	0.000	2.600	0.236	460.0/260.0/108.9	2	12.27	113)
Prut č. 77 - Obdélník 300/500										
31	12	10.0	2.600	0.000	2.600	0.236	460.0/260.0/108.9	2	12.27	113)
Prut č. 83 - Obdélník 300/300										
32	19	10.0	4.100	0.000	4.100	0.228	260.0/260.0/108.9	2	14.73	113) 155)
Prut č. 84 - Obdélník 300/300										
33	19	10.0	4.100	0.000	4.100	0.228	260.0/260.0/108.9	2	14.73	113) 155)
Prut č. 117 - Obdélník 300/300										
34	41	10.0	6.000	0.000	6.000	0.150	260.0/260.0/108.9	2	31.79	115) 155)
Prut č. 118 - Obdélník 300/300										
35	41	10.0	6.000	0.000	6.000	0.150	260.0/260.0/108.9	2	31.79	115) 155)
Prut č. 119 - Obdélník 300/300										
36	41	10.0	6.000	0.000	6.000	0.150	260.0/260.0/108.9	2	31.79	115) 155)
Prut č. 120 - Obdélník 300/300										
37	41	10.0	6.000	0.000	6.000	0.150	260.0/260.0/108.9	2	31.79	115) 155)
Prut č. 131 - Obdélník 300/855										
38	26	10.0	6.000	0.000	6.000	0.240	815.0/260.0/108.9	2	37.96	113)
Prut č. 135 - Obdélník 300/855										
39	26	10.0	6.000	0.000	6.000	0.240	815.0/260.0/108.9	2	37.96	113)
Prut č. 136 - Obdélník 300/855										
40	26	10.0	6.000	0.000	6.000	0.240	815.0/260.0/108.9	2	37.96	113)
Prut č. 137 - Obdélník 300/855										
41	26	10.0	6.000	0.000	6.000	0.240	815.0/260.0/108.9	2	37.96	113)
Prut č. 144 - Obdélník 300/745										
42	25	10.0	6.100	0.000	6.100	0.254	705.0/260.0/108.9	2	33.11	115)
Prut č. 145 - Obdélník 300/745										
43	24	10.0	5.900	0.000	5.900	0.257	705.0/260.0/108.9	2	31.78	115)
Prut č. 198 - Obdélník 300/500										
44	15	10.0	3.300	0.000	3.300	0.236	460.0/260.0/108.9	2	15.33	113)
Prut č. 199 - Obdélník 300/500										
45	15	10.0	3.300	0.000	3.300	0.236	460.0/260.0/108.9	2	15.33	113)
Prut č. 200 - Obdélník 300/500										
46	15	10.0	3.300	0.000	3.300	0.236	460.0/260.0/108.9	2	15.33	113)
Prut č. 201 - Obdélník 300/500										
47	15	10.0	3.300	0.000	3.300	0.236	460.0/260.0/108.9	2	15.33	113)
Prut č. 202 - Obdélník 300/500										
48	15	10.0	3.300	0.000	3.300	0.236	460.0/260.0/108.9	2	15.33	113)
Prut č. 203 - Obdélník 300/500										
49	15	10.0	3.300	0.000	3.300	0.236	460.0/260.0/108.9	2	15.33	113)
Prut č. 204 - Obdélník 300/500										
50	15	10.0	3.300	0.000	3.300	0.236	460.0/260.0/108.9	2	15.33	113)
Prut č. 205 - Obdélník 300/500										
51	15	10.0	3.300	0.000	3.300	0.236	460.0/260.0/108.9	2	15.33	113)
Prut č. 206 - Obdélník 300/500										
52	15	10.0	3.300	0.000	3.300	0.236	460.0/260.0/108.9	2	15.33	113)
Prut č. 207 - Obdélník 300/500										
53	15	10.0	3.300	0.000	3.300	0.236	460.0/260.0/108.9	2	15.33	113)
Prut č. 208 - Obdélník 500/250										
54	17	10.0	3.710	0.000	3.710	0.232	210.0/460.0/108.9	2	16.33	113) 155)
Prut č. 209 - Obdélník 500/250										
55	17	10.0	3.710	0.000	3.710	0.232	210.0/460.0/108.9	2	16.33	113) 155)
Prut č. 210 - Obdélník 500/250										
56	17	10.0	3.710	0.000	3.710	0.232	210.0/460.0/108.9	2	16.33	113) 155)
Prut č. 268 - Obdélník 300/500										
57	8	10.0	1.450	0.000	1.450	0.207	460.0/260.0/108.9	2	8.18	113)
Prut č. 269 - Obdélník 300/500										
58	8	10.0	1.450	0.000	1.450	0.207	460.0/260.0/108.9	2	8.18	113)
Prut č. 270 - Obdélník 300/500										
59	8	10.0	1.450	0.000	1.450	0.207	460.0/260.0/108.9	2	8.18	113)
Prut č. 835 - Obdélník 300/200										
60	49	10.0	5.825	0.000	5.825	0.121	160.0/260.0/108.9	2	31.96	115) 155)
Prut č. 860 - Obdélník 300/300										
61	18	10.0	4.050	0.000	4.050	0.238	260.0/260.0/108.9	2	13.96	113) 155)
Prut č. 861 - Obdélník 300/300										
62	18	10.0	4.050	0.000	4.050	0.238	260.0/260.0/108.9	2	13.96	113) 155)
Prut č. 896 - Obdélník 300/500										
63	8	10.0	1.450	0.000	1.450	0.207	460.0/260.0/108.9	2	8.18	113)
Prut č. 897 - Obdélník 300/500										
64	8	10.0	1.450	0.000	1.450	0.207	460.0/260.0/108.9	2	8.18	113)
Prut č. 898 - Obdélník 300/500										
65	8	10.0	1.450	0.000	1.450	0.207	460.0/260.0/108.9	2	8.18	113)
Prut č. 901 - Obdélník 300/500										
66	8	10.0	1.450	0.000	1.450	0.207	460.0/260.0/108.9	2	8.18	113)
Prut č. 902 - Obdélník 300/500										
67	8	10.0	1.450	0.000	1.450	0.207	460.0/260.0/108.9	2	8.18	113)
Prut č. 905 - Obdélník 300/500										
68	19	10.0	4.100	0.000	4.100	0.228	460.0/260.0/108.9	2	19.42	113)
Prut č. 906 - Obdélník 300/500										
69	19	10.0	4.100	0.000	4.100	0.228	460.0/260.0/108.9	2	19.42	113)
Prut č. 907 - Obdélník 300/500										
70	28	10.0	4.101	0.000	4.101	0.152	460.0/260.0/108.9	2	28.62	
Prut č. 908 - Obdélník 300/500										
71	26	10.0	4.100	0.000	4.100	0.164	460.0/260.0/108.9	2	26.57	
Prut č. 910 - Obdélník 300/500										
72	12	10.0	2.600	0.000	2.600	0.236	460.0/260.0/108.9	2	12.27	113)
Prut č. 911 - Obdélník 300/500										
73	12	10.0	2.600	0.000	2.600	0.236	460.0/260.0/108.9	2	12.27	113)
Prut č. 913 - Obdélník 300/500										

3.2 NAVRŽENÁ TŘMÍNKOVÁ VÝZTUŽ

Položka č.	Počet třmínků	d_s [mm]	Délka [m]	Místo x [m] z	do	Vzdálenost s_{li} [m]	Rozměry třmínků [mm]	Počet střihů	Hmotnost [kg]	Poznámka
74	19	10.0	4.100	0.000	4.100	0.228	460.0/260.0/108.9	2	19.42	113)
Prut č. 915 - Obdélník 300/500										
75	19	10.0	4.100	0.000	4.100	0.228	460.0/260.0/108.9	2	19.42	113)
Prut č. 917 - Obdélník 300/500										
76	19	10.0	4.100	0.000	4.100	0.228	460.0/260.0/108.9	2	19.42	113)
Prut č. 918 - Obdélník 300/500										
77	12	10.0	2.600	0.000	2.600	0.236	460.0/260.0/108.9	2	12.27	113)
Prut č. 919 - Obdélník 300/500										
78	8	10.0	1.450	0.000	1.450	0.207	460.0/260.0/108.9	2	8.18	113)
Prut č. 920 - Obdélník 300/500										
79	31	10.0	6.000	0.000	6.000	0.200	460.0/260.0/108.9	2	31.69	115)
Prut č. 921 - Obdélník 300/500										
80	8	10.0	1.338	0.000	1.338	0.191	460.0/260.0/108.9	2	8.18	115)
Prut č. 923 - Obdélník 300/500										
81	25	10.0	4.662	0.000	4.662	0.194	460.0/260.0/108.9	2	25.55	115)
Prut č. 924 - Obdélník 300/500										
82	26	10.0	6.000	0.000	6.000	0.240	460.0/260.0/108.9	2	26.57	113)
Prut č. 925 - Obdélník 300/800										
83	12	10.0	3.000	0.000	3.000	0.273	760.0/260.0/108.9	2	16.70	115)
Prut č. 926 - Obdélník 300/800										
84	12	10.0	3.000	0.000	3.000	0.273	760.0/260.0/108.9	2	16.70	115)
Prut č. 927 - Obdélník 300/800										
85	23	10.0	6.000	0.000	6.000	0.273	760.0/260.0/108.9	2	32.02	115)
Prut č. 928 - Obdélník 300/500										
86	19	10.0	4.100	0.000	4.100	0.228	460.0/260.0/108.9	2	19.42	113)
Prut č. 929 - Obdélník 300/500										
87	12	10.0	2.600	0.000	2.600	0.236	460.0/260.0/108.9	2	12.27	113)
Prut č. 930 - Obdélník 300/500										
88	8	10.0	1.450	0.000	1.450	0.207	460.0/260.0/108.9	2	8.18	113)
Prut č. 931 - Obdélník 300/500										
89	14	10.0	2.550	0.000	2.550	0.196	460.0/260.0/108.9	2	14.31	115)
Prut č. 932 - Obdélník 300/500										
90	19	10.0	4.100	0.000	4.100	0.228	460.0/260.0/108.9	2	19.42	113)
Prut č. 933 - Obdélník 300/500										
91	12	10.0	2.600	0.000	2.600	0.236	460.0/260.0/108.9	2	12.27	113)
Prut č. 934 - Obdélník 300/500										
92	19	10.0	4.100	0.000	4.100	0.228	460.0/260.0/108.9	2	19.42	113)
Prut č. 935 - Obdélník 300/500										
93	8	10.0	1.450	0.000	1.450	0.207	460.0/260.0/108.9	2	8.18	113)
Prut č. 936 - Obdélník 300/300										
94	41	10.0	6.000	0.000	6.000	0.150	260.0/260.0/108.9	2	31.79	115) 155)
Prut č. 937 - Obdélník 300/300										
95	41	10.0	6.000	0.000	6.000	0.150	260.0/260.0/108.9	2	31.79	115) 155)
Prut č. 938 - Obdélník 300/300										
96	41	10.0	6.000	0.000	6.000	0.150	260.0/260.0/108.9	2	31.79	115) 155)
Prut č. 939 - Obdélník 300/300										
97	41	10.0	6.000	0.000	6.000	0.150	260.0/260.0/108.9	2	31.79	115) 155)
Prut č. 940 - Obdélník 300/300										
98	41	10.0	6.000	0.000	6.000	0.150	260.0/260.0/108.9	2	31.79	115) 155)
Prut č. 945 - Obdélník 300/500										
99	19	10.0	4.100	0.000	4.100	0.228	460.0/260.0/108.9	2	19.42	113)
Prut č. 946 - Obdélník 300/500										
100	19	10.0	4.100	0.000	4.100	0.228	460.0/260.0/108.9	2	19.42	113)
Prut č. 947 - Obdélník 300/500										
101	19	10.0	4.100	0.000	4.100	0.228	460.0/260.0/108.9	2	19.42	113)
Prut č. 948 - Obdélník 300/500										
102	19	10.0	4.100	0.000	4.100	0.228	460.0/260.0/108.9	2	19.42	113)
Prut č. 949 - Obdélník 300/500										
103	12	10.0	2.600	0.000	2.600	0.236	460.0/260.0/108.9	2	12.27	113)
Prut č. 950 - Obdélník 300/500										
104	12	10.0	2.600	0.000	2.600	0.236	460.0/260.0/108.9	2	12.27	113)
Prut č. 951 - Obdélník 300/500										
105	8	10.0	1.450	0.000	1.450	0.207	460.0/260.0/108.9	2	8.18	113)
Prut č. 952 - Obdélník 300/500										
106	8	10.0	1.450	0.000	1.450	0.207	460.0/260.0/108.9	2	8.18	113)
Prut č. 953 - Obdélník 300/500										
107	31	10.0	6.000	0.000	6.000	0.200	460.0/260.0/108.9	2	31.69	115)
Prut č. 954 - Obdélník 300/500										
108	13	10.0	2.375	0.000	2.375	0.198	460.0/260.0/108.9	2	13.29	115)
Prut č. 955 - Obdélník 300/500										
109	19	10.0	4.100	0.000	4.100	0.228	460.0/260.0/108.9	2	19.42	113)
Prut č. 956 - Obdélník 300/500										
110	19	10.0	4.100	0.000	4.100	0.228	460.0/260.0/108.9	2	19.42	113)
Prut č. 957 - Obdélník 300/500										
111	12	10.0	2.600	0.000	2.600	0.236	460.0/260.0/108.9	2	12.27	113)
Prut č. 958 - Obdélník 300/500										
112	12	10.0	2.600	0.000	2.600	0.236	460.0/260.0/108.9	2	12.27	113)
Prut č. 959 - Obdélník 300/500										
113	8	10.0	1.450	0.000	1.450	0.207	460.0/260.0/108.9	2	8.18	113)
Prut č. 960 - Obdélník 300/500										
114	8	10.0	1.450	0.000	1.450	0.207	460.0/260.0/108.9	2	8.18	113)
Prut č. 962 - Obdélník 300/300										
115	41	10.0	6.000	0.000	6.000	0.150	260.0/260.0/108.9	2	31.79	115) 155)
Prut č. 963 - Obdélník 300/500										
116	8	10.0	1.450	0.000	1.450	0.207	460.0/260.0/108.9	2	8.18	113)
Prut č. 964 - Obdélník 300/500										
117	8	10.0	1.450	0.000	1.450	0.207	460.0/260.0/108.9	2	8.18	113)
Prut č. 966 - Obdélník 300/500										
118	8	10.0	1.450	0.000	1.450	0.207	460.0/260.0/108.9	2	8.18	113)
Prut č. 967 - Obdélník 300/500										
119	19	10.0	4.100	0.000	4.100	0.228	460.0/260.0/108.9	2	19.42	113)
Prut č. 968 - Obdélník 300/500										
120	19	10.0	4.100	0.000	4.100	0.228	460.0/260.0/108.9	2	19.42	113)
Prut č. 969 - Obdélník 300/500										
121	12	10.0	2.600	0.000	2.600	0.236	460.0/260.0/108.9	2	12.27	113)
Prut č. 970 - Obdélník 300/500										
122	12	10.0	2.600	0.000	2.600	0.236	460.0/260.0/108.9	2	12.27	113)

3.2 NAVRŽENÁ TŘMÍNKOVÁ VÝZTUŽ

Položka č.	Počet třmínků	d_s [mm]	Délka [m]	Místo x [m] z	do	Vzdálenost s_{ll} [m]	Rozměry třmínků [mm]	Počet střihů	Hmotnost [kg]	Poznámka
Prut č. 971 - Obdélník 300/500										
123	12	10.0	2.600	0.000	2.600	0.236	460.0/260.0/108.9	2	12.27	113)
Prut č. 972 - Obdélník 300/500										
124	19	10.0	4.100	0.000	4.100	0.228	460.0/260.0/108.9	2	19.42	113)
Prut č. 982 - Obdélník 300/300										
125	30	10.0	4.310	0.000	4.310	0.149	260.0/260.0/108.9	2	23.26	115) 155)
Prut č. 983 - Obdélník 300/300										
126	32	10.0	4.640	0.000	4.640	0.150	260.0/260.0/108.9	2	24.82	115) 155)
Prut č. 984 - Obdélník 300/300										
127	11	10.0	2.300	0.000	2.300	0.230	260.0/260.0/108.9	2	8.53	113) 155)
Prut č. 985 - Obdélník 300/300										
128	19	10.0	4.100	0.000	4.100	0.228	260.0/260.0/108.9	2	14.73	113) 155)
Prut č. 986 - Obdélník 300/300										
129	19	10.0	2.600	0.000	2.600	0.144	260.0/260.0/108.9	2	14.73	115) 155)
Prut č. 987 - Obdélník 300/300										
130	18	10.0	4.050	0.000	4.050	0.238	260.0/260.0/108.9	2	13.96	113) 155)
Prut č. 988 - Obdélník 300/300										
131	29	10.0	4.100	0.000	4.100	0.146	260.0/260.0/108.9	2	22.49	115) 155)
Prut č. 991 - Obdélník 300/745										
132	7	10.0	1.350	0.000	1.350	0.225	705.0/260.0/108.9	2	9.27	115)
Prut č. 992 - Obdélník 300/745										
133	11	10.0	2.375	0.000	2.375	0.238	705.0/260.0/108.9	2	14.57	115)
Prut č. 993 - Obdélník 300/745										
134	6	10.0	1.200	0.000	1.200	0.240	705.0/260.0/108.9	2	7.95	115)
Prut č. 994 - Obdélník 300/300										
135	20	10.0	2.790	0.000	2.790	0.147	260.0/260.0/108.9	2	15.51	115) 155)
Prut č. 996 - Obdélník 300/300										
136	7	10.0	1.100	0.000	1.100	0.183	260.0/260.0/108.9	2	5.43	115) 155)
Prut č. 997 - Obdélník 300/300										
137	7	10.0	1.100	0.000	1.100	0.183	260.0/260.0/108.9	2	5.43	115) 155)
Prut č. 998 - Obdélník 300/300										
138	2	10.0	0.075	0.000	0.075	0.075	260.0/260.0/108.9	2	1.55	115) 155)
Prut č. 999 - Obdélník 300/300										
139	11	10.0	2.375	0.000	2.375	0.238	260.0/260.0/108.9	2	8.53	113) 155)
Prut č. 1000 - Obdélník 300/300										
140	30	10.0	4.310	0.000	4.310	0.149	260.0/260.0/108.9	2	23.26	115) 155)
Prut č. 1001 - Obdélník 300/300										
141	32	10.0	4.640	0.000	4.640	0.150	260.0/260.0/108.9	2	24.82	115) 155)
Prut č. 1002 - Obdélník 300/300										
142	41	10.0	6.000	0.000	6.000	0.150	260.0/260.0/108.9	2	31.79	115) 155)
Prut č. 1003 - Obdélník 300/300										
143	41	10.0	6.000	0.000	6.000	0.150	260.0/260.0/108.9	2	31.79	115) 155)
Prut č. 1004 - Obdélník 300/800										
144	11	10.0	2.525	0.000	2.525	0.252	760.0/260.0/108.9	2	15.31	115)
Prut č. 1005 - Obdélník 300/800										
145	14	10.0	3.475	0.000	3.475	0.267	760.0/260.0/108.9	2	19.49	115)
Prut č. 1009 - Obdélník 300/500										
146	8	10.0	1.570	0.000	1.570	0.224	460.0/260.0/108.9	2	8.18	113)
Prut č. 1010 - Obdélník 300/500										
147	15	10.0	2.740	0.000	2.740	0.196	460.0/260.0/108.9	2	15.33	115)
Prut č. 1011 - Obdélník 300/500										
148	14	10.0	2.550	0.000	2.550	0.196	460.0/260.0/108.9	2	14.31	115)
Prut č. 1012 - Obdélník 300/500										
149	14	10.0	2.550	0.000	2.550	0.196	460.0/260.0/108.9	2	14.31	115)
Prut č. 1015 - Obdélník 300/300										
150	18	10.0	4.050	0.000	4.050	0.238	260.0/260.0/108.9	2	13.96	113) 155)
Prut č. 1016 - Obdélník 300/300										
151	18	10.0	4.050	0.000	4.050	0.238	260.0/260.0/108.9	2	13.96	113) 155)
Prut č. 1017 - Obdélník 300/300										
152	19	10.0	4.100	0.000	4.100	0.228	260.0/260.0/108.9	2	14.73	113) 155)
Prut č. 1018 - Obdélník 300/300										
153	19	10.0	4.100	0.000	4.100	0.228	260.0/260.0/108.9	2	14.73	113) 155)
Prut č. 1019 - Obdélník 300/300										
154	12	10.0	2.600	0.000	2.600	0.236	260.0/260.0/108.9	2	9.31	113) 155)
Prut č. 1020 - Obdélník 300/300										
155	12	10.0	2.600	0.000	2.600	0.236	260.0/260.0/108.9	2	9.31	113) 155)
Prut č. 1022 - Obdélník 300/300										
156	19	10.0	2.600	0.000	2.600	0.144	260.0/260.0/108.9	2	14.73	115) 155)
Prut č. 1023 - Obdélník 300/300										
157	19	10.0	2.600	0.000	2.600	0.144	260.0/260.0/108.9	2	14.73	115) 155)
Prut č. 1024 - Obdélník 300/300										
158	19	10.0	4.100	0.000	4.100	0.228	260.0/260.0/108.9	2	14.73	113) 155)
Prut č. 1025 - Obdélník 300/300										
159	15	10.0	2.600	0.000	2.600	0.186	260.0/260.0/108.9	2	11.63	115) 155)
Prut č. 1026 - Obdélník 300/300										
160	22	10.0	4.100	0.000	4.100	0.195	260.0/260.0/108.9	2	17.06	115) 155)
Prut č. 1027 - Obdélník 300/300										
161	15	10.0	2.600	0.000	2.600	0.186	260.0/260.0/108.9	2	11.63	115) 155)
Prut č. 1028 - Obdélník 300/300										
162	12	10.0	2.600	0.000	2.600	0.236	260.0/260.0/108.9	2	9.31	113) 155)
Prut č. 1029 - Obdélník 300/745										
163	7	10.0	1.438	0.000	1.438	0.240	705.0/260.0/108.9	2	9.27	113)
Prut č. 1030 - Obdélník 300/745										
164	20	10.0	4.562	0.000	4.562	0.240	705.0/260.0/108.9	2	26.48	113)

6.2.3 NELINEÁRNÍ VÝPOČET - MEZNÍ STAV POUŽITELNOSTI PO PRUTECH

Prut č.	Místo x [m]	Zatížení	Typ	Navržená hodnota	Jedn.	Poznámka
Prut č. 1 - Obdélník 300/745						
1	3.392	KZ2	u_g	1.9	mm	
	0.000	KZ2	w_k	0.2	mm	
Prut č. 2 - Obdélník 300/745						
2	0.000	KZ2	u_g	0.8	mm	

6.2.3 NELINEÁRNÍ VÝPOČET - MEZNÍ STAV POUŽITELNOSTI PO PRUTECH

Prut č.	Místo x [m]	Zatížení	Typ	Navržená hodnota	Jedn.	Poznámka
		KZ2	w_k	0.1	mm	
Prut č. 3 - Obdélník 300/745						
3	2.888	KZ2	u_g	2.0	mm	
	0.000	KZ2	w_k	0.2	mm	
Prut č. 4 - Obdélník 300/800						
4	1.700	KZ2	u_g	0.4	mm	
		KZ2	w_k	0.0	mm	
Prut č. 5 - Obdélník 300/200						
5	2.000	KZ2	u_g	0.5	mm	
	0.000	KZ2	w_k	0.0	mm	
Prut č. 6 - Obdélník 300/800						
6	0.750	KZ2	u_g	0.4	mm	
	0.000	KZ2	w_k	0.0	mm	
Prut č. 7 - Obdélník 300/500						
7	2.406	KZ2	u_g	3.4	mm	
	2.888	KZ2	w_k	0.1	mm	
Prut č. 8 - Obdélník 300/500						
8	2.500	KZ2	u_g	7.7	mm	
	3.000	KZ2	w_k	0.2	mm	
Prut č. 9 - Obdélník 300/500						
9	2.500	KZ2	u_g	7.6	mm	
	3.000	KZ2	w_k	0.2	mm	
Prut č. 10 - Obdélník 300/500						
10	0.000	KZ2	u_g	1.5	mm	
	1.325	KZ2	w_k	0.0	mm	
Prut č. 11 - Obdélník 300/500						
11	1.380	KZ2	u_g	1.7	mm	
	1.725	KZ2	w_k	0.0	mm	
Prut č. 12 - Obdélník 300/800						
12	0.000	KZ2	u_g	0.5	mm	
		KZ2	w_k	0.0	mm	
Prut č. 13 - Obdélník 300/800						
13	0.100	KZ2	u_g	0.4	mm	
	0.000	KZ2	w_k	0.0	mm	
Prut č. 14 - Obdélník 300/800						
14	0.000	KZ2	u_g	0.4	mm	
		KZ2	w_k	0.0	mm	
Prut č. 15 - Obdélník 300/800						
15	0.000	KZ2	u_g	0.4	mm	
	3.267	KZ2	w_k	0.0	mm	
Prut č. 16 - Obdélník 300/500						
16	2.908	KZ2	u_g	6.5	mm	
		KZ2	w_k	0.1	mm	
Prut č. 17 - Obdélník 300/300						
17	1.350	KZ2	u_g	0.7	mm	
	1.800	KZ2	w_k	0.0	mm	
Prut č. 18 - Obdélník 300/500						
18	0.000	KZ2	u_g	0.6	mm	
	1.275	KZ2	w_k	0.0	mm	
Prut č. 19 - Obdélník 300/300						
19	1.450	KZ2	u_g	0.6	mm	
	0.000	KZ2	w_k	0.0	mm	
Prut č. 32 - Obdélník 300/800						
32	6.000	KZ2	u_g	0.5	mm	
		KZ2	w_k	0.0	mm	
Prut č. 33 - Obdélník 300/800						
33	3.000	KZ2	u_g	0.5	mm	
	0.000	KZ2	w_k	0.0	mm	
Prut č. 60 - Obdélník 300/500						
60	2.600	KZ2	u_g	1.2	mm	
	0.000	KZ2	w_k	0.0	mm	
Prut č. 61 - Obdélník 300/500						
61	2.600	KZ2	u_g	1.2	mm	
	0.000	KZ2	w_k	0.0	mm	
Prut č. 62 - Obdélník 300/500						
62	2.600	KZ2	u_g	1.2	mm	
	0.000	KZ2	w_k	0.0	mm	
Prut č. 63 - Obdélník 300/300						
63	4.100	KZ2	u_g	0.6	mm	
	0.000	KZ2	w_k	0.0	mm	
Prut č. 64 - Obdélník 300/300						
64	4.100	KZ2	u_g	0.4	mm	
	0.000	KZ2	w_k	0.0	mm	
Prut č. 68 - Obdélník 300/500						
68	4.100	KZ2	u_g	0.5	mm	
	0.000	KZ2	w_k	0.0	mm	
Prut č. 70 - Obdélník 300/500						
70	4.100	KZ2	u_g	0.4	mm	
	0.000	KZ2	w_k	0.0	mm	
Prut č. 75 - Obdélník 300/500						
75	2.600	KZ2	u_g	0.7	mm	
	0.000	KZ2	w_k	0.0	mm	
Prut č. 76 - Obdélník 300/500						
76	2.600	KZ2	u_g	0.8	mm	
	0.000	KZ2	w_k	0.0	mm	
Prut č. 77 - Obdélník 300/500						
77	2.600	KZ2	u_g	0.7	mm	
	0.000	KZ2	w_k	0.0	mm	
Prut č. 83 - Obdélník 300/300						
83	3.690	KZ2	u_g	0.8	mm	
	0.000	KZ2	w_k	0.0	mm	

6.2.3 NELINEÁRNÍ VÝPOČET - MEZNÍ STAV POUŽITELNOSTI PO PRUTECH

Prut č.	Místo x [m]	Zatížení	Typ	Navržená hodnota	Jedn.	Poznámka
Prut č. 84 - Obdélník 300/300						
84	4.100	KZ2	u_g	0.8	mm	
	0.000	KZ2	w_k	0.0	mm	
Prut č. 117 - Obdélník 300/300						
117	2.500	KZ2	u_g	7.6	mm	
	3.000	KZ2	w_k	0.1	mm	
Prut č. 118 - Obdélník 300/300						
118	3.000	KZ2	u_g	7.8	mm	
		KZ2	w_k	0.1	mm	
Prut č. 119 - Obdélník 300/300						
119	2.500	KZ2	u_g	7.7	mm	
	3.000	KZ2	w_k	0.1	mm	
Prut č. 120 - Obdélník 300/300						
120	2.500	KZ2	u_g	7.6	mm	
	3.000	KZ2	w_k	0.1	mm	
Prut č. 131 - Obdélník 300/855						
131	5.750	KZ2	u_g	4.0	mm	
	0.000	KZ2	w_k	0.1	mm	
Prut č. 135 - Obdélník 300/855						
135	0.000	KZ2	u_g	4.0	mm	
		KZ2	w_k	0.1	mm	
Prut č. 136 - Obdélník 300/855						
136	6.000	KZ2	u_g	4.1	mm	
		KZ2	w_k	0.1	mm	
Prut č. 137 - Obdélník 300/855						
137	0.250	KZ2	u_g	4.1	mm	
		KZ2	w_k	0.1	mm	
Prut č. 144 - Obdélník 300/745						
144	6.100	KZ2	u_g	1.0	mm	
	4.067	KZ2	w_k	0.0	mm	
Prut č. 145 - Obdélník 300/745						
145	4.425	KZ2	u_g	0.6	mm	
	5.408	KZ2	w_k	0.1	mm	
Prut č. 198 - Obdélník 300/500						
198	3.300	KZ2	u_g	0.5	mm	
		KZ2	w_k	0.0	mm	
Prut č. 199 - Obdélník 300/500						
199	3.300	KZ2	u_g	0.6	mm	
	0.000	KZ2	w_k	0.0	mm	
Prut č. 200 - Obdélník 300/500						
200	3.300	KZ2	u_g	0.4	mm	
		KZ2	w_k	0.0	mm	
Prut č. 201 - Obdélník 300/500						
201	3.300	KZ2	u_g	0.5	mm	
	0.000	KZ2	w_k	0.0	mm	
Prut č. 202 - Obdélník 300/500						
202	3.300	KZ2	u_g	0.4	mm	
	0.000	KZ2	w_k	0.0	mm	
Prut č. 203 - Obdélník 300/500						
203	2.970	KZ2	u_g	0.4	mm	
	3.300	KZ2	w_k	0.0	mm	
Prut č. 204 - Obdélník 300/500						
204	2.805	KZ2	u_g	0.5	mm	
	3.300	KZ2	w_k	0.0	mm	
Prut č. 205 - Obdélník 300/500						
205	3.300	KZ2	u_g	0.5	mm	
		KZ2	w_k	0.0	mm	
Prut č. 206 - Obdélník 300/500						
206	3.300	KZ2	u_g	0.4	mm	
		KZ2	w_k	0.0	mm	
Prut č. 207 - Obdélník 300/500						
207	3.300	KZ2	u_g	0.5	mm	
		KZ2	w_k	0.0	mm	
Prut č. 208 - Obdélník 500/250						
208	3.710	KZ2	u_g	0.2	mm	
	0.000	KZ2	w_k	0.0	mm	
Prut č. 209 - Obdélník 500/250						
209	3.710	KZ2	u_g	0.2	mm	
	0.000	KZ2	w_k	0.0	mm	
Prut č. 210 - Obdélník 500/250						
210	3.710	KZ2	u_g	0.3	mm	
	0.000	KZ2	w_k	0.0	mm	
Prut č. 268 - Obdélník 300/500						
268	1.450	KZ2	u_g	0.8	mm	
	0.000	KZ2	w_k	0.0	mm	
Prut č. 269 - Obdélník 300/500						
269	1.450	KZ2	u_g	0.8	mm	
	0.000	KZ2	w_k	0.0	mm	
Prut č. 270 - Obdélník 300/500						
270	1.450	KZ2	u_g	0.8	mm	
	0.000	KZ2	w_k	0.0	mm	
Prut č. 835 - Obdélník 300/200						
835	2.912	KZ2	u_g	1.4	mm	
	5.825	KZ2	w_k	0.0	mm	
Prut č. 860 - Obdélník 300/300						
860	4.050	KZ2	u_g	1.6	mm	
	0.000	KZ2	w_k	0.0	mm	
Prut č. 861 - Obdélník 300/300						
861	4.050	KZ2	u_g	1.6	mm	
	0.000	KZ2	w_k	0.0	mm	
Prut č. 896 - Obdélník 300/500						

6.2.3 NELINEÁRNÍ VÝPOČET - MEZNÍ STAV POUŽITELNOSTI PO PRUTECH

Prut č.	Místo x [m]	Zatížení	Typ	Navržená hodnota	Jedn.	Poznámka
896	1.450	KZ2	u_g	1.4	mm	
	0.000	KZ2	w_k	0.0	mm	
Prut č. 897 - Obdélník 300/500						
897	1.450	KZ2	u_g	1.4	mm	
	0.000	KZ2	w_k	0.0	mm	
Prut č. 898 - Obdélník 300/500						
898	1.450	KZ2	u_g	1.4	mm	
	0.000	KZ2	w_k	0.0	mm	
Prut č. 901 - Obdélník 300/500						
901	1.450	KZ2	u_g	0.8	mm	
	0.000	KZ2	w_k	0.0	mm	
Prut č. 902 - Obdélník 300/500						
902	1.450	KZ2	u_g	0.8	mm	
	0.000	KZ2	w_k	0.0	mm	
Prut č. 905 - Obdélník 300/500						
905	4.100	KZ2	u_g	0.4	mm	
	0.000	KZ2	w_k	0.0	mm	
Prut č. 906 - Obdélník 300/500						
906	4.100	KZ2	u_g	0.4	mm	
	0.000	KZ2	w_k	0.0	mm	
Prut č. 907 - Obdélník 300/500						
907	4.101	KZ2	u_g	1.0	mm	
		KZ2	w_k	0.1	mm	
Prut č. 908 - Obdélník 300/500						
908	4.100	KZ2	u_g	1.1	mm	
		KZ2	w_k	0.1	mm	
Prut č. 910 - Obdélník 300/500						
910	2.600	KZ2	u_g	0.7	mm	
	0.000	KZ2	w_k	0.0	mm	
Prut č. 911 - Obdélník 300/500						
911	2.600	KZ2	u_g	0.7	mm	
	0.000	KZ2	w_k	0.0	mm	
Prut č. 913 - Obdélník 300/500						
913	4.100	KZ2	u_g	0.6	mm	
	0.000	KZ2	w_k	0.0	mm	
Prut č. 915 - Obdélník 300/500						
915	4.100	KZ2	u_g	1.3	mm	
	0.000	KZ2	w_k	0.0	mm	
Prut č. 917 - Obdélník 300/500						
917	4.100	KZ2	u_g	0.2	mm	
	0.000	KZ2	w_k	0.0	mm	
Prut č. 918 - Obdélník 300/500						
918	2.600	KZ2	u_g	0.3	mm	
	0.000	KZ2	w_k	0.0	mm	
Prut č. 919 - Obdélník 300/500						
919	1.450	KZ2	u_g	0.3	mm	
	0.000	KZ2	w_k	0.0	mm	
Prut č. 920 - Obdélník 300/500						
920	6.000	KZ2	u_g	0.4	mm	
		KZ2	w_k	0.0	mm	
Prut č. 921 - Obdélník 300/500						
921	1.338	KZ2	u_g	0.5	mm	
	0.000	KZ2	w_k	0.0	mm	
Prut č. 923 - Obdélník 300/500						
923	4.662	KZ2	u_g	0.6	mm	
		KZ2	w_k	0.0	mm	
Prut č. 924 - Obdélník 300/500						
924	1.286	KZ2	u_g	0.6	mm	
	0.000	KZ2	w_k	0.0	mm	
Prut č. 925 - Obdélník 300/800						
925	3.000	KZ2	u_g	0.6	mm	
		KZ2	w_k	0.0	mm	
Prut č. 926 - Obdélník 300/800						
926	0.000	KZ2	u_g	0.6	mm	
		KZ2	w_k	0.0	mm	
Prut č. 927 - Obdélník 300/800						
927	0.000	KZ2	u_g	0.4	mm	
		KZ2	w_k	0.0	mm	
Prut č. 928 - Obdélník 300/500						
928	4.100	KZ2	u_g	0.3	mm	
	0.000	KZ2	w_k	0.0	mm	
Prut č. 929 - Obdélník 300/500						
929	2.600	KZ2	u_g	0.3	mm	
	0.000	KZ2	w_k	0.0	mm	
Prut č. 930 - Obdélník 300/500						
930	1.450	KZ2	u_g	0.3	mm	
	0.000	KZ2	w_k	0.0	mm	
Prut č. 931 - Obdélník 300/500						
931	0.000	KZ2	u_g	0.5	mm	
	2.040	KZ2	w_k	0.0	mm	
Prut č. 932 - Obdélník 300/500						
932	4.100	KZ2	u_g	0.8	mm	
	0.000	KZ2	w_k	0.0	mm	
Prut č. 933 - Obdélník 300/500						
933	2.600	KZ2	u_g	1.2	mm	
	0.000	KZ2	w_k	0.0	mm	
Prut č. 934 - Obdélník 300/500						
934	4.100	KZ2	u_g	0.8	mm	
	0.000	KZ2	w_k	0.0	mm	
Prut č. 935 - Obdélník 300/500						
935	1.450	KZ2	u_g	1.3	mm	

6.2.3 NELINEÁRNÍ VÝPOČET - MEZNÍ STAV POUŽITELNOSTI PO PRUTECH

Prut č.	Místo x [m]	Zatížení	Typ	Navržená hodnota	Jedn.	Poznámka
	0.000	KZ2	w_k	0.0	mm	
Prut č. 936 - Obdélník 300/300						
936	3.000	KZ2	u_g	7.7	mm	
		KZ2	w_k	0.1	mm	
Prut č. 937 - Obdélník 300/300						
937	2.500	KZ2	u_g	7.7	mm	
	3.000	KZ2	w_k	0.1	mm	
Prut č. 938 - Obdélník 300/300						
938	2.500	KZ2	u_g	7.7	mm	
	3.000	KZ2	w_k	0.1	mm	
Prut č. 939 - Obdélník 300/300						
939	2.500	KZ2	u_g	7.7	mm	
	3.000	KZ2	w_k	0.1	mm	
Prut č. 940 - Obdélník 300/300						
940	2.500	KZ2	u_g	7.7	mm	
	3.000	KZ2	w_k	0.1	mm	
Prut č. 945 - Obdélník 300/500						
945	4.100	KZ2	u_g	0.8	mm	
	0.000	KZ2	w_k	0.0	mm	
Prut č. 946 - Obdélník 300/500						
946	4.100	KZ2	u_g	0.8	mm	
	0.000	KZ2	w_k	0.0	mm	
Prut č. 947 - Obdélník 300/500						
947	4.100	KZ2	u_g	0.8	mm	
	0.000	KZ2	w_k	0.0	mm	
Prut č. 948 - Obdélník 300/500						
948	4.100	KZ2	u_g	0.8	mm	
	0.000	KZ2	w_k	0.0	mm	
Prut č. 949 - Obdélník 300/500						
949	2.600	KZ2	u_g	1.3	mm	
	0.000	KZ2	w_k	0.0	mm	
Prut č. 950 - Obdélník 300/500						
950	2.600	KZ2	u_g	1.3	mm	
	0.000	KZ2	w_k	0.0	mm	
Prut č. 951 - Obdélník 300/500						
951	1.450	KZ2	u_g	1.6	mm	
	0.000	KZ2	w_k	0.0	mm	
Prut č. 952 - Obdélník 300/500						
952	1.450	KZ2	u_g	1.5	mm	
	0.000	KZ2	w_k	0.0	mm	
Prut č. 953 - Obdélník 300/500						
953	2.500	KZ2	u_g	7.5	mm	
	3.000	KZ2	w_k	0.2	mm	
Prut č. 954 - Obdélník 300/500						
954	2.375	KZ2	u_g	1.5	mm	
	1.188	KZ2	w_k	0.0	mm	
Prut č. 955 - Obdélník 300/500						
955	4.100	KZ2	u_g	1.0	mm	
		KZ2	w_k	0.0	mm	
Prut č. 956 - Obdélník 300/500						
956	4.100	KZ2	u_g	1.1	mm	
	0.000	KZ2	w_k	0.0	mm	
Prut č. 957 - Obdélník 300/500						
957	2.080	KZ2	u_g	1.7	mm	
	0.000	KZ2	w_k	0.1	mm	
Prut č. 958 - Obdélník 300/500						
958	2.600	KZ2	u_g	1.6	mm	
	0.000	KZ2	w_k	0.0	mm	
Prut č. 959 - Obdélník 300/500						
959	0.000	KZ2	u_g	1.7	mm	
		KZ2	w_k	0.0	mm	
Prut č. 960 - Obdélník 300/500						
960	1.450	KZ2	u_g	1.8	mm	
	0.000	KZ2	w_k	0.0	mm	
Prut č. 962 - Obdélník 300/300						
962	3.000	KZ2	u_g	7.7	mm	
		KZ2	w_k	0.1	mm	
Prut č. 963 - Obdélník 300/500						
963	1.450	KZ2	u_g	1.4	mm	
	0.000	KZ2	w_k	0.0	mm	
Prut č. 964 - Obdélník 300/500						
964	1.450	KZ2	u_g	1.0	mm	
	0.000	KZ2	w_k	0.0	mm	
Prut č. 966 - Obdélník 300/500						
966	1.450	KZ2	u_g	0.8	mm	
	0.000	KZ2	w_k	0.0	mm	
Prut č. 967 - Obdélník 300/500						
967	4.100	KZ2	u_g	0.5	mm	
		KZ2	w_k	0.0	mm	
Prut č. 968 - Obdélník 300/500						
968	4.100	KZ2	u_g	0.5	mm	
	0.000	KZ2	w_k	0.0	mm	
Prut č. 969 - Obdélník 300/500						
969	2.600	KZ2	u_g	0.7	mm	
	0.000	KZ2	w_k	0.0	mm	
Prut č. 970 - Obdélník 300/500						
970	2.600	KZ2	u_g	0.8	mm	
	0.000	KZ2	w_k	0.0	mm	
Prut č. 971 - Obdélník 300/500						
971	2.600	KZ2	u_g	0.9	mm	
	0.000	KZ2	w_k	0.0	mm	

6.2.3 NELINEÁRNÍ VÝPOČET - MEZNÍ STAV POUŽITELNOSTI PO PRUTECH

Prut č.	Místo x [m]	Zatížení	Typ	Navržená hodnota	Jedn.	Poznámka
Prut č. 972 - Obdélník 300/500						
972	4.100	KZ2	u_g	0.6	mm	
	0.000	KZ2	w_k	0.0	mm	
Prut č. 982 - Obdélník 300/300						
982	1.724	KZ2	u_g	2.3	mm	
	2.155	KZ2	w_k	0.1	mm	
Prut č. 983 - Obdélník 300/300						
983	2.784	KZ2	u_g	2.7	mm	
	2.320	KZ2	w_k	0.1	mm	
Prut č. 984 - Obdélník 300/300						
984	2.300	KZ2	u_g	0.6	mm	
	0.000	KZ2	w_k	0.0	mm	
Prut č. 985 - Obdélník 300/300						
985	4.100	KZ2	u_g	0.7	mm	
		KZ2	w_k	0.0	mm	
Prut č. 986 - Obdélník 300/300						
986	2.600	KZ2	u_g	0.9	mm	
	0.000	KZ2	w_k	0.1	mm	
Prut č. 987 - Obdélník 300/300						
987	4.050	KZ2	u_g	1.5	mm	
	0.000	KZ2	w_k	0.0	mm	
Prut č. 988 - Obdélník 300/300						
988	4.100	KZ2	u_g	0.5	mm	
	0.000	KZ2	w_k	0.0	mm	
Prut č. 991 - Obdélník 300/745						
991	0.000	KZ2	u_g	1.8	mm	
	1.350	KZ2	w_k	0.1	mm	
Prut č. 992 - Obdélník 300/745						
992	0.000	KZ2	u_g	0.7	mm	
		KZ2	w_k	0.1	mm	
Prut č. 993 - Obdélník 300/745						
993	1.200	KZ2	u_g	2.9	mm	
	0.000	KZ2	w_k	0.0	mm	
Prut č. 994 - Obdélník 300/300						
994	2.790	KZ2	u_g	2.9	mm	
	0.000	KZ2	w_k	0.1	mm	
Prut č. 996 - Obdélník 300/300						
996	0.000	KZ2	u_g	1.3	mm	
	1.100	KZ2	w_k	0.0	mm	
Prut č. 997 - Obdélník 300/300						
997	0.000	KZ2	u_g	0.7	mm	
	1.100	KZ2	w_k	0.0	mm	
Prut č. 998 - Obdélník 300/300						
998	0.075	KZ2	u_g	0.3	mm	
	0.000	KZ2	w_k	0.0	mm	
Prut č. 999 - Obdélník 300/300						
999	2.375	KZ2	u_g	0.6	mm	
	0.000	KZ2	w_k	0.0	mm	
Prut č. 1000 - Obdélník 300/300						
1000	2.586	KZ2	u_g	1.8	mm	
	2.155	KZ2	w_k	0.1	mm	
Prut č. 1001 - Obdélník 300/300						
1001	1.856	KZ2	u_g	2.4	mm	
	2.320	KZ2	w_k	0.1	mm	
Prut č. 1002 - Obdélník 300/300						
1002	2.500	KZ2	u_g	7.8	mm	
	3.000	KZ2	w_k	0.1	mm	
Prut č. 1003 - Obdélník 300/300						
1003	2.500	KZ2	u_g	7.6	mm	
	3.000	KZ2	w_k	0.1	mm	
Prut č. 1004 - Obdélník 300/800						
1004	2.525	KZ2	u_g	0.5	mm	
	1.010	KZ2	w_k	0.0	mm	
Prut č. 1005 - Obdélník 300/800						
1005	0.000	KZ2	u_g	0.4	mm	
		KZ2	w_k	0.0	mm	
Prut č. 1009 - Obdélník 300/500						
1009	1.570	KZ2	u_g	0.6	mm	
		KZ2	w_k	0.0	mm	
Prut č. 1010 - Obdélník 300/500						
1010	0.000	KZ2	u_g	0.5	mm	
		KZ2	w_k	0.0	mm	
Prut č. 1011 - Obdélník 300/500						
1011	2.550	KZ2	u_g	1.1	mm	
		KZ2	w_k	0.0	mm	
Prut č. 1012 - Obdélník 300/500						
1012	0.000	KZ2	u_g	1.0	mm	
	1.020	KZ2	w_k	0.0	mm	
Prut č. 1015 - Obdélník 300/300						
1015	4.050	KZ2	u_g	0.9	mm	
	0.000	KZ2	w_k	0.0	mm	
Prut č. 1016 - Obdélník 300/300						
1016	4.050	KZ2	u_g	0.6	mm	
	0.000	KZ2	w_k	0.0	mm	
Prut č. 1017 - Obdélník 300/300						
1017	4.100	KZ2	u_g	0.5	mm	
	0.000	KZ2	w_k	0.0	mm	
Prut č. 1018 - Obdélník 300/300						
1018	4.100	KZ2	u_g	0.6	mm	
	0.000	KZ2	w_k	0.0	mm	
Prut č. 1019 - Obdélník 300/300						

6.2.3 NELINEÁRNÍ VÝPOČET - MEZNÍ STAV POUŽITELNOSTI PO PRUTECH

Prut č.	Místo x [m]	Zatížení	Typ	Navržená hodnota	Jedn.	Poznámka
1019	2.600	KZ2	u_g	0.7	mm	
	0.000	KZ2	w_k	0.0	mm	
Prut č. 1020 - Obdélník 300/300						
1020	2.600	KZ2	u_g	0.5	mm	
	0.000	KZ2	w_k	0.0	mm	
Prut č. 1022 - Obdélník 300/300						
1022	2.600	KZ2	u_g	1.3	mm	
	0.000	KZ2	w_k	0.1	mm	
Prut č. 1023 - Obdélník 300/300						
1023	2.600	KZ2	u_g	1.1	mm	
	0.000	KZ2	w_k	0.1	mm	
Prut č. 1024 - Obdélník 300/300						
1024	4.100	KZ2	u_g	1.0	mm	
	0.000	KZ2	w_k	0.0	mm	
Prut č. 1025 - Obdélník 300/300						
1025	2.600	KZ2	u_g	1.0	mm	
		KZ2	w_k	0.0	mm	
Prut č. 1026 - Obdélník 300/300						
1026	3.644	KZ2	u_g	0.3	mm	
	0.000	KZ2	w_k	0.1	mm	
Prut č. 1027 - Obdélník 300/300						
1027	2.600	KZ2	u_g	0.3	mm	
	0.000	KZ2	w_k	0.0	mm	
Prut č. 1028 - Obdélník 300/300						
1028	2.600	KZ2	u_g	0.6	mm	
	0.000	KZ2	w_k	0.0	mm	
Prut č. 1029 - Obdélník 300/745						
1029	1.438	KZ2	u_g	0.5	mm	
	0.000	KZ2	w_k	0.0	mm	
Prut č. 1030 - Obdélník 300/745						
1030	4.562	KZ2	u_g	0.6	mm	
		KZ2	w_k	0.0	mm	

MODEL - ZÁKLADNÍ ÚDAJE

Obecné	Název modelu	:	PROPOJOVACÍ OCEL KRČEK
	Název projektu	:	pokus
	Typ modelu	:	3D
	Kladný směr globální osy Z	:	Nahoru
	Klasifikace zatěžovacích stavů a kombinací	:	Podle normy: EN 1990 Národní příloha: ČSN - Česká Republika
	☒ Automaticky vytvořit kombinace	:	☒ Kombinace zatížení
Možnosti	☐ RF-FORM-FINDING - Hledání počátečních rovnovážných tvarů membránových a lanových konstrukcí		
	☐ RF-CUTTING-PATTERN		
	☐ Analýza potrubí		
	☐ Použít pravidlo CQC		
	☐ Umožnit CAD/BIM model		
	Tíhové zrychlení		
	g	:	10.00 m/s²

NASTAVENÍ SÍTĚ PRVKŮ

Obecné	Požadovaná délka konečných prvků	l_{FE}	:	500 mm
	Maximální vzdálenost mezi uzlem a linií pro integrování do linie	e	:	1 mm
	Maximální počet uzlů sítě KP v tisících		:	500
Pruty	Počet dělení lanových prutů, prutů s pružným podložím, s náběhy nebo plastickými vlastnostmi:		:	10
	☒ Aktivovat dělení prutů pro analýzu velkých deformací resp. postkritickou analýzu			
	☒ Dělit pruty na nich ležícím uzlem			
Plochy	Maximální poměr diagonál obdélníku KP	D_D	:	2
	Maximální přípustný odklon 2 prvků sítě od roviny	a	:	0.50 °
	Tvar konečných prvků:		:	Trojúhelníky a čtyřúhelníky ☒ Generovat stejné čtverce, kde je to možné

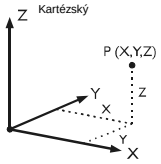

1.1 UZLY

Uzel č.	Typ uzlu	Vztažný uzel	Souřadný systém	Souřadnice uzlu X [mm]	Y [mm]	Z [mm]	Komentář
1	Standard	-	Kartézský	-71	3371	0	
2	Standard	-	Kartézský	17678	3371	0	
3	Standard	-	Kartézský	-71	71	0	
4	Standard	-	Kartézský	17678	71	0	
73	Standard	-	Kartézský	-71	3371	3220	
74	Standard	-	Kartézský	17678	3371	3220	
75	Standard	-	Kartézský	-71	71	3220	
76	Standard	-	Kartézský	17678	71	3220	
77	Standard	-	Kartézský	6898	3371	3220	
78	Standard	-	Kartézský	6898	71	3220	
79	Standard	-	Kartézský	10708	3371	3220	
80	Standard	-	Kartézský	10708	71	3220	
81	Standard	-	Kartézský	15354	3371	3220	
82	Standard	-	Kartézský	15354	71	3220	
83	Standard	-	Kartézský	2253	71	3220	
84	Standard	-	Kartézský	2253	3371	3220	
157	Standard	-	Kartézský	6898	71	7275	
158	Standard	-	Kartézský	10708	71	7275	
167	Standard	-	Kartézský	6898	71	0	
168	Standard	-	Kartézský	10708	71	0	
169	Standard	-	Kartézský	15354	71	0	
172	Standard	-	Kartézský	15354	3371	0	
173	Standard	-	Kartézský	13031	71	0	
174	Standard	-	Kartézský	13031	71	3220	
175	Standard	-	Kartézský	13031	3371	0	
176	Standard	-	Kartézský	13031	3371	3220	
177	Standard	-	Kartézský	10708	3371	0	
178	Standard	-	Kartézský	6898	3371	0	
179	Standard	-	Kartézský	4575	71	0	
180	Standard	-	Kartézský	4575	71	3220	
181	Standard	-	Kartézský	4575	3371	0	
182	Standard	-	Kartézský	4575	3371	3220	
183	Standard	-	Kartézský	2253	71	0	
184	Standard	-	Kartézský	2253	3371	0	

1.2 LINIE

Linie č.	Typ linie	Uzly č.	Délka linie L [mm]		Komentář
38	Polylinie	73,74	17749	X	
39	Polylinie	75,76	17749	X	
40	Polylinie	77,78	3300	Y	
41	Polylinie	79,80	3300	Y	
42	Polylinie	74,76	3300	Y	
43	Polylinie	73,75	3300	Y	
44	Polylinie	76,81	4036	XY	
45	Polylinie	82,74	4036	XY	
46	Polylinie	83,73	4036	XY	

1.2 LINIE

Linie č.	Typ linie	Uzly č.	Délka linie L [mm]		Komentář
47	Polylinie	75,84	4036	XY	
84	Polylinie	157,158	3810	X	
89	Polylinie	167,78	3220	Z	
90	Polylinie	168,80	3220	Z	
91	Polylinie	80,158	4055	Z	
92	Polylinie	78,157	4055	Z	
93	Polylinie	169,76	3971	XZ	
94	Polylinie	4,82	3971	XZ	
95	Polylinie	4,76	3220	Z	
96	Polylinie	169,82	3220	Z	
97	Polylinie	2,74	3220	Z	
98	Polylinie	172,81	3220	Z	
99	Polylinie	173,174	3220	Z	
100	Polylinie	175,176	3220	Z	
101	Polylinie	177,79	3220	Z	
102	Polylinie	178,77	3220	Z	
103	Polylinie	179,180	3220	Z	
104	Polylinie	181,182	3220	Z	
105	Polylinie	183,83	3220	Z	
106	Polylinie	3,75	3220	Z	
107	Polylinie	1,73	3220	Z	
108	Polylinie	184,84	3220	Z	
109	Polylinie	3,83	3971	XZ	
110	Polylinie	183,75	3971	XZ	
111	Polylinie	184,182	3970	XZ	
112	Polylinie	181,84	3970	XZ	
113	Polylinie	175,81	3970	XZ	
114	Polylinie	172,176	3970	XZ	

1.3 MATERIÁLY

Mat. č.	Modul E [MPa]	Modul G [MPa]	Poissonův souč. n [-]	Objem. tíha g [kN/m³]	Souč. tepl. rozt. a [1/K]	Souč. spolehlivosti g_M [-]	Materiálový model
1	Beton C30/37 | DIN 1045-1:2008-08						
	28300.000	11791.700	0.200	25.00	1.00E-05	1.00	Izotropní lineárně elastický
	Beton C30/37						
2	Ocel S 235 | DIN EN 1993-1-1:2010-12						
	210000.000	80769.200	0.300	78.50	1.20E-05	1.00	Izotropní lineárně elastický
	Baustahl S 235						

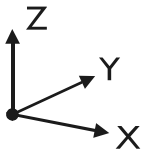

1.7 UZLOVÉ PODPORY

Podpora č.	Uzly č.	Osový systém	Sloup v Z	Podepření resp. vetknutí u_X	u_Y	u_Z	j_X	j_Y	j_Z
1	1-4,167-169,172,173,175, 177-179,181,183,184	Globální X,Y,Z	☐	☒	☒	☒	☐	☐	☒

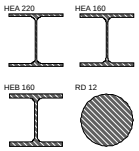

1.13 PRŮŘEZY

Průřez č.	Mater. č.	I_T [mm⁴] / A [mm²]	I_y [mm⁴] / A_y [mm²]	I_z [mm⁴] / A_z [mm²]	Hlavní osy a [°]	Natočení a' [°]	Celkové rozměry [mm] Šířka b	Výška h
1	HEA 220							
	2	284600.0 / 6434.0	54100000.0 / 4030.2	19550000.0 / 1279.6	0.00	0.00	220.0	210.0
2	HEA 160							
	2	121900.0 / 3877.0	16730000.0 / 2398.6	6156000.0 / 784.5	0.00	0.00	160.0	152.0
3	HEB 160							
	2	312400.0 / 5425.0	24920000.0 / 3471.5	8892000.0 / 1081.1	0.00	0.00	160.0	160.0
4	RD 12							
	2	2035.8 / 113.0	1017.9 / 94.9	1017.9 / 94.9	0.00	0.00	12.0	12.0

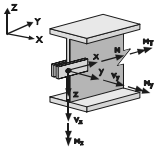

1.14 KLOUBY NA KONCÍCH PRUTU

Kloub č.	Vztažný systém	Normálový/smykový kloub resp. pružina[MN/ u_x	u_y	u_z	Momentový kloub resp. pružina[MNm/rad] j_x	j_y	j_z	Komentář
1	Lokální x,y,z	☐	☐	☐	☐	☒	☒	

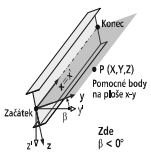

1.17 PRUTY

Prut č.	Linie č.	Typ prutu	Natočení prutu typ	b [°]	Průřez Počát.	Konec	Kloub č. Počát.	Konec	Exc. č.	Dělení č.	Délka L [mm]	
1	38	Nosník	Úhel	0.00	1	1	-	-	-	-	17749	X
2	39	Nosník	Úhel	0.00	1	1	-	-	-	-	17749	X
3	95	Nosník	Úhel	0.00	2	2	-	-	-	-	3220	Z
4	96	Nosník	Úhel	0.00	2	2	-	1	-	-	3220	Z

1.17 PRUTY

Prut č.	Linie č.	Typ prutu	Natočení prutu typ	Natočení prutu b [°]	Průřez Počát.	Průřez Konec	Kloub č. Počát.	Kloub č. Konec	Exc. č.	Dělení č.	Délka L [mm]	
5	97	Nosník	Úhel	0.00	2	2	-	-	-	-	3220	Z
6	98	Nosník	Úhel	0.00	2	2	-	1	-	-	3220	Z
7	99	Nosník	Úhel	0.00	2	2	-	1	-	-	3220	Z
8	100	Nosník	Úhel	0.00	2	2	-	1	-	-	3220	Z
9	101	Nosník	Úhel	0.00	2	2	-	-	-	-	3220	Z
10	102	Nosník	Úhel	0.00	2	2	-	-	-	-	3220	Z
11	103	Nosník	Úhel	0.00	2	2	-	1	-	-	3220	Z
12	104	Nosník	Úhel	0.00	2	2	-	1	-	-	3220	Z
13	105	Nosník	Úhel	0.00	2	2	-	1	-	-	3220	Z
14	106	Nosník	Úhel	0.00	2	2	-	-	-	-	3220	Z
15	107	Nosník	Úhel	0.00	2	2	-	-	-	-	3220	Z
16	108	Nosník	Úhel	0.00	2	2	-	1	-	-	3220	Z
17	84	Nosník	Úhel	0.00	3	3	-	-	-	-	3810	X
18	89	Nosník	Úhel	0.00	3	3	-	-	-	-	3220	Z
19	90	Nosník	Úhel	0.00	3	3	-	-	-	-	3220	Z
20	91	Nosník	Úhel	0.00	3	3	-	-	-	-	4055	Z
21	92	Nosník	Úhel	0.00	3	3	-	-	-	-	4055	Z
22	40	Nosník	Úhel	0.00	1	1	-	-	-	-	3300	Y
23	41	Nosník	Úhel	0.00	1	1	-	-	-	-	3300	Y
24	42	Nosník	Úhel	0.00	1	1	-	-	-	-	3300	Y
25	43	Nosník	Úhel	0.00	1	1	-	-	-	-	3300	Y
26	44	Tah	Úhel	0.00	4	4	-	-	-	-	4036	XY
27	45	Tah	Úhel	0.00	4	4	-	-	-	-	4036	XY
28	46	Tah	Úhel	0.00	4	4	-	-	-	-	4036	XY
29	47	Tah	Úhel	0.00	4	4	-	-	-	-	4036	XY
30	93	Tah	Úhel	0.00	4	4	-	-	-	-	3971	XZ
31	94	Tah	Úhel	0.00	4	4	-	-	-	-	3971	XZ
32	109	Tah	Úhel	0.00	4	4	-	-	-	-	3971	XZ
33	110	Tah	Úhel	0.00	4	4	-	-	-	-	3971	XZ
34	111	Tah	Úhel	0.00	4	4	-	-	-	-	3970	XZ
35	112	Tah	Úhel	0.00	4	4	-	-	-	-	3970	XZ
36	113	Tah	Úhel	0.00	4	4	-	-	-	-	3970	XZ
37	114	Tah	Úhel	0.00	4	4	-	-	-	-	3970	XZ

2.1 ZATĚŽOVACÍ STAVY

Zatěž. stav	Označení zatěž. stavu	EN 1990 | ČSN Kategorie účinků	Vlastní tíha - Součinitel ve směru Aktivní	X	Y	Z
ZS1		Stálé	☒	0.000	0.000	-1.000
ZS2	OSTATNÍ STÁLÉ	Stálé/užitné	☐			
ZS3	Sníh	Sníh (H £ 1000 m n.m.)	☐			
ZS4	Vítr	Vítr	☐			

2.1.1 ZATĚŽOVACÍ STAVY - PARAMETRY VÝPOČTU

Zatěž. stav	Označení zatěž. stavu	Parametry výpočtu		
ZS1		Způsob výpočtu	:	Teorie I. řádu (geometricky lineární výpočet)
		Metoda pro řešení systému nelineárních algebraických rovnic	:	Newton-Raphson
		Aktivovat součinitele tuhosti:	:	Průřezy (součinitel pro J, I_y, I_z, A, A_y, A_z)
			:	Pruty (faktor pro GJ, EI_y, EI_z, EA, GA_y, GA_z)
ZS2	OSTATNÍ STÁLÉ	Způsob výpočtu	:	Teorie I. řádu (geometricky lineární výpočet)
		Metoda pro řešení systému nelineárních algebraických rovnic	:	Newton-Raphson
		Aktivovat součinitele tuhosti:	:	Průřezy (součinitel pro J, I_y, I_z, A, A_y, A_z)
			:	Pruty (faktor pro GJ, EI_y, EI_z, EA, GA_y, GA_z)
ZS3	Sníh	Způsob výpočtu	:	Teorie I. řádu (geometricky lineární výpočet)
		Metoda pro řešení systému nelineárních algebraických rovnic	:	Newton-Raphson
		Aktivovat součinitele tuhosti:	:	Průřezy (součinitel pro J, I_y, I_z, A, A_y, A_z)
			:	Pruty (faktor pro GJ, EI_y, EI_z, EA, GA_y, GA_z)
ZS4	Vítr	Způsob výpočtu	:	Teorie I. řádu (geometricky lineární výpočet)
		Metoda pro řešení systému nelineárních algebraických rovnic	:	Newton-Raphson
		Aktivovat součinitele tuhosti:	:	Průřezy (součinitel pro J, I_y, I_z, A, A_y, A_z)
			:	Pruty (faktor pro GJ, EI_y, EI_z, EA, GA_y, GA_z)

2.5 KOMBINACE ZATÍŽENÍ

Kombin. zatížení	Kombinace zatížení NS	Označení	č.	Součinitel	Zatěžovací stav	
KZ1	STR	1.35*ZS1	1	1.35	ZS1	
KZ2	STR	1.35*ZS1 + 1.35*ZS2	1	1.35	ZS1	
			2	1.35	ZS2	OSTATNÍ STÁLÉ
KZ3	STR	1.35*ZS1 + 1.5*ZS3	1	1.35	ZS1	
			2	1.50	ZS3	Sníh
KZ4	STR	1.35*ZS1 + 1.35*ZS2 + 1.5*ZS3	1	1.35	ZS1	
			2	1.35	ZS2	OSTATNÍ STÁLÉ
			3	1.50	ZS3	Sníh
KZ5	STR	1.35*ZS1 + 1.35*ZS2 + 1.5*ZS3 + 0.9*ZS4	1	1.35	ZS1	
			2	1.35	ZS2	OSTATNÍ STÁLÉ
			3	1.50	ZS3	Sníh
			4	0.90	ZS4	Vítr
KZ6	STR	1.35*ZS1 + 1.5*ZS3 + 0.9*ZS4	1	1.35	ZS1	
			2	1.50	ZS3	Sníh
			3	0.90	ZS4	Vítr
KZ7	STR	1.35*ZS1 + 1.5*ZS4	1	1.35	ZS1	
			2	1.50	ZS4	Vítr
KZ8	STR	1.35*ZS1 + 1.35*ZS2 + 1.5*ZS4	1	1.35	ZS1	

2.5 KOMBINACE ZATÍŽENÍ

Kombin. zatížení	Kombinace zatížení NS	Označení	č.	Součinitel	Zatěžovací stav	
			2	1.35	ZS2	OSTATNÍ STÁLÉ
			3	1.50	ZS4	Vítr
KZ9	STR	1.35*ZS1 + 1.35*ZS2 + 0.75*ZS3 + 1.5*ZS4	1	1.35	ZS1	
			2	1.35	ZS2	OSTATNÍ STÁLÉ
			3	0.75	ZS3	Sníh
			4	1.50	ZS4	Vítr
KZ10	STR	1.35*ZS1 + 0.75*ZS3 + 1.5*ZS4	1	1.35	ZS1	
			2	0.75	ZS3	Sníh
			3	1.50	ZS4	Vítr
KZ11	S Ch	ZS1	1	1.00	ZS1	
KZ12	S Ch	ZS1 + ZS2	1	1.00	ZS1	
			2	1.00	ZS2	OSTATNÍ STÁLÉ
KZ13	S Ch	ZS1 + ZS3	1	1.00	ZS1	
			2	1.00	ZS3	Sníh
KZ14	S Ch	ZS1 + ZS2 + ZS3	1	1.00	ZS1	
			2	1.00	ZS2	OSTATNÍ STÁLÉ
			3	1.00	ZS3	Sníh
KZ15	S Ch	ZS1 + ZS2 + ZS3 + 0.6*ZS4	1	1.00	ZS1	
			2	1.00	ZS2	OSTATNÍ STÁLÉ
			3	1.00	ZS3	Sníh
			4	0.60	ZS4	Vítr
KZ16	S Ch	ZS1 + ZS3 + 0.6*ZS4	1	1.00	ZS1	
			2	1.00	ZS3	Sníh
			3	0.60	ZS4	Vítr
KZ17	S Ch	ZS1 + ZS4	1	1.00	ZS1	
			2	1.00	ZS4	Vítr
KZ18	S Ch	ZS1 + ZS2 + ZS4	1	1.00	ZS1	
			2	1.00	ZS2	OSTATNÍ STÁLÉ
			3	1.00	ZS4	Vítr
KZ19	S Ch	ZS1 + ZS2 + 0.5*ZS3 + ZS4	1	1.00	ZS1	
			2	1.00	ZS2	OSTATNÍ STÁLÉ
			3	0.50	ZS3	Sníh
			4	1.00	ZS4	Vítr
KZ20	S Ch	ZS1 + 0.5*ZS3 + ZS4	1	1.00	ZS1	
			2	0.50	ZS3	Sníh
			3	1.00	ZS4	Vítr
KZ21	S Fr	ZS1	1	1.00	ZS1	
KZ22	S Fr	ZS1 + ZS2	1	1.00	ZS1	
			2	1.00	ZS2	OSTATNÍ STÁLÉ
KZ23	S Fr	ZS1 + 0.2*ZS3	1	1.00	ZS1	
			2	0.20	ZS3	Sníh
KZ24	S Fr	ZS1 + ZS2 + 0.2*ZS3	1	1.00	ZS1	
			2	1.00	ZS2	OSTATNÍ STÁLÉ
			3	0.20	ZS3	Sníh
KZ25	S Fr	ZS1 + 0.2*ZS4	1	1.00	ZS1	
			2	0.20	ZS4	Vítr
KZ26	S Fr	ZS1 + ZS2 + 0.2*ZS4	1	1.00	ZS1	
			2	1.00	ZS2	OSTATNÍ STÁLÉ
			3	0.20	ZS4	Vítr
KZ27	S Qp	ZS1	1	1.00	ZS1	
KZ28	S Qp	ZS1 + ZS2	1	1.00	ZS1	
			2	1.00	ZS2	OSTATNÍ STÁLÉ

2.5.2 KOMBINACE ZATÍŽENÍ - PARAMETRY VÝPOČTU

Kombin. zatížení	Označení	Parametry výpočtu		
KZ1	1.35*ZS1	Způsob výpočtu	:	Analýza podle II. řádu (P-Delta)
		Metoda pro řešení systému nelineárních algebraických rovnic	:	Picard
		Možnosti	:	Zohlednit příznivé tahové účinky
			:	Vztáhnout vnitřní síly na přetvořený systém pro:
				Normálové síly N
				Smykové síly V_y a V_z
				Momenty M_y, M_z a M_T
		Aktivovat součinitele tuhosti:	:	Materiály (dílčí souč. spolehlivosti gM)
			:	Průřezy (součinitel pro J, I_y, I_z, A, A_y, A_z)
			:	Pruty (faktor pro GJ, EI_y, EI_z, EA, GA_y, GA_z)
KZ2	1.35*ZS1 + 1.35*ZS2	Způsob výpočtu	:	Analýza podle II. řádu (P-Delta)
		Metoda pro řešení systému nelineárních algebraických rovnic	:	Picard
		Možnosti	:	Zohlednit příznivé tahové účinky
			:	Vztáhnout vnitřní síly na přetvořený systém pro:
				Normálové síly N
				Smykové síly V_y a V_z
				Momenty M_y, M_z a M_T
		Aktivovat součinitele tuhosti:	:	Materiály (dílčí souč. spolehlivosti gM)
			:	Průřezy (součinitel pro J, I_y, I_z, A, A_y, A_z)
			:	Pruty (faktor pro GJ, EI_y, EI_z, EA, GA_y, GA_z)
KZ3	1.35*ZS1 + 1.5*ZS3	Způsob výpočtu	:	Analýza podle II. řádu (P-Delta)
		Metoda pro řešení systému nelineárních algebraických rovnic	:	Picard
		Možnosti	:	Zohlednit příznivé tahové účinky
			:	Vztáhnout vnitřní síly na přetvořený systém pro:
				Normálové síly N
				Smykové síly V_y a V_z
				Momenty M_y, M_z a M_T
		Aktivovat součinitele tuhosti:	:	Materiály (dílčí souč. spolehlivosti gM)
			:	Průřezy (součinitel pro J, I_y, I_z, A, A_y, A_z)
			:	Pruty (faktor pro GJ, EI_y, EI_z, EA, GA_y, GA_z)
KZ4	1.35*ZS1 + 1.35*ZS2 + 1.5*ZS3	Způsob výpočtu	:	Analýza podle II. řádu (P-Delta)

2.5.2 KOMBINACE ZATÍŽENÍ - PARAMETRY VÝPOČTU

Kombin. zatížení	Označení	Parametry výpočtu		
		Metoda pro řešení systému nelineárních algebraických rovnic	:	Picard
		Možnosti	: ☒	Zohlednit příznivé tahové účinky
			: ☒	Vztáhnout vnitřní síly na přetvořený systém pro:
				☒ Normálové síly N
				☒ Smykové síly V_y a V_z
				☒ Momenty M_y, M_z a M_T
		Aktivovat součinitele tuhosti:	: ☒	Materiály (dílčí souč. spolehlivosti γ_M)
			: ☒	Průřezy (součinitel pro J, I_y, I_z, A, A_y, A_z)
			: ☒	Pruty (faktor pro GJ, EI_y, EI_z, EA, GA_y, GA_z)
KZ5	1.35*ZS1 + 1.35*ZS2 + 1.5*ZS3 + 0.9*ZS4	Způsob výpočtu	:	Analýza podle II. řádu (P-Delta)
		Metoda pro řešení systému nelineárních algebraických rovnic	:	Picard
		Možnosti	: ☒	Zohlednit příznivé tahové účinky
			: ☒	Vztáhnout vnitřní síly na přetvořený systém pro:
				☒ Normálové síly N
				☒ Smykové síly V_y a V_z
				☒ Momenty M_y, M_z a M_T
		Aktivovat součinitele tuhosti:	: ☒	Materiály (dílčí souč. spolehlivosti γ_M)
			: ☒	Průřezy (součinitel pro J, I_y, I_z, A, A_y, A_z)
			: ☒	Pruty (faktor pro GJ, EI_y, EI_z, EA, GA_y, GA_z)
KZ6	1.35*ZS1 + 1.5*ZS3 + 0.9*ZS4	Způsob výpočtu	:	Analýza podle II. řádu (P-Delta)
		Metoda pro řešení systému nelineárních algebraických rovnic	:	Picard
		Možnosti	: ☒	Zohlednit příznivé tahové účinky
			: ☒	Vztáhnout vnitřní síly na přetvořený systém pro:
				☒ Normálové síly N
				☒ Smykové síly V_y a V_z
				☒ Momenty M_y, M_z a M_T
		Aktivovat součinitele tuhosti:	: ☒	Materiály (dílčí souč. spolehlivosti γ_M)
			: ☒	Průřezy (součinitel pro J, I_y, I_z, A, A_y, A_z)
			: ☒	Pruty (faktor pro GJ, EI_y, EI_z, EA, GA_y, GA_z)
KZ7	1.35*ZS1 + 1.5*ZS4	Způsob výpočtu	:	Analýza podle II. řádu (P-Delta)
		Metoda pro řešení systému nelineárních algebraických rovnic	:	Picard
		Možnosti	: ☒	Zohlednit příznivé tahové účinky
			: ☒	Vztáhnout vnitřní síly na přetvořený systém pro:
				☒ Normálové síly N
				☒ Smykové síly V_y a V_z
				☒ Momenty M_y, M_z a M_T
		Aktivovat součinitele tuhosti:	: ☒	Materiály (dílčí souč. spolehlivosti γ_M)
			: ☒	Průřezy (součinitel pro J, I_y, I_z, A, A_y, A_z)
			: ☒	Pruty (faktor pro GJ, EI_y, EI_z, EA, GA_y, GA_z)
KZ8	1.35*ZS1 + 1.35*ZS2 + 1.5*ZS4	Způsob výpočtu	:	Analýza podle II. řádu (P-Delta)
		Metoda pro řešení systému nelineárních algebraických rovnic	:	Picard
		Možnosti	: ☒	Zohlednit příznivé tahové účinky
			: ☒	Vztáhnout vnitřní síly na přetvořený systém pro:
				☒ Normálové síly N
				☒ Smykové síly V_y a V_z
				☒ Momenty M_y, M_z a M_T
		Aktivovat součinitele tuhosti:	: ☒	Materiály (dílčí souč. spolehlivosti γ_M)
			: ☒	Průřezy (součinitel pro J, I_y, I_z, A, A_y, A_z)
			: ☒	Pruty (faktor pro GJ, EI_y, EI_z, EA, GA_y, GA_z)
KZ9	1.35*ZS1 + 1.35*ZS2 + 0.75*ZS3 + 1.5*ZS4	Způsob výpočtu	:	Analýza podle II. řádu (P-Delta)
		Metoda pro řešení systému nelineárních algebraických rovnic	:	Picard
		Možnosti	: ☒	Zohlednit příznivé tahové účinky
			: ☒	Vztáhnout vnitřní síly na přetvořený systém pro:
				☒ Normálové síly N
				☒ Smykové síly V_y a V_z
				☒ Momenty M_y, M_z a M_T
		Aktivovat součinitele tuhosti:	: ☒	Materiály (dílčí souč. spolehlivosti γ_M)
			: ☒	Průřezy (součinitel pro J, I_y, I_z, A, A_y, A_z)
			: ☒	Pruty (faktor pro GJ, EI_y, EI_z, EA, GA_y, GA_z)
KZ10	1.35*ZS1 + 0.75*ZS3 + 1.5*ZS4	Způsob výpočtu	:	Analýza podle II. řádu (P-Delta)
		Metoda pro řešení systému nelineárních algebraických rovnic	:	Picard
		Možnosti	: ☒	Zohlednit příznivé tahové účinky
			: ☒	Vztáhnout vnitřní síly na přetvořený systém pro:
				☒ Normálové síly N
				☒ Smykové síly V_y a V_z
				☒ Momenty M_y, M_z a M_T
		Aktivovat součinitele tuhosti:	: ☒	Materiály (dílčí souč. spolehlivosti γ_M)
			: ☒	Průřezy (součinitel pro J, I_y, I_z, A, A_y, A_z)
			: ☒	Pruty (faktor pro GJ, EI_y, EI_z, EA, GA_y, GA_z)
KZ11	ZS1	Způsob výpočtu	:	Analýza podle II. řádu (P-Delta)
		Metoda pro řešení systému nelineárních algebraických rovnic	:	Picard
		Možnosti	: ☒	Zohlednit příznivé tahové účinky
			: ☒	Vztáhnout vnitřní síly na přetvořený systém pro:
				☒ Normálové síly N
				☒ Smykové síly V_y a V_z
				☒ Momenty M_y, M_z a M_T

2.5.2 KOMBINACE ZATÍŽENÍ - PARAMETRY VÝPOČTU

Kombin. zatížení	Označení	Parametry výpočtu	
		Aktivovat součinitele tuhosti:	☒ Materiály (dílčí souč. spolehlivosti γ_M) ☒ Průřezy (součinitel pro J, I_y, I_z, A, A_y, A_z) ☒ Pruty (faktor pro GJ, EI_y, EI_z, EA, GA_y, GA_z)
KZ12	ZS1 + ZS2	Způsob výpočtu	Analýza podle II. řádu (P-Delta)
		Metoda pro řešení systému nelineárních algebraických rovnic	Picard
		Možnosti	☒ Zohlednit příznivé tahové účinky ☒ Vztáhnout vnitřní síly na přetvořený systém pro: ☒ Normálové síly N ☒ Smykové síly V_y a V_z ☒ Momenty M_y, M_z a M_T
		Aktivovat součinitele tuhosti:	☒ Materiály (dílčí souč. spolehlivosti γ_M) ☒ Průřezy (součinitel pro J, I_y, I_z, A, A_y, A_z) ☒ Pruty (faktor pro GJ, EI_y, EI_z, EA, GA_y, GA_z)
KZ13	ZS1 + ZS3	Způsob výpočtu	Analýza podle II. řádu (P-Delta)
		Metoda pro řešení systému nelineárních algebraických rovnic	Picard
		Možnosti	☒ Zohlednit příznivé tahové účinky ☒ Vztáhnout vnitřní síly na přetvořený systém pro: ☒ Normálové síly N ☒ Smykové síly V_y a V_z ☒ Momenty M_y, M_z a M_T
		Aktivovat součinitele tuhosti:	☒ Materiály (dílčí souč. spolehlivosti γ_M) ☒ Průřezy (součinitel pro J, I_y, I_z, A, A_y, A_z) ☒ Pruty (faktor pro GJ, EI_y, EI_z, EA, GA_y, GA_z)
KZ14	ZS1 + ZS2 + ZS3	Způsob výpočtu	Analýza podle II. řádu (P-Delta)
		Metoda pro řešení systému nelineárních algebraických rovnic	Picard
		Možnosti	☒ Zohlednit příznivé tahové účinky ☒ Vztáhnout vnitřní síly na přetvořený systém pro: ☒ Normálové síly N ☒ Smykové síly V_y a V_z ☒ Momenty M_y, M_z a M_T
		Aktivovat součinitele tuhosti:	☒ Materiály (dílčí souč. spolehlivosti γ_M) ☒ Průřezy (součinitel pro J, I_y, I_z, A, A_y, A_z) ☒ Pruty (faktor pro GJ, EI_y, EI_z, EA, GA_y, GA_z)
KZ15	ZS1 + ZS2 + ZS3 + 0.6*ZS4	Způsob výpočtu	Analýza podle II. řádu (P-Delta)
		Metoda pro řešení systému nelineárních algebraických rovnic	Picard
		Možnosti	☒ Zohlednit příznivé tahové účinky ☒ Vztáhnout vnitřní síly na přetvořený systém pro: ☒ Normálové síly N ☒ Smykové síly V_y a V_z ☒ Momenty M_y, M_z a M_T
		Aktivovat součinitele tuhosti:	☒ Materiály (dílčí souč. spolehlivosti γ_M) ☒ Průřezy (součinitel pro J, I_y, I_z, A, A_y, A_z) ☒ Pruty (faktor pro GJ, EI_y, EI_z, EA, GA_y, GA_z)
KZ16	ZS1 + ZS3 + 0.6*ZS4	Způsob výpočtu	Analýza podle II. řádu (P-Delta)
		Metoda pro řešení systému nelineárních algebraických rovnic	Picard
		Možnosti	☒ Zohlednit příznivé tahové účinky ☒ Vztáhnout vnitřní síly na přetvořený systém pro: ☒ Normálové síly N ☒ Smykové síly V_y a V_z ☒ Momenty M_y, M_z a M_T
		Aktivovat součinitele tuhosti:	☒ Materiály (dílčí souč. spolehlivosti γ_M) ☒ Průřezy (součinitel pro J, I_y, I_z, A, A_y, A_z) ☒ Pruty (faktor pro GJ, EI_y, EI_z, EA, GA_y, GA_z)
KZ17	ZS1 + ZS4	Způsob výpočtu	Analýza podle II. řádu (P-Delta)
		Metoda pro řešení systému nelineárních algebraických rovnic	Picard
		Možnosti	☒ Zohlednit příznivé tahové účinky ☒ Vztáhnout vnitřní síly na přetvořený systém pro: ☒ Normálové síly N ☒ Smykové síly V_y a V_z ☒ Momenty M_y, M_z a M_T
		Aktivovat součinitele tuhosti:	☒ Materiály (dílčí souč. spolehlivosti γ_M) ☒ Průřezy (součinitel pro J, I_y, I_z, A, A_y, A_z) ☒ Pruty (faktor pro GJ, EI_y, EI_z, EA, GA_y, GA_z)
KZ18	ZS1 + ZS2 + ZS4	Způsob výpočtu	Analýza podle II. řádu (P-Delta)
		Metoda pro řešení systému nelineárních algebraických rovnic	Picard
		Možnosti	☒ Zohlednit příznivé tahové účinky ☒ Vztáhnout vnitřní síly na přetvořený systém pro: ☒ Normálové síly N ☒ Smykové síly V_y a V_z ☒ Momenty M_y, M_z a M_T
		Aktivovat součinitele tuhosti:	☒ Materiály (dílčí souč. spolehlivosti γ_M) ☒ Průřezy (součinitel pro J, I_y, I_z, A, A_y, A_z) ☒ Pruty (faktor pro GJ, EI_y, EI_z, EA, GA_y, GA_z)
KZ19	ZS1 + ZS2 + 0.5*ZS3 + ZS4	Způsob výpočtu	Analýza podle II. řádu (P-Delta)
		Metoda pro řešení systému nelineárních algebraických rovnic	Picard
		Možnosti	☒ Zohlednit příznivé tahové účinky ☒ Vztáhnout vnitřní síly na přetvořený systém pro: ☒ Normálové síly N

2.5.2 KOMBINACE ZATÍŽENÍ - PARAMETRY VÝPOČTU

Kombin. zatížení	Označení	Parametry výpočtu		
				☒ Smykové síly V_y a V_z
				☒ Momenty M_y, M_z a M_T
		Aktivovat součinitele tuhosti:	: ☒	Materiály (dílčí souč. spolehlivosti γM)
			: ☒	Průřezy (součinitel pro J, I_y, I_z, A, A_y, A_z)
			: ☒	Pruty (faktor pro GJ, EI_y, EI_z, EA, GA_y, GA_z)
KZ20	ZS1 + 0.5*ZS3 + ZS4	Způsob výpočtu	: ☒	Analýza podle II. řádu (P-Delta)
		Metoda pro řešení systému nelineárních algebraických rovnic	: ☒	Picard
		Možnosti	: ☒	Zohlednit příznivé tahové účinky
			: ☒	Vztáhnout vnitřní síly na přetvořený systém pro:
				☒ Normálové síly N
				☒ Smykové síly V_y a V_z
				☒ Momenty M_y, M_z a M_T
		Aktivovat součinitele tuhosti:	: ☒	Materiály (dílčí souč. spolehlivosti γM)
			: ☒	Průřezy (součinitel pro J, I_y, I_z, A, A_y, A_z)
			: ☒	Pruty (faktor pro GJ, EI_y, EI_z, EA, GA_y, GA_z)
KZ21	ZS1	Způsob výpočtu	: ☒	Analýza podle II. řádu (P-Delta)
		Metoda pro řešení systému nelineárních algebraických rovnic	: ☒	Picard
		Možnosti	: ☒	Zohlednit příznivé tahové účinky
			: ☒	Vztáhnout vnitřní síly na přetvořený systém pro:
				☒ Normálové síly N
				☒ Smykové síly V_y a V_z
				☒ Momenty M_y, M_z a M_T
		Aktivovat součinitele tuhosti:	: ☒	Materiály (dílčí souč. spolehlivosti γM)
			: ☒	Průřezy (součinitel pro J, I_y, I_z, A, A_y, A_z)
			: ☒	Pruty (faktor pro GJ, EI_y, EI_z, EA, GA_y, GA_z)
KZ22	ZS1 + ZS2	Způsob výpočtu	: ☒	Analýza podle II. řádu (P-Delta)
		Metoda pro řešení systému nelineárních algebraických rovnic	: ☒	Picard
		Možnosti	: ☒	Zohlednit příznivé tahové účinky
			: ☒	Vztáhnout vnitřní síly na přetvořený systém pro:
				☒ Normálové síly N
				☒ Smykové síly V_y a V_z
				☒ Momenty M_y, M_z a M_T
		Aktivovat součinitele tuhosti:	: ☒	Materiály (dílčí souč. spolehlivosti γM)
			: ☒	Průřezy (součinitel pro J, I_y, I_z, A, A_y, A_z)
			: ☒	Pruty (faktor pro GJ, EI_y, EI_z, EA, GA_y, GA_z)
KZ23	ZS1 + 0.2*ZS3	Způsob výpočtu	: ☒	Analýza podle II. řádu (P-Delta)
		Metoda pro řešení systému nelineárních algebraických rovnic	: ☒	Picard
		Možnosti	: ☒	Zohlednit příznivé tahové účinky
			: ☒	Vztáhnout vnitřní síly na přetvořený systém pro:
				☒ Normálové síly N
				☒ Smykové síly V_y a V_z
				☒ Momenty M_y, M_z a M_T
		Aktivovat součinitele tuhosti:	: ☒	Materiály (dílčí souč. spolehlivosti γM)
			: ☒	Průřezy (součinitel pro J, I_y, I_z, A, A_y, A_z)
			: ☒	Pruty (faktor pro GJ, EI_y, EI_z, EA, GA_y, GA_z)
KZ24	ZS1 + ZS2 + 0.2*ZS3	Způsob výpočtu	: ☒	Analýza podle II. řádu (P-Delta)
		Metoda pro řešení systému nelineárních algebraických rovnic	: ☒	Picard
		Možnosti	: ☒	Zohlednit příznivé tahové účinky
			: ☒	Vztáhnout vnitřní síly na přetvořený systém pro:
				☒ Normálové síly N
				☒ Smykové síly V_y a V_z
				☒ Momenty M_y, M_z a M_T
		Aktivovat součinitele tuhosti:	: ☒	Materiály (dílčí souč. spolehlivosti γM)
			: ☒	Průřezy (součinitel pro J, I_y, I_z, A, A_y, A_z)
			: ☒	Pruty (faktor pro GJ, EI_y, EI_z, EA, GA_y, GA_z)
KZ25	ZS1 + 0.2*ZS4	Způsob výpočtu	: ☒	Analýza podle II. řádu (P-Delta)
		Metoda pro řešení systému nelineárních algebraických rovnic	: ☒	Picard
		Možnosti	: ☒	Zohlednit příznivé tahové účinky
			: ☒	Vztáhnout vnitřní síly na přetvořený systém pro:
				☒ Normálové síly N
				☒ Smykové síly V_y a V_z
				☒ Momenty M_y, M_z a M_T
		Aktivovat součinitele tuhosti:	: ☒	Materiály (dílčí souč. spolehlivosti γM)
			: ☒	Průřezy (součinitel pro J, I_y, I_z, A, A_y, A_z)
			: ☒	Pruty (faktor pro GJ, EI_y, EI_z, EA, GA_y, GA_z)
KZ26	ZS1 + ZS2 + 0.2*ZS4	Způsob výpočtu	: ☒	Analýza podle II. řádu (P-Delta)
		Metoda pro řešení systému nelineárních algebraických rovnic	: ☒	Picard
		Možnosti	: ☒	Zohlednit příznivé tahové účinky
			: ☒	Vztáhnout vnitřní síly na přetvořený systém pro:
				☒ Normálové síly N
				☒ Smykové síly V_y a V_z
				☒ Momenty M_y, M_z a M_T
		Aktivovat součinitele tuhosti:	: ☒	Materiály (dílčí souč. spolehlivosti γM)
			: ☒	Průřezy (součinitel pro J, I_y, I_z, A, A_y, A_z)
			: ☒	Pruty (faktor pro GJ, EI_y, EI_z, EA, GA_y, GA_z)
KZ27	ZS1	Způsob výpočtu	: ☒	Analýza podle II. řádu (P-Delta)
		Metoda pro řešení systému nelineárních algebraických rovnic	: ☒	Picard
		Možnosti	: ☒	Zohlednit příznivé tahové účinky
			: ☒	Vztáhnout vnitřní síly na přetvořený systém p

2.5.2 KOMBINACE ZATÍŽENÍ - PARAMETRY VÝPOČTU

Kombin. zatížení	Označení	Parametry výpočtu	
			pro: ☒ Normálové síly N ☒ Smykové síly V_y a V_z ☒ Momenty M_y, M_z a M_T
		Aktivovat součinitele tuhosti:	: ☒ Materiály (dílčí souč. spolehlivosti γM) : ☒ Průřezy (součinitel pro J, I_y, I_z, A, A_y, A_z) : ☒ Pruty (faktor pro GJ, EI_y, EI_z, EA, GA_y, GA_z)
KZ28	ZS1 + ZS2	Způsob výpočtu	: ☒ Analýza podle II. řádu (P-Delta)
		Metoda pro řešení systému nelineárních algebraických rovnic	: ☒ Picard
		Možnosti	: ☒ Zohlednit příznivé tahové účinky : ☒ Vztáhnout vnitřní síly na přetvořený systém pro: ☒ Normálové síly N ☒ Smykové síly V_y a V_z ☒ Momenty M_y, M_z a M_T
		Aktivovat součinitele tuhosti:	: ☒ Materiály (dílčí souč. spolehlivosti γM) : ☒ Průřezy (součinitel pro J, I_y, I_z, A, A_y, A_z) : ☒ Pruty (faktor pro GJ, EI_y, EI_z, EA, GA_y, GA_z)

2.7 KOMBINACE VÝSLEDKŮ

Kombin. výsledků	Označení	Zatěžování
KV1	MSÚ (STR/GEO) - trvalá/dočasná - rovn. 6.10	KZ1/s nebo do KZ10
KV2	MSP - charakteristická	KZ11/s nebo do KZ20
KV3	MSP - častá	KZ21/s nebo do KZ26
KV4	MSP - kvazistálá	KZ27/s nebo KZ28/s

ZS2
OSTATNÍ STÁLÉ

3.2 ZATÍŽENÍ NA PRUT

ZS2: OSTATNÍ STÁLÉ

č.	Vztaženo na	Na prutech č.	Zatížení typ	Zatížení průběh	Zatížení směr	Vztažná délka	Parametry zatížení Symbol	Hodnota	Jednotka
1	Pruty	1,2	Síla	Konstant.	ZL	Skutečná d.	p	-1.0	kN/m

3.2/1 ZATÍŽENÍ NA PRUTY - EXCENTRICITA ZATÍŽENÍ

ZS2: OSTATNÍ STÁLÉ

č.	Vztaženo na	Na prutech č.	Absolutní odsazení Zač. prutu	Absolutní odsazení Zač. prutu	Absolutní odsazení Kon. prutu	Absolutní odsazení Kon. prutu	Relativní odsazení Zač. prutu	Relativní odsazení Zač. prutu	Relativní odsazení Kon. prutu	Relativní odsazení Kon. prutu
			e_Y [mm]	e_Z [mm]	e_Y [mm]	e_Z [mm]	Osa y	Osa z	Osa y	Osa z
1	Pruty	1,2	0.0	0.0	0.0	0.0	Střed	Střed	Střed	Střed

ZS2: OSTATNÍ STÁLÉ

Izometrie

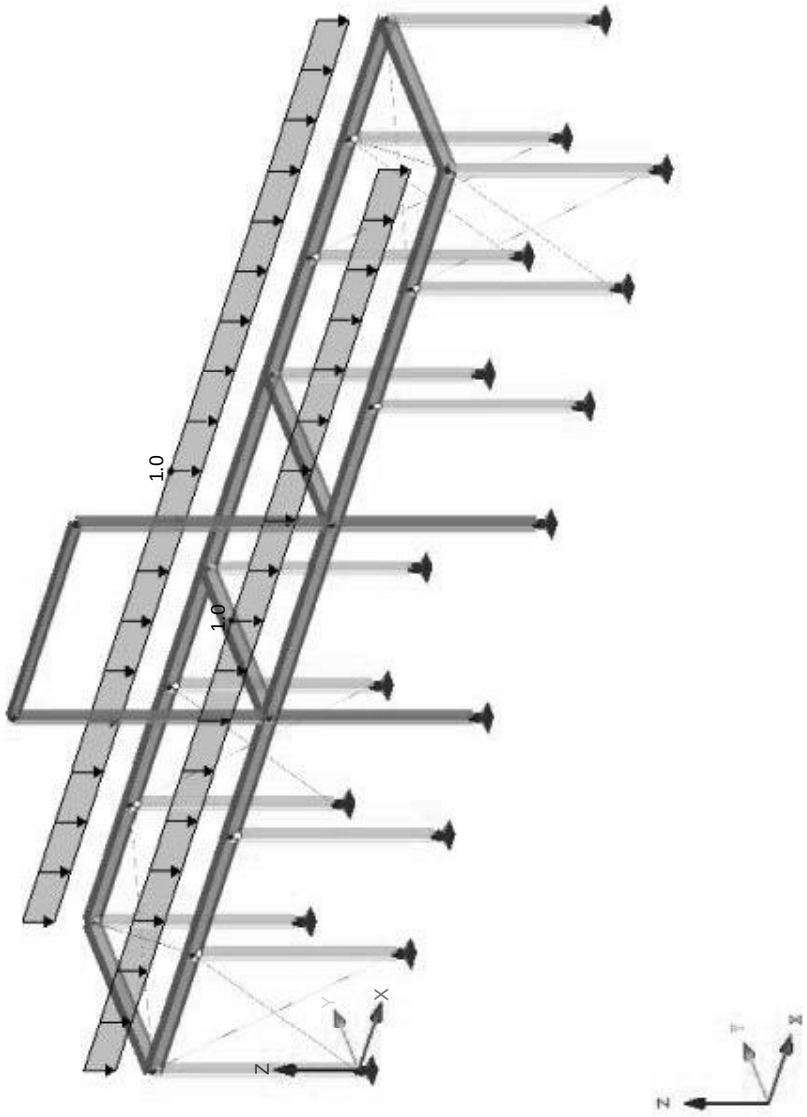

ZS 2: OSTATNÍ STÁLÉ
Zatížení [kN/m]

Průřezy
1: HEA 220;
2: HEA 160;
3: HEB 160;
4: RD 12; Oc

ZS3
Sníh

3.2 ZATÍŽENÍ NA PRUT

ZS3: Sníh

č.	Vztaženo na	Na prutech č.	Zatížení typ	Zatížení průběh	Zatížení směr	Vztažná délka	Parametry zatížení Symbol	Hodnota	Jednotka
1	Pruty	1,2	Síla	Konstant.	ZL	Skutečná d.	p	-1.0	kN/m

3.2/1 ZATÍŽENÍ NA PRUTY - EXCENTRICITA ZATÍŽENÍ

ZS3: Sníh

č.	Vztaženo na	Na prutech č.	Absolutní odsazení Zač. prutu	Zač. prutu	Absolutní odsazení Kon. prutu	Kon. prutu	Relativní odsazení Zač. prutu	Zač. prutu	Relativní odsazení Kon. prutu	Kon. prutu
			e_Y [mm]	e_Z [mm]	e_Y [mm]	e_Z [mm]	Osa y	Osa z	Osa y	Osa z
1	Pruty	1,2	0.0	0.0	0.0	0.0	Střed	Střed	Střed	Střed

ZS3: SNÍH

Izometrie

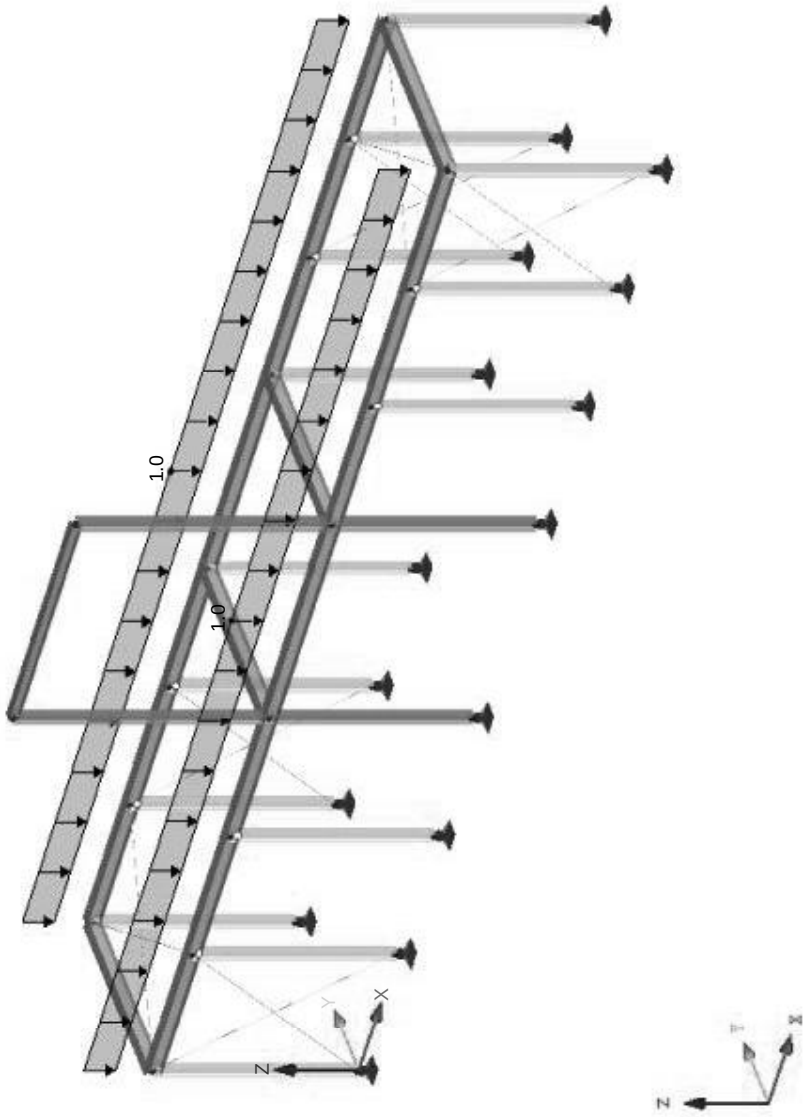

ZS 3: SNÍH
Zatížení [kN/m]

Průřezy
1: HEA 220;
2: HEA 160;
3: HEB 160;
4: RD 12; Oc

ZS4
Vítr

3.2 ZATÍŽENÍ NA PRUT

ZS4: Vítr

č.	Vztaženo na	Na prutech č.	Zatížení typ	Zatížení průběh	Zatížení směr	Vztažná délka	Parametry zatížení Symbol	Hodnota	Jednotka
1	Pruty	20,21	Síla	Konstant.	y	Skutečná d.	p	-0.4	kN/m
2	Pruty	3,4,7,8, 11-14,16,18, 19	Síla	Konstant.	y	Skutečná d.	p	-0.5	kN/m

3.2/1 ZATÍŽENÍ NA PRUTY - EXCENTRICITA ZATÍŽENÍ

ZS4: Vítr

č.	Vztaženo na	Na prutech č.	Absolutní odsazení Zač. prutu	Absolutní odsazení Zač. prutu	Absolutní odsazení Kon. prutu	Absolutní odsazení Kon. prutu	Relativní odsazení Zač. prutu	Relativní odsazení Zač. prutu	Relativní odsazení Kon. prutu	Relativní odsazení Kon. prutu
			e_Y [mm]	e_Z [mm]	e_Y [mm]	e_Z [mm]	Osa y	Osa z	Osa y	Osa z
1	Pruty	20,21	0.0	0.0	0.0	0.0	Střed	Střed	Střed	Střed
2	Pruty	3,4,7,8, 11-14,16, 18,19	0.0	0.0	0.0	0.0	Střed	Střed	Střed	Střed

ZS4: VÍTR

Izometrie

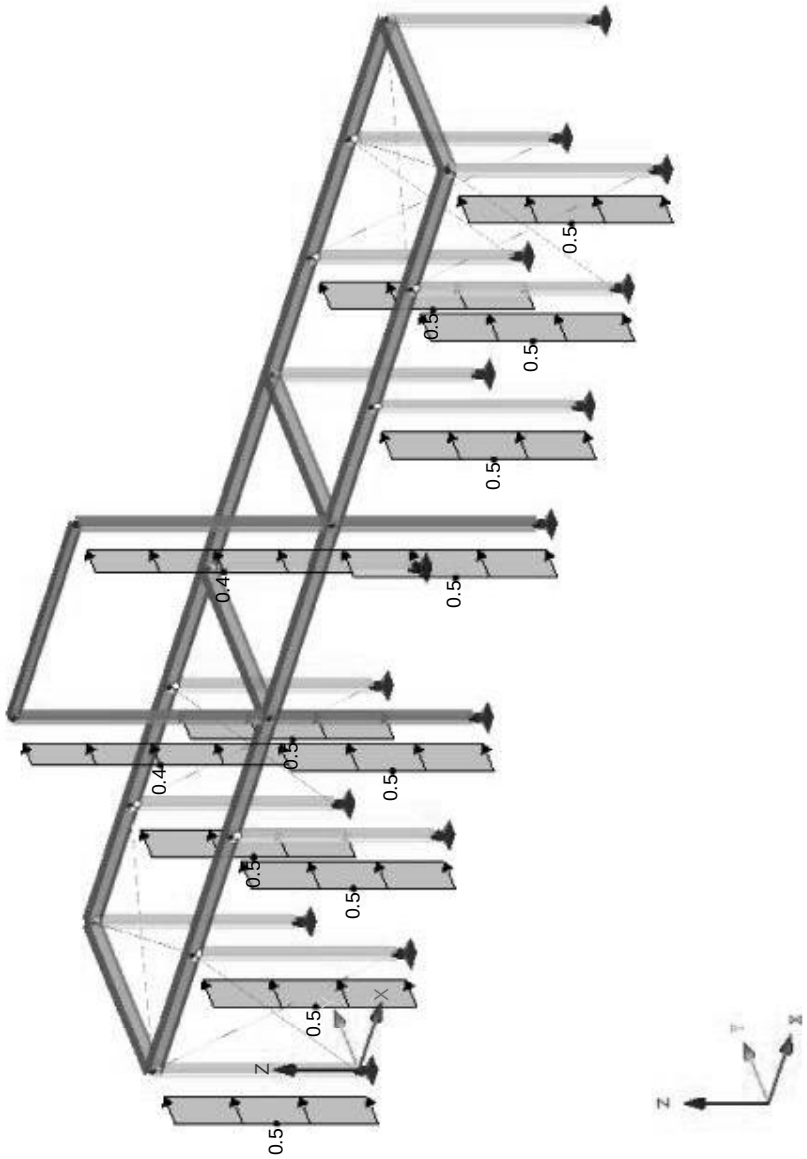

ZS 4: VÍTR
Zatížení [kN/m]

Průřezy
1: HEA 220;
2: HEA 160;
3: HEB 160;
4: RD 12; Oc

4.0 VÝSLEDKY - SOUHRN

	Označení	Hodnota	Jednot	Komentář
Zatěžovací stav ZS1				
	Součet zatížení ve směru X	0.0	kN	
	Součet reakcí v X	0.0	kN	
	Součet zatížení ve směru Y	0.0	kN	
	Součet reakcí v Y	0.0	kN	
	Součet zatížení ve směru Z	-46.6	kN	
	Součet reakcí v Z	-46.6	kN	Odchylka 0.00%
	Výslednice reakcí okolo X	0.0	kNm	V těžišti modelu (X:8803.6, Y:1513.1, Z:2932.7 mm)
	Výslednice reakcí okolo Y	0.0	kNm	V těžišti modelu
	Výslednice reakcí okolo Z	0.0	kNm	V těžišti modelu
	Max. posun ve směru X	-0.0	mm	Prut č. 21, x: 2534 mm
	Max. posun ve směru Y	0.2	mm	Prut č. 17, x: 0 mm
	Max. posun ve směru Z	-0.1	mm	Prut č. 17, x: 1905 mm
	Max. posun vektorový	0.3	mm	Prut č. 17, x: 1905 mm
	Max. pootočení okolo X	-0.0001	rad	Prut č. 2, x: 0 mm
	Max. pootočení okolo Y	-0.0001	rad	Prut č. 17, x: 3334 mm
	Max. pootočení okolo Z	-0.0000	rad	Prut č. 1, x: 13102 mm
	Způsob výpočtu	I. řád		Teorie I. řádu (geometricky lineární výpočet)
	Redukce tuhosti			Průřezy, Pruty, Plochy
	Počet přírůstků zatížení	1		
	Počet iterací	3		
	Maximální hodnota prvku matice tuhosti na diagonále	5.444E+11		
	Minimální hodnota prvku matice tuhosti na diagonále	1.0E+03		
	Determinant matice tuhosti	6.077E+4166		
	Nekonečná norma	1.089E+12		
Zatěžovací stav ZS2 - OSTATNÍ STÁLÉ				
	Součet zatížení ve směru X	0.0	kN	
	Součet reakcí v X	0.0	kN	
	Součet zatížení ve směru Y	0.0	kN	
	Součet reakcí v Y	0.0	kN	
	Součet zatížení ve směru Z	-35.5	kN	
	Součet reakcí v Z	-35.5	kN	Odchylka 0.00%
	Výslednice reakcí okolo X	-7.4	kNm	V těžišti modelu (X:8803.6, Y:1513.1, Z:2932.7 mm)
	Výslednice reakcí okolo Y	0.0	kNm	V těžišti modelu
	Výslednice reakcí okolo Z	0.0	kNm	V těžišti modelu
	Max. posun ve směru X	0.0	mm	Prut č. 9, x: 2013 mm
	Max. posun ve směru Y	0.0	mm	Prut č. 17, x: 0 mm
	Max. posun ve směru Z	-0.1	mm	Prut č. 1, x: 8874 mm
	Max. posun vektorový	0.1	mm	Prut č. 1, x: 8874 mm
	Max. pootočení okolo X	-0.0000	rad	Prut č. 22, x: 1238 mm
	Max. pootočení okolo Y	-0.0000	rad	Prut č. 1, x: 10779 mm
	Max. pootočení okolo Z	-0.0000	rad	Prut č. 1, x: 13102 mm
	Způsob výpočtu	I. řád		Teorie I. řádu (geometricky lineární výpočet)
	Redukce tuhosti			Průřezy, Pruty, Plochy
	Počet přírůstků zatížení	1		
	Počet iterací	2		
	Maximální hodnota prvku matice tuhosti na diagonále	5.444E+11		
	Minimální hodnota prvku matice tuhosti na diagonále	1.0E+03		
	Determinant matice tuhosti	6.077E+4166		
	Nekonečná norma	1.089E+12		
Zatěžovací stav ZS3 - Sníh				
	Součet zatížení ve směru X	0.0	kN	
	Součet reakcí v X	0.0	kN	
	Součet zatížení ve směru Y	0.0	kN	
	Součet reakcí v Y	0.0	kN	
	Součet zatížení ve směru Z	-35.5	kN	
	Součet reakcí v Z	-35.5	kN	Odchylka 0.00%
	Výslednice reakcí okolo X	-7.4	kNm	V těžišti modelu (X:8803.6, Y:1513.1, Z:2932.7 mm)
	Výslednice reakcí okolo Y	0.0	kNm	V těžišti modelu
	Výslednice reakcí okolo Z	0.0	kNm	V těžišti modelu
	Max. posun ve směru X	0.0	mm	Prut č. 9, x: 2013 mm
	Max. posun ve směru Y	0.0	mm	Prut č. 17, x: 0 mm
	Max. posun ve směru Z	-0.1	mm	Prut č. 1, x: 8874 mm
	Max. posun vektorový	0.1	mm	Prut č. 1, x: 8874 mm
	Max. pootočení okolo X	-0.0000	rad	Prut č. 22, x: 1238 mm
	Max. pootočení okolo Y	-0.0000	rad	Prut č. 1, x: 10779 mm
	Max. pootočení okolo Z	-0.0000	rad	Prut č. 1, x: 13102 mm
	Způsob výpočtu	I. řád		Teorie I. řádu (geometricky lineární výpočet)
	Redukce tuhosti			Průřezy, Pruty, Plochy
	Počet přírůstků zatížení	1		
	Počet iterací	2		
	Maximální hodnota prvku matice tuhosti na diagonále	5.444E+11		
	Minimální hodnota prvku matice tuhosti na diagonále	1.0E+03		
	Determinant matice tuhosti	6.077E+4166		
	Nekonečná norma	1.089E+12		
Zatěžovací stav ZS4 - Vítr				
	Součet zatížení ve směru X	0.0	kN	
	Součet reakcí v X	0.0	kN	
	Součet zatížení ve směru Y	21.0	kN	
	Součet reakcí v Y	21.0	kN	Odchylka 0.00%
	Součet zatížení ve směru Z	0.0	kN	
	Součet reakcí v Z	0.0	kN	
	Výslednice reakcí okolo X	15.9	kNm	V těžišti modelu (X:8803.6, Y:1513.1, Z:2932.7 mm)
	Výslednice reakcí okolo Y	0.0	kNm	V těžišti modelu
	Výslednice reakcí okolo Z	-10.5	kNm	V těžišti modelu
	Max. posun ve směru X	0.2	mm	Prut č. 24, x: 1650 mm
	Max. posun ve směru Y	24.5	mm	Prut č. 17, x: 0 mm
	Max. posun ve směru Z	-0.3	mm	Prut č. 22, x: 2063 mm
	Max. posun vektorový	24.5	mm	Prut č. 17, x: 0 mm

4.0 VÝSLEDKY - SOUHRN

	Označení	Hodnota	Jednot	Komentář
	Max. pootočení okolo X	-0.0067	rad	Prut č. 14, x: 0 mm
	Max. pootočení okolo Y	0.0000	rad	Prut č. 9, x: 0 mm
	Max. pootočení okolo Z	-0.0006	rad	Prut č. 4, x: 3220 mm
	Způsob výpočtu	I. řád		Teorie I. řádu (geometricky lineární výpočet)
	Redukce tuhosti			Průřezy, Pruty, Plochy
	Počet přírůstků zatížení	1		
	Počet iterací	3		
	Maximální hodnota prvku matice tuhosti na diagonále	5.444E+11		
	Minimální hodnota prvku matice tuhosti na diagonále	1.0E+03		
	Determinant matice tuhosti	5.516E+4167		
	Nekonečná norma	1.089E+12		

Kombinace zatížení KZ1 - 1.35*ZS1				
	Součet zatížení ve směru X	0.0	kN	
	Součet reakcí v X	0.0	kN	
	Součet zatížení ve směru Y	0.0	kN	
	Součet reakcí v Y	0.0	kN	
	Součet zatížení ve směru Z	-62.9	kN	
	Součet reakcí v Z	-62.9	kN	Odchylka 0.00%
	Výslednice reakcí okolo X	-0.0025	kNm	V těžišti modelu (X:8803.5700, Y:1513.0800, Z:2932.7100 mm)
	Výslednice reakcí okolo Y	0.0000	kNm	V těžišti modelu
	Výslednice reakcí okolo Z	0.0000	kNm	V těžišti modelu
	Max. posun ve směru X	-0.0	mm	Prut č. 21, x: 2534 mm
	Max. posun ve směru Y	0.3	mm	Prut č. 17, x: 0 mm
	Max. posun ve směru Z	-0.2	mm	Prut č. 17, x: 1905 mm
	Max. posun vektorový	0.4	mm	Prut č. 17, x: 1905 mm
	Max. pootočení okolo X	-0.0001	rad	Prut č. 2, x: 0 mm
	Max. pootočení okolo Y	-0.0001	rad	Prut č. 17, x: 3334 mm
	Max. pootočení okolo Z	-0.0000	rad	Prut č. 1, x: 13102 mm
	Způsob výpočtu	II. řád		Teorie II. řádu (nelineární výpočet podle Timoshenka)
	Vnitřní síly vztažené na deformovaný systém pro...	☒		N, V_y, V_z, M_y, M_z, M_T
	Redukce tuhosti			Materiály, Průřezy, Pruty, Plochy
	Zohlednit příznivé působení tahových sil	☒		
	Zpětné dělení výsledků součinitelem KZ	☐		
	Počet přírůstků zatížení	1		
	Počet iterací	3		
	Maximální hodnota prvku matice tuhosti na diagonále	5.444E+11		
	Minimální hodnota prvku matice tuhosti na diagonále	1.0E+03		
	Determinant matice tuhosti	5.486E+4166		
	Nekonečná norma	1.089E+12		

Kombinace zatížení KZ2 - 1.35*ZS1 + 1.35*ZS2				
	Součet zatížení ve směru X	0.0	kN	
	Součet reakcí v X	0.0	kN	
	Součet zatížení ve směru Y	0.0	kN	
	Součet reakcí v Y	0.0	kN	
	Součet zatížení ve směru Z	-110.8	kN	
	Součet reakcí v Z	-110.8	kN	Odchylka 0.00%
	Výslednice reakcí okolo X	-9.9539	kNm	V těžišti modelu (X:8803.5700, Y:1513.0800, Z:2932.7100 mm)
	Výslednice reakcí okolo Y	0.0090	kNm	V těžišti modelu
	Výslednice reakcí okolo Z	0.0000	kNm	V těžišti modelu
	Max. posun ve směru X	0.0	mm	Prut č. 9, x: 2013 mm
	Max. posun ve směru Y	0.3	mm	Prut č. 17, x: 0 mm
	Max. posun ve směru Z	-0.2	mm	Prut č. 1, x: 8874 mm
	Max. posun vektorový	0.4	mm	Prut č. 17, x: 1905 mm
	Max. pootočení okolo X	-0.0001	rad	Prut č. 2, x: 0 mm
	Max. pootočení okolo Y	-0.0001	rad	Prut č. 17, x: 3334 mm
	Max. pootočení okolo Z	-0.0000	rad	Prut č. 1, x: 13102 mm
	Způsob výpočtu	II. řád		Teorie II. řádu (nelineární výpočet podle Timoshenka)
	Vnitřní síly vztažené na deformovaný systém pro...	☒		N, V_y, V_z, M_y, M_z, M_T
	Redukce tuhosti			Materiály, Průřezy, Pruty, Plochy
	Zohlednit příznivé působení tahových sil	☒		
	Zpětné dělení výsledků součinitelem KZ	☐		
	Počet přírůstků zatížení	1		
	Počet iterací	3		
	Maximální hodnota prvku matice tuhosti na diagonále	5.444E+11		
	Minimální hodnota prvku matice tuhosti na diagonále	1.0E+03		
	Determinant matice tuhosti	5.060E+4166		
	Nekonečná norma	1.089E+12		

Kombinace zatížení KZ3 - 1.35*ZS1 + 1.5*ZS3				
	Součet zatížení ve směru X	0.0	kN	
	Součet reakcí v X	0.0	kN	
	Součet zatížení ve směru Y	0.0	kN	
	Součet reakcí v Y	0.0	kN	
	Součet zatížení ve směru Z	-116.1	kN	
	Součet reakcí v Z	-116.1	kN	Odchylka 0.00%
	Výslednice reakcí okolo X	-11.0596	kNm	V těžišti modelu (X:8803.5700, Y:1513.0800, Z:2932.7100 mm)
	Výslednice reakcí okolo Y	0.0099	kNm	V těžišti modelu
	Výslednice reakcí okolo Z	0.0000	kNm	V těžišti modelu
	Max. posun ve směru X	0.0	mm	Prut č. 9, x: 2013 mm
	Max. posun ve směru Y	0.3	mm	Prut č. 17, x: 0 mm
	Max. posun ve směru Z	-0.2	mm	Prut č. 1, x: 8874 mm
	Max. posun vektorový	0.4	mm	Prut č. 17, x: 1905 mm
	Max. pootočení okolo X	-0.0001	rad	Prut č. 2, x: 0 mm
	Max. pootočení okolo Y	-0.0001	rad	Prut č. 17, x: 3334 mm
	Max. pootočení okolo Z	-0.0000	rad	Prut č. 1, x: 13102 mm
	Způsob výpočtu	II. řád		Teorie II. řádu (nelineární výpočet podle Timoshenka)
	Vnitřní síly vztažené na deformovaný systém p	☒		N, V_y, V_z, M_y, M_z, M_T

4.0 VÝSLEDKY - SOUHRN

	Označení	Hodnota	Jednot	Komentář
	pro...			
	Redukce tuhosti			Materiály, Průřezy, Pruty, Plochy
	Zohlednit příznivé působení tahových sil	☒		
	Zpětné dělení výsledků součinitelem KZ	☐		
	Počet přírůstků zatížení	1		
	Počet iterací	3		
	Maximální hodnota prvku matice tuhosti na diagonále	5.444E+11		
	Minimální hodnota prvku matice tuhosti na diagonále	1.0E+03		
	Determinant matice tuhosti	5.015E+4166		
	Nekonečná norma	1.089E+12		
Kombinace zatížení KZ4 - 1.35*ZS1 + 1.35*ZS2 + 1.5*ZS3				
	Součet zatížení ve směru X	0.0	kN	
	Součet reakcí v X	0.0	kN	
	Součet zatížení ve směru Y	0.0	kN	
	Součet reakcí v Y	0.0	kN	
	Součet zatížení ve směru Z	-164.0	kN	
	Součet reakcí v Z	-164.0	kN	Odchylka 0.00%
	Výslednice reakcí okolo X	-21.0115	kNm	V těžišti modelu (X:8803.5700, Y:1513.0800, Z:2932.7100 mm)
	Výslednice reakcí okolo Y	0.0184	kNm	V těžišti modelu
	Výslednice reakcí okolo Z	0.0000	kNm	V těžišti modelu
	Max. posun ve směru X	0.1	mm	Prut č. 9, x: 2013 mm
	Max. posun ve směru Y	0.3	mm	Prut č. 17, x: 0 mm
	Max. posun ve směru Z	-0.4	mm	Prut č. 1, x: 8874 mm
	Max. posun vektorový	0.4	mm	Prut č. 1, x: 8874 mm
	Max. pootočení okolo X	-0.0001	rad	Prut č. 2, x: 0 mm
	Max. pootočení okolo Y	-0.0001	rad	Prut č. 1, x: 10779 mm
	Max. pootočení okolo Z	-0.0000	rad	Prut č. 1, x: 13102 mm
	Způsob výpočtu	II. řád		Teorie II. řádu (nelineární výpočet podle Timoshenka)
	Vnitřní síly vztažené na deformovaný systém	☒		N, V_y, V_z, M_y, M_z, M_T
	pro...			
	Redukce tuhosti			Materiály, Průřezy, Pruty, Plochy
	Zohlednit příznivé působení tahových sil	☒		
	Zpětné dělení výsledků součinitelem KZ	☐		
	Počet přírůstků zatížení	1		
	Počet iterací	3		
	Maximální hodnota prvku matice tuhosti na diagonále	5.444E+11		
	Minimální hodnota prvku matice tuhosti na diagonále	1.0E+03		
	Determinant matice tuhosti	4.622E+4166		
	Nekonečná norma	1.089E+12		
Kombinace zatížení KZ5 - 1.35*ZS1 + 1.35*ZS2 + 1.5*ZS3 + 0.9*ZS4				
	Součet zatížení ve směru X	0.0	kN	
	Součet reakcí v X	0.0	kN	
	Součet zatížení ve směru Y	18.9	kN	
	Součet reakcí v Y	18.9	kN	Odchylka 0.00%
	Součet zatížení ve směru Z	-164.0	kN	
	Součet reakcí v Z	-164.0	kN	Odchylka 0.00%
	Výslednice reakcí okolo X	-8.7525	kNm	V těžišti modelu (X:8803.5700, Y:1513.0800, Z:2932.7100 mm)
	Výslednice reakcí okolo Y	0.0214	kNm	V těžišti modelu
	Výslednice reakcí okolo Z	-9.4950	kNm	V těžišti modelu
	Max. posun ve směru X	0.2	mm	Prut č. 24, x: 1650 mm
	Max. posun ve směru Y	23.3	mm	Prut č. 17, x: 0 mm
	Max. posun ve směru Z	-0.4	mm	Prut č. 1, x: 8874 mm
	Max. posun vektorový	23.3	mm	Prut č. 17, x: 0 mm
	Max. pootočení okolo X	-0.0064	rad	Prut č. 10, x: 0 mm
	Max. pootočení okolo Y	0.0001	rad	Prut č. 1, x: 6969 mm
	Max. pootočení okolo Z	-0.0006	rad	Prut č. 4, x: 3220 mm
	Způsob výpočtu	II. řád		Teorie II. řádu (nelineární výpočet podle Timoshenka)
	Vnitřní síly vztažené na deformovaný systém	☒		N, V_y, V_z, M_y, M_z, M_T
	pro...			
	Redukce tuhosti			Materiály, Průřezy, Pruty, Plochy
	Zohlednit příznivé působení tahových sil	☒		
	Zpětné dělení výsledků součinitelem KZ	☐		
	Počet přírůstků zatížení	1		
	Počet iterací	3		
	Maximální hodnota prvku matice tuhosti na diagonále	5.444E+11		
	Minimální hodnota prvku matice tuhosti na diagonále	1.0E+03		
	Determinant matice tuhosti	4.289E+4167		
	Nekonečná norma	1.089E+12		
Kombinace zatížení KZ6 - 1.35*ZS1 + 1.5*ZS3 + 0.9*ZS4				
	Součet zatížení ve směru X	0.0	kN	
	Součet reakcí v X	0.0	kN	
	Součet zatížení ve směru Y	18.9	kN	
	Součet reakcí v Y	18.9	kN	Odchylka 0.00%
	Součet zatížení ve směru Z	-116.1	kN	
	Součet reakcí v Z	-116.1	kN	Odchylka 0.00%
	Výslednice reakcí okolo X	1.8601	kNm	V těžišti modelu (X:8803.5700, Y:1513.0800, Z:2932.7100 mm)
	Výslednice reakcí okolo Y	0.0119	kNm	V těžišti modelu
	Výslednice reakcí okolo Z	-9.4948	kNm	V těžišti modelu
	Max. posun ve směru X	0.2	mm	Prut č. 24, x: 1650 mm
	Max. posun ve směru Y	23.0	mm	Prut č. 17, x: 0 mm
	Max. posun ve směru Z	-0.4	mm	Prut č. 22, x: 2063 mm
	Max. posun vektorový	23.0	mm	Prut č. 17, x: 0 mm
	Max. pootočení okolo X	-0.0063	rad	Prut č. 10, x: 0 mm
	Max. pootočení okolo Y	-0.0001	rad	Prut č. 17, x: 3334 mm
	Max. pootočení okolo Z	-0.0005	rad	Prut č. 4, x: 3220 mm
	Způsob výpočtu	II. řád		Teorie II. řádu (nelineární výpočet podle Timoshenka)
	Vnitřní síly vztažené na deformovaný systém	☒		N, V_y, V_z, M_y, M_z, M_T
	pro...			
	Redukce tuhosti			Materiály, Průřezy, Pruty, Plochy

4.0 VÝSLEDKY - SOUHRN

	Označení	Hodnota	Jednot	Komentář
	Zohlednit příznivé působení tahových sil	☒		
	Zpětné dělení výsledků součinitelem KZ	☐		
	Počet přírůstků zatížení	1		
	Počet iterací	3		
	Maximální hodnota prvku matice tuhosti na diagonále	5.444E+11		
	Minimální hodnota prvku matice tuhosti na diagonále	1.0E+03		
	Determinant matice tuhosti	4.616E+4167		
	Nekonečná norma	1.089E+12		
Kombinace zatížení KZ7 - 1.35*ZS1 + 1.5*ZS4				
	Součet zatížení ve směru X	0.0	kN	
	Součet reakcí v X	0.0	kN	
	Součet zatížení ve směru Y	31.4	kN	
	Součet reakcí v Y	31.4	kN	Odchylka 0.00%
	Součet zatížení ve směru Z	-62.9	kN	
	Součet reakcí v Z	-62.9	kN	Odchylka 0.00%
	Výslednice reakcí okolo X	22.7088	kNm	V těžišti modelu (X:8803.5700, Y:1513.0800, Z:2932.7100 mm)
	Výslednice reakcí okolo Y	0.0038	kNm	V těžišti modelu
	Výslednice reakcí okolo Z	-15.8248	kNm	V těžišti modelu
	Max. posun ve směru X	0.3	mm	Prut č. 24, x: 1650 mm
	Max. posun ve směru Y	37.6	mm	Prut č. 17, x: 0 mm
	Max. posun ve směru Z	-0.5	mm	Prut č. 22, x: 2063 mm
	Max. posun vektorový	37.6	mm	Prut č. 17, x: 0 mm
	Max. pootočení okolo X	-0.0102	rad	Prut č. 10, x: 0 mm
	Max. pootočení okolo Y	-0.0001	rad	Prut č. 17, x: 3334 mm
	Max. pootočení okolo Z	-0.0009	rad	Prut č. 4, x: 3220 mm
	Způsob výpočtu	II. řád		Teorie II. řádu (nelineární výpočet podle Timoshenka)
	Vnitřní síly vztažené na deformovaný systém pro...	☒		N, V_y, V_z, M_y, M_z, M_T
	Redukce tuhosti			Materiály, Průřezy, Pruty, Plochy
	Zohlednit příznivé působení tahových sil	☒		
	Zpětné dělení výsledků součinitelem KZ	☐		
	Počet přírůstků zatížení	1		
	Počet iterací	3		
	Maximální hodnota prvku matice tuhosti na diagonále	5.444E+11		
	Minimální hodnota prvku matice tuhosti na diagonále	1.0E+03		
	Determinant matice tuhosti	4.993E+4167		
	Nekonečná norma	1.089E+12		
Kombinace zatížení KZ8 - 1.35*ZS1 + 1.35*ZS2 + 1.5*ZS4				
	Součet zatížení ve směru X	0.0	kN	
	Součet reakcí v X	0.0	kN	
	Součet zatížení ve směru Y	31.4	kN	
	Součet reakcí v Y	31.4	kN	Odchylka 0.00%
	Součet zatížení ve směru Z	-110.8	kN	
	Součet reakcí v Z	-110.8	kN	Odchylka 0.00%
	Výslednice reakcí okolo X	11.6988	kNm	V těžišti modelu (X:8803.5700, Y:1513.0800, Z:2932.7100 mm)
	Výslednice reakcí okolo Y	0.0135	kNm	V těžišti modelu
	Výslednice reakcí okolo Z	-15.8252	kNm	V těžišti modelu
	Max. posun ve směru X	0.3	mm	Prut č. 24, x: 1650 mm
	Max. posun ve směru Y	38.1	mm	Prut č. 17, x: 0 mm
	Max. posun ve směru Z	-0.6	mm	Prut č. 22, x: 2063 mm
	Max. posun vektorový	38.1	mm	Prut č. 17, x: 0 mm
	Max. pootočení okolo X	-0.0104	rad	Prut č. 10, x: 0 mm
	Max. pootočení okolo Y	-0.0001	rad	Prut č. 17, x: 3334 mm
	Max. pootočení okolo Z	-0.0009	rad	Prut č. 4, x: 3220 mm
	Způsob výpočtu	II. řád		Teorie II. řádu (nelineární výpočet podle Timoshenka)
	Vnitřní síly vztažené na deformovaný systém pro...	☒		N, V_y, V_z, M_y, M_z, M_T
	Redukce tuhosti			Materiály, Průřezy, Pruty, Plochy
	Zohlednit příznivé působení tahových sil	☒		
	Zpětné dělení výsledků součinitelem KZ	☐		
	Počet přírůstků zatížení	1		
	Počet iterací	3		
	Maximální hodnota prvku matice tuhosti na diagonále	5.444E+11		
	Minimální hodnota prvku matice tuhosti na diagonále	1.0E+03		
	Determinant matice tuhosti	4.642E+4167		
	Nekonečná norma	1.089E+12		
Kombinace zatížení KZ9 - 1.35*ZS1 + 1.35*ZS2 + 0.75*ZS3 + 1.5*ZS4				
	Součet zatížení ve směru X	0.0	kN	
	Součet reakcí v X	0.0	kN	
	Součet zatížení ve směru Y	31.4	kN	
	Součet reakcí v Y	31.4	kN	Odchylka 0.00%
	Součet zatížení ve směru Z	-137.4	kN	
	Součet reakcí v Z	-137.4	kN	Odchylka 0.00%
	Výslednice reakcí okolo X	5.5656	kNm	V těžišti modelu (X:8803.5700, Y:1513.0800, Z:2932.7100 mm)
	Výslednice reakcí okolo Y	0.0193	kNm	V těžišti modelu
	Výslednice reakcí okolo Z	-15.8254	kNm	V těžišti modelu
	Max. posun ve směru X	0.3	mm	Prut č. 24, x: 1650 mm
	Max. posun ve směru Y	38.3	mm	Prut č. 17, x: 0 mm
	Max. posun ve směru Z	-0.6	mm	Prut č. 22, x: 2063 mm
	Max. posun vektorový	38.3	mm	Prut č. 17, x: 0 mm
	Max. pootočení okolo X	-0.0105	rad	Prut č. 10, x: 0 mm
	Max. pootočení okolo Y	0.0001	rad	Prut č. 9, x: 0 mm
	Max. pootočení okolo Z	-0.0009	rad	Prut č. 4, x: 3220 mm
	Způsob výpočtu	II. řád		Teorie II. řádu (nelineární výpočet podle Timoshenka)
	Vnitřní síly vztažené na deformovaný systém pro...	☒		N, V_y, V_z, M_y, M_z, M_T
	Redukce tuhosti			Materiály, Průřezy, Pruty, Plochy
	Zohlednit příznivé působení tahových sil	☒		

4.0 VÝSLEDKY - SOUHRN

	Označení	Hodnota	Jednot	Komentář
	Zpětné dělení výsledků součinitelem KZ	☐		
	Počet přírůstků zatížení	1		
	Počet iterací	3		
	Maximální hodnota prvku matice tuhosti na diagonále	5.444E+11		
	Minimální hodnota prvku matice tuhosti na diagonále	1.0E+03		
	Determinant matice tuhosti	4.457E+4167		
	Nekonečná norma	1.089E+12		
Kombinace zatížení KZ10 - 1.35*ZS1 + 0.75*ZS3 + 1.5*ZS4				
	Součet zatížení ve směru X	0.0	kN	
	Součet reakcí v X	0.0	kN	
	Součet zatížení ve směru Y	31.4	kN	
	Součet reakcí v Y	31.4	kN	Odchylka 0.00%
	Součet zatížení ve směru Z	-89.5	kN	
	Součet reakcí v Z	-89.5	kN	Odchylka 0.00%
	Výslednice reakcí okolo X	16.5968	kNm	V těžišti modelu (X:8803.5700, Y:1513.0800, Z:2932.7100 mm)
	Výslednice reakcí okolo Y	0.0091	kNm	V těžišti modelu
	Výslednice reakcí okolo Z	-15.8250	kNm	V těžišti modelu
	Max. posun ve směru X	0.3	mm	Prut č. 24, x: 1650 mm
	Max. posun ve směru Y	37.9	mm	Prut č. 17, x: 0 mm
	Max. posun ve směru Z	-0.6	mm	Prut č. 22, x: 2063 mm
	Max. posun vektorový	37.9	mm	Prut č. 17, x: 0 mm
	Max. pootočení okolo X	-0.0103	rad	Prut č. 10, x: 0 mm
	Max. pootočení okolo Y	-0.0001	rad	Prut č. 17, x: 3334 mm
	Max. pootočení okolo Z	-0.0009	rad	Prut č. 4, x: 3220 mm
	Způsob výpočtu	II. řád		Teorie II. řádu (nelineární výpočet podle Timoshenka)
	Vnitřní síly vztažené na deformovaný systém pro...	☒		N, V_y, V_z, M_y, M_z, M_T
	Redukce tuhosti			Materiály, Průřezy, Pruty, Plochy
	Zohlednit příznivé působení tahových sil	☒		
	Zpětné dělení výsledků součinitelem KZ	☐		
	Počet přírůstků zatížení	1		
	Počet iterací	3		
	Maximální hodnota prvku matice tuhosti na diagonále	5.444E+11		
	Minimální hodnota prvku matice tuhosti na diagonále	1.0E+03		
	Determinant matice tuhosti	4.795E+4167		
	Nekonečná norma	1.089E+12		
Kombinace zatížení KZ11 - ZS1				
	Součet zatížení ve směru X	0.0	kN	
	Součet reakcí v X	0.0	kN	
	Součet zatížení ve směru Y	0.0	kN	
	Součet reakcí v Y	0.0	kN	
	Součet zatížení ve směru Z	-46.6	kN	
	Součet reakcí v Z	-46.6	kN	Odchylka 0.00%
	Výslednice reakcí okolo X	-0.0013	kNm	V těžišti modelu (X:8803.5700, Y:1513.0800, Z:2932.7100 mm)
	Výslednice reakcí okolo Y	0.0000	kNm	V těžišti modelu
	Výslednice reakcí okolo Z	0.0000	kNm	V těžišti modelu
	Max. posun ve směru X	-0.0	mm	Prut č. 21, x: 2534 mm
	Max. posun ve směru Y	0.2	mm	Prut č. 17, x: 0 mm
	Max. posun ve směru Z	-0.1	mm	Prut č. 17, x: 1905 mm
	Max. posun vektorový	0.3	mm	Prut č. 17, x: 1905 mm
	Max. pootočení okolo X	-0.0001	rad	Prut č. 2, x: 0 mm
	Max. pootočení okolo Y	-0.0001	rad	Prut č. 17, x: 3334 mm
	Max. pootočení okolo Z	-0.0000	rad	Prut č. 1, x: 13102 mm
	Způsob výpočtu	II. řád		Teorie II. řádu (nelineární výpočet podle Timoshenka)
	Vnitřní síly vztažené na deformovaný systém pro...	☒		N, V_y, V_z, M_y, M_z, M_T
	Redukce tuhosti			Materiály, Průřezy, Pruty, Plochy
	Zohlednit příznivé působení tahových sil	☒		
	Zpětné dělení výsledků součinitelem KZ	☐		
	Počet přírůstků zatížení	1		
	Počet iterací	3		
	Maximální hodnota prvku matice tuhosti na diagonále	5.444E+11		
	Minimální hodnota prvku matice tuhosti na diagonále	1.0E+03		
	Determinant matice tuhosti	5.634E+4166		
	Nekonečná norma	1.089E+12		
Kombinace zatížení KZ12 - ZS1 + ZS2				
	Součet zatížení ve směru X	0.0	kN	
	Součet reakcí v X	0.0	kN	
	Součet zatížení ve směru Y	0.0	kN	
	Součet reakcí v Y	0.0	kN	
	Součet zatížení ve směru Z	-82.1	kN	
	Součet reakcí v Z	-82.1	kN	Odchylka 0.00%
	Výslednice reakcí okolo X	-7.3725	kNm	V těžišti modelu (X:8803.5700, Y:1513.0800, Z:2932.7100 mm)
	Výslednice reakcí okolo Y	0.0068	kNm	V těžišti modelu
	Výslednice reakcí okolo Z	0.0000	kNm	V těžišti modelu
	Max. posun ve směru X	0.0	mm	Prut č. 9, x: 2013 mm
	Max. posun ve směru Y	0.2	mm	Prut č. 17, x: 0 mm
	Max. posun ve směru Z	-0.2	mm	Prut č. 1, x: 8874 mm
	Max. posun vektorový	0.3	mm	Prut č. 17, x: 1905 mm
	Max. pootočení okolo X	-0.0001	rad	Prut č. 2, x: 0 mm
	Max. pootočení okolo Y	-0.0001	rad	Prut č. 17, x: 3334 mm
	Max. pootočení okolo Z	-0.0000	rad	Prut č. 1, x: 13102 mm
	Způsob výpočtu	II. řád		Teorie II. řádu (nelineární výpočet podle Timoshenka)
	Vnitřní síly vztažené na deformovaný systém pro...	☒		N, V_y, V_z, M_y, M_z, M_T
	Redukce tuhosti			Materiály, Průřezy, Pruty, Plochy
	Zohlednit příznivé působení tahových sil	☒		
	Zpětné dělení výsledků součinitelem KZ	☐		

4.0 VÝSLEDKY - SOUHRN

	Označení	Hodnota	Jednot	Komentář
	Počet přírůstků zatížení	1		
	Počet iterací	3		
	Maximální hodnota prvku matice tuhosti na diagonále	5.444E+11		
	Minimální hodnota prvku matice tuhosti na diagonále	1.0E+03		
	Determinant matice tuhosti	5.307E+4166		
	Nekonečná norma	1.089E+12		
Kombinace zatížení KZ13 - ZS1 + ZS3				
	Součet zatížení ve směru X	0.0	kN	
	Součet reakcí v X	0.0	kN	
	Součet zatížení ve směru Y	0.0	kN	
	Součet reakcí v Y	0.0	kN	
	Součet zatížení ve směru Z	-82.1	kN	
	Součet reakcí v Z	-82.1	kN	Odchylka 0.00%
	Výslednice reakcí okolo X	-7.3725	kNm	V těžišti modelu (X:8803.5700, Y:1513.0800, Z:2932.7100 mm)
	Výslednice reakcí okolo Y	0.0068	kNm	V těžišti modelu
	Výslednice reakcí okolo Z	0.0000	kNm	V těžišti modelu
	Max. posun ve směru X	0.0	mm	Prut č. 9, x: 2013 mm
	Max. posun ve směru Y	0.2	mm	Prut č. 17, x: 0 mm
	Max. posun ve směru Z	-0.2	mm	Prut č. 1, x: 8874 mm
	Max. posun vektorový	0.3	mm	Prut č. 17, x: 1905 mm
	Max. pootočení okolo X	-0.0001	rad	Prut č. 2, x: 0 mm
	Max. pootočení okolo Y	-0.0001	rad	Prut č. 17, x: 3334 mm
	Max. pootočení okolo Z	-0.0000	rad	Prut č. 1, x: 13102 mm
	Způsob výpočtu	II. řád		Teorie II. řádu (nelineární výpočet podle Timoshenka)
	Vnitřní síly vztažené na deformovaný systém pro...	☒		N, V_y, V_z, M_y, M_z, M_T
	Redukce tuhosti			Materiály, Průřezy, Pruty, Plochy
	Zohlednit příznivé působení tahových sil	☒		
	Zpětné dělení výsledků součinitelem KZ	☐		
	Počet přírůstků zatížení	1		
	Počet iterací	3		
	Maximální hodnota prvku matice tuhosti na diagonále	5.444E+11		
	Minimální hodnota prvku matice tuhosti na diagonále	1.0E+03		
	Determinant matice tuhosti	5.307E+4166		
	Nekonečná norma	1.089E+12		
Kombinace zatížení KZ14 - ZS1 + ZS2 + ZS3				
	Součet zatížení ve směru X	0.0	kN	
	Součet reakcí v X	0.0	kN	
	Součet zatížení ve směru Y	0.0	kN	
	Součet reakcí v Y	0.0	kN	
	Součet zatížení ve směru Z	-117.6	kN	
	Součet reakcí v Z	-117.6	kN	Odchylka 0.00%
	Výslednice reakcí okolo X	-14.7440	kNm	V těžišti modelu (X:8803.5700, Y:1513.0800, Z:2932.7100 mm)
	Výslednice reakcí okolo Y	0.0135	kNm	V těžišti modelu
	Výslednice reakcí okolo Z	0.0000	kNm	V těžišti modelu
	Max. posun ve směru X	0.1	mm	Prut č. 9, x: 2013 mm
	Max. posun ve směru Y	0.3	mm	Prut č. 17, x: 0 mm
	Max. posun ve směru Z	-0.3	mm	Prut č. 1, x: 8874 mm
	Max. posun vektorový	0.3	mm	Prut č. 17, x: 1905 mm
	Max. pootočení okolo X	-0.0001	rad	Prut č. 2, x: 0 mm
	Max. pootočení okolo Y	-0.0001	rad	Prut č. 1, x: 10779 mm
	Max. pootočení okolo Z	-0.0000	rad	Prut č. 1, x: 13102 mm
	Způsob výpočtu	II. řád		Teorie II. řádu (nelineární výpočet podle Timoshenka)
	Vnitřní síly vztažené na deformovaný systém pro...	☒		N, V_y, V_z, M_y, M_z, M_T
	Redukce tuhosti			Materiály, Průřezy, Pruty, Plochy
	Zohlednit příznivé působení tahových sil	☒		
	Zpětné dělení výsledků součinitelem KZ	☐		
	Počet přírůstků zatížení	1		
	Počet iterací	3		
	Maximální hodnota prvku matice tuhosti na diagonále	5.444E+11		
	Minimální hodnota prvku matice tuhosti na diagonále	1.0E+03		
	Determinant matice tuhosti	4.998E+4166		
	Nekonečná norma	1.089E+12		
Kombinace zatížení KZ15 - ZS1 + ZS2 + ZS3 + 0.6*ZS4				
	Součet zatížení ve směru X	0.0	kN	
	Součet reakcí v X	0.0	kN	
	Součet zatížení ve směru Y	12.6	kN	
	Součet reakcí v Y	12.6	kN	Odchylka 0.00%
	Součet zatížení ve směru Z	-117.6	kN	
	Součet reakcí v Z	-117.6	kN	Odchylka 0.00%
	Výslednice reakcí okolo X	-6.1636	kNm	V těžišti modelu (X:8803.5700, Y:1513.0800, Z:2932.7100 mm)
	Výslednice reakcí okolo Y	0.0145	kNm	V těžišti modelu
	Výslednice reakcí okolo Z	-6.3298	kNm	V těžišti modelu
	Max. posun ve směru X	0.1	mm	Prut č. 24, x: 1650 mm
	Max. posun ve směru Y	15.4	mm	Prut č. 17, x: 0 mm
	Max. posun ve směru Z	-0.3	mm	Prut č. 1, x: 8874 mm
	Max. posun vektorový	15.4	mm	Prut č. 17, x: 0 mm
	Max. pootočení okolo X	-0.0042	rad	Prut č. 10, x: 0 mm
	Max. pootočení okolo Y	0.0001	rad	Prut č. 1, x: 6969 mm
	Max. pootočení okolo Z	-0.0004	rad	Prut č. 4, x: 3220 mm
	Způsob výpočtu	II. řád		Teorie II. řádu (nelineární výpočet podle Timoshenka)
	Vnitřní síly vztažené na deformovaný systém pro...	☒		N, V_y, V_z, M_y, M_z, M_T
	Redukce tuhosti			Materiály, Průřezy, Pruty, Plochy
	Zohlednit příznivé působení tahových sil	☒		
	Zpětné dělení výsledků součinitelem KZ	☐		
	Počet přírůstků zatížení	1		

4.0 VÝSLEDKY - SOUHRN

	Označení	Hodnota	Jednot	Komentář
	Počet iterací	7		
	Maximální hodnota prvku matice tuhosti na diagonále	5.444E+11		
	Minimální hodnota prvku matice tuhosti na diagonále	1.0E+03		
	Determinant matice tuhosti	4.609E+4167		
	Nekonečná norma	1.089E+12		
Kombinace zatížení KZ16 - ZS1 + ZS3 + 0.6*ZS4				
	Součet zatížení ve směru X	0.0	kN	
	Součet reakcí v X	0.0	kN	
	Součet zatížení ve směru Y	12.6	kN	
	Součet reakcí v Y	12.6	kN	Odchylka 0.00%
	Součet zatížení ve směru Z	-82.1	kN	
	Součet reakcí v Z	-82.1	kN	Odchylka 0.00%
	Výslednice reakcí okolo X	1.5251	kNm	V těžišti modelu (X:8803.5700, Y:1513.0800, Z:2932.7100 mm)
	Výslednice reakcí okolo Y	0.0075	kNm	V těžišti modelu
	Výslednice reakcí okolo Z	-6.3297	kNm	V těžišti modelu
	Max. posun ve směru X	0.1	mm	Prut č. 24, x: 1650 mm
	Max. posun ve směru Y	15.2	mm	Prut č. 17, x: 0 mm
	Max. posun ve směru Z	-0.3	mm	Prut č. 22, x: 2063 mm
	Max. posun vektorový	15.2	mm	Prut č. 17, x: 0 mm
	Max. pootočení okolo X	-0.0041	rad	Prut č. 10, x: 0 mm
	Max. pootočení okolo Y	-0.0001	rad	Prut č. 17, x: 3334 mm
	Max. pootočení okolo Z	-0.0004	rad	Prut č. 4, x: 3220 mm
	Způsob výpočtu	II. řád		Teorie II. řádu (nelineární výpočet podle Timoshenka)
	Vnitřní síly vztažené na deformovaný systém pro...	☒		N, V_y, V_z, M_y, M_z, M_T
	Redukce tuhosti			Materiály, Průřezy, Pruty, Plochy
	Zohlednit příznivé působení tahových sil	☒		
	Zpětné dělení výsledků součinitelem KZ	☐		
	Počet přírůstků zatížení	1		
	Počet iterací	3		
	Maximální hodnota prvku matice tuhosti na diagonále	5.444E+11		
	Minimální hodnota prvku matice tuhosti na diagonále	1.0E+03		
	Determinant matice tuhosti	4.865E+4167		
	Nekonečná norma	1.089E+12		
Kombinace zatížení KZ17 - ZS1 + ZS4				
	Součet zatížení ve směru X	0.0	kN	
	Součet reakcí v X	0.0	kN	
	Součet zatížení ve směru Y	21.0	kN	
	Součet reakcí v Y	21.0	kN	Odchylka 0.00%
	Součet zatížení ve směru Z	-46.6	kN	
	Součet reakcí v Z	-46.6	kN	Odchylka 0.00%
	Výslednice reakcí okolo X	15.3433	kNm	V těžišti modelu (X:8803.5700, Y:1513.0800, Z:2932.7100 mm)
	Výslednice reakcí okolo Y	0.0016	kNm	V těžišti modelu
	Výslednice reakcí okolo Z	-10.5495	kNm	V těžišti modelu
	Max. posun ve směru X	0.2	mm	Prut č. 24, x: 1650 mm
	Max. posun ve směru Y	25.0	mm	Prut č. 17, x: 0 mm
	Max. posun ve směru Z	-0.4	mm	Prut č. 22, x: 2063 mm
	Max. posun vektorový	25.0	mm	Prut č. 17, x: 0 mm
	Max. pootočení okolo X	-0.0068	rad	Prut č. 10, x: 0 mm
	Max. pootočení okolo Y	-0.0001	rad	Prut č. 17, x: 3334 mm
	Max. pootočení okolo Z	-0.0006	rad	Prut č. 4, x: 3220 mm
	Způsob výpočtu	II. řád		Teorie II. řádu (nelineární výpočet podle Timoshenka)
	Vnitřní síly vztažené na deformovaný systém pro...	☒		N, V_y, V_z, M_y, M_z, M_T
	Redukce tuhosti			Materiály, Průřezy, Pruty, Plochy
	Zohlednit příznivé působení tahových sil	☒		
	Zpětné dělení výsledků součinitelem KZ	☐		
	Počet přírůstků zatížení	1		
	Počet iterací	3		
	Maximální hodnota prvku matice tuhosti na diagonále	5.444E+11		
	Minimální hodnota prvku matice tuhosti na diagonále	1.0E+03		
	Determinant matice tuhosti	5.127E+4167		
	Nekonečná norma	1.089E+12		
Kombinace zatížení KZ18 - ZS1 + ZS2 + ZS4				
	Součet zatížení ve směru X	0.0	kN	
	Součet reakcí v X	0.0	kN	
	Součet zatížení ve směru Y	21.0	kN	
	Součet reakcí v Y	21.0	kN	Odchylka 0.00%
	Součet zatížení ve směru Z	-82.1	kN	
	Součet reakcí v Z	-82.1	kN	Odchylka 0.00%
	Výslednice reakcí okolo X	7.4570	kNm	V těžišti modelu (X:8803.5700, Y:1513.0800, Z:2932.7100 mm)
	Výslednice reakcí okolo Y	0.0087	kNm	V těžišti modelu
	Výslednice reakcí okolo Z	-10.5497	kNm	V těžišti modelu
	Max. posun ve směru X	0.2	mm	Prut č. 24, x: 1650 mm
	Max. posun ve směru Y	25.2	mm	Prut č. 17, x: 0 mm
	Max. posun ve směru Z	-0.4	mm	Prut č. 22, x: 2063 mm
	Max. posun vektorový	25.2	mm	Prut č. 17, x: 0 mm
	Max. pootočení okolo X	-0.0069	rad	Prut č. 10, x: 0 mm
	Max. pootočení okolo Y	-0.0001	rad	Prut č. 17, x: 3334 mm
	Max. pootočení okolo Z	-0.0006	rad	Prut č. 4, x: 3220 mm
	Způsob výpočtu	II. řád		Teorie II. řádu (nelineární výpočet podle Timoshenka)
	Vnitřní síly vztažené na deformovaný systém pro...	☒		N, V_y, V_z, M_y, M_z, M_T
	Redukce tuhosti			Materiály, Průřezy, Pruty, Plochy
	Zohlednit příznivé působení tahových sil	☒		
	Zpětné dělení výsledků součinitelem KZ	☐		
	Počet přírůstků zatížení	1		
	Počet iterací	3		

4.0 VÝSLEDKY - SOUHRN

	Označení	Hodnota	Jednot	Komentář
	Maximální hodnota prvku matice tuhosti na diagonále	5.444E+11		
	Minimální hodnota prvku matice tuhosti na diagonále	1.0E+03		
	Determinant matice tuhosti	4.858E+4167		
	Nekonečná norma	1.089E+12		

Kombinace zatížení KZ19 - ZS1 + ZS2 + 0.5*ZS3 + ZS4				
	Součet zatížení ve směru X	0.0	kN	
	Součet reakcí v X	0.0	kN	
	Součet zatížení ve směru Y	21.0	kN	
	Součet reakcí v Y	21.0	kN	Odchylka 0.00%
	Součet zatížení ve směru Z	-99.8	kN	
	Součet reakcí v Z	-99.8	kN	Odchylka 0.00%
	Výslednice reakcí okolo X	3.5086	kNm	V těžišti modelu (X:8803.5700, Y:1513.0800, Z:2932.7100 mm)
	Výslednice reakcí okolo Y	0.0123	kNm	V těžišti modelu
	Výslednice reakcí okolo Z	-10.5498	kNm	V těžišti modelu
	Max. posun ve směru X	0.2	mm	Prut č. 24, x: 1650 mm
	Max. posun ve směru Y	25.3	mm	Prut č. 17, x: 0 mm
	Max. posun ve směru Z	-0.4	mm	Prut č. 22, x: 2063 mm
	Max. posun vektorový	25.3	mm	Prut č. 17, x: 0 mm
	Max. pootočení okolo X	-0.0069	rad	Prut č. 10, x: 0 mm
	Max. pootočení okolo Y	0.0001	rad	Prut č. 1, x: 6969 mm
	Max. pootočení okolo Z	-0.0006	rad	Prut č. 4, x: 3220 mm
	Způsob výpočtu	II. řád		Teorie II. řádu (nelineární výpočet podle Timoshenka)
	Vnitřní síly vztažené na deformovaný systém pro...	☒		N, V_y, V_z, M_y, M_z, M_T
	Redukce tuhosti			Materiály, Průřezy, Pruty, Plochy
	Zohlednit příznivé působení tahových sil	☒		
	Zpětné dělení výsledků součinitelem KZ	☐		
	Počet přírůstků zatížení	1		
	Počet iterací	3		
	Maximální hodnota prvku matice tuhosti na diagonále	5.444E+11		
	Minimální hodnota prvku matice tuhosti na diagonále	1.0E+03		
	Determinant matice tuhosti	4.728E+4167		
	Nekonečná norma	1.089E+12		

Kombinace zatížení KZ20 - ZS1 + 0.5*ZS3 + ZS4				
	Součet zatížení ve směru X	0.0	kN	
	Součet reakcí v X	0.0	kN	
	Součet zatížení ve směru Y	21.0	kN	
	Součet reakcí v Y	21.0	kN	Odchylka 0.00%
	Součet zatížení ve směru Z	-64.3	kN	
	Součet reakcí v Z	-64.3	kN	Odchylka 0.00%
	Výslednice reakcí okolo X	11.4018	kNm	V těžišti modelu (X:8803.5700, Y:1513.0800, Z:2932.7100 mm)
	Výslednice reakcí okolo Y	0.0052	kNm	V těžišti modelu
	Výslednice reakcí okolo Z	-10.5496	kNm	V těžišti modelu
	Max. posun ve směru X	0.2	mm	Prut č. 24, x: 1650 mm
	Max. posun ve směru Y	25.1	mm	Prut č. 17, x: 0 mm
	Max. posun ve směru Z	-0.4	mm	Prut č. 22, x: 2063 mm
	Max. posun vektorový	25.1	mm	Prut č. 17, x: 0 mm
	Max. pootočení okolo X	-0.0068	rad	Prut č. 10, x: 0 mm
	Max. pootočení okolo Y	-0.0001	rad	Prut č. 17, x: 3334 mm
	Max. pootočení okolo Z	-0.0006	rad	Prut č. 4, x: 3220 mm
	Způsob výpočtu	II. řád		Teorie II. řádu (nelineární výpočet podle Timoshenka)
	Vnitřní síly vztažené na deformovaný systém pro...	☒		N, V_y, V_z, M_y, M_z, M_T
	Redukce tuhosti			Materiály, Průřezy, Pruty, Plochy
	Zohlednit příznivé působení tahových sil	☒		
	Zpětné dělení výsledků součinitelem KZ	☐		
	Počet přírůstků zatížení	1		
	Počet iterací	3		
	Maximální hodnota prvku matice tuhosti na diagonále	5.444E+11		
	Minimální hodnota prvku matice tuhosti na diagonále	1.0E+03		
	Determinant matice tuhosti	4.990E+4167		
	Nekonečná norma	1.089E+12		

Kombinace zatížení KZ21 - ZS1				
	Součet zatížení ve směru X	0.0	kN	
	Součet reakcí v X	0.0	kN	
	Součet zatížení ve směru Y	0.0	kN	
	Součet reakcí v Y	0.0	kN	
	Součet zatížení ve směru Z	-46.6	kN	
	Součet reakcí v Z	-46.6	kN	Odchylka 0.00%
	Výslednice reakcí okolo X	-0.0013	kNm	V těžišti modelu (X:8803.5700, Y:1513.0800, Z:2932.7100 mm)
	Výslednice reakcí okolo Y	0.0000	kNm	V těžišti modelu
	Výslednice reakcí okolo Z	0.0000	kNm	V těžišti modelu
	Max. posun ve směru X	-0.0	mm	Prut č. 21, x: 2534 mm
	Max. posun ve směru Y	0.2	mm	Prut č. 17, x: 0 mm
	Max. posun ve směru Z	-0.1	mm	Prut č. 17, x: 1905 mm
	Max. posun vektorový	0.3	mm	Prut č. 17, x: 1905 mm
	Max. pootočení okolo X	-0.0001	rad	Prut č. 2, x: 0 mm
	Max. pootočení okolo Y	-0.0001	rad	Prut č. 17, x: 3334 mm
	Max. pootočení okolo Z	-0.0000	rad	Prut č. 1, x: 13102 mm
	Způsob výpočtu	II. řád		Teorie II. řádu (nelineární výpočet podle Timoshenka)
	Vnitřní síly vztažené na deformovaný systém pro...	☒		N, V_y, V_z, M_y, M_z, M_T
	Redukce tuhosti			Materiály, Průřezy, Pruty, Plochy
	Zohlednit příznivé působení tahových sil	☒		
	Zpětné dělení výsledků součinitelem KZ	☐		
	Počet přírůstků zatížení	1		
	Počet iterací	3		
	Maximální hodnota prvku matice tuhosti na d	5.444E+11		

4.0 VÝSLEDKY - SOUHRN

	Označení	Hodnota	Jednot	Komentář
	diagonále			
	Minimální hodnota prvku matice tuhosti na diagonále	1.0E+03		
	Determinant matice tuhosti	5.634E+4166		
	Nekonečná norma	1.089E+12		
Kombinace zatížení KZ22 - ZS1 + ZS2				
	Součet zatížení ve směru X	0.0	kN	
	Součet reakcí v X	0.0	kN	
	Součet zatížení ve směru Y	0.0	kN	
	Součet reakcí v Y	0.0	kN	
	Součet zatížení ve směru Z	-82.1	kN	
	Součet reakcí v Z	-82.1	kN	Odchylka 0.00%
	Výslednice reakcí okolo X	-7.3725	kNm	V těžišti modelu (X:8803.5700, Y:1513.0800, Z:2932.7100 mm)
	Výslednice reakcí okolo Y	0.0068	kNm	V těžišti modelu
	Výslednice reakcí okolo Z	0.0000	kNm	V těžišti modelu
	Max. posun ve směru X	0.0	mm	Prut č. 9, x: 2013 mm
	Max. posun ve směru Y	0.2	mm	Prut č. 17, x: 0 mm
	Max. posun ve směru Z	-0.2	mm	Prut č. 1, x: 8874 mm
	Max. posun vektorový	0.3	mm	Prut č. 17, x: 1905 mm
	Max. pootočení okolo X	-0.0001	rad	Prut č. 2, x: 0 mm
	Max. pootočení okolo Y	-0.0001	rad	Prut č. 17, x: 3334 mm
	Max. pootočení okolo Z	-0.0000	rad	Prut č. 1, x: 13102 mm
	Způsob výpočtu	II. řád		Teorie II. řádu (nelineární výpočet podle Timoshenka)
	Vnitřní síly vztažené na deformovaný systém pro...	☒		N, V_y, V_z, M_y, M_z, M_T
	Redukce tuhosti			Materiály, Průřezy, Pruty, Plochy
	Zohlednit příznivé působení tahových sil	☒		
	Zpětné dělení výsledků součinitelem KZ	☐		
	Počet přírůstků zatížení	1		
	Počet iterací	3		
	Maximální hodnota prvku matice tuhosti na diagonále	5.444E+11		
	Minimální hodnota prvku matice tuhosti na diagonále	1.0E+03		
	Determinant matice tuhosti	5.307E+4166		
	Nekonečná norma	1.089E+12		
Kombinace zatížení KZ23 - ZS1 + 0.2*ZS3				
	Součet zatížení ve směru X	0.0	kN	
	Součet reakcí v X	0.0	kN	
	Součet zatížení ve směru Y	0.0	kN	
	Součet reakcí v Y	0.0	kN	
	Součet zatížení ve směru Z	-53.7	kN	
	Součet reakcí v Z	-53.7	kN	Odchylka 0.00%
	Výslednice reakcí okolo X	-1.4756	kNm	V těžišti modelu (X:8803.5700, Y:1513.0800, Z:2932.7100 mm)
	Výslednice reakcí okolo Y	0.0013	kNm	V těžišti modelu
	Výslednice reakcí okolo Z	0.0000	kNm	V těžišti modelu
	Max. posun ve směru X	-0.0	mm	Prut č. 21, x: 3041 mm
	Max. posun ve směru Y	0.2	mm	Prut č. 17, x: 0 mm
	Max. posun ve směru Z	-0.1	mm	Prut č. 17, x: 1905 mm
	Max. posun vektorový	0.3	mm	Prut č. 17, x: 1905 mm
	Max. pootočení okolo X	-0.0001	rad	Prut č. 2, x: 0 mm
	Max. pootočení okolo Y	-0.0001	rad	Prut č. 17, x: 3334 mm
	Max. pootočení okolo Z	-0.0000	rad	Prut č. 1, x: 13102 mm
	Způsob výpočtu	II. řád		Teorie II. řádu (nelineární výpočet podle Timoshenka)
	Vnitřní síly vztažené na deformovaný systém pro...	☒		N, V_y, V_z, M_y, M_z, M_T
	Redukce tuhosti			Materiály, Průřezy, Pruty, Plochy
	Zohlednit příznivé působení tahových sil	☒		
	Zpětné dělení výsledků součinitelem KZ	☐		
	Počet přírůstků zatížení	1		
	Počet iterací	3		
	Maximální hodnota prvku matice tuhosti na diagonále	5.444E+11		
	Minimální hodnota prvku matice tuhosti na diagonále	1.0E+03		
	Determinant matice tuhosti	5.567E+4166		
	Nekonečná norma	1.089E+12		
Kombinace zatížení KZ24 - ZS1 + ZS2 + 0.2*ZS3				
	Součet zatížení ve směru X	0.0	kN	
	Součet reakcí v X	0.0	kN	
	Součet zatížení ve směru Y	0.0	kN	
	Součet reakcí v Y	0.0	kN	
	Součet zatížení ve směru Z	-89.2	kN	
	Součet reakcí v Z	-89.2	kN	Odchylka 0.00%
	Výslednice reakcí okolo X	-8.8468	kNm	V těžišti modelu (X:8803.5700, Y:1513.0800, Z:2932.7100 mm)
	Výslednice reakcí okolo Y	0.0080	kNm	V těžišti modelu
	Výslednice reakcí okolo Z	0.0000	kNm	V těžišti modelu
	Max. posun ve směru X	0.0	mm	Prut č. 9, x: 2013 mm
	Max. posun ve směru Y	0.2	mm	Prut č. 17, x: 0 mm
	Max. posun ve směru Z	-0.2	mm	Prut č. 1, x: 8874 mm
	Max. posun vektorový	0.3	mm	Prut č. 17, x: 1905 mm
	Max. pootočení okolo X	-0.0001	rad	Prut č. 2, x: 0 mm
	Max. pootočení okolo Y	-0.0001	rad	Prut č. 17, x: 3334 mm
	Max. pootočení okolo Z	-0.0000	rad	Prut č. 1, x: 13102 mm
	Způsob výpočtu	II. řád		Teorie II. řádu (nelineární výpočet podle Timoshenka)
	Vnitřní síly vztažené na deformovaný systém pro...	☒		N, V_y, V_z, M_y, M_z, M_T
	Redukce tuhosti			Materiály, Průřezy, Pruty, Plochy
	Zohlednit příznivé působení tahových sil	☒		
	Zpětné dělení výsledků součinitelem KZ	☐		
	Počet přírůstků zatížení	1		
	Počet iterací	3		
	Maximální hodnota prvku matice tuhosti na diagonále	5.444E+11		
	Minimální hodnota prvku matice tuhosti na d	1.0E+03		

4.0 VÝSLEDKY - SOUHRN

	Označení	Hodnota	Jednot	Komentář
	diagonále			
	Determinant matice tuhosti	5.244E+4166		
	Nekonečná norma	1.089E+12		
Kombinace zatížení KZ25 - ZS1 + 0.2*ZS4				
	Součet zatížení ve směru X	0.0	kN	
	Součet reakcí v X	0.0	kN	
	Součet zatížení ve směru Y	4.2	kN	
	Součet reakcí v Y	4.2	kN	Odchylka 0.00%
	Součet zatížení ve směru Z	-46.6	kN	
	Součet reakcí v Z	-46.6	kN	Odchylka 0.00%
	Výslednice reakcí okolo X	3.0676	kNm	V těžišti modelu (X:8803.5700, Y:1513.0800, Z:2932.7100 mm)
	Výslednice reakcí okolo Y	0.0000	kNm	V těžišti modelu
	Výslednice reakcí okolo Z	-2.1098	kNm	V těžišti modelu
	Max. posun ve směru X	-0.1	mm	Prut č. 21, x: 2534 mm
	Max. posun ve směru Y	5.2	mm	Prut č. 17, x: 0 mm
	Max. posun ve směru Z	-0.1	mm	Prut č. 22, x: 2063 mm
	Max. posun vektorový	5.2	mm	Prut č. 17, x: 0 mm
	Max. pootočení okolo X	-0.0014	rad	Prut č. 10, x: 0 mm
	Max. pootočení okolo Y	-0.0001	rad	Prut č. 17, x: 3334 mm
	Max. pootočení okolo Z	-0.0001	rad	Prut č. 4, x: 3220 mm
	Způsob výpočtu	II. řád		Teorie II. řádu (nelineární výpočet podle Timoshenka)
	Vnitřní síly vztažené na deformovaný systém pro...	☒		N, V_y, V_z, M_y, M_z, M_T
	Redukce tuhosti			Materiály, Průřezy, Pruty, Plochy
	Zohlednit příznivé působení tahových sil	☒		
	Zpětné dělení výsledků součinitelem KZ	☐		
	Počet přírůstků zatížení	1		
	Počet iterací	3		
	Maximální hodnota prvku matice tuhosti na diagonále	5.444E+11		
	Minimální hodnota prvku matice tuhosti na diagonále	1.0E+03		
	Determinant matice tuhosti	5.143E+4167		
	Nekonečná norma	1.089E+12		
Kombinace zatížení KZ26 - ZS1 + ZS2 + 0.2*ZS4				
	Součet zatížení ve směru X	0.0	kN	
	Součet reakcí v X	0.0	kN	
	Součet zatížení ve směru Y	4.2	kN	
	Součet reakcí v Y	4.2	kN	Odchylka 0.00%
	Součet zatížení ve směru Z	-82.1	kN	
	Součet reakcí v Z	-82.1	kN	Odchylka 0.00%
	Výslednice reakcí okolo X	-4.4067	kNm	V těžišti modelu (X:8803.5700, Y:1513.0800, Z:2932.7100 mm)
	Výslednice reakcí okolo Y	0.0069	kNm	V těžišti modelu
	Výslednice reakcí okolo Z	-2.1099	kNm	V těžišti modelu
	Max. posun ve směru X	0.1	mm	Prut č. 9, x: 2013 mm
	Max. posun ve směru Y	5.2	mm	Prut č. 17, x: 0 mm
	Max. posun ve směru Z	-0.2	mm	Prut č. 1, x: 8874 mm
	Max. posun vektorový	5.2	mm	Prut č. 17, x: 0 mm
	Max. pootočení okolo X	-0.0014	rad	Prut č. 10, x: 0 mm
	Max. pootočení okolo Y	-0.0001	rad	Prut č. 17, x: 3334 mm
	Max. pootočení okolo Z	-0.0001	rad	Prut č. 4, x: 3220 mm
	Způsob výpočtu	II. řád		Teorie II. řádu (nelineární výpočet podle Timoshenka)
	Vnitřní síly vztažené na deformovaný systém pro...	☒		N, V_y, V_z, M_y, M_z, M_T
	Redukce tuhosti			Materiály, Průřezy, Pruty, Plochy
	Zohlednit příznivé působení tahových sil	☒		
	Zpětné dělení výsledků součinitelem KZ	☐		
	Počet přírůstků zatížení	1		
	Počet iterací	12		
	Maximální hodnota prvku matice tuhosti na diagonále	5.444E+11		
	Minimální hodnota prvku matice tuhosti na diagonále	1.0E+03		
	Determinant matice tuhosti	3.320E+4167		
	Nekonečná norma	1.089E+12		
Kombinace zatížení KZ27 - ZS1				
	Součet zatížení ve směru X	0.0	kN	
	Součet reakcí v X	0.0	kN	
	Součet zatížení ve směru Y	0.0	kN	
	Součet reakcí v Y	0.0	kN	
	Součet zatížení ve směru Z	-46.6	kN	
	Součet reakcí v Z	-46.6	kN	Odchylka 0.00%
	Výslednice reakcí okolo X	-0.0013	kNm	V těžišti modelu (X:8803.5700, Y:1513.0800, Z:2932.7100 mm)
	Výslednice reakcí okolo Y	0.0000	kNm	V těžišti modelu
	Výslednice reakcí okolo Z	0.0000	kNm	V těžišti modelu
	Max. posun ve směru X	-0.0	mm	Prut č. 21, x: 2534 mm
	Max. posun ve směru Y	0.2	mm	Prut č. 17, x: 0 mm
	Max. posun ve směru Z	-0.1	mm	Prut č. 17, x: 1905 mm
	Max. posun vektorový	0.3	mm	Prut č. 17, x: 1905 mm
	Max. pootočení okolo X	-0.0001	rad	Prut č. 2, x: 0 mm
	Max. pootočení okolo Y	-0.0001	rad	Prut č. 17, x: 3334 mm
	Max. pootočení okolo Z	-0.0000	rad	Prut č. 1, x: 13102 mm
	Způsob výpočtu	II. řád		Teorie II. řádu (nelineární výpočet podle Timoshenka)
	Vnitřní síly vztažené na deformovaný systém pro...	☒		N, V_y, V_z, M_y, M_z, M_T
	Redukce tuhosti			Materiály, Průřezy, Pruty, Plochy
	Zohlednit příznivé působení tahových sil	☒		
	Zpětné dělení výsledků součinitelem KZ	☐		
	Počet přírůstků zatížení	1		
	Počet iterací	3		
	Maximální hodnota prvku matice tuhosti na diagonále	5.444E+11		
	Minimální hodnota prvku matice tuhosti na diagonále	1.0E+03		
	Determinant matice tuhosti	5.634E+4166		

4.0 VÝSLEDKY - SOUHRN

	Označení	Hodnota	Jednot	Komentář
	Nekonečná norma	1.089E+12		
Kombinace zatížení KZ28 - ZS1 + ZS2				
	Součet zatížení ve směru X	0.0	kN	
	Součet reakcí v X	0.0	kN	
	Součet zatížení ve směru Y	0.0	kN	
	Součet reakcí v Y	0.0	kN	
	Součet zatížení ve směru Z	-82.1	kN	
	Součet reakcí v Z	-82.1	kN	Odchylka 0.00%
	Výslednice reakcí okolo X	-7.3725	kNm	V těžišti modelu (X:8803.5700, Y:1513.0800, Z:2932.7100 mm)
	Výslednice reakcí okolo Y	0.0068	kNm	V těžišti modelu
	Výslednice reakcí okolo Z	0.0000	kNm	V těžišti modelu
	Max. posun ve směru X	0.0	mm	Prut č. 9, x: 2013 mm
	Max. posun ve směru Y	0.2	mm	Prut č. 17, x: 0 mm
	Max. posun ve směru Z	-0.2	mm	Prut č. 1, x: 8874 mm
	Max. posun vektorový	0.3	mm	Prut č. 17, x: 1905 mm
	Max. pootočení okolo X	-0.0001	rad	Prut č. 2, x: 0 mm
	Max. pootočení okolo Y	-0.0001	rad	Prut č. 17, x: 3334 mm
	Max. pootočení okolo Z	-0.0000	rad	Prut č. 1, x: 13102 mm
	Způsob výpočtu	II. řád		Teorie II. řádu (nelineární výpočet podle Timoshenka)
	Vnitřní síly vztažené na deformovaný systém pro...	☒		N, V_y, V_z, M_y, M_z, M_T
	Redukce tuhosti			Materiály, Průřezy, Pruty, Plochy
	Zohlednit příznivé působení tahových sil	☒		
	Zpětné dělení výsledků součinitelem KZ	☐		
	Počet přírůstků zatížení	1		
	Počet iterací	3		
	Maximální hodnota prvku matice tuhosti na diagonále	5.444E+11		
	Minimální hodnota prvku matice tuhosti na diagonále	1.0E+03		
	Determinant matice tuhosti	5.307E+4166		
	Nekonečná norma	1.089E+12		
Celkem				
	Max. posun ve směru X	0.3	mm	KZ9, Prut č. 24, x: 1650 mm
	Max. posun ve směru Y	38.3	mm	KZ9, Prut č. 17, x: 0 mm
	Max. posun ve směru Z	-0.6	mm	KZ9, Prut č. 22, x: 2063 mm
	Max. posun vektorový	38.3	mm	KZ9, Prut č. 17, x: 0 mm
	Max. pootočení okolo X	-0.0105	rad	KZ9, Prut č. 10, x: 0 mm
	Max. pootočení okolo Y	0.0001	rad	KZ5, Prut č. 1, x: 6969 mm
	Max. pootočení okolo Z	-0.0009	rad	KZ9, Prut č. 4, x: 3220 mm
	Ostatní nastavení:			
	Počet konečných prvků 1D	57		
	Počet konečných prvků 2D	0		
	Počet konečných prvků 3D	0		
	Počet uzlů sítě KP	42		
	Počet rovnic	252		
	Vnitřní síly vztažené na deformovaný systém pro...:			
	Maximální počet iterací	100		
	Počet dělení prutu pro průběhy výsledků	10		
	Dělení prutů typu lano, prutů s náběhem a na podloží	10		
	Počet dělení prutů pro hledání maximálních hodnot	10		
	Rozdělení sítě KP pro grafické výsledky	3		
	Procentuální počet iterací Picardovy metody v kombinaci s metodou Newton-Raphsonovou	5	%	
	Zohlednit neúčinné pruty	☒		
	Možnosti:			
	Aktivovat smykovou tuhost prutů (Ay, Az)	☒		
	Aktivovat dělení prutů pro analýzu velkých deformací nebo poskritickou analýzu	☒		
	Aktivovat zadané změny tuhosti	☒		
	Ignorovat rotační stupně volnosti	☐		
	Kontrola kritických sil prutů	☒		
	Nesymetrický přímý řešič, pokud vyžadováno nelineárním modelem	☐		
	Metoda pro systém rovnic	Přímá		
	Ohybová teorie desek	Mindlinova		
	Verze řešiče	64-bit		
	Přesnost a tolerance:			
	Změnit standardní nastavení	☐		
	Nelineární účinky - Aktivovat:			
	Vypadávající pruty z důvodu typu prutu	☒		
	Reaktivace vypadlých prutů:			
	Zkontrolovat deformace vypadávajících prutů a popř. je reaktivovat	☒		
	Maximální počet reaktivací	3		
	Zvláštní nastavení:			

VNITŘNÍ SÍLY M_y

Izometrie

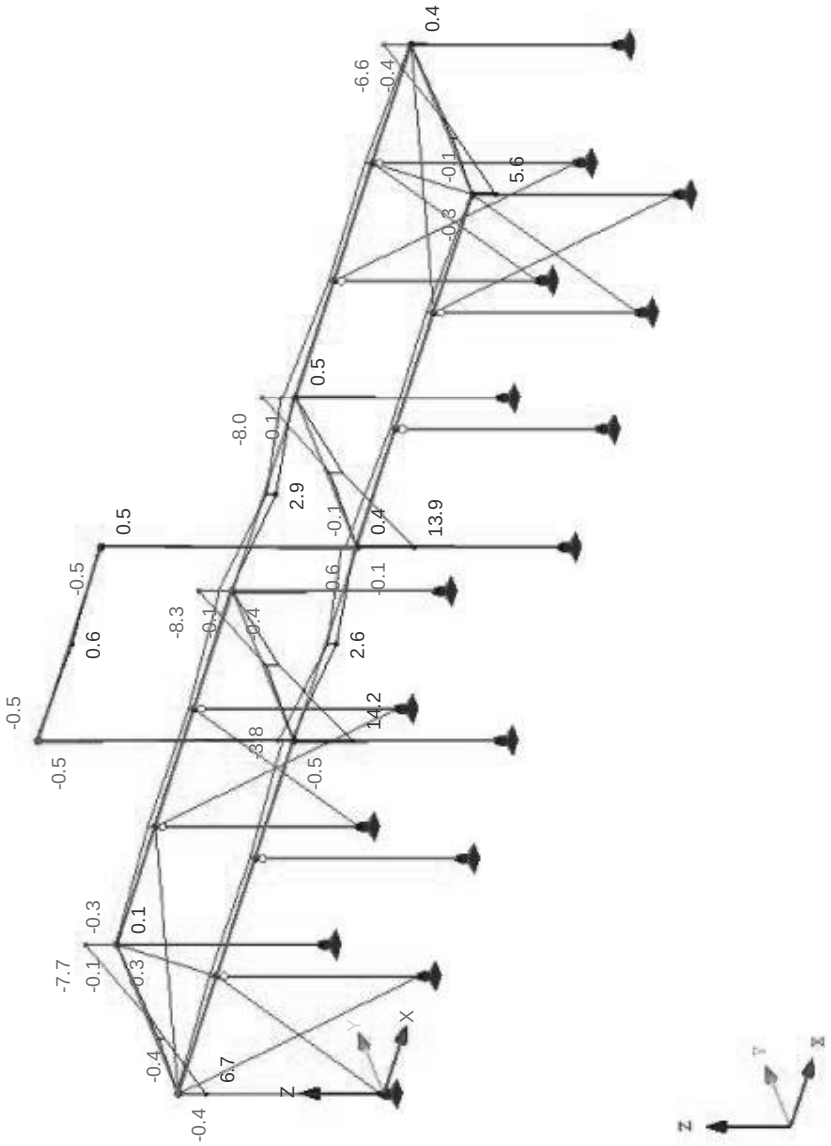

KV 1: MSÚ (STR/GEO) - trvalá/dočasná - rovn. 6.10
Vnitřní síly M-y
Kombinace výsledků: Max. a min. hodnoty

Průřezy
1: HEA 220; (
2: HEA 160; (
3: HEB 160; (
4: RD 12; Oc

Max M-y: 14.2, Min M-y: -8.3 [kNm]

VNITŘNÍ SÍLY V_z

Izometrie

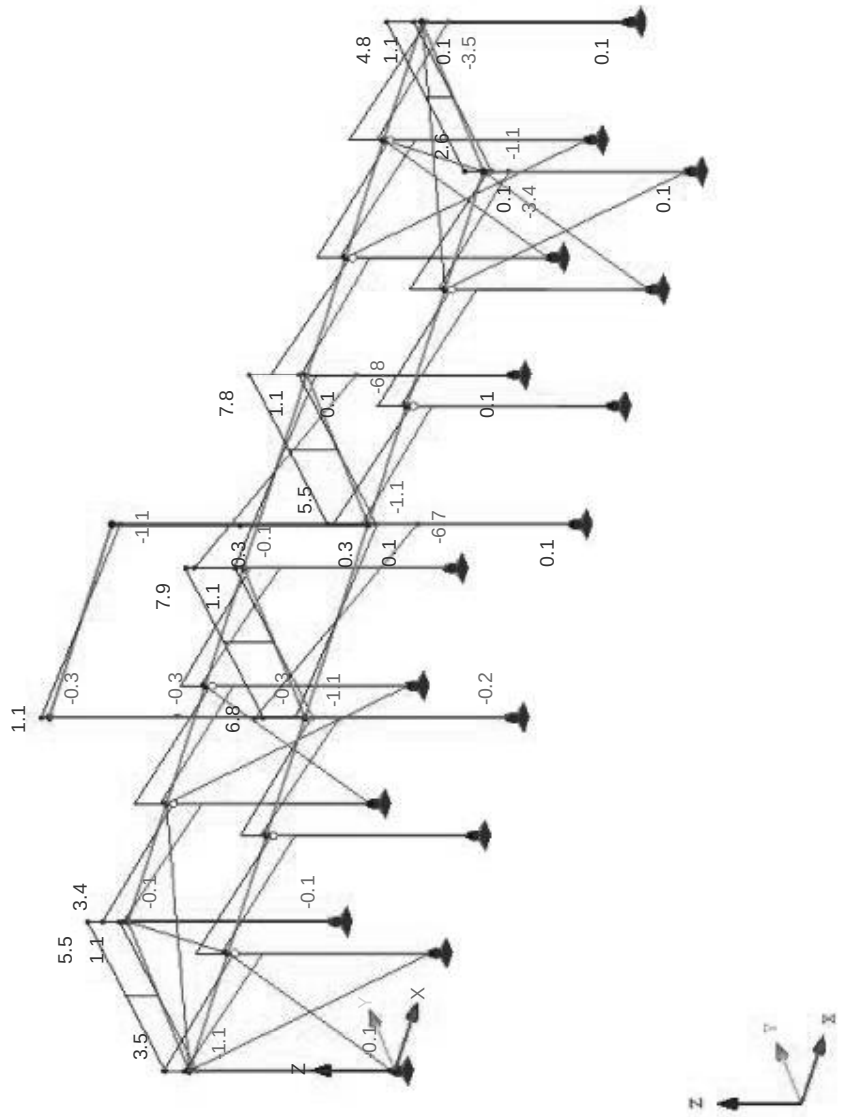

KV 1: MSÚ (STR/GEO) - trvalá/dočasná - rovn. 6.10
Vnitřní síly V-z
Kombinace výsledků: Max. a min. hodnoty

Průřezy
1: HEA 220;
2: HEA 160;
3: HEB 160;
4: RD 12; Oc

Max V-z: 7.9, Min V-z: -6.8 [kN]

VNITŘNÍ SÍLY N

Izometrie

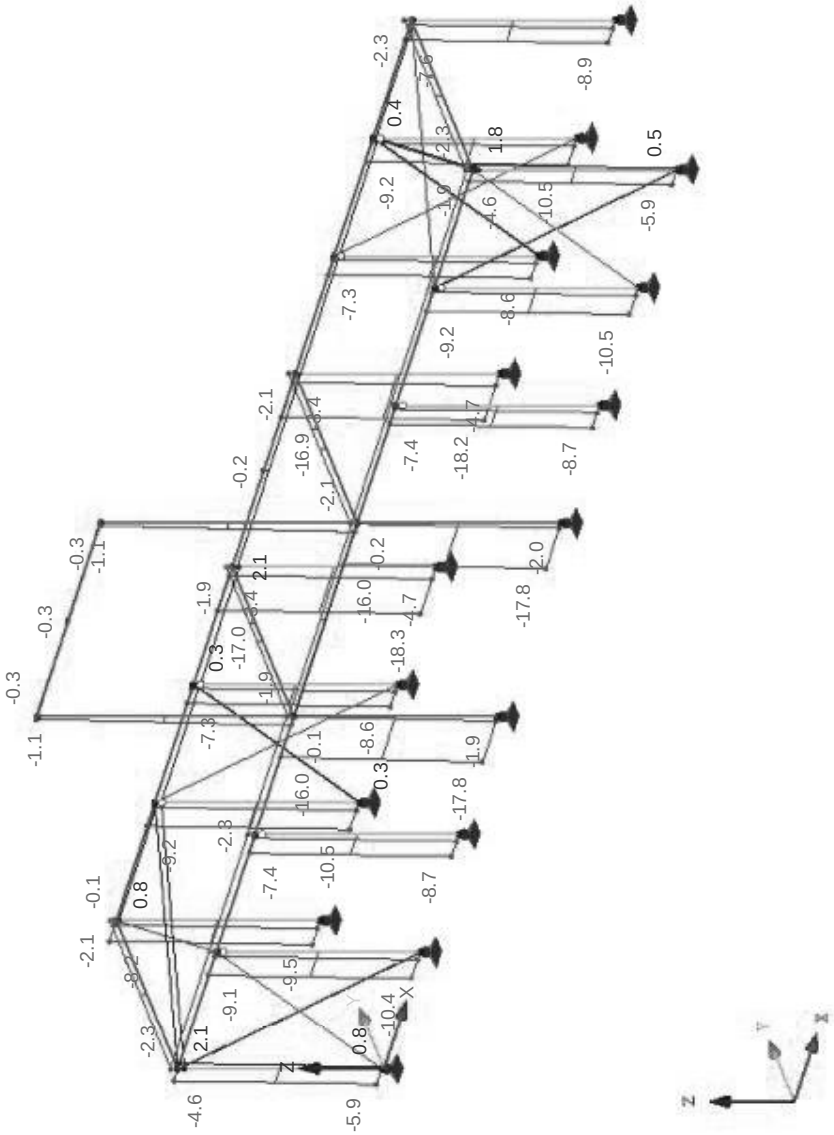

KV 1: MSÚ (STR/GEO) - trvalá/dočasná - rovn. 6.10
Vnitřní síly N
Kombinace výsledků: Max. a min. hodnoty

Průřezy
1: HEA 220;
2: HEA 160;
3: HEB 160;
4: RD 12; Oc

Max N: 2.1, Min N: -18.3 [kN]

LOKÁLNÍ DEFORMACE u_y

Izometrie

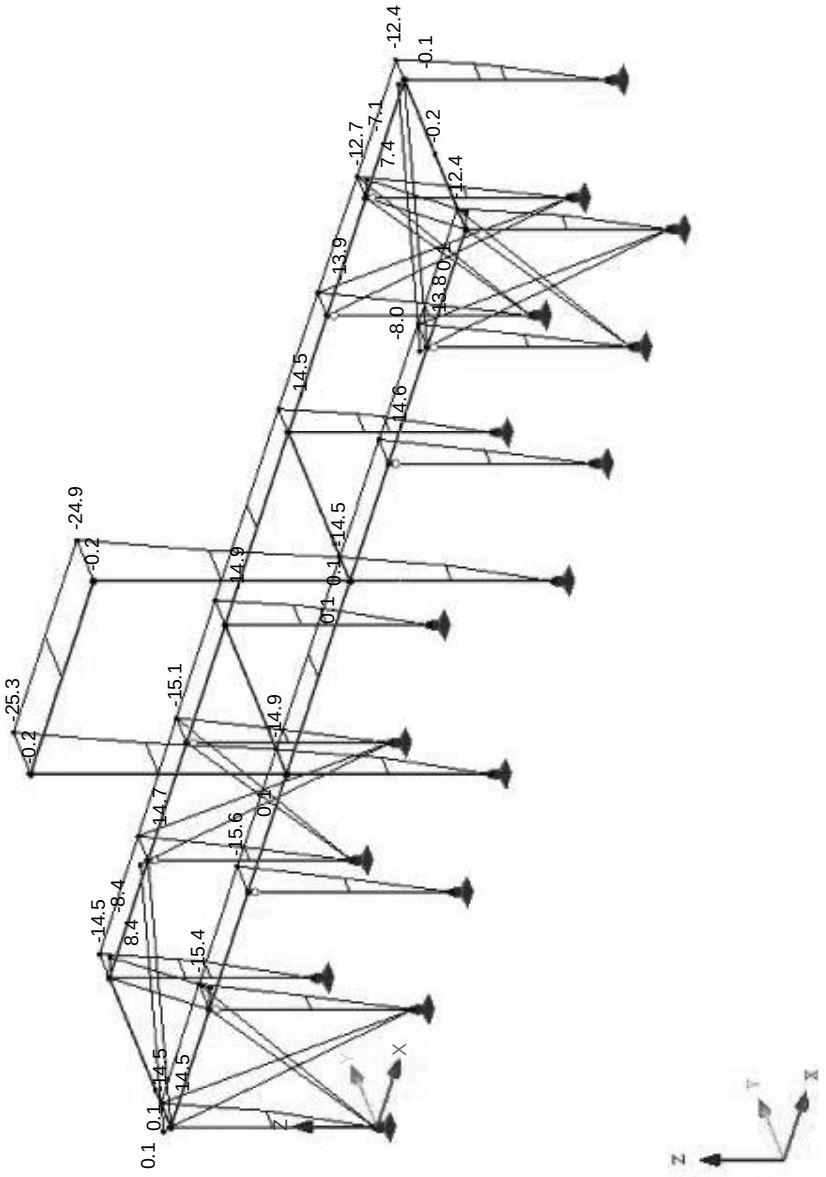

KV 2: MSP - charakteristická
Lokální deformace u-y
Kombinace výsledků: Max. a min. hodnoty

Průřezy
1: HEA 220;
2: HEA 160;
3: HEB 160;
4: RD 12; Oc

Max u-y: 14.5, Min u-y: -25.3 [mm]

LOKÁLNÍ DEFORMACE u_z

Izometrie

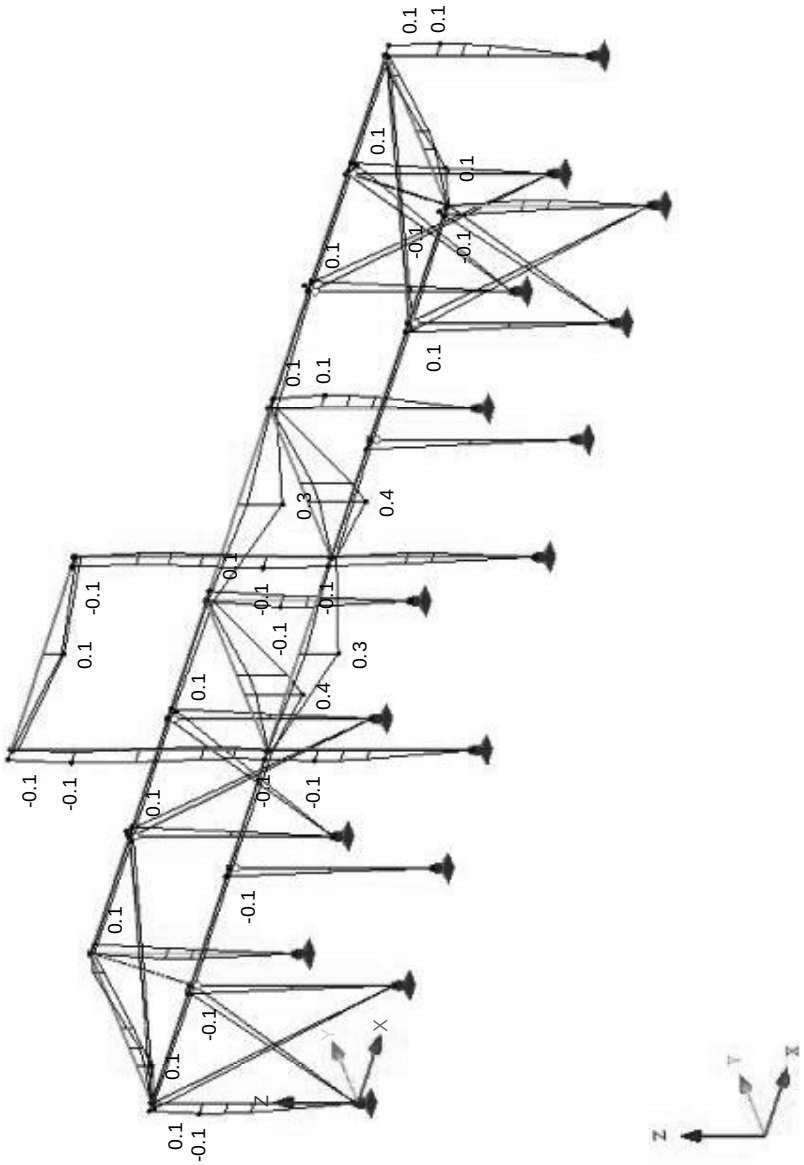

KV 2: MSP - charakteristická
Lokální deformace u-z
Kombinace výsledků: Max. a min. hodnoty

Průřezy
1: HEA 220;
2: HEA 160;
3: HEB 160;
4: RD 12; Oc

Max u-z: 0.4, Min u-z: -0.1 [mm]

STATICKÝ POSUDEK KONSTRUKCE

Část: krokev spojovacího krčku — **DLE ČSN EN 1995-1-1**

zatížení stálé [kN/m^2]			zatížení užitné [kN/m^2]			**Kombinace:**		
g_k	γ_g	g_d	q_k	γ_q	q_d	**Únosnost:**	**1,53**	[kN/m^2]
0,30	**1,35**	**0,41**	0,75	**1,5**	**1,125**	**Použitelnost:**	**1,05**	[kN/m^2]
zatěžovací šířka nosníku [m]				0,80				
rozpětí [m]				3,30				

$E_{0,mean}$	$f_{m,0,k}$	k_{mod}	$f_{m,0,d}$	M_{sd}	profil [mm]		A	I_y	I_z	W_y
[Mpa]	[Mpa]		[Mpa]	[kNm]	b	h	[mm^2]	[mm^4]	[mm^4]	[mm]
11000	**24**	0,8	14,77	**1,666**	80	160	12800	27306666,7		341333,333
$\sigma_{c,o,d}$	=	**4,88**		<	**14,77**	Mpa				
posouzení ohyb				vyhovuje				0,33		
b	=	**80**								
h	=	**160**								
$f_{v,k}$	=	2,4	[Mpa]							
$f_{v,d}$	=	1,48	[Mpa]							
V_{sd}	=	**2,020**	[kN]							
$\tau_{v,d}$	=	**0,24**	[Mpa]	<	**1,48**	[Mpa]				
posouzení smyk				vyhovuje				0,16		

Průhyb nosníku od stálého zatížení [mm]	$w_{inst,g}$	=	**1,23**	**[mm]**	tj. 1/ 764	OK
Průhyb nosníku od užitného zatížení [mm]	$w_{inst,q}$	=	**3,08**	**[mm]**		
Celkový průhyb s dotvarováním	$w_{net,fin}$	=	**5,98**	**[mm]**	tj. 1/ 551	OK
Limitní průhyb (1/250 rozpětí)	w_{lim}	=	**13,20**	**[mm]**	250	
posouzení průhyb			vyhovuje		0,45	

D.1.2.1.d Seznam použitých podkladů

1. Normy

Pro výše vypracování projektové dokumentace byly výše uvedené stavby byly použity všechny související platné ČSN normy. Jedná se především o tyto:

- ČSN EN 1990 Eurokód: Zásady navrhování konstrukcí
- ČSN EN 1991-1-1 Eurokód 1: Zatížení konstrukcí - Část 1-1: Obecná zatížení - Objemové tíhy, vlastní tíha a užitná zatížení pozemních staveb
- ČSN EN 1991-1-3 Eurokód 1: Zatížení konstrukcí - Část 1-3: Obecná zatížení - Zatížení sněhem
- ČSN EN 1991-1-6 Eurokód 1: Zatížení konstrukcí - Část 1-6: Obecná zatížení - Zatížení během provádění
- ČSN EN 1992-1-1 Eurokód 2: Navrhování betonových konstrukcí - Část 1-1: Obecná pravidla a pravidla pro pozemní stavby
- ČSN EN 1997 Eurokód 7: Navrhování geotechnických konstrukcí (normová řada)
- ČSN EN 1997-1 Eurokód 7: Navrhování geotechnických konstrukcí - Část 1: Obecná pravidla
- ČSN EN 1997-2 Eurokód 7: Navrhování geotechnických konstrukcí - Část 2: Průzkum a zkoušení základové půdy

2. Projekční podklady

Pro vypracování statické části projektu byly použity výkresy stavební části, zejména půdorysy, řezy a situace.

3. Použitý software

Projekt statické části je zpracován digitálně s tištěnými výstupy. Jako software je použit ACAD 2017, Dlubal Engeneering softwar, Microsoft Office 2007, PDF creator.

D.1.2.1.e Návrh a posouzení konstrukcí

Veškeré konstrukce budou navrženy podle norem ČSN a ČSN EN. Návrh konstrukčních prvků , s výjimkou založení, bude proveden s výpočetní podporou systému Dlubal (metoda konečných prvků) s přenosem dat do systému AUTOCAD 2017 (formát *.dwg), ve kterých bude celý projekt graficky zpracován.

D.1.2.1.f Závěr

Veškeré nosné konstrukce **vyhovují z hlediska I. mezního stavu a II. mezního stavu.** V případě vzniku nejasností nebo nepředpokládaných skutečností v průběhu stavby je nutné okamžitě kontaktovat projektanta.

vypracoval : Ing. Jiří Končák